# Niedersächsisches Ministerialblatt

62. (67.) Jahrgang Hannover, den 30. 10. 2012 Nummer 37 b

### 2. ANLAGENBAND

### zur

Liste der Technischen Baubestimmungen — Fassung September 2012 —

> DIN EN 1991-1-3 DIN EN 1991-1-3/NA DIN EN 1991-1-4 DIN EN 1991-1-4/NA

Die hier abgedruckten Technischen Baubestimmungen sind nur in Verbindung mit dem RdErl. des MS vom 28. 9. 2012 (Nds. MBl. Nr. 37) zu verwenden.

### Inhalt:

_	DIN EN 1991-1-3: Eurocode 1: Einwirkungen auf Tragwerke — Teil 1-3: Allgemeine Einwirkungen — Schneelasten $\ldots$	1
-	DIN EN 1991-1-3/NA: Nationaler Anhang — National festgelegte Parameter — Eurocode 1: Einwirkungen auf Tragwerke — Teil 1-3: Allgemeine Einwirkungen — Schneelasten	47
_	DIN EN 1991-1-4: Eurocode 1: Einwirkungen auf Tragwerke — Teil 1-4: Allgemeine Einwirkungen — Windlasten	59
_	DIN EN 1991-1-4/NA: Nationaler Anhang — National festgelegte Parameter — Eurocode 1: Einwirkungen auf Tragwerke — Teil 1-4: Allgemeine Einwirkungen — Windlasten	213

### **DIN EN 1991-1-3**



ICS 91.010.30

Ersatzvermerk siehe unten

### Eurocode 1: Einwirkungen auf Tragwerke – Teil 1-3: Allgemeine Einwirkungen, Schneelasten; Deutsche Fassung EN 1991-1-3:2003 + AC:2009

Eurocode 1: Actions on structures – Part 1-3: General actions - Snow loads; German version EN 1991-1-3:2003 + AC:2009

Eurocode 1: Actions sur les structures – Partie 1-3: Actions générales - Charges de neige; Version allemande EN 1991-1-3:2003 + AC:2009

### **Ersatzvermerk**

Ersatz für DIN EN 1991-1-3:2004-09; mit DIN EN 1991-1-3/NA:2010-12 Ersatz für DIN 1055-5:2005-07; Ersatz für DIN EN 1991-1-3 Berichtigung 1:2009-09

Gesamtumfang 46 Seiten

Normenausschuss Bauwesen (NABau) im DIN

### **Nationales Vorwort**

Dieses Dokument (EN 1991-1-3:2003 + AC:2009) wurde vom Technischen Komitee CEN/TC 250 "Structural Eurocodes" erarbeitet, dessen Sekretariat vom BSI (Vereinigtes Königreich) gehalten wird.

Für diese Norm ist national das Gremium NA 005-51-02 AA "Einwirkungen auf Bauten (Sp CEN/TC 250/SC 1)" zuständig.

Dieses Dokument enthält die Berichtigung AC und wurde vom CEN am 2009-03 angenommen.

Die Norm ist Bestandteil einer Reihe von Einwirkungs- und Bemessungsnormen, deren Anwendung nur im Paket sinnvoll ist. Dieser Tatsache wird durch das Leitpapier L der Kommission der Europäischen Gemeinschaft für die Anwendung der Eurocodes Rechnung getragen, indem Übergangsfristen für die verbindliche Umsetzung der Eurocodes in den Mitgliedsstaaten vorgesehen sind. Die Übergangsfristen sind im Vorwort dieser Norm angegeben.

Die Anwendung dieser Norm gilt in Deutschland in Verbindung mit dem Nationalen Anhang.

Es wird auf die Möglichkeit hingewiesen, dass einige Texte dieses Dokuments Patentrechte berühren können. Das DIN [und/oder die DKE] sind nicht dafür verantwortlich, einige oder alle diesbezüglichen Patentrechte zu identifizieren.

Anfang und Ende der durch die Berichtigung eingefügten oder geänderten Texte sind jeweils durch Änderungsmarken 🕰 🚾 angegeben.

### Änderungen

Gegenüber DIN V EN V 1991-1-3:1996-01 wurden folgende Änderungen vorgenommen:

- a) Der Vornormcharakter wurde aufgehoben;
- b) die Stellungnahmen der nationalen Normungsinstitute wurden eingearbeitet und der Text vollständig überarbeitet.

Gegenüber DIN EN 1991-1-3:2004-09, DIN EN 1991-1-3 Berichtigung 1:2009-09 und DIN 1055-5:2005-07 wurden folgende Änderungen vorgenommen:

- a) auf europäisches Bemessungskonzept umgestellt;
- b) Ersatzvermerke korrigiert;
- c) Vorgänger-Norm mit der Berichtigung 1 konsolidiert;
- d) redaktionelle Änderungen durchgeführt.

### Frühere Ausgaben

DIN 1055: 1936xx-12, 1975-06

DIN 1055-5: 2005-07 DIN 1055-5/A1: 1994-04 DIN V EN V 1991-1-3: 1996-01 DIN EN 1991-1-3: 2004-09

DIN EN 1991-1-3 Berichtigung 1: 2009-09

2

Nds. MBl. Nr. 37 b/2012

## EUROPÄISCHE NORM EUROPEAN STANDARD NORME EUROPÉENNE

EN 1991-1-3

Juli 2003

+AC

März 2009

ICS 91.010.30

Ersatz für ENV 1991-2-3:1995

### **Deutsche Fassung**

Eurocode 1: Einwirkungen auf Tragwerke — Teil 1-3: Allgemeine Einwirkungen — Schneelasten

Eurocode 1: Actions on structures — Part 1-3: General actions — Snow loads Eurocode 1: Actions sur les structures — Partie 1-3: Actions générales — Charges de neige

Diese Europäische Norm wurde vom CEN am 9. Oktober 2009 angenommen.

Die Berichtigung tritt am 11. März 2009 in Kraft und wurde in EN 1991-1-3:2003 eingearbeitet.

Die CEN-Mitglieder sind gehalten, die CEN/CENELEC-Geschäftsordnung zu erfüllen, in der die Bedingungen festgelegt sind, unter denen dieser Europäischen Norm ohne jede Änderung der Status einer nationalen Norm zu geben ist. Auf dem letzten Stand befindliche Listen dieser nationalen Normen mit ihren bibliographischen Angaben sind beim Management-Zentrum des CEN oder bei jedem CEN-Mitglied auf Anfrage erhältlich.

Diese Europäische Norm besteht in drei offiziellen Fassungen (Deutsch, Englisch, Französisch). Eine Fassung in einer anderen Sprache, die von einem CEN-Mitglied in eigener Verantwortung durch Übersetzung in seine Landessprache gemacht und dem Management-Zentrum mitgeteilt worden ist, hat den gleichen Status wie die offiziellen Fassungen.

CEN-Mitglieder sind die nationalen Normungsinstitute von Belgien, Bulgarien, Dänemark, Deutschland, Estland, Finnland, Frankreich, Griechenland, Irland, Island, Italien, Lettland, Litauen, Luxemburg, Malta, den Niederlanden, Norwegen, Österreich, Polen, Portugal, Rumänien, Schweden, der Schweiz, der Slowakei, Slowenien, Spanien, der Tschechischen Republik, Ungarn, dem Vereinigten Königreich und Zypern.



EUROPÄISCHES KOMITEE FÜR NORMUNG EUROPEAN COMMITTEE FOR STANDARDIZATION COMITÉ EUROPÉEN DE NORMALISATION

Management-Zentrum: Avenue Marnix 17, B-1000 Brüssel

### Inhalt

		Seite
Vorwor	rt	3
1 1.1 1.2 1.3	Allgemeines Anwendungsbereich Normative Verweisungen	7 7
1.4 1.5 1.6 1.7	Unterscheidung zwischen Grundlagen und Anwendungsregeln	8 8
2	Klassifikation von Einwirkungen	10
3 3.1 3.2 3.3	Bemessungssituationen	11 11
4 4.1 4.2 4.3	Schneelast auf dem Boden	12 12
5 5.1 5.2 5.3 5.3.1 5.3.2 5.3.3 5.3.4	Schneelast auf Dächern Art der Last Lastanordnung Formbeiwerte für Dächer Allgemeines Pultdächer Satteldächer Scheddächer	13 14 15 15 16 17
5.3.5 5.3.6	Tonnendächer	
6 6.1 6.2 6.3 6.4	Örtliche Effekte	22 22 23
Anhanç	g A (normativ) Bemessungssituationen und Lastverteilungen für unterschiedliche örtliche Gegebenheiten	24
Anhanç	g B (normativ) Formbeiwerte für Schneelasten bei außergewöhnlichen Schneeverwehungen	
B.1 B.2 B.3 B.4	Anwendungsbereich	25 25 26
Anhanç	g C (informativ) Europäische Karte für Schneelasten auf dem Boden	30
Anhanç	g D (informativ) Anpassung der Schneelast auf dem Boden in Übereinstimmung mit der Wiederkehrperiode	41
Anhanç	g E (informativ) Wichte von Schnee	43
Litorati	urhinwoiso	11

### Vorwort

Dieses Dokument (EN 1991-1-3:2003 + AC:2009) wurde vom Technischen Komitee CEN/TC 250 "Structural Eurocodes" erarbeitet, dessen Sekretariat vom BSI gehalten wird.

Diese Europäische Norm muss den Status einer nationalen Norm erhalten, entweder durch Veröffentlichung eines identischen Textes oder durch Anerkennung bis Januar 2004, und etwaige entgegenstehende nationale Normen müssen bis [AC] Zurückgezogen werden.

Dieses Dokument ersetzt ENV 1991-2-3:1995.

CEN/TC 250 ist verantwortlich für alle Eurocodes für den konstruktiven Ingenieurbau.

Die Anhänge A und B sind normativ, die Anhänge C, D und E sind informativ.

Entsprechend der CEN/CENELEC-Geschäftsordnung sind die nationalen Normungsinstitute der folgenden Länder gehalten, diese Europäische Norm zu übernehmen: Belgien, Dänemark, Deutschland, Finnland, Frankreich, Griechenland, Irland, Island, Italien, Luxemburg, Malta, die Niederlande, Norwegen, Österreich, Portugal, Schweden, die Schweiz, die Slowakei, Spanien, die Tschechische Republik, Ungarn und das Vereinigte Königreich.

### Hintergrund des Eurocode-Programms

Im Jahre 1975 beschloss die Kommission der Europäischen Gemeinschaften, für das Bauwesen ein Programm auf der Grundlage des Artikels 95 der Römischen Verträge durchzuführen. Das Ziel des Programms war die Beseitigung technischer Handelshemmnisse und die Harmonisierung technischer Normen.

Im Rahmen dieses Programms leitete die Kommission die Bearbeitung von harmonisierten technischen Regelwerken für die Tragwerksplanung von Bauwerken ein, die im ersten Schritt als Alternative zu den in den Mitgliedsländern geltenden Regeln dienen und schließlich diese ersetzen sollten.

15 Jahre lang leitete die Kommission mit Hilfe eines Steuerungskomitees mit Repräsentanten der Mitgliedsländer die Entwicklung des Eurocode-Programms, das zu der ersten Eurocode-Generation in den 80er Jahren führte.

Im Jahre 1989 entschieden sich die Kommission und die Mitgliedsländer der Europäischen Union und der EFTA, die Entwicklung und Veröffentlichung der Eurocodes über eine Reihe von Mandaten an CEN zu übertragen, damit diese den Status von Europäischen Normen (EN) erhielten. Grundlage war eine Vereinbarung<sup>1)</sup> zwischen der Kommission und CEN. Dieser Schritt verknüpft die Eurocodes de facto mit den Regelungen der Ratsrichtlinien und Kommissionsentscheidungen, die die Europäischen Normen behandeln (z. B. die Ratsrichtlinie 89/106/EWG zu Bauprodukten, die Bauproduktenrichtlinie, die Ratsrichtlinien 93/37/EWG, 92/50/EWG und 89/440/EWG zur Vergabe öffentlicher Aufträge und Dienstleistungen und die entsprechenden EFTA-Richtlinien, die zur Einrichtung des Binnenmarktes eingeleitet wurden).

Das Eurocode-Programm umfasst die folgenden Normen, die in der Regel aus mehreren Teilen bestehen:

EN 1990 Eurocode, Grundlagen der Tragwerksplanung.

EN 1991 Eurocode 1, Einwirkung auf Tragwerke.

EN 1992 Eurocode 2, Entwurf, Berechnung und Bemessung von Stahlbetonbauten.

EN 1993 Eurocode 3, Entwurf, Berechnung und Bemessung von Stahlbauten.

EN 1994 Eurocode 4, Entwurf, Berechnung und Bemessung von Stahl-Beton-Verbundbauten.

EN 1995 Eurocode 5, Entwurf, Berechnung und Bemessung von Holzbauten.

Vereinbarung zwischen der Kommission der Europäischen Gemeinschaft und dem Europäischen Komitee für Normung (CEN) zur Bearbeitung der Eurocodes für die Tragwerksplanung von Hochbauten und Ingenieurbauwerken.

EN 1996 Eurocode 6, Entwurf, Berechnung und Bemessung von Mauerwerksbauten.

EN 1997 Eurocode 7, Entwurf, Berechnung und Bemessung in der Geotechnik.

EN 1998 Eurocode 8, Auslegung von Bauwerken gegen Erdbeben.

EN 1999 Eurocode 9, Entwurf, Berechnung und Bemessung von Aluminiumkonstruktionen.

Die Europäischen Normen berücksichtigen die Verantwortlichkeit der Bauaufsichtsorgane der jeweiligen Mitglieds-länder bei der nationalen Festlegung sicherheitsbezogener Werte, so dass diese Werte von Land zu Land unterschiedlich sein können.

### Status und Gültigkeitsbereich der Eurocodes

Die Mitgliedsländer der EU und EFTA betrachten die Eurocodes als Bezugsdokumente für folgende Zwecke:

- als Mittel zum Nachweis der Übereinstimmung der Hoch- und Ingenieurbauten mit den wesentlichen Anforderungen der Richtlinie 89/106/EWG, besonders mit der wesentlichen Anforderung Nr 1: Mechanischer Widerstand und Stabilität und der wesentlichen Anforderung Nr 2: Brandschutz;
- als Grundlage für die Spezifizierung von Verträgen für die Ausführung von Bauwerken und dazu erforderlichen Ingenieurleistungen;
- als Rahmenbedingung für die Herstellung harmonisierter, technischer Spezifikationen für Bauprodukte (ENs und ETAs).

Die Eurocodes haben, da sie sich auf Bauwerke beziehen, eine direkte Verbindung zu den Grundlagendokumenten<sup>2)</sup>, auf die in Artikel 12 der Bauproduktenrichtlinie hingewiesen wird, wenn sie auch anderer Art sind als die harmonisierten Produktnormen<sup>3)</sup>. Daher sind technische Gesichtspunkte, die sich aus den Eurocodes ergeben, von den Technischen Komitees des CEN und den Arbeitsgruppen von EOTA, die an Produktnormen arbeiten, zu beachten, damit diese Produktnormen mit den Eurocodes kompatibel sind.

Die Eurocodes liefern allgemeine Regelungen für den Entwurf, die Berechnung und Bemessung von vollständigen Tragwerken und Einzelbauteilen, die sich für die übliche Anwendung eignen. Sie treffen auf bewährte Bauweisen und Aspekte neuartiger Anwendungen, enthalten aber keine Regelungen für ungewöhnliche Konstruktionen oder Sonderlösungen, wofür es erforderlich ist, Experten zu Rate zu ziehen.

<sup>2)</sup> Entsprechend Artikel 3.3 der Bauproduktenrichtlinie sind die wesentlichen Angaben in Grundlagendokumenten zu konkretisieren, um damit die notwendigen Verbindungen zwischen den wesentlichen Anforderungen und den Mandaten für die Erstellung harmonisierter Europäischer Normen und Richtlinien für die europäische Zulassung selbst zu schaffen.

<sup>3)</sup> Nach Artikel 12 der Bauproduktenrichtlinie hat das Grundlagendokument:

a) die wesentliche Anforderung zu konkretisieren, in dem die Begriffe und, soweit erforderlich, die technische Grundlage für Klassen und Anforderungshöhen vereinheitlicht werden;

b) Methode zur Verbindung dieser Klasse oder Anforderungshöhen mit technischen Spezifikationen anzugeben,
 z. B. rechnerische oder Testverfahren, Entwurfsregeln;

c) als Bezugsdokument für die Erstellung harmonisierter Normen oder Richtlinien für Europäische Technische Zulassungen zu dienen.

Die Eurocodes spielen de facto eine ähnliche Rolle für die wesentliche Anforderung Nr. 1 und einen Teil der wesentlichen Anforderung Nr. 2.

### Nationale Fassungen der Eurocodes

Die Nationale Fassung eines Eurocodes enthält den vollständigen Text des Eurocodes (einschließlich aller Anhänge), so wie von CEN veröffentlicht, mit möglicherweise einer nationalen Titelseite und einem nationalen Vorwort sowie einem Nationalen Anhang (informativ).

Der Nationale Anhang (informativ) darf nur Hinweise zu den Parametern geben, die im Eurocode für nationale Entscheidungen offen gelassen wurden. Diese national festzulegenden Parameter (NDP) gelten für die Tragwerksplanung von Hochbauten und Ingenieurbauten in dem Land, in dem sie erstellt werden. Sie umfassen:

- Zahlenwerte für Teilsicherheitsbeiwerte und/oder Klassen, wo die Eurocodes Alternativen eröffnen;
- Zahlenwerte, wo die Eurocodes nur Symbole angeben;
- landesspezifische, geographische und klimatische Daten, die nur für ein Mitgliedsland gelten, z. B. Schneekarten;
- Vorgehensweisen, wenn die Eurocodes mehrere zur Wahl anbieten.

### Sie können auch enthalten:

- Vorschriften zur Verwendung der informativen Anhänge;
- Verweise zur Anwendung der Eurocodes, soweit diese ergänzen und nicht widersprechen.

# Verbindung zwischen den Eurocodes und den harmonisierten Technischen Spezifikationen für Bauprodukte (ENs und ETAs)

Es besteht die Notwendigkeit, dass die harmonisierten Technischen Spezifikationen für Bauprodukte und die technischen Regelungen für die Tragwerksplanung<sup>4)</sup> konsistent sind. Insbesondere sollten die Hinweise, die mit den CE-Zeichen an den Bauprodukten verbunden sind, die die Eurocodes in Bezug nehmen, klar erkennen lassen, welche national festzulegenden Parameter zugrunde liegen.

### Einleitung – Besondere Hinweise zu EN 1991-1-3

EN 1991-1-3 enthält Grundsätze und Einwirkungen von Schnee für die Berechnung und Bemessung von Hoch- und Ingenieurbauten.

EN 1991-1-3 gilt für Bauherren, Planer, Bauunternehmer und Behörden.

EN 1991-1-3 gilt in Zusammenhang mit EN 1990:2002, den anderen Teilen von EN 1991 und EN 1992 bis EN 1999 für die konstruktive Bemessung.

Siehe Artikel 3.3 und Art. 12 der Bauproduktenrichtlinie ebenso wie die Abschnitte 4.2, 4.3.1, 4.3.2 und 5.2 des Grundlagendokumentes Nr. 1

### Nationaler Anhang zu EN 1991-1-3

Diese Norm enthält Angaben zur Wahl alternativer Verfahren und Werte sowie Empfehlungen für Klassen die national festgelegt werden dürfen, einschließlich Hinweisen auf deren Feststellen. Dazu wird die jeweilige nationale Ausgabe von EN 1991-1-3 einen Nationalen Anhang mit den national festgelegten Parametern erhalten, mit dem die Bemessung von Hochbauten und Ingenieurbauten, die in dem Ausgabeland errichtet werden sollen, möglich ist.

Nationale Festlegungen zu EN 1991-1-3 sind bei folgenden Abschnitten erlaubt:

- (AC) 1.1(2), 1.1.(3), 1.1.(4)
- **—** 2(3), 2(4)
- **—** 3.3(1), 3.3(3)
- **4.1(1), 4.1(2), 4.2(1), 4.3(1)**
- 5.2(2), 5.2(5), 5.2(6), 5.2(7), 5.2(8), 5.3.3(4), 5.3.4(3), 5.3.4(4), 5.3.5(1), 5.3.5(3), 5.3.6(1), 5.3.6(3)
- **—** 6.2(2), 6.3(1), 6.3(2)
- A(1) (in Tabelle A.1) (AC)

### 1 Allgemeines

### 1.1 Anwendungsbereich

- (1) EN 1991-1-3 enthält Grundsätze für die Bestimmung der Werte für Schneelasten für die Berechnung und Bemessung von Hoch- und Ingenieurbauten.
- (2) Dieser Teil gilt nicht für Bauten in einer Höhe von mehr als 1 500 m.
- ANMERKUNG (AC) Ratschläge für die Behandlung von Schneelasten für Höhen über 1 500 m können im nationalen Anhang angegeben werden.
- (3) Anhang A enthält Informationen über die Bemessungssituationen und Lastanordnungen für unterschiedliche örtliche Gegebenheiten, die im nationalen Anhang angegeben sind.

ANMERKUNG Örtliche Gegebenheiten dürfen im nationalen Anhang angegeben werden.

(4) Anhang B enthält Formbeiwerte für die Behandlung von außergewöhnlichen Schneeverwehungen.

ANMERKUNG Die Verwendung von Anhang B darf durch den nationalen Anhang geregelt werden.

(5) Anhang C enthält charakteristische Werte von Schneelasten auf dem Boden, die auf den Arbeitsergebnissen des Auftrags der DGIII/D3 der europäischen Kommission für diesen Eurocode beruhen.

Zielsetzung dieses Anhangs ist:

- die Bereitstellung von Informationen für die nationalen zuständigen Stellen als Hilfe für die Aufstellung und Überarbeitung ihrer nationalen Karten;
- die Sicherstellung, dass die festgelegten harmonisierten Verfahren zur Erstellung der Karten in diesem Anhang in den Mitgliedsstaaten zur Behandlung der grundlegenden Schneedaten verwendet werden.
- (6) Anhang D enthält Hinweise für die Anpassung der Schneelasten auf dem Boden an die Wiederkehrperiode.
- (7) Anhang E enthält Informationen über die Wichte von Schnee.
- (8) Dieser Teil macht keine Angaben über die speziellen Aspekte von Schneelasten, z. B.:
- anprallende Schneelast aufgrund des Abrutschens oder Herunterfallens von Schneemassen von h\u00f6heren D\u00e4chern;
- zusätzliche Windlasten, die sich aus einer Änderung der Umrissform oder Größe von Bauwerken aufgrund von Schnee oder Eisablagerungen sein könnten;
- Lasten in Gebieten, in denen das ganze Jahr über Schnee vorhanden ist;
- Eislasten;
- seitliche Lasten aufgrund von Schnee (z. B. durch Verwehungen hervorgerufene seitliche Lasten);
- Schneelasten auf Brücken.

### 1.2 Normative Verweisungen

Diese Europäische Norm enthält durch datierte oder undatierte Verweisungen Festlegungen aus anderen Publikationen. Diese normativen Verweisungen sind an den jeweiligen Stellen im Text zitiert, und die Publikationen sind nachstehend aufgeführt. Bei datierten Verweisungen gehören spätere Änderungen oder Überarbeitungen dieser Publikation nur zu dieser Europäischen Norm, falls sie durch Änderung oder Überarbeitung eingearbeitet sind. Bei undatierten Verweisungen gilt die letzte Ausgabe der in Bezug genommenen Publikation (einschließlich Änderungen).

EN 1990:2002, Eurocode, Grundlagen der Tragwerksplanung

EN 1991-1-1:2002, Eurocode 1: Einwirkungen auf Tragwerke — Teil 1-1: Allgemeine Einwirkungen — Wichten, Eigengewicht und Nutzlasten im Hochbau

ANMERKUNG Die folgenden Europäischen Normen, die veröffentlicht oder in Bearbeitung sind, werden in den normativen Abschnitten zitiert.

EN 1991-2, Eurocode 1: Einwirkungen auf Tragwerke — Teil 2: Verkehrslasten auf Brücken

### 1.3 Annahmen

Die in EN 1990:2002, 1.3 enthaltenen Festlegungen und Annahmen gelten für EN 1991-1-3.

### 1.4 Unterscheidung zwischen Grundlagen und Anwendungsregeln

Die in EN 1990:2002, 1.4 enthaltenen Regeln gelten für EN 1991-1-3.

### 1.5 Bemessung durch Prüfung

Unter bestimmten Umständen dürfen Prüfungen und bewährte und/oder in geeigneter Weise ausgewertete numerische Verfahren zur Ermittlung von Schneelasten auf Bauwerke verwendet werden.

ANMERKUNG Die Rahmenbedingungen für ein individuelles Projekt entsprechen den Vereinbarungen zwischen dem Kunden und der zuständigen (Bau-)Aufsicht.

### 1.6 Begriffe und Definitionen

Für die Zwecke dieser Europäischen Norm gilt die Liste grundlegender Begriffe und Definitionen in EN 1990:2002, 1.5 zusammen mit den Folgenden.

### 1.6.1 Charakteristischer Wert der Schneelast auf dem Boden

Schneelast auf dem Boden mit einer jährlichen Überschreitenswahrscheinlichkeit von 0,02, wobei außergewöhnliche Schneelasten ausgenommen sind.

### 1.6.2 Höhenlage des Bauwerks

Geländehöhe über der mittleren Meereshöhe, für ein zu errichtendes oder bereits bestehendes Bauwerk.

### 1.6.3 Außergewöhnliche Schneelast auf dem Boden

Last einer Schneelage auf dem Boden, die von einen Schneefall mit einer außergewöhnlich seltenen Auftretenswahrscheinlichkeit herrührt.

ANMERKUNG 2(3) und 4.3(1).

### 1.6.4 Charakteristischer Wert der Schneelast auf dem Dach

Charakteristische Schneelast auf dem Dach als Produkt aus der Schneelast auf dem Boden und geeigneten Faktoren.

ANMERKUNG Diese Faktoren werden so gewählt, dass die Auftretenswahrscheinlichkeit der berechneten Schneelast auf dem Dach nicht diejenige des charakteristischen Werts der Schneelast auf dem Boden überschreitet.

### 1.6.5 Unverwehte Schneelast auf dem Dach

Lastanordnung, die die gleichförmig verteilte Schneelast auf dem Dach wiedergibt, die nur durch die Dachform nicht aber durch Verlagerung des Schnees infolge anderer klimatischer Einwirkungen geprägt ist.

### 1.6.6 Verwehte Schneelast auf dem Dach

Lastanordnung, die die Schneelastverteilung infolge von Schneeverlagerung auf dem Dach wiedergibt, z. B. durch Windeinwirkung.

### 1.6.7 Formbeiwert für Schneelasten

Verhältnis von Schneelast auf dem Dach zur unverwehten Schneelast auf dem Boden, ohne Einfluss der Umgebungsbedingungen und Temperatureffekte.

### 1.6.8 Temperaturkoeffizient

Koeffizient, der die Verminderung der Schneelast auf dem Dach als Folge des Wärmeflusses durch das Dach, der Schneeschmelze bewirkt, angibt.

### 1.6.9 Umgebungskoeffizient

Koeffizient, der die Verminderung oder Erhöhung der Schneelast auf dem Dach eines unbeheizten Gebäudes als Teilgröße der charakteristischen Schneelast auf dem Boden angibt.

### 1.6.10 Schneelast infolge außergewöhnlicher Schneeverwehungen

Lastanordnung, die die Last einer Schneelage auf dem Dach beschreibt, die von Schneeverwehungen herrührt, die mit außergewöhnlich seltener Wahrscheinlichkeit auftreten.

### 1.7 Symbole

(1) Für die Anwendung dieser Europäischen Norm gelten die folgenden Symbole.

ANMERKUNG Die verwendeten Benennungen beruhen auf ISO 3898.

(2) EN 1990:2002, 1.6 enthält eine Hauptliste der Benennungen; die unten angegebenen zusätzlichen Benennungen gelten für diesen Teil.

Lateinische Großbuchstaben

- C<sub>e</sub> Umgebungskoeffizient
- C<sub>t</sub> Temperaturbeiwert
- C<sub>esl</sub> Beiwert für außergewöhnliche Schneelasten
- A Höhenlage des Bauwerks über dem Meeresspiegel [m]
- Se Schneelast pro Meter Länge infolge Schneeüberhang [kN/m]
- F<sub>s</sub> Kraft pro Meter Länge, die beim Gleiten einer Schneemasse entsteht [kN/m]

Lateinische Kleinbuchstaben

- b Breite des Bauwerks [m]
- d Höhe der Schneelage [m]

- h Höhe des Bauwerks [m]
- k Beiwert, der die unregelmäßige Form des Schneeüberhangs berücksichtigt (siehe auch 6.3)
- *I*<sub>s</sub> Länge der Schneeverwehung oder schneebelasteten Fläche [m]
- s Schneelast auf dem Dach [kN/m<sup>2</sup>]
- s<sub>k</sub> charakteristischer Wert des Schneelast auf dem Boden an dem entsprechenden Bauwerk [kN/m²]
- s<sub>Ad</sub> Bemessungswert für außergewöhnliche Schneelasten auf dem Boden [kN/m²]

### Griechische Kleinbuchstaben

- $\alpha$  Neigungswinkel des Daches, gemessen von der Horizontalen [°]
- β Winkel zwischen der Horizontalen und der Tangente an der Umrisskurve für Tonnendächer [°]
- γ Wichte des Schnees [kN/m³]
- μ Formbeiwerte für Schnee
- $\psi_0$  Kombinationsbeiwert einer variablen Einwirkung
- $\psi_1$  häufiger Wert einer variablen Einwirkung
- $\psi_2$  quasi-ständiger Wert einer variablen Einwirkung

ANMERKUNG Für die Anwendung dieser Europäischen Norm gelten die in der oben angegebenen Liste festgelegten Einheiten.

### 2 Klassifikation von Einwirkungen

- (1)P Sofern in dieser Norm nichts anderes festgelegt wird, müssen Schneelasten als veränderliche, ortsfeste Einwirkungen (siehe auch 5.2) klassifiziert werden, siehe EN 1990:2002, 4.1.1(1)P und 4.1.1(4).
- (2) Die in dieser Norm behandelten Schneelasten sind darüber hinaus in der Regel als statische Einwirkungen zu klassifizieren, siehe EN 1990:2002, 4.1.1(4).
- (3) Außergewöhnliche Schneelasten dürfen unter den in 1.6.3 beschriebenen besonderen Bedingungen als außergewöhnliche Einwirkungen in Übereinstimmung mit EN 1990:2002, 4.1.1(2) festgelegt werden.
- ANMERKUNG Festlegungen für außergewöhnliche Schneelasten und deren Anwendungsbedingungen (die örtlichen geographischen Bedingungen einschließen können) dürfen im nationalen Anhang geregelt werden.
- (4) Für die in 1.6.10 beschriebenen besonderen Bedingungen dürfen Schneeverwehungen wie außergewöhnliche Einwirkungen nach EN 1990:2002, 4.1.1(2) behandelt werden.

ANMERKUNG Der Nationale Anhang darf die Bedingungen für die Anwendung dieses Absatzes angeben, wobei geografische Ortsangaben enthalten sein dürfen.

### 3 Bemessungssituationen

### 3.1 Allgemeines

- (1)P Die maßgebenden Schneelasten müssen für jede festgestellte Bemessungssituation nach EN 1990:2002, 3.5 ermittelt werden.
- (2) Für örtliche Effekte, wie sie im Abschnitt 6 beschrieben sind, ist in der Regel die ständige/vorübergehende Bemessungssituation zu berücksichtigen.

### 3.2 Übliche Verhältnisse

(1) An Orten, an denen das Auftreten von außergewöhnlichen Schneefällen (siehe 2 (3)) und außergewöhnlichen Schneeverwehungen (siehe 2(4)) unwahrscheinlich ist, ist in der Regeln die vorübergehende/ständige Bemessungssituation für Lastverteilungen mit und ohne Schneeverwehungen unter Berücksichtigung von 🐼 5.2(3)P a) 🐼 und 5.3 zu ermitteln.

ANMERKUNG Siehe Anhang A, Fall A.

### 3.3 Außergewöhnliche Verhältnisse

- (1) An Orten, an denen außergewöhnliche Schneefälle (siehe 2(3)), aber keine außergewöhnlichen Schneeverwehungen (siehe 2(4)), auftreten können, gilt Folgendes:
- a) Die vorübergehende/ständige Bemessungssituation ist in der Regel für Schneelastverteilungen sowohl ohne als auch mit Verwehungen unter Berücksichtigung von 5.2(3)P a) und 5.3 zu ermitteln und
- b) Die außergewöhnliche Bemessungssituation ist in der Regel für Schneelastverteilungen sowohl ohne und mit Verwehungen unter Berücksichtigung von 4.3, 5.2(3)P b) und 5.3 zu ermitteln.

ANMERKUNG 1 Siehe Anhang A, Fall B1.

ANMERKUNG 2 Der Nationale Anhang darf festlegen, welche Bemessungssituation für besondere örtliche Effekte nach Abschnitt 6 gelten.

- (2) An Orten, an denen das Auftreten von außergewöhnlichen Schneefällen (siehe 2(3)) unwahrscheinlich ist, jedoch außergewöhnliche Schneeverwehung (siehe 2(4)) auftreten können, gilt Folgendes:
- a) Die vorübergehende/ständige Bemessungssituation ist in der Regel für Schneelastverteilungen sowohl ohne als auch mit Verwehungen unter Berücksichtigung von 5.2(3)P a) und 5.3 anzuwenden und
- b) Die außergewöhnliche Bemessungssituation ist in der Regel für die Bestimmung von Schneelastfällen unter Berücksichtigung von 5.2(3)P c) und Anhang B anzuwenden.

ANMERKUNG Siehe Anhang A, Fall B2.

- (3) An Orten, an denen sowohl außergewöhnliche Schneefälle (siehe 2(3)) als auch außergewöhnliche Schneeverwehungen (siehe 2(4)) auftreten können, gilt Folgendes:
- a) Die vorübergehende/ständige Bemessungssituation ist in der Regel für Schneelastverteilungen sowohl ohne als auch mit Verwehungen unter Berücksichtigung von 5.2(3)P a) und 5.3 zu ermitteln.
- b) Die außergewöhnliche Bemessungssituation ist in der Regel für Schneelastverteilungen sowohl ohne als auch mit Verwehungen unter Berücksichtigung von 4.3, 5.2(3)P b) und 5.3 zu ermitteln.
- c) Die außergewöhnliche Bemessungssituation ist in der Regel für die Bestimmung von Schneelastfällen unter Berücksichtigung von 5.2(3)P c) und Anhang B anzuwenden.

ANMERKUNG 1 Siehe Anhang A, Fall B3.

ANMERKUNG 2 Der Nationale Anhang darf festlegen, welche Bemessungssituation für besondere örtliche Effekte nach Abschnitt 6 gelten.

### 4 Schneelast auf dem Boden

### 4.1 Charakteristische Werte

(1) Die charakteristischen Werte für Schneelasten auf dem Boden ( $s_k$ ) ist in der Regel in Übereinstimmung mit EN 1990:2002, 4.1.2(7)P und der Definition für charakteristische Schneelasten auf dem Boden nach 1.6.1 zu bestimmen.

ANMERKUNG 1 Der Nationale Anhang legt die zu verwendeten charakteristischen Werte fest. Um ungewöhnliche örtliche Verhältnisse zu berücksichtigen, darf der Nationale Anhang zulassen, dass abweichende charakteristische Werte für einzelne Projekte zwischen Bauherren und der zuständigen Behörde vereinbart werden.

ANMERKUNG 2 Anhang C enthält die europäischen Karte für Schneelasten auf dem Boden, die nach entsprechenden Untersuchungen, die von DG III/D-3 in Auftrag gegeben worden waren, entstand. Der Nationale Anhang darf auf diese Karte Bezug nehmen, um Unstimmigkeiten an den Grenzen von Mitgliedsländern auszumerzen oder zu verringern.

(2) In besonderen Fällen, in denen genauere Daten erforderlich sind, dürfen die charakteristischen Werte für Schneelasten auf dem Boden ( $s_k$ ) mit Hilfe einer geeigneten statistischen Auswertung von Aufzeichnungen, die über einen längeren Zeitraum für eine gut abgesperrte Fläche nahe der Baustelle gemacht wird, verbessert werden.

ANMERKUNG 1 Der Nationale Anhang darf weitere ergänzende Hinweise geben.

ANMERKUNG 2 Da es normalerweise erhebliche Unterschiede in der Anzahl der aufgezeichneten winterlichen Höchstwerte gibt, sind Aufzeichnungszeiträume unter 20 Jahren üblicherweise ungeeignet.

(3) Wenn Schneelastaufzeichnungen an bestimmten Orten außergewöhnliche Werten aufweisen, die mit einem

üblichen statistischen Verfahren nicht behandelt werden können, sollten die charakteristischen Werte unter

Auslassung der außergewöhnlichen Werte ermittelt werden. Die außergewöhnlichen Werte dürfen außerhalb der üblichen statistischen Betrachtung in Übereinstimmung mit 4.3 berücksichtigt werden.

### 4.2 Weitere repräsentative Werte

(1) Weitere repräsentative Werte für Schneelasten auf dem Dach in Übereinstimmung mit EN 1990:2002, 4.1.3 sind folgende:

Kombinationsbeiwerte ψ<sub>0</sub> · s;
 häufiger Wert ψ<sub>1</sub> · s;
 quasi-ständiger Wert ψ<sub>2</sub> · s.

ANMERKUNG Werte für  $\psi$  dürfen im Nationalen Anhang zu EN 1990:2002 gegeben werden. Die empfohlenen Beiwerte  $\psi_0$ ,  $\psi_1$  und  $\psi_2$  für Bauwerke hängen von der Lage des betrachteten Bauwerks ab und sollten EN 1990:2002, Tabelle A.1.1 oder der Tabelle 4.1 entnommen werden, die hinsichtlich der Schneelasten übereinstimmen.

Tabelle 4.1 — Beiwerte  $\psi_0$ ,  $\psi_1$  und  $\psi_2$  für unterschiedliche Lagen des Bauwerks

Region	$\psi_0$	Ψ1	Ψ2
Finnland			
Island	0,70	0.50	0,20
Norwegen	0,70	0,50	0,20
Schweden			
In den anderen Mitgliedsländern, für Bauwerkslagen in einer Höhe H > 1 000 m über dem Meeresspiegel	0,70	0,50	0,20
In den anderen Mitgliedsländern, für Bauwerkslagen in einer Höhe H ≤ 1 000 m über dem Meeresspiegel	0,50	0,20	0,00

### 4.3 Behandlung von außergewöhnlichen Schneelasten auf dem Boden

(1) An Orten, an denen auf dem Boden außergewöhnliche Schneelasten auftreten können, dürfen diese wie folgt ermittelt werden:

$$s_{Ad} = C_{esl} \cdot s_k \tag{4.1}$$

### Dabei ist

s<sub>Ad</sub> der Bemessungswert für außergewöhnliche Schneelasten auf dem Boden des betreffenden Ortes;

C<sub>esl</sub> der Beiwert für außergewöhnliche Schneelasten;

sk der charakteristische Werte der Schneelast auf dem Boden des betreffenden Ortes.

ANMERKUNG Der Beiwert  $C_{\text{esl}}$  darf durch den Nationalen Anhang festgelegt werden. Der empfohlene Wert ist  $C_{\text{esl}}$  = 2,0 (siehe auch 2(3)).

### 5 Schneelast auf Dächern

### 5.1 Art der Last

- (1)P Die Bemessung muss berücksichtigen, dass Schnee auf dem Dach in vielen unterschiedlichen Lastverteilungen auftreten kann.
- (2) Eigenschaften des Daches, die unterschiedliche Lastverteilungen verursachen können sind:
- a) Form des Daches;
- b) Warmdämmende Eigenschaften;
- c) Oberflächenrauhigkeit;
- d) Wärmestau unter dem Dach;
- e) Nähe benachbarter Bebauung;
- f) umgebendes Gelände.
- g) Örtliches Klima, insbesondere die Windexpositition, Temperaturänderungen und die Niederschlagswahrscheinlichkeit (als Regen oder Schnee).

### 5.2 Lastanordnung

- (1)P Im Wesentlichen müssen die zwei folgenden Lastanordnungen berücksichtigt werden:
- unverwehte Schneelasten auf dem Dach (siehe 1.6.5);
- verwehte Schneelasten auf dem Dach (siehe 1.6.6).
- (2) Die Lastanordnungen sollten in Übereinstimmung mit 5.3 und Anhang B ermittelt werden, wenn es nach 3.3 festgelegt ist.

ANMERKUNG Die Verwendung von Anhang B wird durch den Nationalen Anhang für die Dachformen nach 5.3.4, 5.3.6 und 6.2 bestimmt und wird normalerweise auf besondere Örtlichkeiten angewandt, in denen der Schnee gewöhnlich zwischen einzelnen Wetterlagen abschmilzt und in den zwischen den Wetterlagen nur mäßige Windgeschwindigkeiten auftreten.

- (3)P Schneelasten auf Dächer sind folgendermaßen zu ermitteln:
- a) für ständige und veränderliche Bemessungssituationen mit:

$$s = \mu_i \cdot C_e \cdot C_t \cdot s_k \tag{5.1}$$

b) für außergewöhnliche Bemessungssituationen, bei denen die außergewöhnliche Schneelast der außergewöhnlichen Einwirkung entspricht (außer für Fälle nach 5.2(3)P c)), mit

$$s = \mu_i \cdot C_e \cdot C_t \cdot s_{Ad} \tag{5.2}$$

ANMERKUNG Siehe 2(3).

 Für außergewöhnliche Bemessungssituationen, in denen Schneeverwehungen die außergewöhnliche Einwirkung darstellt und Anhang B, gilt mit

$$s = \mu_i \cdot s_k \tag{5.3}$$

ANMERKUNG Siehe 2(4).

### Dabei ist

- μ der Formbeiwert für Schneelasten (siehe 5.3 und Anhang B);
- s<sub>k</sub> der charakteristische Wert der Schneelast auf dem Boden;
- $s_{Ad}$  der Bemessungswert für außergewöhnliche Schneelasten am Boden für einen bestimmten Ort (siehe 4.3);
- C<sub>e</sub> der Umgebungskoeffizient;
- C<sub>t</sub> der Temperaturkoeffizient.
- (4) Es wird vorausgesetzt, dass die Last senkrecht wirkt und sich auf die horizontale Projektion der Dachfläche bezieht.
- (5) Kann eine Schneeräumung oder eine Schneeumverteilung auf dem Dach angenommen werden, muss das Dach für geeignete Lastverteilung bemessen werden.
- ANMERKUNG 1 Lastverteilungen nach diesem Abschnitt werden aus der natürlichen Schneeverteilung hergeleitet.
- ANMERKUNG 2 Weitere Hinweise dürfe im Nationalen Anhang gegeben werden.

14

(6) In Gegenden, in denen Regenfälle auf den liegenden Schnee sowie nachfolgendes Schmelzen und Wiedergefrieren möglich ist, sollten die Schneelasten auf dem Dach erhöht werden, insbesondere in Fällen, in denen Schnee und Eis das Entwässerungssystem blockieren können.

ANMERKUNG Weitere Empfehlungen dürfen im Nationalen Anhang gegeben werden.

(7) Der Umgebungskoeffizient  $C_{\rm e}$  sollte verwendet werden, um die Schneelast auf dem Dach zu bestimmen. Die Wahl von  $C_{\rm e}$  sollte die zukünftigen Gegebenheiten am Bauwerk berücksichtigen.  $C_{\rm e}$  sollte mit 1,0 angenommen werden, außer wenn er für unterschiedliche Geländegegebenheiten festgelegt wird.

ANMERKUNG Alternative Werte für  $C_{\rm e}$  dürfen für unterschiedliche Geländegegebenheiten im nationalen Anhang festgelegt werden. Empfohlene Werte sind in der Tabelle 5.1 angegeben.

Tabelle 5.1 — Empfohlene Werte  $C_{\rm e}$  für unterschiedliche Geländegegebenheiten

	Geländeg	egebenheiten	$C_{ m e}$	
	W	/indig <sup>a</sup>	0,8	
	Ü	blich <sup>b</sup>	1,0	
	Abge	eschirmt <sup>c</sup>	1,2	
а	Windig:	Allseitig flache unbehinderte Gegenden oder Flächen, die durch das Gelände nur gering abgeschirmt sind, sowie hohe Gebäude oder Bäume.		
b	Üblich:	Gegenden, für die infolge des Geländes kein wesentlicher Schneeabtrag durch Wind erfolgen kann sowie andere Gebäude oder Räume.		
С	Abgeschirmt:	das umgebende Gelä	die Tragwerke wesentlich niedriger als inde sind, oder Tragwerke, die durch ere hohe Gebäude umgeben sind.	

(8) Der Temperaturbeiwert  $C_t$  sollte verwendet werden, um die Verminderung von Schneelasten auf Dächern mit höheren Wärmedurchgang (> 1 W/m<sup>2</sup>K) zu berücksichtigen, besonders für glasgedeckte Dächer, bei denen Abschmelzen infolge Wärmedurchgang auftritt.

In allen anderen Fällen ist  $C_t = 1,0$ .

ANMERKUNG 1 Jegliche zulässige Abminderung von  $C_t$  auf Grundlage der wärmedämmenden Eigenschaften der Dachhaut und der Dachform ist im Nationalen Anhang anzugeben.

ANMERKUNG 2 Weitere Empfehlungen können ISO 4355 entnommen werden.

### 5.3 Formbeiwerte für Dächer

### 5.3.1 Allgemeines

- (1) Dieser Abschnitt enthält Angaben über Formbeiwerte für Schneelastverteilungen mit und ohne Verwehungen für alle in dieser Norm angegebenen Dachformen mit Ausnahme bei außergewöhnlichen Schneeverwehungen, die in Anhang B behandelt sind.
- (2) Besondere Überlegungen sollten hinsichtlich Formbeiwerten für Schneelasten in Fällen erfolgen, in denen eine Dachgeometrie vorliegt, die im Vergleich zu einer geradlinigen Dachform zu einer nennenswerten Vergrößerung der Schneelast führt.

(3) Formbeiwerte für Dachformen nach 5.3.2, 5.3.3 und 5.3.4 sind in Bild 5.1 angegeben.

### 5.3.2 Pultdächer

(1) Der Formbeiwert für Schneelasten,  $\mu$ 1, der für Pultdächer verwendet werden sollte, ist in Tabelle 5.2 angegeben und in den Bildern 5.1 und 5.2 dargestellt.

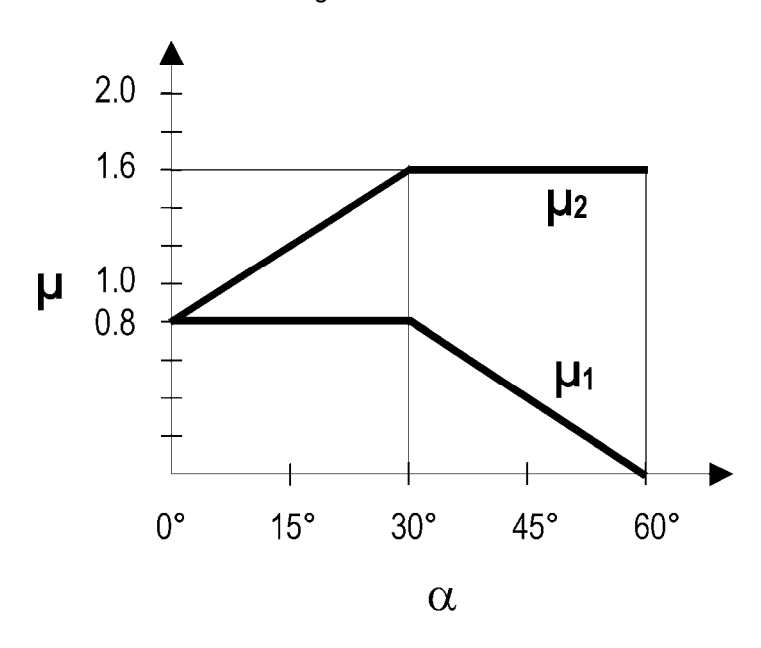


Bild 5.1 — Formbeiwert für Schneelasten

(2) Die in Tabelle 5.2 angegebenen Werte gelten für Schnee, der am Abgleiten vom Dach nicht gehindert wird. Liegen Schneegitter oder Dachaufbauten vor, oder ist die Dachtraufe mit einer Aufkantung versehen, sollte der Formbeiwert jedoch nicht unter 0,8 liegen.

Tabelle 5.2 — Formbeiwerte für Schneelasten

Neigungswinkel $\alpha$ des Pultdachs	0° ≤ α≤ 30°	30° < α < 60°	<i>α</i> ≥ <b>60</b> °
$\mu_1$	0,8	0,8(60 – α)/30	0,0
$\mu_2$	0,8 + 0,8 α/30	1,6	

(3) Sowohl für unverwehte als auch für verwehte Lastverteilung gilt die Lastanordnung nach Bild 5.2.

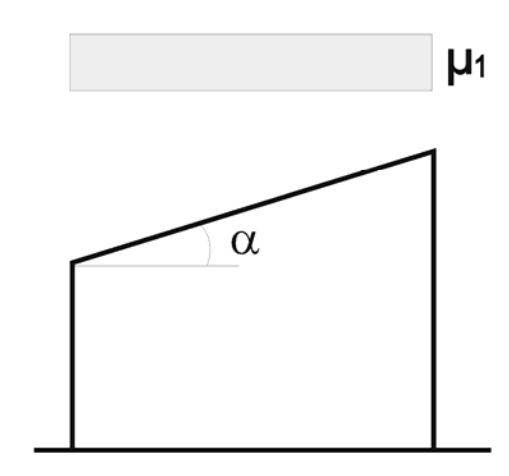


Bild 5.2 — Formbeiwerte für Schneelasten auf Pultdächern

### 5.3.3 Satteldächer

- (1) Der Formbeiwert für Schneelasten auf Satteldächern ist in Bild 5.3 angegeben, wobei die Werte für  $\mu_1$  in Tabelle 5.2 angegeben und in Bild 5.1 dargestellt sind.
- (2) Werte nach Tabelle 5.2 gelten, wenn das Abgleiten des Schnees vom Dach nicht behindert wird. Wenn Schneegitter oder anderweitige Aufbauten vorhanden sind oder an der Dachtraufe eine Aufkantung angeordnet ist, sollten die Formbeiwerte nicht unter 0,8 liegen.

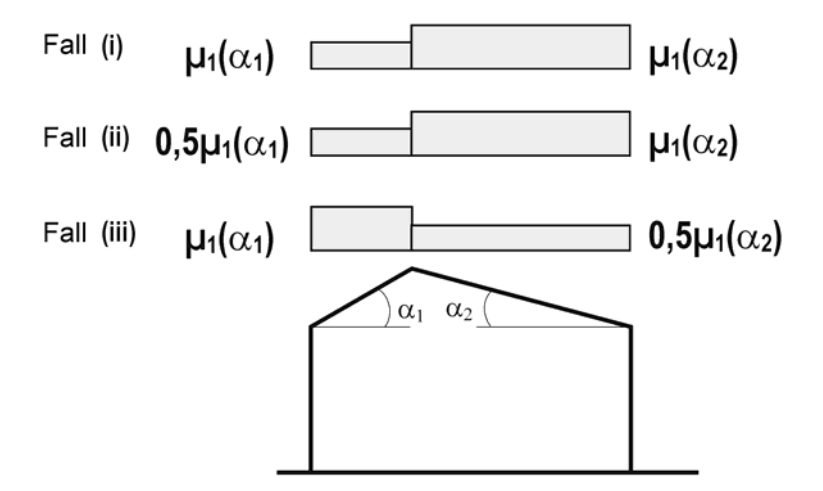


Bild 5.3 — Formbeiwerte für Schneelasten auf Satteldächern

- (3) Bei nichtverwehtem Schnee gilt die Lastverteilung nach Bild 5.3, Fall (i).
- (4) Bei verwehtem Schnee gilt die Lastverteilung nach Bild 5.3, Fall (ii) und Fall (iii) 🔊, sofern für örtliche Verhältnisse nicht anders festgelegt 🕰.

ANMERKUNG Eine alternative Lastverteilung für verwehten Schnee auf der Grundlage örtlicher Verhältnisse darf im Nationalen Anhang angegeben werden.

### 5.3.4 Scheddächer

- (1) Für Scheddächer sind die Formbeiwerte für Schneelasten in Tabelle 5.2 angegeben und in Bild AC 5.4 (AC) dargestellt.
- (2) Für nichtverwehten Schnee gilt die Lastverteilung nach nach Bild 5.4, Fall (i).
- (3) Für verwehten Schnee gilt die Lastverteilung nach Bild 5.4, Fall (ii).

ANMERKUNG Wenn der Nationale Anhang es zulässt, darf Anhang B für die Ermittlung der Last infolge Verwehungen verwendet werden.

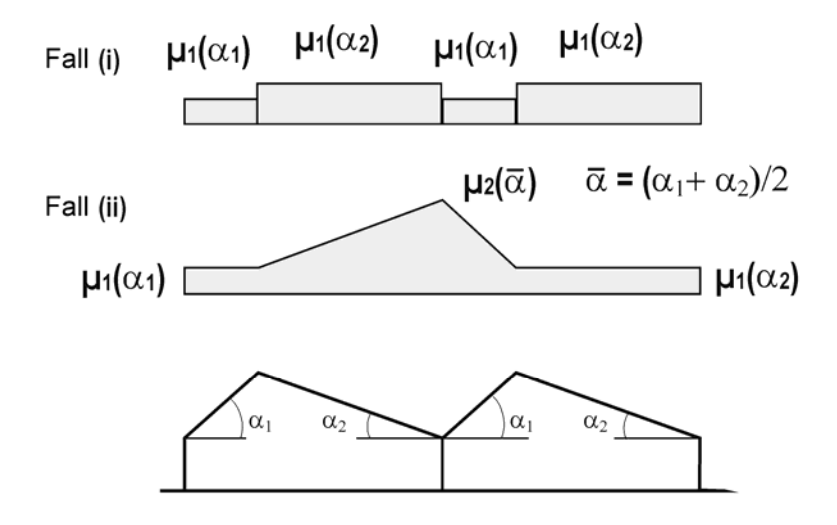


Bild 5.4 — Formbeiwerte für Schneelasten auf Scheddächern

(4) Für Formbeiwerte für Schneelasten auf Scheddächern sollten besondere Überlegungen angestellt werden, sobald eine Dachneigung einen größeren Wert als 60° aufweist.

ANMERKUNG Weitere Hinweise dürfen im Nationalen Anhang gegeben werden.

### 5.3.5 Tonnendächer

(1) Formbeiwerte für Schneelasten auf Tonnendächern ohne Schneegitter sind in der Regel nach den folgenden Gleichungen zu verwenden (siehe auch Bild 5.6).

Für 
$$\beta > 60^{\circ}$$
,  $\mu_3 = 0$  (5.4)

Für 
$$\beta \le 60^{\circ}$$
,  $\mu_3 = 0.2 + 10 \text{ h/b}$  (5.5)

ANMERKUNG 1 Der obere Wert für  $\mu_3$  darf im Nationalen Anhang festgelegt werden. Der empfohlene obere Wert ist  $\mu_3$  = 2,0 (siehe Bild 5.5).

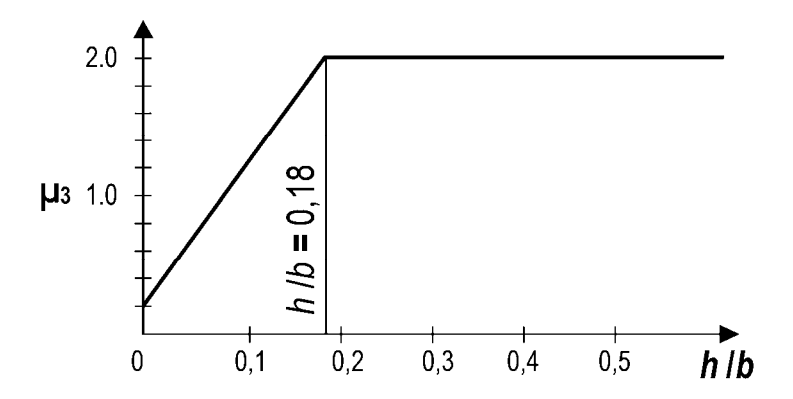


Bild 5.5 — Formbeiwert für Schneelasten auf Tonnendächern für unterschiedliche Höhen/Spannweiten-Verhältnisse (für  $\beta \le 60^{\circ}$ )

ANMERKUNG 2 Regelungen zur Berücksichtigung von Schneegittern bei Tonnendächern dürfen im Nationalen Anhang angegeben werden.

- (2) Für nicht verwehten Schnee gilt die Lastverteilung nach Bild 5.6, Fall (i).
- (3) Für verwehten Schnee gilt die Lastverteilung nach Bild 5.6, Fall (ii), sofern für örtliche Verhältnisse nicht anders festgelegt.

ANMERKUNG Alternative Angaben zur Lastverteilung von verwehtem Schnee dürfen im Nationalen Anhang angegeben werden.

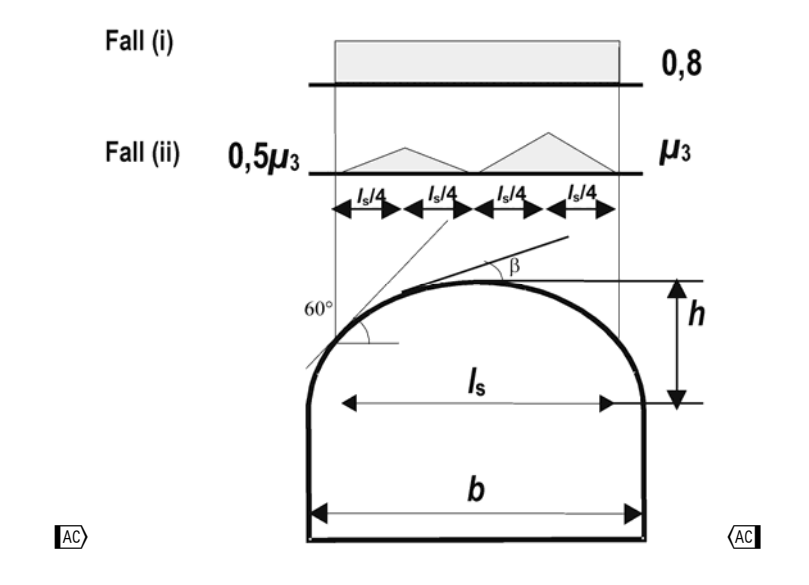


Bild 5.6 — Formbeiwert für Schneelasten auf Tonnendächern

### 5.3.6 Höhensprünge an Dächern

(1) Für Schneelasten auf Dächern die zu Dachflächen mit geringeren Höhen abfallen, dürfen die Formbeiwerte nach folgenden Gleichungen oder nach Bild 5.7 verwendet werden:

$$\mu_1 = 0.8$$
 (Unter der Annahme, dass niedrigere Dach ist flach) (5.6)

$$\mu_2 = \mu_S + \mu_W \tag{5.7}$$

19

### Dabei ist

 $\mu_{s}$  der Formbeiwert für abgleitenden Schnee

Für 
$$\alpha \le 15^{\circ}$$
,  $\mu_s = 0$ ,

Für  $\alpha$  > 15°,  $\mu_s$  wird mit Hilfe einer zusätzlichen Last von 50 % der größten Gesamtschneelast auf der  $\mathbb{AC}$  angrenzenden  $\mathbb{AC}$  Dachneigung der oberen Dachfläche nach 5.3.3, ermittelt.

 $\mu_{w}$  ist der Formbeiwert für Schnee unter Berücksichtigung von Wind,  $\mu_{w} = (b_1 + b_2)/2h \le \gamma h/s_k$ , (5.8)

### Dabei ist

 $\gamma$  die Wichte des Schnees, die mit  $\mathbb{A}^{\circ}$  2 kN/m<sup>3</sup>  $\mathbb{A}^{\circ}$  angenommen werden darf.

Ein oberer und unterer Wert für  $\mu_{w}$  sollte festgelegt werden.

ANMERKUNG 1 Der Bereich für  $\mu_w$  darf im Nationalen Anhang festgelegt werden. Der empfohlene Bereich liegt zwischen  $0.8 \le \mu_w \le 4$ .

Die Verwehungslänge wird wie folgt bestimmt:

$$I_{\rm s} = 2h \tag{5.9}$$

ANMERKUNG 2 Eine Begrenzung für  $I_s$  darf im Nationalen Anhang angegeben werden. Die empfohlene Begrenzung ist  $5 \le I_s \le 15$  m.

ANMERKUNG 3 Wenn  $b_2 < l_s$  ist, darf der Beiwert am niedrigen Ende des Daches durch Interpolation zwischen  $\mu_1$  und  $\mu_2$  ermittelt werden, wobei er zum Ende des niedrigen Daches abgeflacht werden darf (siehe Bild 5.7).

- (2) Für unverwehten Schnee gilt die Lastverteilung nach Bild 5.7, Fall (i).
- (3) Für verwehten Schnee gilt die Lastverteilung nach Bild 5.7, Fall (ii).

ANMERKUNG Falls es der Nationale Anhang zulässt, darf Anhang B für die Ermittlung der Last bei verwehtem Schnee verwendet werden.

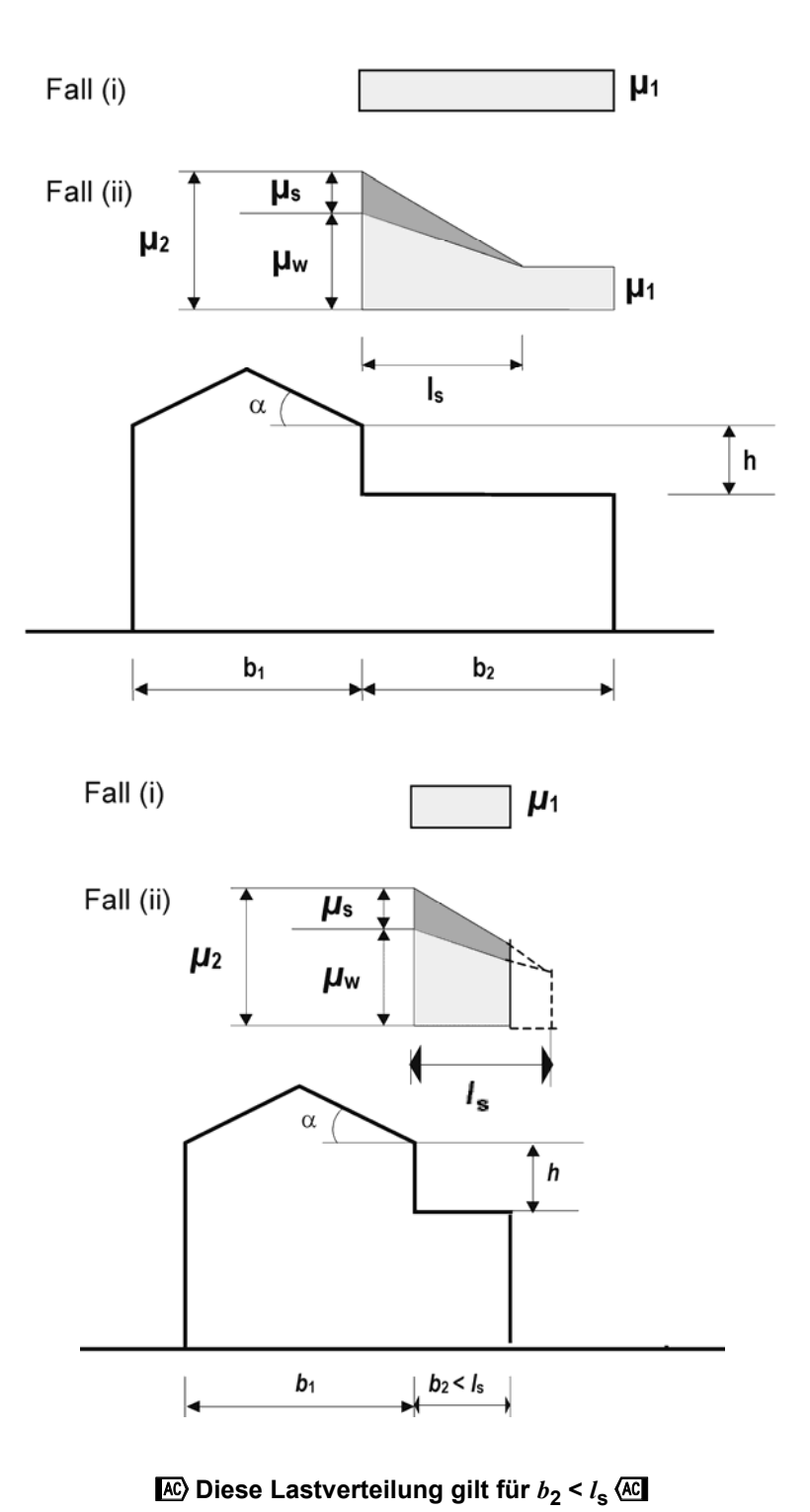


Bild 5.7 — Formbeiwerte für Schnee an Höhensprüngen

### 6 Örtliche Effekte

### 6.1 Allgemeines

- (1) Dieser Abschnitt enthält Angaben zu Kräften, die für örtliche Nachweise gelten, an
- Verwehungen an Wänden und Aufbauten;
- Dachtraufen;
- Schneegittern.
- (2) Die zu berücksichtigende Bemessungssituationen sind ständig/vorübergehend.

### 6.2 Verwehungen an Wänden und Aufbauten

- (1) Bei Wind können Schneeverwehungen an jedem Dach mit Aufbauten auftreten, da diese Flächen mit aerodynamischer Abschattung bilden, auf denen sich Schnee anhäufen kann.
- (2) Die Formbeiwerte für Schneelasten und die Verwehungslängen bei quasi-horizontalen Dächern ist in der Regel anzunehmen (siehe Bild 6.1), sofern für örtliche Verhältnisse nicht anders festgelegt:

$$\mu_1 = 0.8, \ \mu_2 = \gamma \cdot h/s_k$$
 (6.1)

mit der Einschränkung:

$$0.8 \le \mu_2 \le 2.0 \tag{6.2}$$

Dabei ist

 $\gamma$  Wichte des Schnees, die für diese Berechnung mit 2 kN/m<sup>3</sup> angenommen werden darf.

$$I_{\rm s} = 2h \tag{6.3}$$

mit der Einschränkung:

$$5 \leq \textit{I}_s \leq 15~m$$

ANMERKUNG Wenn es der Nationale Anhang zulässt, darf Anhang B dazu verwendet werden, den Lastfall infolge Schneeverwehung zu ermitteln.

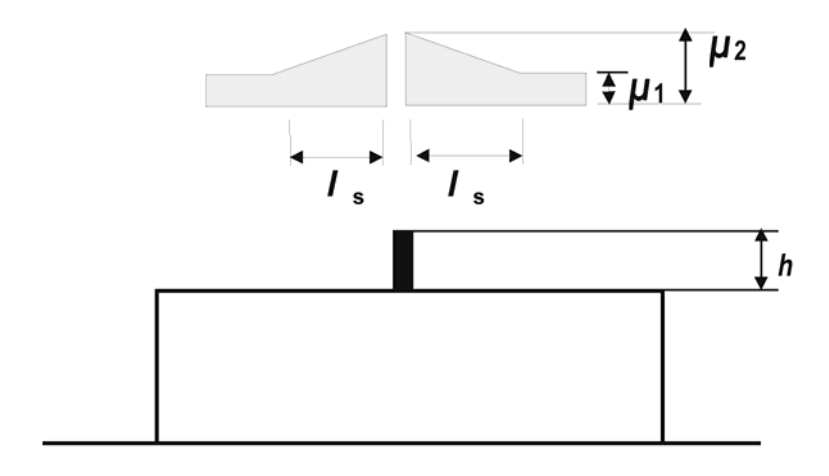


Bild 6.1 — Formbeiwerte für Schneelasten an Wänden und Aufbauten

### 6.3 Schneeüberhang an Dachtraufen

(1) An Dachtraufen sollte Schneeüberhang berücksichtigt werden.

ANMERKUNG Der Nationale Anhang darf die Bedingungen festlegen, unter denen dieser Abschnitt angewendet wird. Es wird jedoch empfohlen, diese Regelung erst bei Lagen höher als 800 m über dem Meeresspiegel anzuwenden.

(2) Bei der Bemessung von Teilen des Dachs, die über Wände hinausragen, sollte zusätzlich zur Last auf diesem Teil des Daches ein Schneeüberhang an der Traufe mit berücksichtigt werden. Die Last infolge Schneeüberhang, die an der Traufe angreifend angenommen werden, dürfen wie folgt berechnet werden:

$$s_{e} = k \cdot s^{2} / \gamma \tag{6.4}$$

Dabei ist:

- s<sub>e</sub> die Schneelast je Meter Länge infolge Schneeüberhang (siehe Bild 6.2);
- s die Schneelast auf dem Dach (siehe 5.2);
- γ die Wichte des Schnees, die für diese Berechnung mit 3 kN/m³ angenommen werden darf;
- k der Beiwert, der die unregelmäßige Form des Schneeüberhangs berücksichtigt.

ANMERKUNG k darf im Nationalen Anhang angegeben werden. Für die Berechnung wird folgendes empfohlen: k = 3/d, jedoch  $k \le d \cdot \gamma$ , wobei d die Dicke der Schneelage auf dem Dach in Metern (siehe Bild 6.2)

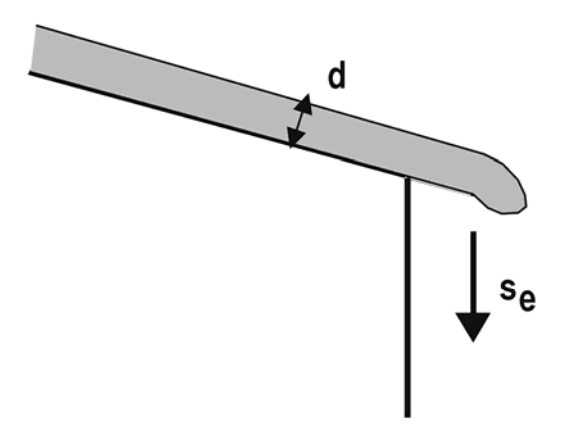


Bild 6.2 — Schneeüberhang an Dachtraufen

### 6.4 Schneelasten an Schneefanggittern und Dachaufbauten

(1) Unter bestimmten Bedingungen kann der Schnee an geneigten oder gekrümmten Dächern abrutschen. Der Reibungsbeiwert zwischen Schnee und Dach sollte mit Null angenommen werden. Die Kraft  $F_s$ , die beim Gleiten einer Schneemasse in Gleitrichtung pro Längeneinheit des Bauwerks entsteht, ist in der Regel wie folgt anzunehmen:

$$F_s = s \cdot b \cdot \sin \alpha$$
 (6.5)

Dabei ist

- s die Schneelast auf dem Dach, bezogen auf den ungünstigsten Lastfall für unverwehten Schnee, der für die Dachfläche, von der der Schnee abgeleitet, auftreten kann (siehe 5.2. und 5.3);
- b der horizontale Abstand des Fanggitters oder Aufbaus zum n\u00e4chsten Fanggitter oder zum First;
- $\alpha$  die gegen die Horizontale gemessene Dachneigung.

# **Anhang A** (normativ)

# Bemessungssituationen und Lastverteilungen für unterschiedliche örtliche Gegebenheiten

(1) Tabelle A.1 enthält vier Fälle A, B1, B2 und B3 (siehe 3.2, 3.3(1), 3.3(2) bzw. 3.3(3)), in der die Bemessungssituationen und die Lastverteilungen für jeden einzelnen Fall angegeben werden.

Tabelle A.1 — Bemessungssituationen und Lastverteilungen für unterschiedliche örtliche Gegebenheiten

Üblich		Außergewöhnliche Bedingungen	
Fall A	Fall B1	Fall B2	Fall B3
Keine außergewöhnlichen Schneefälle	Außergewöhnliche Schneefälle	Keine außergewöhnlichen Schneefälle	Außergewöhnliche Schneefälle
Keine außergewöhnliche Verwehung	Keine außergewöhnliche Verwehung	Außergewöhnliche Verwehung	Außergewöhnliche Verwehung
3.2(1)	3.3(1)	3.3(2)	3.3(3)
Ständige/vorübergehende Bemessungssituation	Ständige/vorübergehende Bemessungssituation	Ständige/vorübergehende Bemessungssituation	Ständige/vorübergehende Bemessungssituation
[1] unverweht $\mu_{ m C_eC_ts_k}$	[1] unverweht $\mu_i C_{ m e} C_{ m t} s_{ m k}$	[1] unverweht $\mu_i C_{\mathbf{e}} C_{\mathbf{t}} s_k$	[1] unverweht $\mu_i C_{\mathrm{e}} C_{\mathrm{t}} s_{\mathrm{k}}$
[2] verweht $\mu_i C_e C_t s_k$	[2] verweht $\mu_{GeC_{lSk}}$	[2] verweht $\mu_G$ e, $G_{S_K}$ (außer für Dachformen nach Anhang B) men nach Anhang B)	[2] verweht µCeCtsk (außer für Dachformen nach Anhang B)
	Außergewöhnliche Bemessungs- situation (wenn Schnee die außer- gewöhnliche Einwirkung ist)	Außergewöhnliche Bemessungs- situation (wenn Schnee die außer- gewöhnliche Einwirkung ist)	Außergewöhnliche Bemessungs- situation (wenn Schnee die außer- gewöhnliche Einwirkung ist)
	[3] unverweht $\mu_l C_{\mathrm{e}} C_{\mathrm{t}} C_{\mathrm{esl}} S_{\mathrm{k}}$	[3] verweht 4sk (für Dachformen nach Anhang B)	[3] unverweht $\mu$ C $_{ m e}$ C $_{ m t}$ C $_{ m esl}$ s $_{ m k}$
	[4] verweht $\mu_{GeC_tC_{eslS_k}}$		[4] verweht <sub>#sk</sub> (für Dachformen nach Anhang B)
ANMERKUNG 1 Außergewöhnliche Bedin	Außergewöhnliche Bedingungen werden nach dem Nationalen Anhang definiert.	definiert.	
ANMERKUNG 2 Für die Fälle B1 und B3 k	tönnen im Nationalen Anhang Bemessungssitu	Für die Fälle B1 und B3 können im Nationalen Anhang Bemessungssituationen definiert werden, die für die besonderen örtlichen Effekte nach Abschnitt 6 gelten.	n örtlichen Effekte nach Abschnitt 6 gelten.

24

# Anhang B (normativ)

# Formbeiwerte für Schneelasten bei außergewöhnlichen Schneeverwehungen

### **B.1 Anwendungsbereich**

- (1) Dieser Anhang enthält Formbeiwerte für Schneelasten zur Bestimmung der Lastverteilungen aufgrund von außergewöhnlichen Schneeverwehungen für die folgenden Dachtypen:
  - a) Scheddächer;
  - b) Höhensprünge und tiefer liegende Dächer;
  - c) Dächer, bei denen Verwehungen an Wänden, Aufbauten und Aufkantungen auftreten;
  - d) Für alle anderen Lastverteilungen sollten die Abschnitte 5 und 6, wie zutreffend, angewandt werden.
- (2) Bei der Berücksichtigung von Schneelastfällen unter Verwendung von Formbeiwerten für Schneelasten nach diesem Anhang sollte davon ausgegangen werden, dass diese als außergewöhnliche Lasten durch Schneeverwehungen angesehene werden und dass sich daneben kein Schnee auf dem Dach befindet.
- (3) Unter bestimmten Umständen kann mehr als ein Lastfall durch Schneeverwehung für dieselbe Stelle auf einem Dach gelten; in diesem Fall sollten diese Lastfälle als Alternativen behandelt werden.

### **B.2 Scheddächer**

(1) Der Formbeiwert für Schneelasten für eine außergewöhnliche Schneeverwehung für Kehlen von Scheddächern ist in Bild B.1 und B.2(2) angegeben.

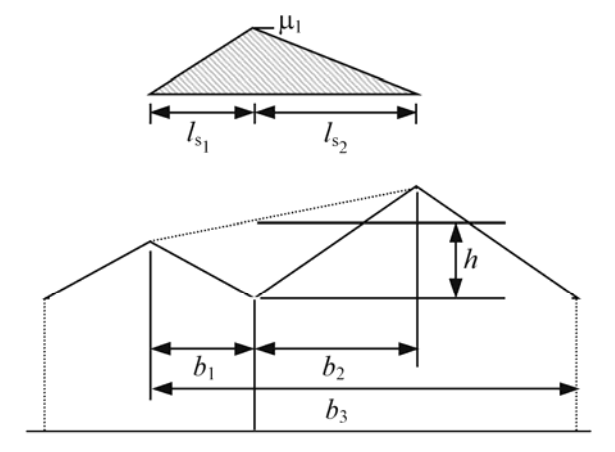


Bild B.1 — Formbeiwert und Verwehungslängen für außergewöhnliche Schneeverwehungen — Kehlen von Scheddächern

(2) Der in Bild B.1 angegebene Formbeiwert wird als der kleinste der folgenden Werte bestimmt:

$$\mu_1 = 2h/s_k$$

$$\mu_1 = 2b_3/(I_{s1} + I_{s2})$$

$$\mu_1 = 5$$

Die Längen der Verwehung werden bestimmt als:

$$I_{s1} = b_1, I_{s2} = b_2$$

- (3) Bei Dächern mit mehr als zwei Firsten, die näherungsweise symmetrisch und von gleicher Geometrie sind, sollte  $b_3$  als Projektion der zwei geneigten Dachflächen (d. h. Schedbreite  $\times$  1,5) angenommen werden und diese Schneelastverteilung sollte für alle Kehlen gelten, wenn auch nicht notwendigerweise gleichzeitig wirkend.
- (4) Bei der Wahl von  $b_3$  für Dächer mit ungleichmäßiger Geometrie sollte darauf geachtet werden, dass merkliche Unterschiede in den Firsthöhen und/oder bei den Schedbreiten die freie Verwehung des Schnees über das Dach behindern und die für die Anhäufung theoretisch vorhandene Schneemenge beeinflussen können.
- (5) Wenn bei der Bemessung eines Bauwerks als Gesamtheit gleichzeitige Verwehungen in mehreren Kehlen eines Scheddaches berücksichtigt werden, sollte eine Höchstgrenze für die Menge des verwehten Schnees auf dem Dach angesetzt werden. Die Gesamtschneelast je Meter Länge in allen gleichzeitigen Verwehungen sollte nicht höher sein als das Produkt aus der Schneelast auf dem Boden und der Länge des Bauwerks rechtwinklig zu den Kehlfirsten.

ANMERKUNG Wenn das Bauwerk asymmetrischen Belastungen ausgesetzt ist, sollte der Planer auch die Möglichkeit von Verwehungen unterschiedlicher Stärke in den Kehlen berücksichtigen.

### B.3 Höhensprünge und tiefer liegende Dächer

- (1) Die Formbeiwerte für Schneelasten bei außergewöhnlichen Schneeverwehungen, die für Höhensprünge und tiefer liegende Dächer angewandt werden sollten, sind in Bild B.2 und Tabelle B.1 angegeben.
- (2) Der in Bild B.2 angegebene Schneelastfall gilt auch für Dächer nahe an tiefer liegenden Bauwerken, an die sie jedoch nicht anstoßen, wobei nur die tatsächliche Last auf dem unteren Dach berücksichtigt werden muss, d. h. die Last zwischen den beiden Bauwerken kann vernachlässigt werden.

ANMERKUNG Der Effekt von Bauwerken, die nahe am unteren Dach liegen, aber an dieses nicht anstoßen, hängt von den vorhandenen Dachflächen ab, von denen Schnee in die Verwehung geblasen werden kann, sowie von den Höhenunterschieden. Als Näherungsregel ist es jedoch nur erforderlich, nahegelegene Bauwerke zu berücksichtigen, die weniger als 1,5 m entfernt sind.

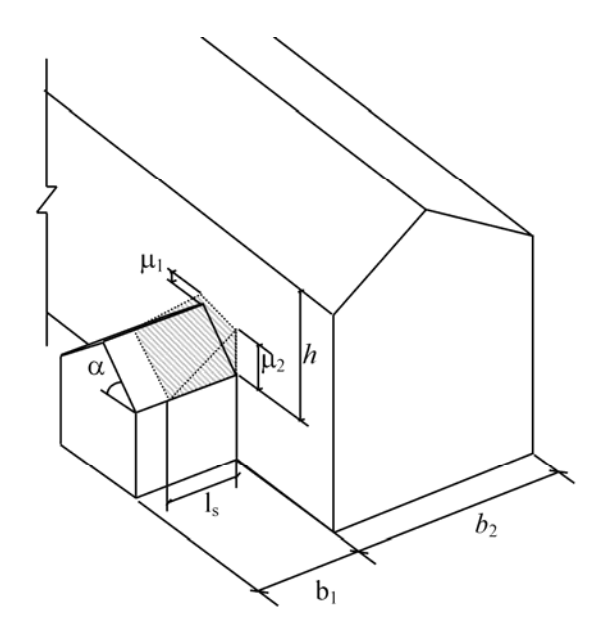


Bild B.2 — Formbeiwerte und Längen der Verwehungen bei außergewöhnlichen Schneeverwehungen — Höhensprünge und tiefer liegende Dächer

(3) Die Länge der Verwehung  $l_s$  ist der geringste Wert von 5h,  $b_1$  oder 15 m.

Tabelle B.1 — Formbeiwerte bei außergewöhnlichen Schneeverwehungen für Höhensprünge und tiefer liegende Dächer

Formbeiwert	Dachneigung $lpha_1$			
	0° ≤ α ≤ 15°	15° < α ≤ 30°	30° < α < 60°	60° ≤ <i>α</i>
$\mu_1$	$\mu_3$	$\mu_3 [(30 - \alpha)/15]$	0	0
$\mu_2$	$\mu_3$	$\mu_3$	$\mu_3 [(60 - \alpha)/30]$	0

ANMERKUNG  $\mu_3$  ist der geringste Wert von  $2h/s_k$ ,  $2b/l_s$  oder 8, wobei b der größere Wert von  $b_1$  oder  $b_2$  ist und  $l_s$  der geringste Wert von 5h,  $b_1$  oder 15 m ist.

### B.4 Dächer mit Verwehungen an Wänden, Aufbauten und Aufkantungen

- (1) Die Formbeiwerte für Schneelasten bei außergewöhnlichen Schneeverwehungen für Dächer mit Verwehungen an Wänden und Aufbauten außer Verkantungen sind in B.4(2) und Bild B.3 angegeben. Formbeiwerte für Verwehungen hinter Aufkantungen sind in B.4(4) angegeben.
- (2) a) Wenn die Erhebung, an der sich eine Verwehung bilden könnte, nicht mehr als 🖾 1 m 🖾 beträgt, kann der Effekt der Verwehung vernachlässigt werden.
  - b) Dieser Abschnitt gilt für:
    - Verwehungen an Aufbauten mit einer Höhe von nicht mehr als 1 m;
    - Verwehungen an Vordächern, die nicht mehr als 5 m über die Bauwerksseite über Türen oder Verladerampen hinausragen, unabhängig von der Höhe der Aufbauten;
    - Schmale Aufbauten über eine Höhe von 1 m, jedoch mit einer Breite von nicht mehr als 2 m, dürfen als stellenweise Überstände angesehen werden. Für diesen speziellen Fall darf h als der geringer Wert von Überstandshöhe oder Breite rechtwinklig zur Windrichtung angesehen werden.

c) Der in Bild B.3 angegebene Formbeiwert wird bestimmt als der geringste Wert von:

 $\mu_1 = 2h_1/s_k \text{ oder } 5$ 

 $\mu_2 = 2h_2/s_k \text{ oder } 5$ 

Zusätzlich sollte  $\mu_1$  bei Türvordächern, die nicht mehr als 5 m über das Bauwerk hinausragen, nicht mehr als  $2b/l_{s1}$  betragen, wobei b der größere Wert von  $b_1$  und  $b_2$  ist.

d) Als Länge der Verwehung ( $I_{si}$ ) gilt der geringste Wert von 5h oder  $b_i$ , wobei i = 1 oder 2 und  $h \le 1$  m.

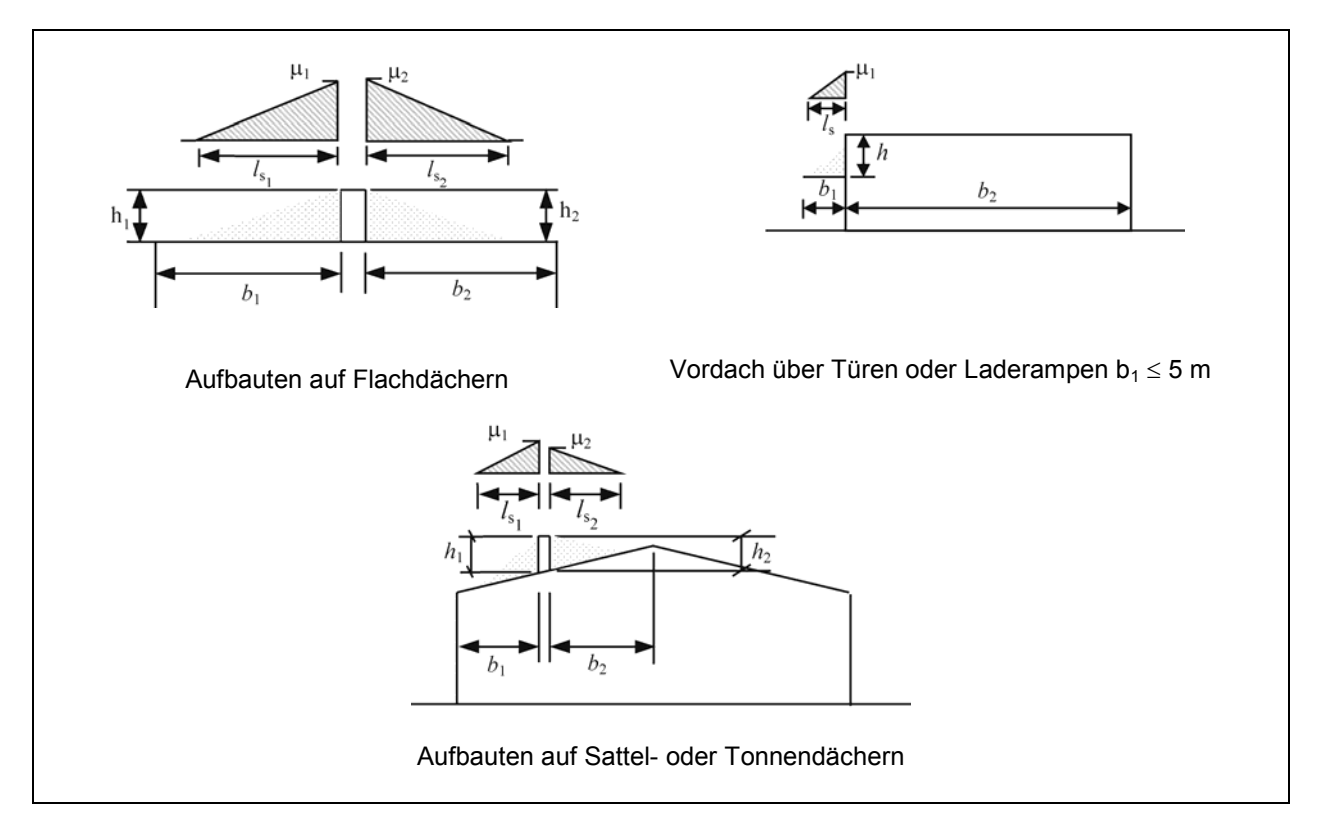


Bild B.3 — Formbeiwerte bei außergewöhnlichen Schneeverwehungen für Dächer mit Verwehungen an Wänden und Aufbauten

(3) Die Formbeiwerte für Schneelasten bei außergewöhnlichen Schneeverwehungen für Dächer mit Verwehungen an Aufkantungen sind in Bild B.4 angegeben.

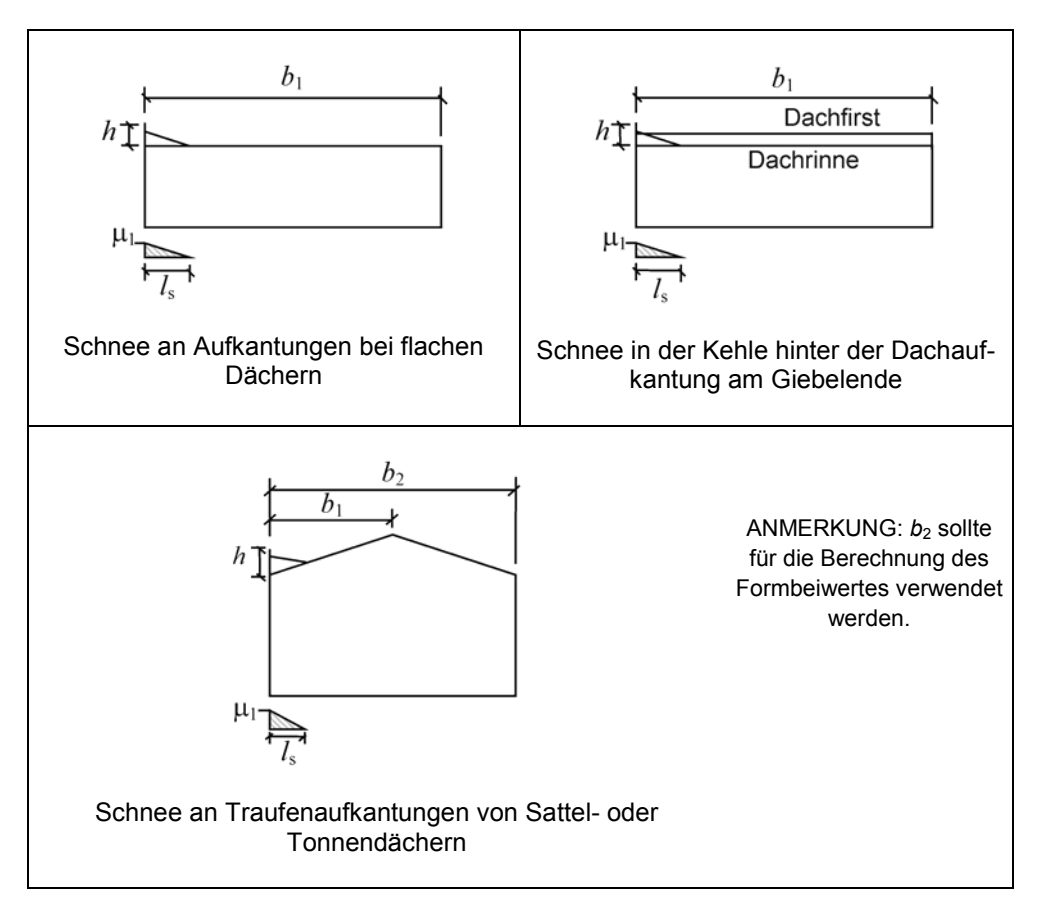


Bild B.4 — Formbeiwerte bei außergewöhnlichen Schneeverwehungen — Dächer mit Verwehungen an Aufkantungen

(4) Der in Bild B.4 angegebene Formbeiwert wird bestimmt als der geringste Wert von:

$$\mu_1 = 2h/s_k$$

 $\mu_1 = 2b/l_s$ , wobei *b* der größere Wert von  $b_1$  und  $b_2$  ist

 $\mu_1 = 8$ 

Als Länge der Verwehung  $l_s$  sollte der geringste Wert von 5h,  $b_1$  oder 15 m gelten.

(5) Bei Verwehungen in einer Kehle hinter einer Aufkantung an einer Giebelwand sollte angenommen werden, dass die Schneelast an der Seite der Aufkantung sich linear von ihrem Höchstwert in der Kehle auf Null an den angrenzenden Firsten verringert, vorausgesetzt, dass die Aufkantung um nicht mehr als 300 mm über den First hinausreicht.

# Anhang C (informativ)

### Europäische Karte für Schneelasten auf dem Boden

(1) Dieser Anhang enthält europäische Schneekarten, die anhand wissenschaftlicher Untersuchen im Auftrag der DGIII/D-3<sup>5)</sup> der Europäischen Kommission von einer eigen dazu eingesetzten Forschungsgruppe erstellt wurden.

ANMERKUNG Schneekarten von CEN-Mitgliedern, die nicht direkt an den Arbeiten der zuständigen Forschungsgruppe beteiligt waren, sind in Abschnitte C(5) Tschechische Republik, C(6) Island und C(7) Polen dieses Anhangs enthalten.

- (2) Der Zweck dieses Anhangs ist, wie in 1.1(5) festgelegt:
- zuständige nationale Behörden bei der Überarbeitung ihrer nationalen Karte zu unterstützen;
- ein vereinheitlichtes Verfahren für die Erstellung von Karten zur Verfügung zu stellen.

Dies soll die Unterschiede von Schneelastwerten zwischen CEN-Mitgliedsstaaten und insbesondere an deren Grenzen ausmerzen oder verringern.

- (3) Die von der zuständigen Forschungsgruppe (AC) entwickelten Schneekarten sind (AC) in neun verschiedenen Klimaregionen eingeteilt (siehe Bild C.1 bis C.10), die in sich geschlossene Gebiete darstellen.
- (4) In jeder Klimazone gilt eine Rechenvorschrift für die Höhenlage/Schneelast-Abhängigkeit nach Tabelle C.1.

Für jede Klimaregion sind verschiedene Zonen festgelegt. Die Zonen sind mit Zahlen belegt, die in der Höhenlage/ Schneelast Rechenvorschrift verwendet werden.

Allein die Norwegische Karte gibt die Schneelasten auf dem Boden an verschiedenen Orten direkt an.

Die angegebenen charakteristischen Werte der Schneelasten auf dem Boden beziehen sich auf eine Wiederkehrperiode von 50 Jahren.

- (5) Die Karte in Bild C.11 wurde von den tschechischen Behörden zur Verfügung gestellt.
- (6) Die Karte in Bild C.12 wurde von den isländischen Behörden zur Verfügung gestellt.
- (7) Die Karte in Bild C.13 wurde von den polnischen Behörden zur Verfügung gestellt.

<sup>5)</sup> In den nachfolgend aufgeführten Papieren sind die Ergebnisse der Studie enthalten; beide Papiere können bezogen werden bei: Kommission der Europäischen Gemeinschaft DGIII-D-3, Rue de la Loi, 200 B-1049 Brüssel, oder Universitä degli Studi di Pisa Dipartimento di Ingegneria Strutturale, Via Diotisalvi, 2, 56100 Pisa (IT).

<sup>1.</sup> Phase 1 Final Report to the European Commission, Scientific Support Activity in the Field of Structural Stability of Civil Engineering Works: Snow Loads, Department of Structural Engineering, University of Pisa, March 1998.

<sup>2.</sup> Phase 2 Final Report to the European Commission, Scientific Support Activity in the Field of Structural Stability of Civil Engineering Works: Snow Loads, Department of Structural Engineering, University of Pisa, September 1999.

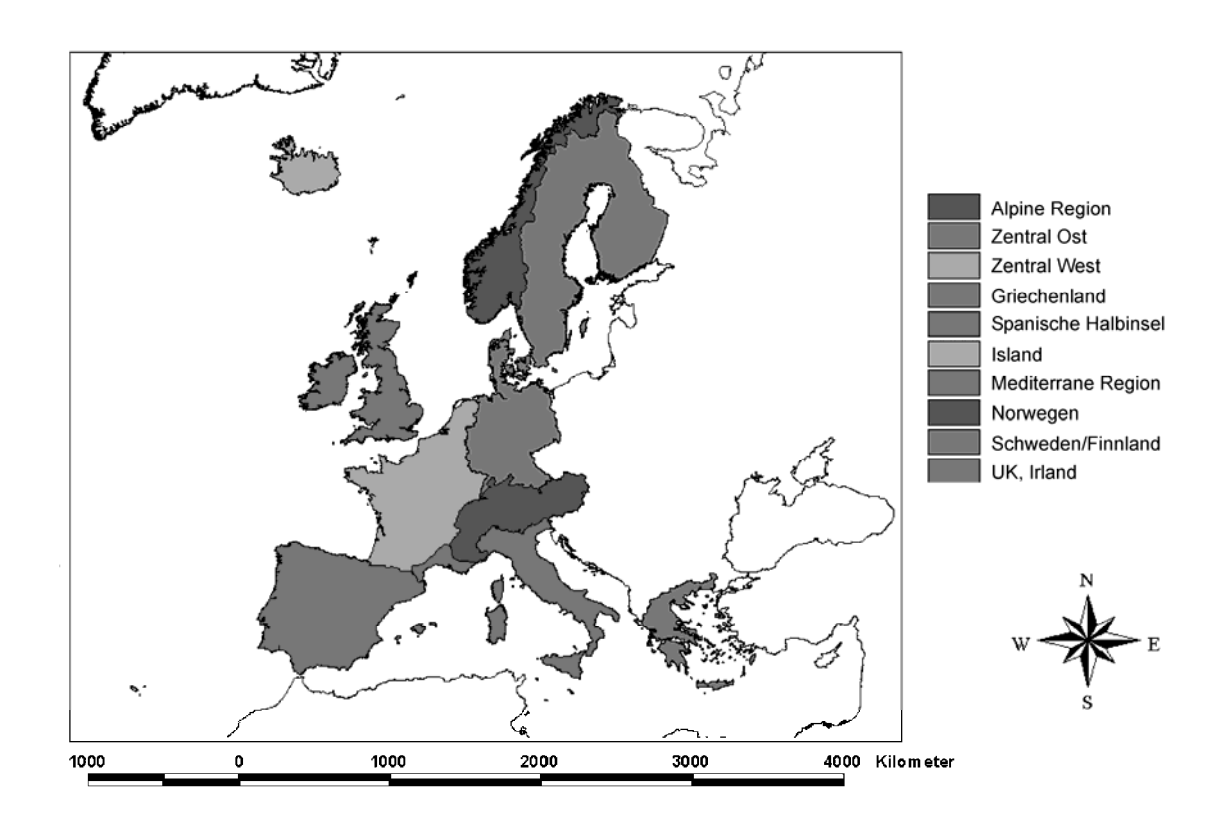


Bild C.1 — Europäische Klimaregionen

Tabelle C.1 — Höhenlage/Schneelast-Abhängigkeit

Klimaregion	Rechenvorschrift
Alpine Region	$s_{k} = (0.642Z + 0.009) \left[ 1 + \left( \frac{A}{728} \right)^{2} \right]$
Zentral Ost	$s_k = (0.264Z - 0.002) \left[ 1 + \left( \frac{A}{256} \right)^2 \right]$
Griechenland	$s_k = (0.420Z - 0.030) \left[ 1 + \left( \frac{A}{917} \right)^2 \right]$
Spanische Halbinsel	$s_k = (0.190Z - 0.095) \left[ 1 + \left( \frac{A}{524} \right)^2 \right]$
Mediterrane Region	$s_k = (0.498Z - 0.209) \left[ 1 + \left( \frac{A}{452} \right)^2 \right]$
Zentral West	$s_k = 0.164Z - 0.082 + \frac{A}{966}$
Schweden, Finnland	$s_{k} = 0.790Z + 0.375 + \frac{A}{336}$
UK, Irland	$s_{k} = 0.140Z - 0.1 + \frac{A}{501}$

### Dabei ist

 $\emph{s}_{k}$  die charakteristische Schneelast auf dem Boden [kN/m $^{2}$ ]

A die Geländehöhe über dem Meeresspiegel [m]

Z die Nummer der in der Karte angegebenen Zone.

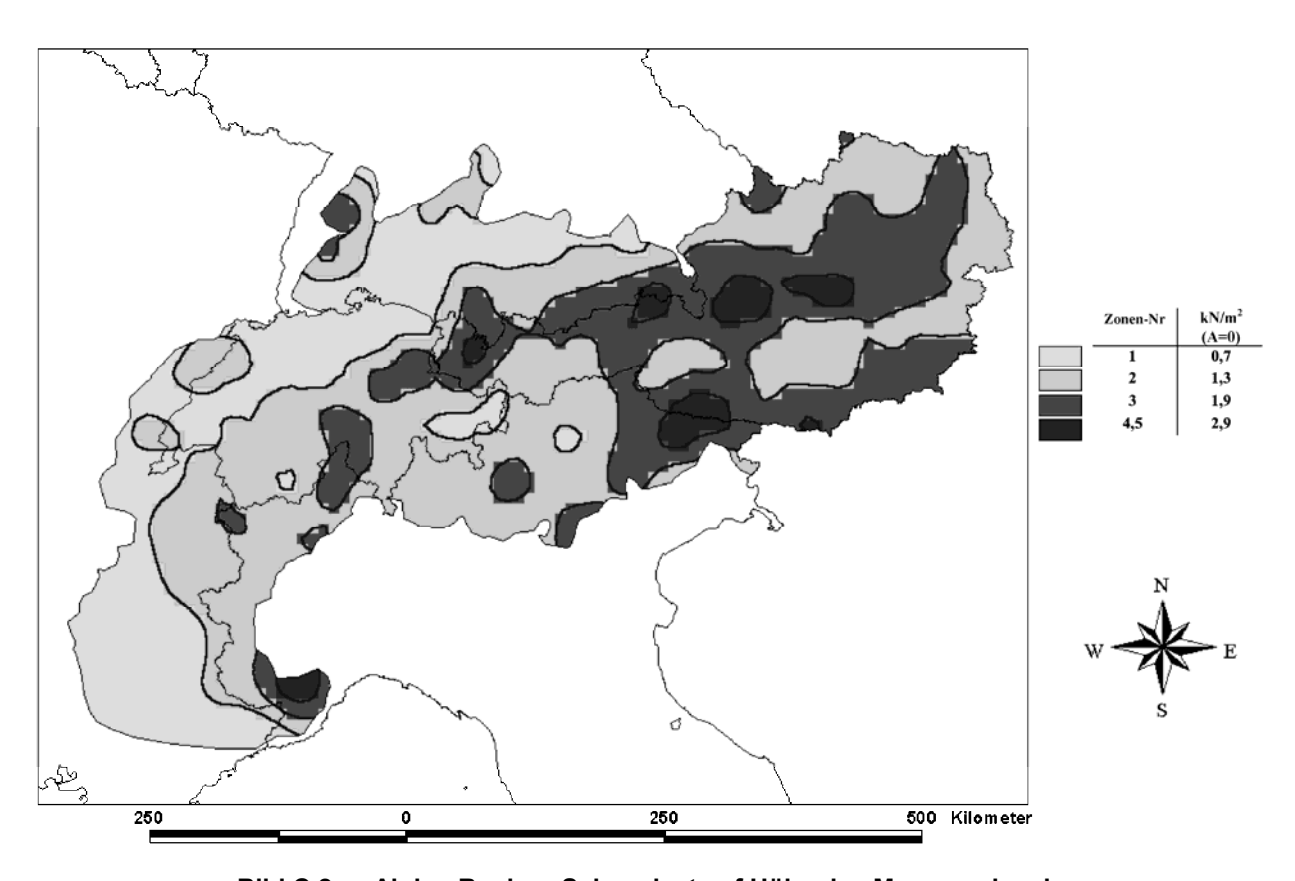


Bild C.2 — Alpine Region: Schneelast auf Höhe des Meeresspiegels

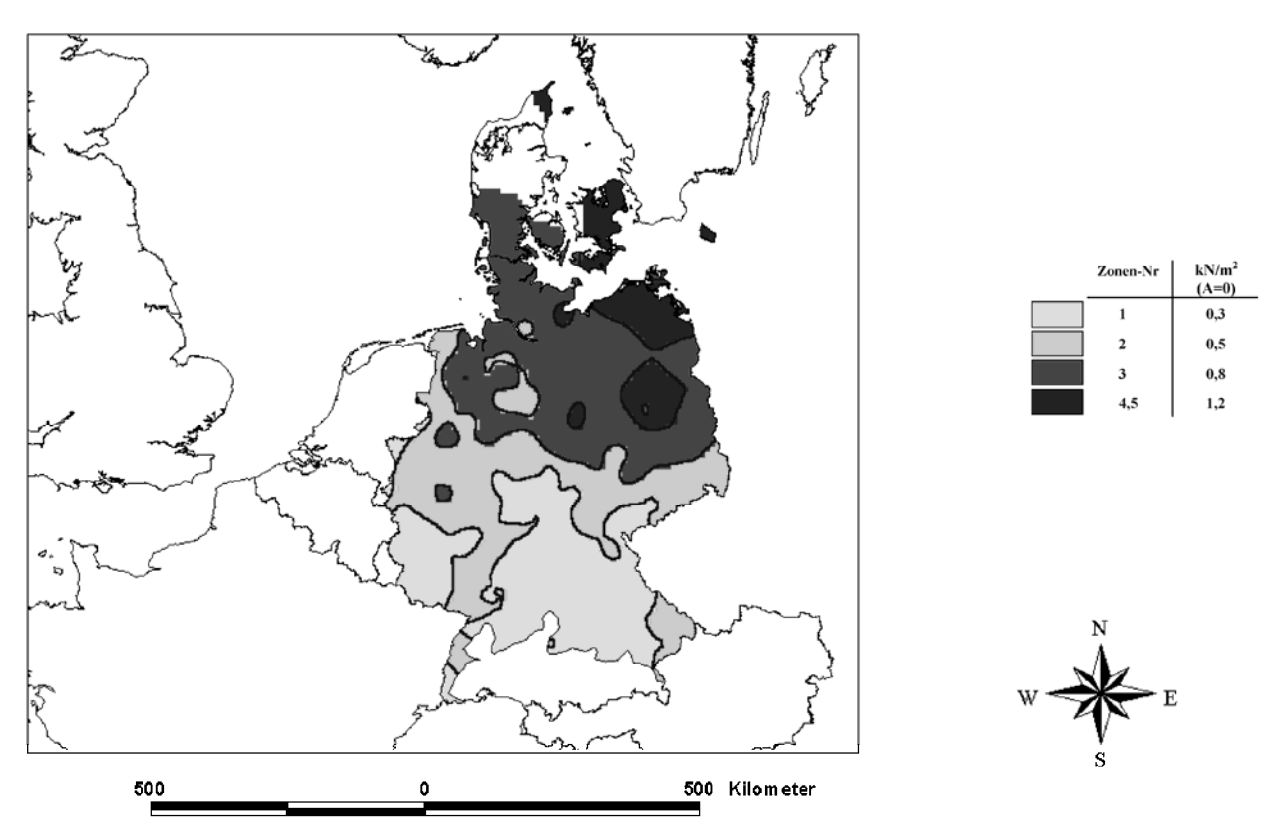


Bild C.3 — Zentral Ost: Schneelast auf Höhe des Meeresspiegels

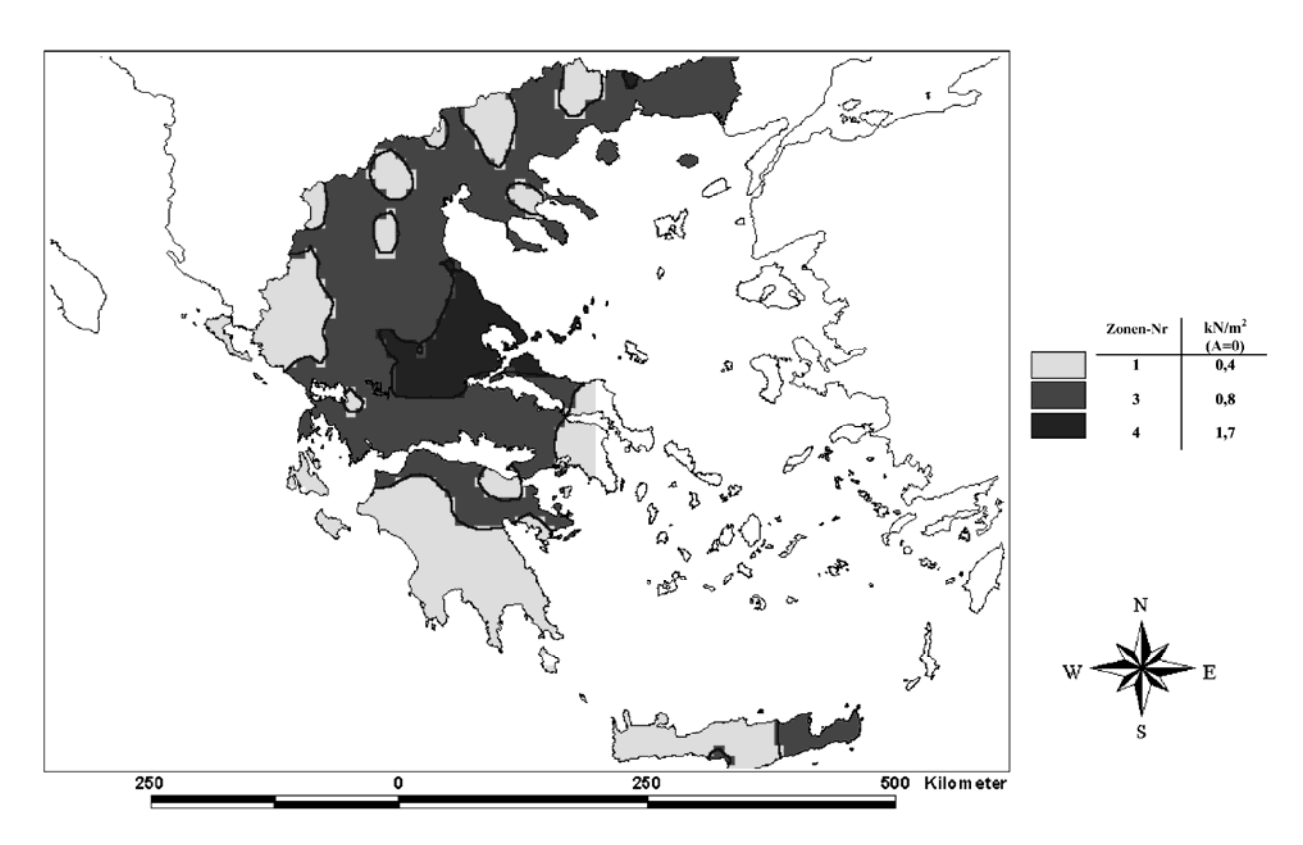


Bild C.4 — Griechenland: Schneelast auf Höhe des Meeresspiegels

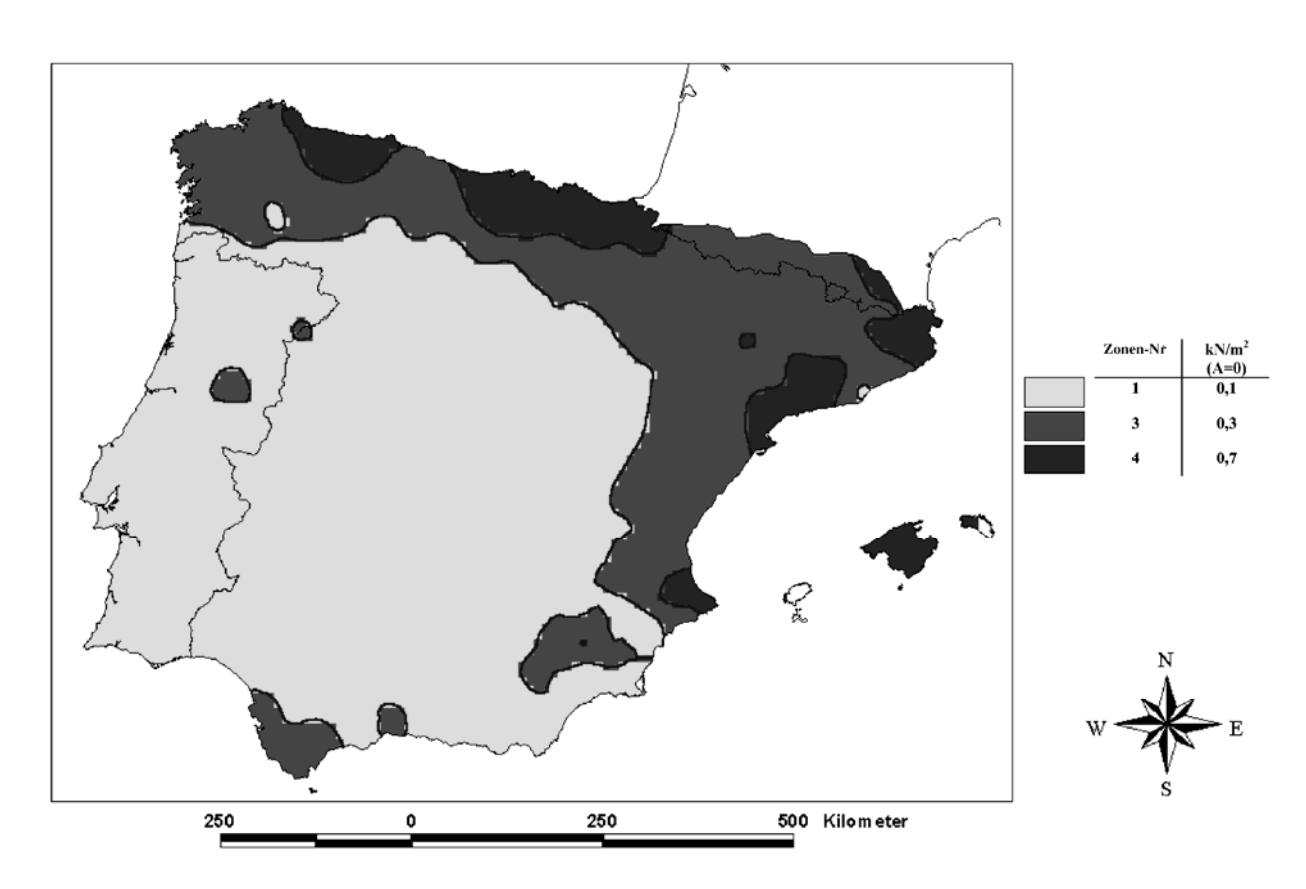


Bild C.5 — Spanische Halbinsel: Schneelast auf Höhe des Meeresspiegels

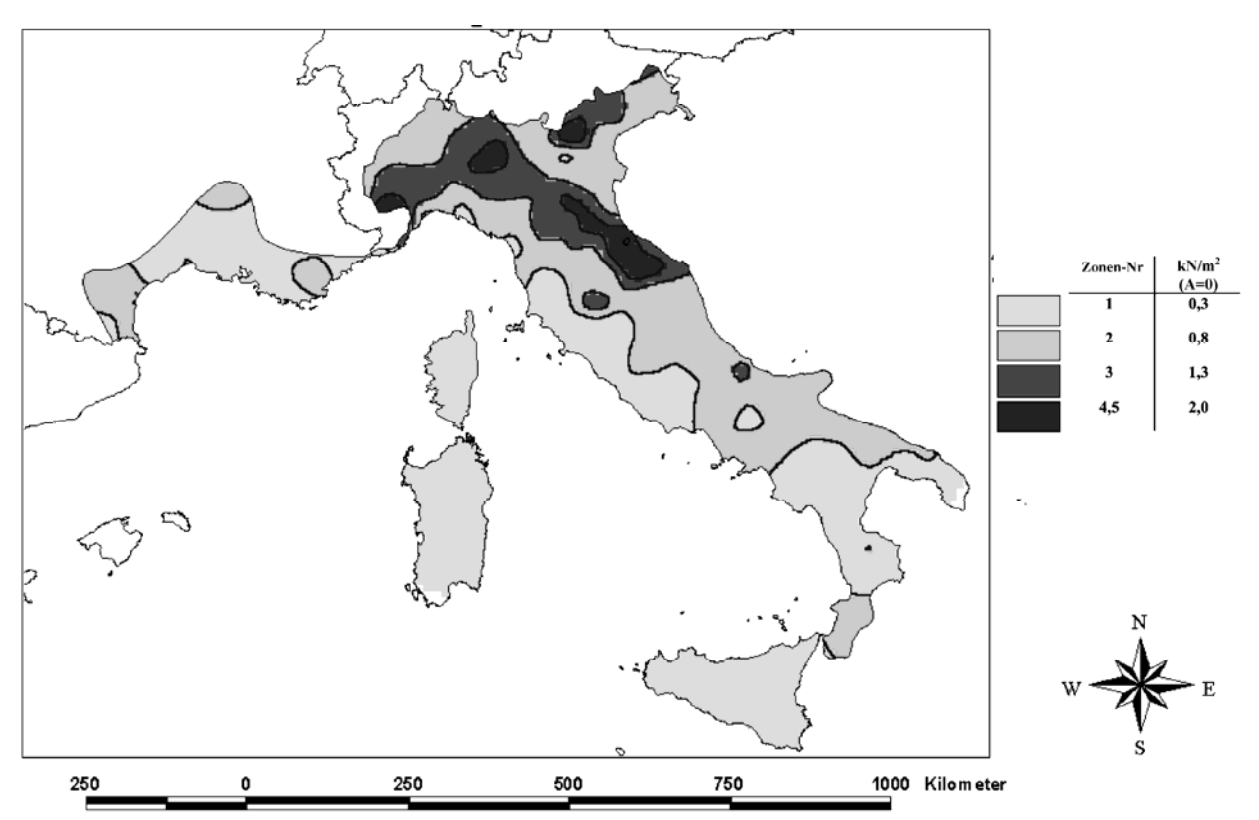


Bild C.6 — Mediterrane Region: Schneelast auf Höhe des Meeresspiegels

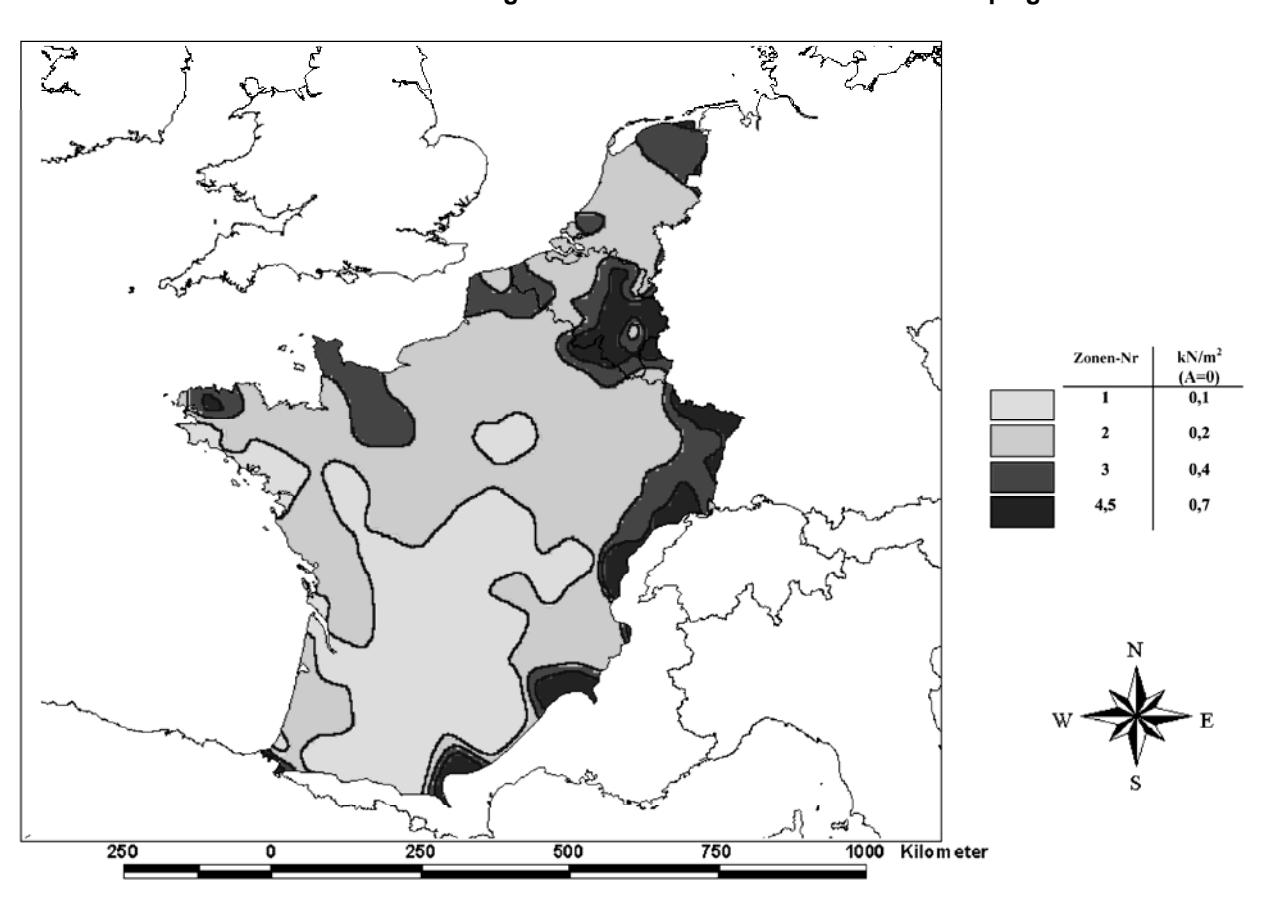


Bild C.7 — Zentral West: Schneelast auf Höhe des Meeresspiegels

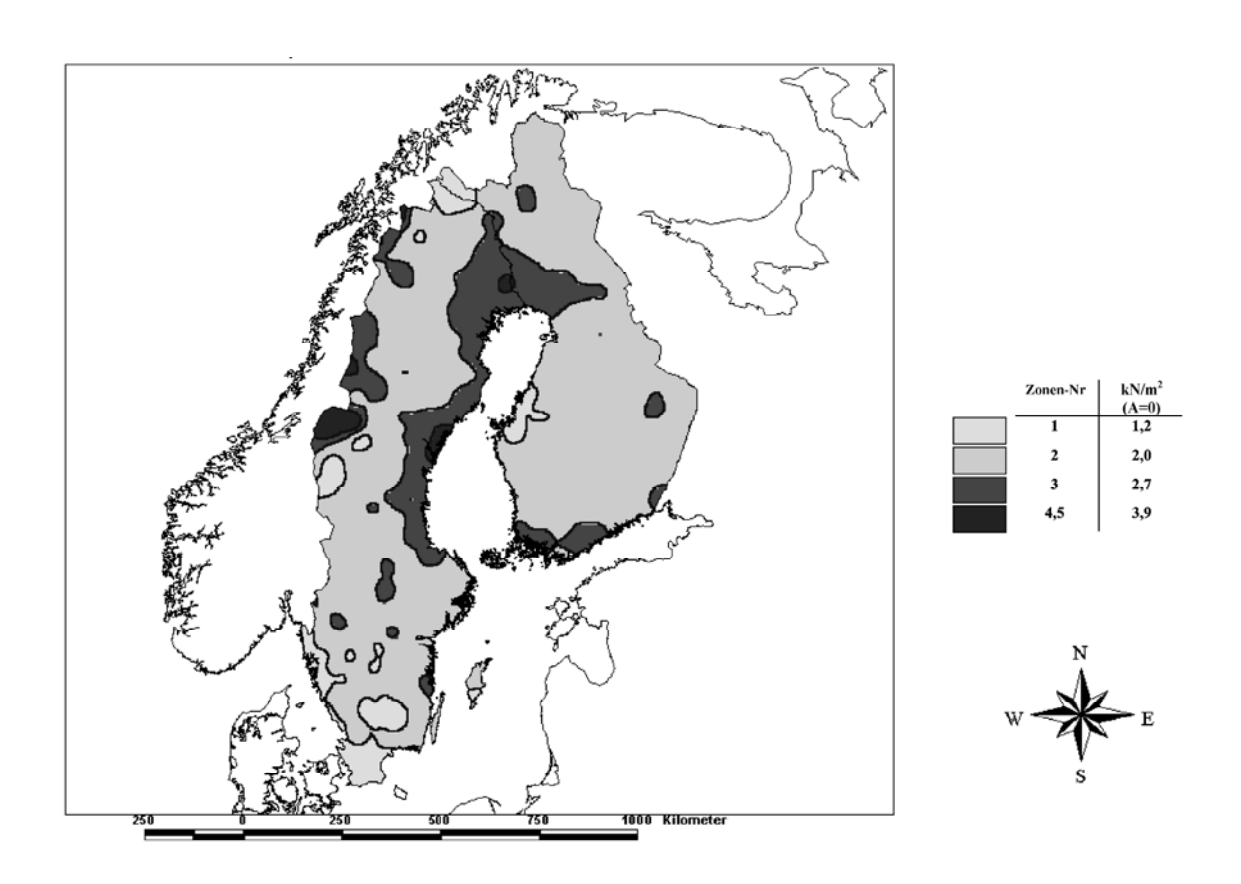


Bild C.8 — Schweden, Finnland: Schneelast auf Höhe des Meeresspiegels

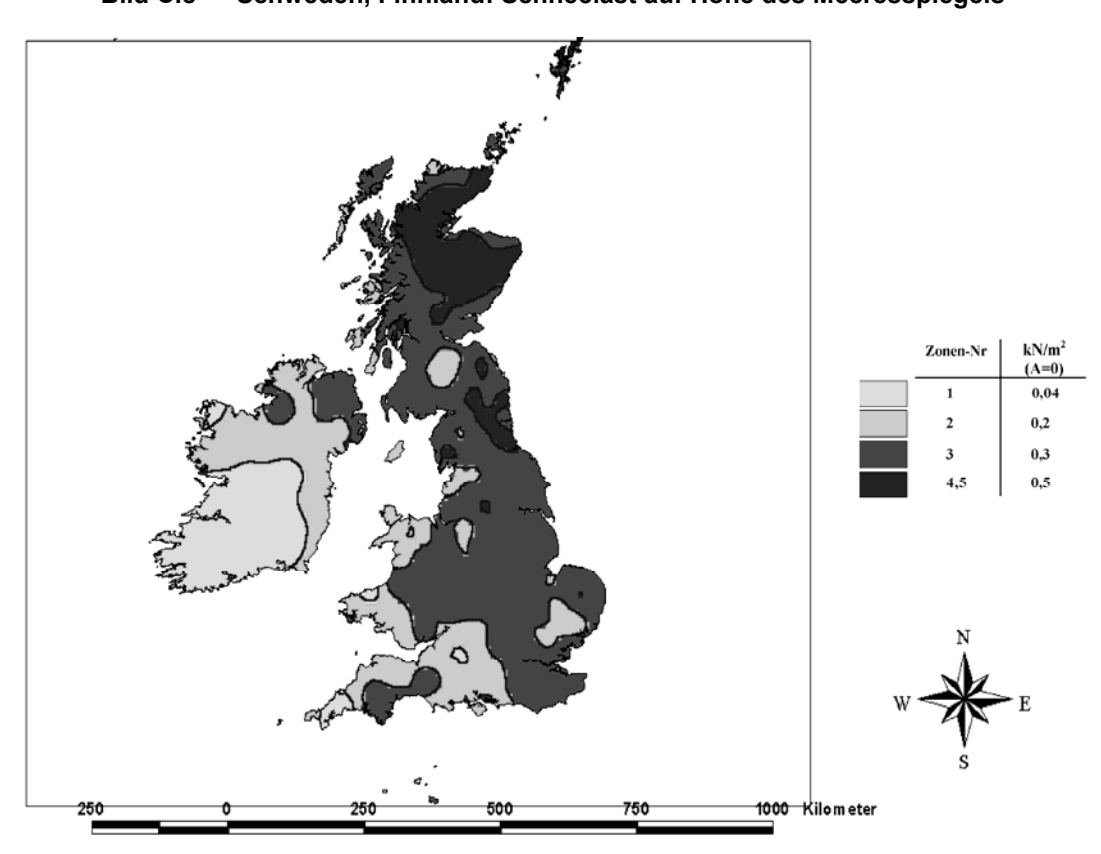


Bild C.9 — UK, Irland: Schneelast auf Höhe des Meeresspiegels

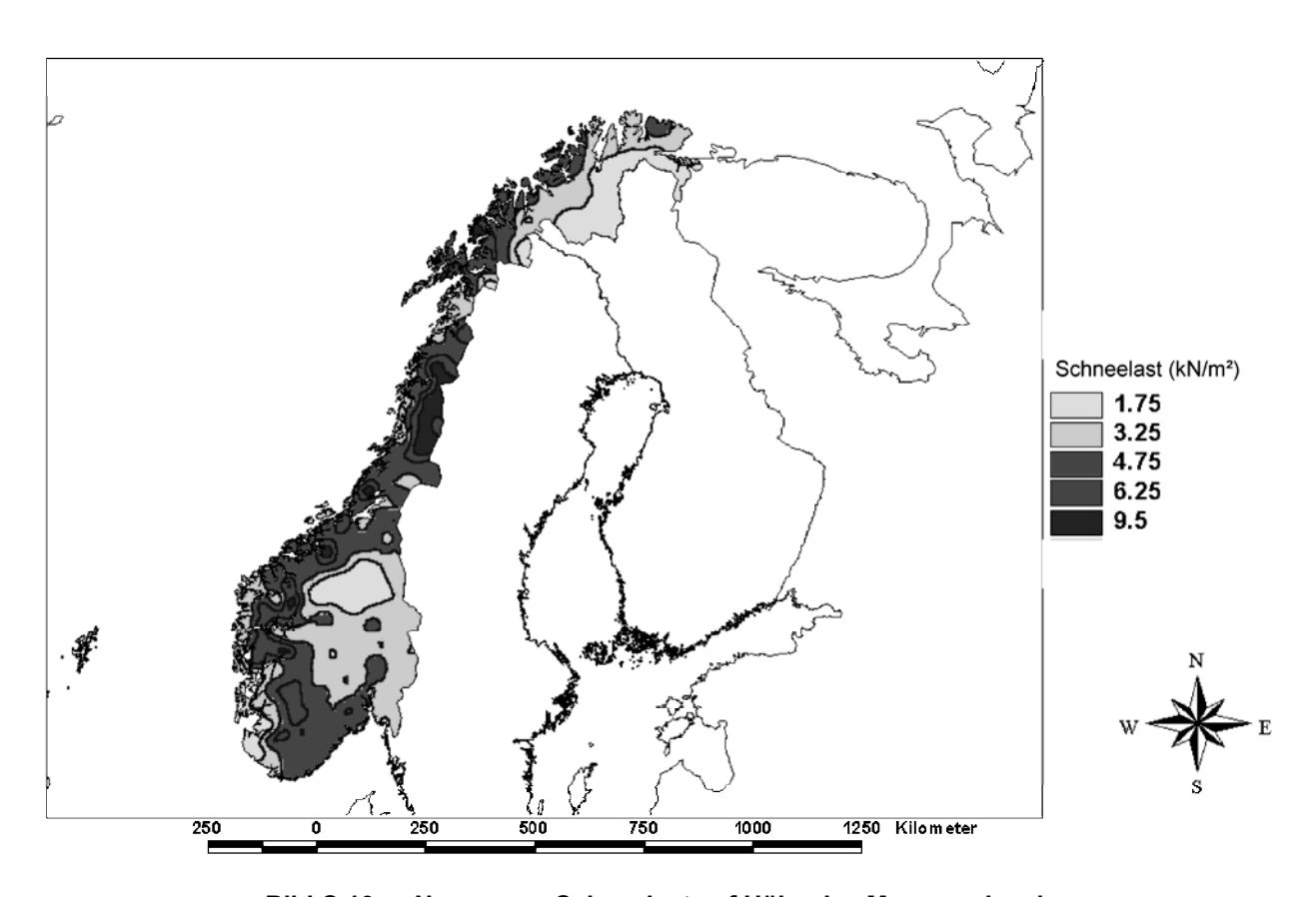
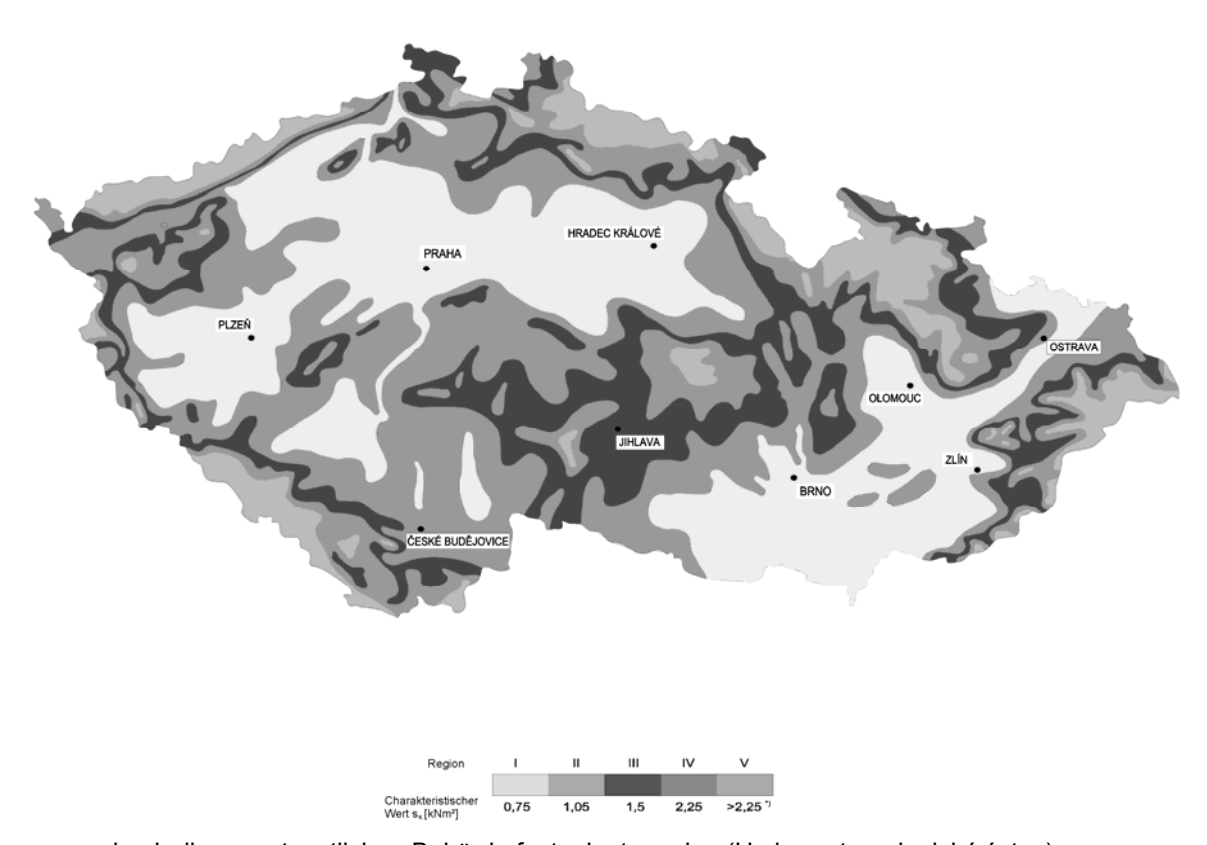


Bild C.10 — Norwegen: Schneelast auf Höhe des Meeresspiegels



 $<sup>^*</sup>$ ) s $_k$  muss durch die verantwortlichen Behörde festgelegt werden (Hydrometeorologický ústav)

Bild C.11 — Tschechische Republik: Schneelast auf Höhe des Meeresspiegels

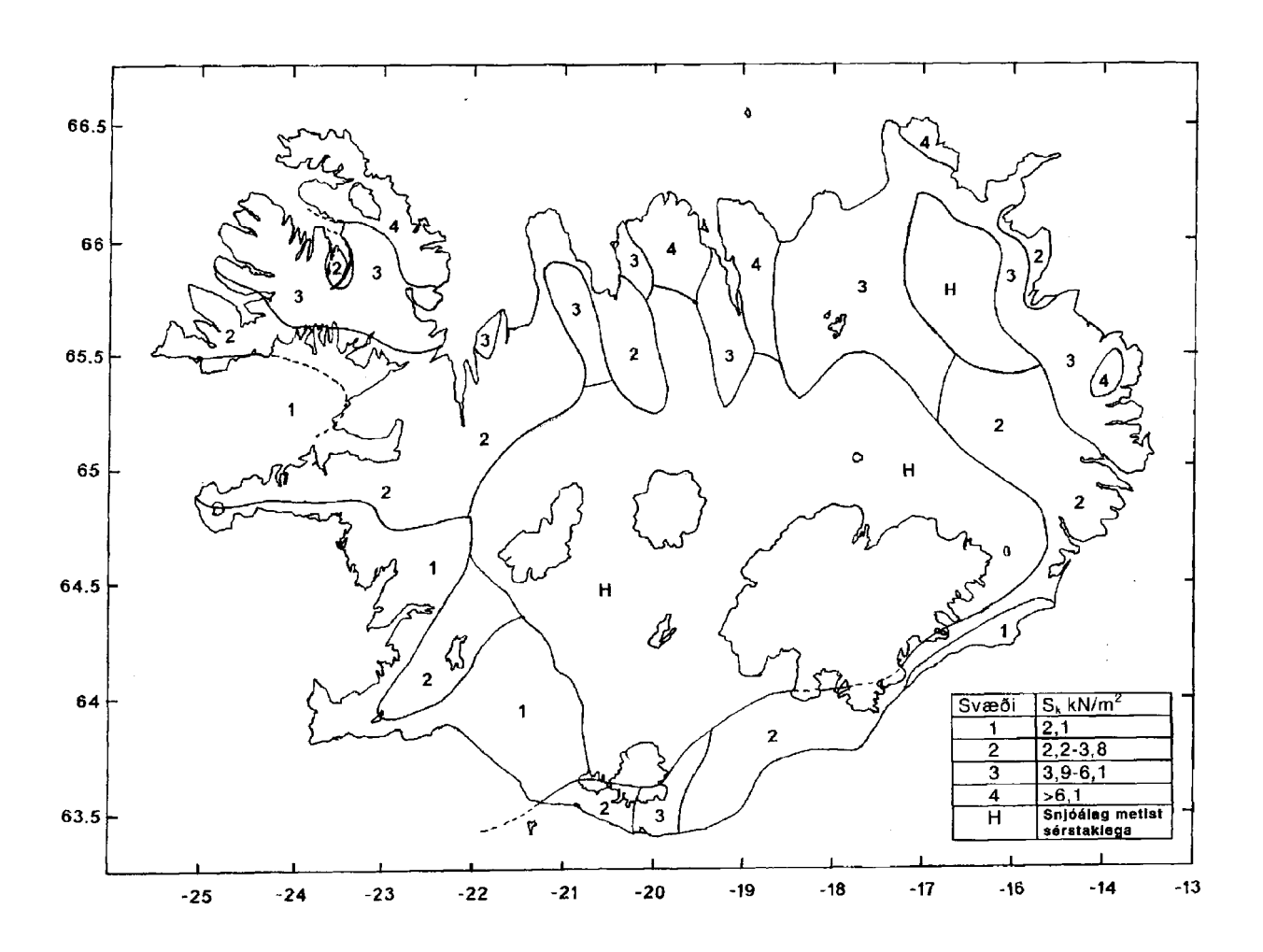
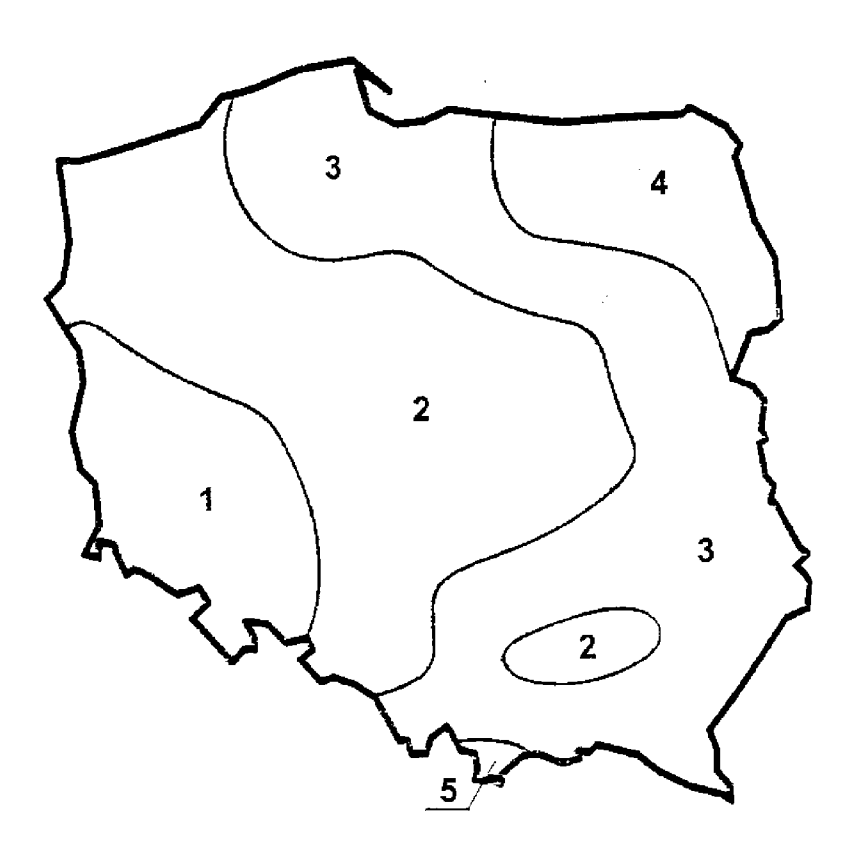


Bild C.12 — Schneekarte von Island



Zone	s <sub>k</sub> , kN/m <sup>2</sup>	
1	$0.007A - 1.4;$ $s_k \ge 0.70$	
2	0,9	
3	$0.006A - 0.6;$ $s_k \ge 1.2$	
4	1,6	
5	$0.93 \exp(0.00134A); s_k \ge 2.0$	
Dabei ist		
A die Höhenlage des Bauwerkes über Meeresspiegel (m)		

Bild C.13 — Schneekarte von Polen

## Anhang D (informativ)

# Anpassung der Schneelast auf dem Boden in Übereinstimmung mit der Wiederkehrperiode

- (1) Schneelasten auf dem Boden für jedes mittlere Wiederkehrintervall, dass von der charakteristischen Schneelast  $s_k$  abweicht (die per Definition auf einer jährlichen Überschreitungswahrscheinlichkeit von 0,02 beruht), dürfen durch Anwendung von D(2) bis D(4) angepasst werden, um den charakteristischen Werten zu entsprechen. Die Gleichung (D.1) sollte jedoch nicht für jährliche Überschreitungswahrscheinlichkeit von mehr als 0,2 angewandt werden (d. h. eine Wiederkehrperiode von weniger als ungefähr 5 Jahren).
- (2) Wenn die verfügbaren Daten ergeben, dass bei der jährlichen Höchstschneelast eine Gumbel-Verteilung angenommen werden kann, wird das Verhältnis zwischen dem charakteristischen Wert der Schneelast auf dem Boden und der Schneelast auf dem Boden für ein mittlere Wiederkehrperiode von *n* Jahren durch folgende Gleichung angegeben:

$$s_{n} = s_{k} \left\{ \frac{1 - V \frac{\sqrt{6}}{\pi} \left[ \ln(-\ln(1 - P_{n})) + 0.57722 \right]}{\left(1 + 2.5923V\right)} \right\}$$
 (D.1)

#### Dabei ist

- s<sub>k</sub> die charakteristische Schneelast auf dem Boden (mit einer Wiederkehrperiode von 50 Jahren nach EN 1990:2002);
- $s_n$  die Schneelast auf dem Boden mit einer Wiederkehrperiode von n Jahren;
- P<sub>n</sub> die j\u00e4hrliche Wahrscheinlichkeit der \u00fcberschreitung (entspricht ungef\u00e4hr 1/n, wobei n das entsprechende Wiederkehrintervall (Jahren) ist;
- V der Koeffizient der Schwankung der jährlichen Höchstschneelast.

ANMERKUNG 1 Wenn zutreffend, kann eine andere Verteilungsfunktion für die Anpassung der Wiederkehrperiode der Schneelast auf dem Boden von den entsprechenden nationalen Behörden definiert werden.

ANMERKUNG 2 Informationen über den Koeffizient der Schwankung können von der entsprechenden nationalen Behörde gegeben werden.

(3) Die Gleichung (D.1) ist graphisch in Bild D.1 dargestellt.

## EN 1991-1-3:2003 + AC:2009 (D)

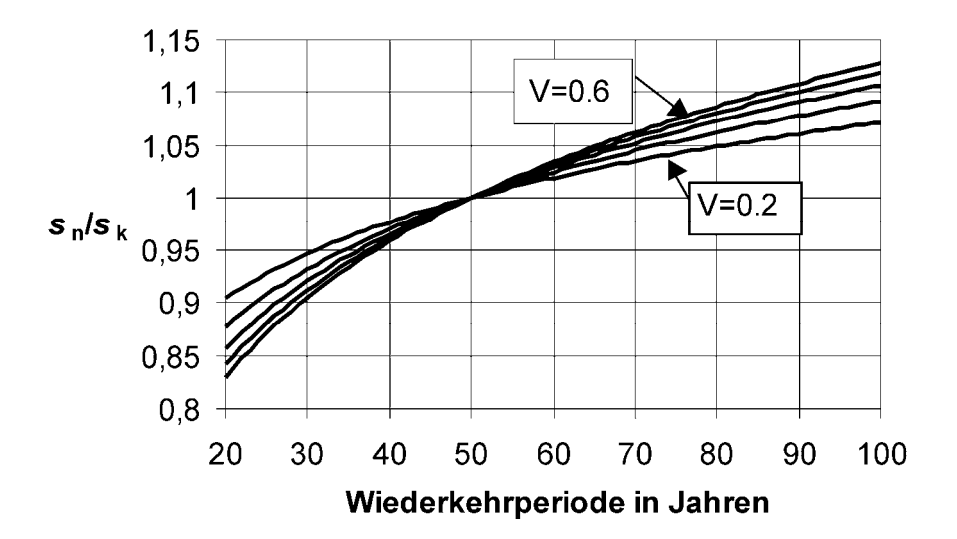


Bild D.1 — Anpassung der Schneelast auf dem Boden in Übereinstimmung mit der Wiederkehrperiode

(4) Wenn die entsprechende nationale Behörde dies zulässt, darf Gleichung (D.1) auch 🔊 angewendet 🖾 werden, um die Schneelasten auf dem Boden für andere Überschreitungswahrscheinlichkeiten zu berechnen.

#### Zum Beispiel für:

- a) Bauwerke, bei denen ein höheres Risiko der Überschreitung annehmbar erscheint;
- b) Bauwerke, bei denen eine höhere als die übliche Sicherheit erforderlich ist.

# **Anhang E** (informativ)

## Wichte von Schnee

- (1) Die Wichte von Schnee schwankt. Im Allgemeinen steigt die Wichte mit der Dauer der Schneebedeckung und hängt vom Ort des Bauwerks, dem Klima und der Höhe ab.
- (2) Mit Ausnahme der Festlegungen in den Abschnitten 1 bis 6 dürfen die in Tabelle E.1 angegebenen Werte für die mittlere Wichte von Schnee verwendet werden.

Tabelle E.1 — Mittlere Wichte von Schnee

Art des Schnees	<b>Wichte</b> kN/m³
Frisch	1,0
Gesetzt (mehrere Stunden oder Tage nach dem Schneefall)	2,0
Alt (mehrere Wochen oder Monate nach dem Schneefall)	2,5 bis 3,5
Feucht	4,0

EN 1991-1-3:2003 + AC:2009 (D)

## Literaturhinweise

ISO 4355, Bases for design of structures — Determination of snow loads on roofs

ISO 3898, Bases for design of structures — Notations – General symbols

## **DIN EN 1991-1-3/NA**



ICS 91.010.30

Mit DIN EN 1991-1-3:2010-12 Ersatz für DIN 1055-5:2005-07

Nationaler Anhang – National festgelegte Parameter – Eurocode 1: Einwirkungen auf Tragwerke – Teil 1-3: Allgemeine Einwirkungen – Schneelasten

National Annex –
Nationally determined parameters –
Eurocode 1: Actions on structures –
Part 1-3: General actions – Snow loads

Annexe national –
Paramètres déterminés au plan national –
Eurocode 1: Actions sur les structures –
Partie 1-3: Actions générales – Charges de neige

Gesamtumfang 11 Seiten

Normenausschuss Bauwesen (NABau) im DIN

## Vorwort

Dieses Dokument wurde im NA 005-51-02 AA "Einwirkungen auf Bauten (Sp CEN/TC 250/SC 1)" erstellt.

Dieses Dokument bildet den Nationalen Anhang zu DIN EN 1991-1-3:2010-12 "Einwirkungen auf Tragwerke — Teil 1-3: Allgemeine Einwirkungen — Schneelasten".

Die Europäische Norm EN 1991-1-3 räumt die Möglichkeit ein, eine Reihe von sicherheitsrelevanten Parametern national festzulegen. Diese national festzulegenden Parameter (en: *Nationally determined parameters*, NDP) umfassen alternative Nachweisverfahren und Angaben einzelner Werte, sowie die Wahl von Klassen aus gegebenen Klassifizierungssystemen. Die entsprechenden Textstellen sind in der Europäischen Norm durch Hinweise auf die Möglichkeit nationaler Festlegungen gekennzeichnet. Eine Liste dieser Textstellen befindet sich im Unterabschnitt NA 2.1. Darüber hinaus enthält dieser Nationale Anhang ergänzende nicht widersprechende Angaben zur Anwendung von DIN EN 1991-1-3:2010-12 (en: *Noncontradictory complementary information*, NCI).

Dieser Nationale Anhang ist Bestandteil von DIN EN 1991-1-3:2010-12.

DIN EN 1991-1-3:2010-12 und dieser Nationale Anhang DIN EN 1991-1-3/NA:2010-12 ersetzen DIN 1055-5:2005-07.

### Änderungen

Gegenüber DIN 1055-5:2005-07 wurden folgende Änderungen vorgenommen:

- a) Übernahme der Regelungen aus DIN 1055-5:2005-07 zur nationalen Anwendung von DIN EN 1991-1-3;
- Abschnitt 5.3.6 (1) ist unter Berücksichtigung der ergänzenden nationalen Regeln zu DIN 1055-5 überarbeitet worden.

## Frühere Ausgaben

DIN 1055-5: 1936xx-12, 1975-06, 2005-07

DIN 1055-5/A1: 1994-04

## NA 1 Anwendungsbereich

Dieser Nationale Anhang enthält nationale Festlegungen für die Grundsätze zur Bestimmung der Werte von Schneelasten für die Berechnung und Bemessung von Hoch- und Ingenieurbauten, die bei der Anwendung von DIN EN 1991-1-3:2010-12 in Deutschland zu berücksichtigen sind.

Dieser Nationale Anhang gilt nur in Verbindung mit DIN EN 1991-1-3:2010-12

## NA 2 Nationale Festlegungen zur Anwendung von DIN EN 1991-1-3:2010-12

## NA 2.1 Allgemeines

DIN EN 1991-1-3:2010-12 weist an den folgenden Textstellen die Möglichkeit nationaler Festlegungen (NDP) aus.

- 1.1(2), 1.1(4)
- **—** 2(3), 2(4)
- 3.3(1), 3.3(3)
- **4.1(1), 4.2(1), 4.3(1)**
- 5.2(1), 5.2(4), 5.2(5), 5.2(6), 5.2(7), 5.2.(8), 5.3.3(4), 5.3.4(3), 5.3.4(4), 5.3.5(1), 5.3.5(3), 5.3.6(1), 5.3.6(3)
- 6.2(2), 6.3(1), 6.3(2)
- A(1) (in Tabelle A.1)

Darüber hinaus enthält NA 2.2 ergänzende nicht widersprechende Angaben zur Anwendung von DIN EN 1991-1-3:2010-12. Diese sind durch ein vorangestelltes "NCI" gekennzeichnet.

— 6.4(1)

## NA 2.2 Nationale Festlegungen

Die nachfolgende Nummerierung und die Überschriften entsprechen denjenigen von DIN EN 1991-1-3:2010-12.

#### 1 Allgemeines

## 1.1 Anwendungsbereich

#### NDP zu 1.1(2)

Für Bauten in einer Höhenlage von mehr als 1 500 m müssen in jedem Einzelfall von der zuständigen Behörde entsprechende Rechenwerte festgelegt werden.

## NDP zu 1.1(4)

Anhang B ist in Deutschland nicht anzuwenden.

ANMERKUNG Der im Titel von Anhang B verwendete Begriff "außergewöhnliche Schneeverwehungen" bezieht sich nicht auf eine Bemessungssituation nach DIN EN 1990:2002-10, 4.1.1(2).

## 2 Klassifikation von Einwirkungen

## NDP zu 2(3)

(siehe NDP zu 4.3(1))

## NDP zu 2(4)

Schneeverwehungen sind nach diesem Nationalen Anhang keine außergewöhnlichen Einwirkungen. Die untere und obere Begrenzung von Schneeverwehungen bei außergewöhnlichen Schneelastansätzen nach 4.3 wird im NDP zu 5.3.6(1) behandelt.

#### 3 Bemessungssituation

## 3.3 Außergewöhnliche Verhältnisse

## NDP zu 3.3(1)

Wo die zuständigen Stellen örtlich außergewöhnliche Schneelasten festlegen (siehe nationale Regelung zu 4.3(1)), ist auch für die besonderen örtlichen Effekte nach Abschnitt 6 der Norm die Bemessungssituation nach 3.3(1) (im Anhang A als Fall B1 bezeichnet) zugrunde zu legen.

## NDP zu 3.3(3)

(siehe NDP zu 1.1.(4) und 5.3.6(1)).

## 4 Schneelast auf dem Boden

## 4.1 Charakteristische Werte

## NDP zu 4.1(1)

Schneelast auf dem Boden.

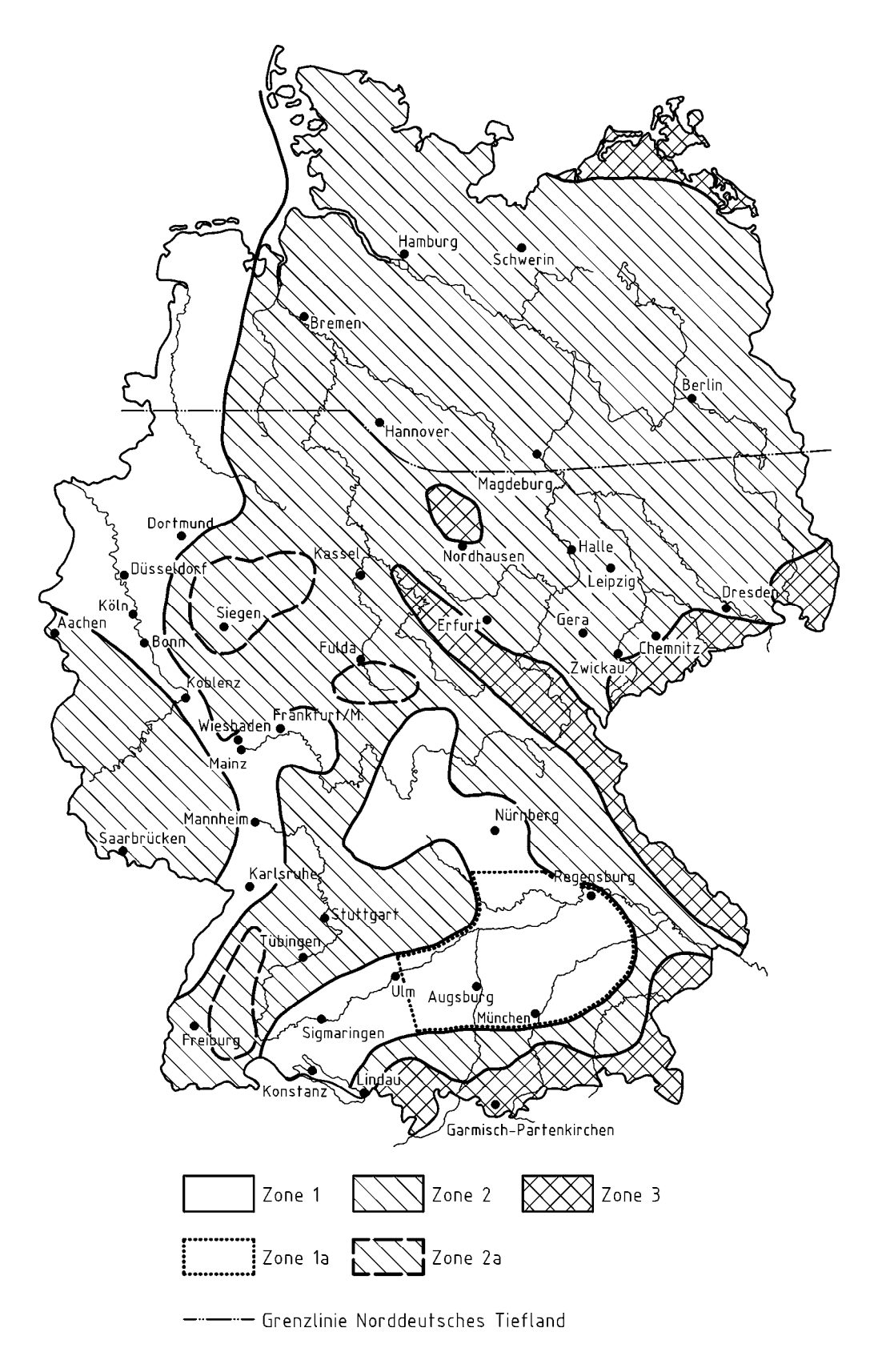


Bild NA.1 — Schneelastzonenkarte

Die genaue Zuordnung von Verwaltungseinheiten zu den Schneelastzonen in Bild NA.1, insbesondere im Bereich von Schneelastzonengrenzen, ist bei den zuständigen Behörden zu erfragen.

In den Zonen 1 bis 3 sind die charakteristischen Werte der Schneelasten auf dem Boden in Abhängigkeit von der Schneelastzone und der Geländehöhe über dem Meeresniveau nach Gleichungen (NA.1) bis (NA.3) zu berechnen.

Die charakteristischen Werte in den Zonen 1a und 2a ergeben sich jeweils durch Erhöhung der Werte aus den Zonen 1 und 2 mit dem Faktor 1,25. Die Sockelbeträge (siehe Bild NA.2) werden in gleicher Weise angehoben.

Zone 1: 
$$s_k = 0.19 + 0.91 \cdot \left(\frac{A + 140}{760}\right)^2$$
 (NA.1)

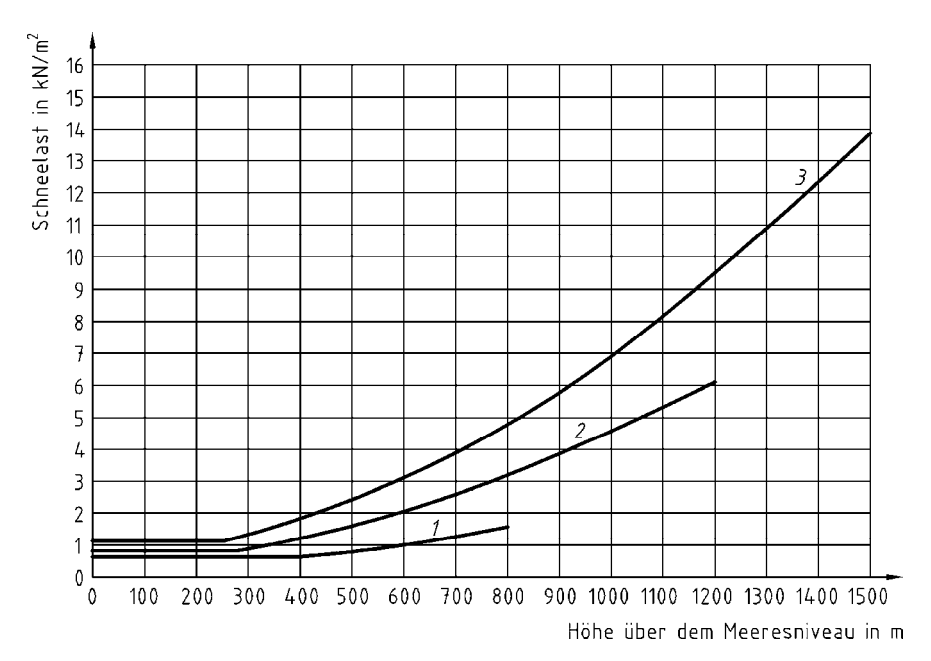
Zone 2: 
$$s_k = 0.25 + 1.91 \cdot \left(\frac{A + 140}{760}\right)^2$$
 (NA.2)

Zone 3: 
$$s_k = 0.31 + 2.91 \cdot \left(\frac{A + 140}{760}\right)^2$$
 (NA.3)

#### Dabei ist

s<sub>k</sub> der charakteristische Wert der Schneelast auf dem Boden, in kN/m<sup>2</sup>;

A die Geländehöhe über Meeresniveau, in m.



## Legende

## Sockelbeträge (Mindestwerte):

1 Zone 1 Zone 1 0,65 kN/m² (bis 400 m ü. d. M.) 2 Zone 2 Zone 2 0,85 kN/m² (bis 285 m ü. d. M.) 3 Zone 3 1,10 kN/m² (bis 255 m ü. d. M.)

Bild NA.2 — Charakteristischer Wert der Schneelast  $s_{\mathbf{k}}$  auf dem Boden

6

Für bestimmte Lagen der Sch	nneelastzone 3 können	sich höhere Werte	als nach Gleichung	(NA.3) ergeben.
Informationen über die Schnee	elast in diesen Lagen s	ind von den örtlichen	, zuständigen Stelle	n einzuholen.

Beispielhaft können folgende Ge	ebiete benannt werden:
---------------------------------	------------------------

- Oberharz;
- Hochlagen des Fichtelgebirges;
- Reit im Winkel;
- Obernach (Walchensee).

## 4.2 Weitere repräsentative Werte

## NDP zu 4.2(1)

Es gelten die empfohlenen Werte.

## 4.3 Behandlung von außergewöhnlichen Schneelasten auf dem Boden

## NDP zu 4.3(1)

Im norddeutschen Tiefland wurden in seltenen Fällen Schneelasten bis zum mehrfachen der rechnerischen Werte gemessen. Die zuständige Behörde kann in den betroffenen Regionen die Rechenwerte festlegen, die dann zusätzlich nach DIN EN 1990 als außergewöhnliche Einwirkungen zu berücksichtigen sind.

## 5 Schneelast auf Dächern

## 5.2 Lastanordnung

## NDP zu 5.2(1)

(siehe NDP zu 1.1(4))

## NDP zu 5.2(4)

(Keine weitergehenden nationalen Regelungen)

## NDP zu 5.2(5)

(Keine weitergehenden nationalen Regelungen)

## NDP zu 5.2(6)

(Keine weitergehenden nationalen Regelungen)

## NDP zu 5.2(7)

Es gilt  $C_e$  = 1,0

#### NDP zu 5.2(8)

Es gilt  $C_t = 1,0$ 

## 5.3 Formbeiwerte für Dächer

#### 5.3.3 Satteldächer

#### NDP zu 5.3.3 (4)

(Es gelten die Regelungen nach DIN EN 1991-1-3)

#### 5.3.4 Scheddächer

#### NDP zu 5.3.4(3)

(siehe nationale Regelung zu 1.1 (4))

## NCI zu 5.3.4(4)

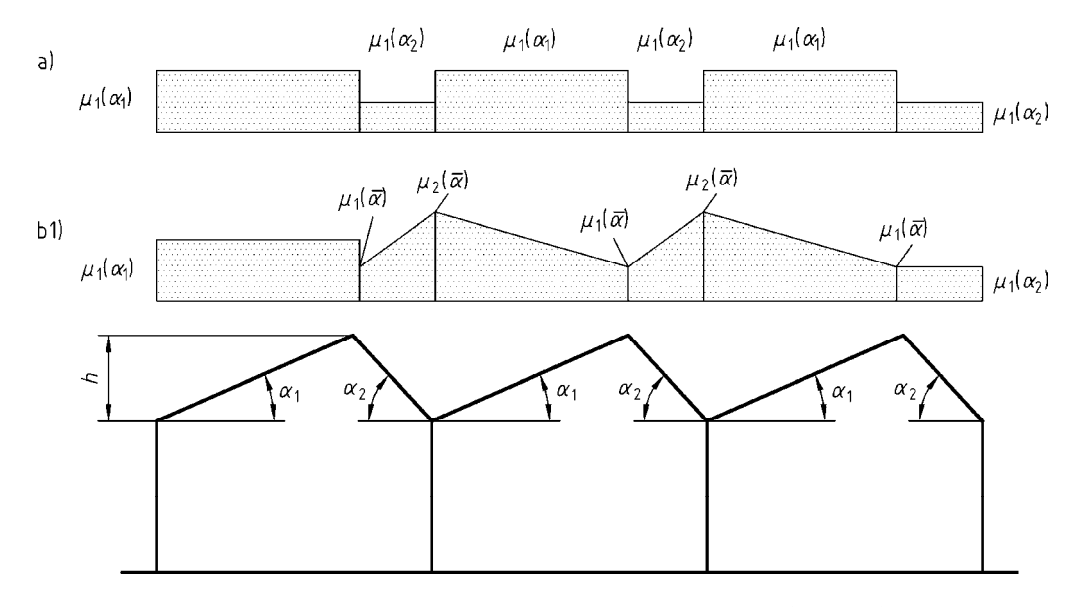
Die Formbeiwerte für gereihte Dächer sind je nach maßgebender Dachneigung Bild 5.1 bzw. Tabelle 5.1 der Norm zu entnehmen; statt der Formbeiwerte nach DIN EN 1991-1-3:2010-12, Bild 5.4 sind jedoch die Formbeiwerte nach Bild NA.3 anzuwenden.

Der Formbeiwert  $\mu_2$  (siehe Tabelle 5.1) darf auf  $\frac{\gamma \cdot h}{s_k} + \mu_1$  begrenzt werden.

#### Dabei ist

- $\gamma$  die Wichte des Schnees, die für diese Berechnung zu 2 kN/m<sup>3</sup> angenommen werden kann;
- h die Höhenlage des Firstes über der Traufe, in m;
- $s_k$  die charakteristische Schneelast, in kN/m<sup>2</sup>.

ANMERKUNG Die Schneelast auf steil stehende Fensterflächen oder auf angrenzende Bauteile kann sinngemäß nach 6.4 ermittelt werden.



Für die Innenfelder ist dabei der mittlere Neigungswinkel  $\overline{\alpha}=0.5\left(\alpha_1+\alpha_2\right)$  maßgebend.

## a) Fensterband geneigt

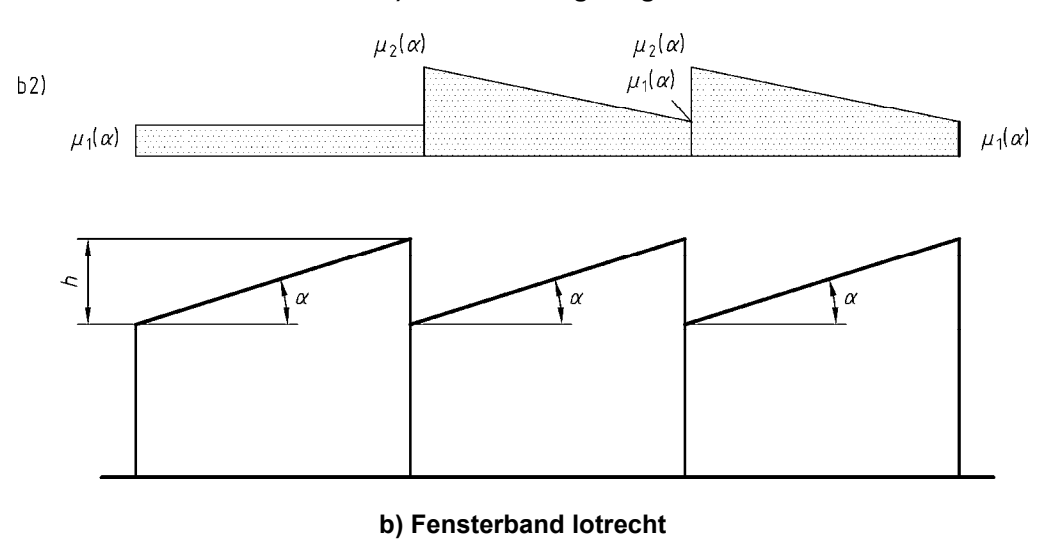


Bild NA.3 — Formbeiwerte für gereihte Satteldächer und Scheddächer

## 5.3.5 Tonnendächer

## NDP zu 5.3.5(1), Anmerkung 1

Es gelten die empfohlenen Werte.

## NDP zu 5.3.5(1), Anmerkung 2

Keine weitergehende nationale Festlegung.

#### 5.3.6 Höhensprünge an Dächern

#### NDP zu 5.3.6(1), Anmerkung 1

 $\mu_{\rm w}$  ist für Höhensprünge h > 0.5 m zu berücksichtigen und muss nicht größer angesetzt werden als

$$\mu_{\mathsf{W}} = \frac{\gamma \cdot h}{s_{\mathsf{k}}} - \mu_{\mathsf{S}} \tag{NA.4}$$

Für die Summe  $\mu_{\rm w}$  +  $\mu_{\rm S}$  gilt

$$0.8 \le \mu_{W} + \mu_{S} \le 2.4$$
 (NA.5)

Bei seitlich offenen und für die Räumung zugänglichen Vordächern ( $b_2 \le 3$  m) gilt die Begrenzung

$$0.8 \le \mu_{W} + \mu_{S} \le 2$$
 (NA.6)

Für die alpine Region nach DIN EN 1991-1-3:2010-12, Bild C.2 gilt für Schneelasten  $s_k > 3,0$  kN/m² die obere Begrenzung

$$1.2 \le \mu_{\mathsf{W}} + \mu_{\mathsf{S}} \le \frac{6.45}{s_{\mathsf{K}}^0.9}$$
 (NA.7)

Im Falle der außergewöhnlichen Einwirkungen (Norddeutsches Tiefland) gilt generell

$$C_{\mathrm{esl}} \cdot \mu_{\mathsf{W}} + \mu_{\mathsf{S}} \le 4$$
 (NA.8)

Bei Anordnung von Schneefanggittern oder vergleichbaren Einrichtungen darf auf den Ansatz von  $\mu_s$  verzichtet werden.

## NDP zu 5.3.6(1), Anmerkung 2

Es gelten die empfohlenen Werte.

## NDP zu 5.3.6(3)

(siehe NDP zu 1.1(4))

#### 6 Örtliche Effekte

## 6.2 Verwehungen an Wänden und Aufbauten

## NDP zu 6.2(2)

(siehe NDP zu 1.1(4))

### 6.3 Schneeüberhang an Dachtraufen

## NDP zu 6.3(1)

Der Nachweis auskragender Dachteile für die Trauflast ist unabhängig von der Höhenlage des Bauortes zu führen.

## NDP zu 6.3(2)

Der Beiwert k für die Form des Überhanges darf in Deutschland mit k = 0,4 abgemindert werden. Sofern über die Dachfläche verteilt Schneefanggitter oder vergleichbare Einrichtungen angeordnet werden, die das Abgleiten von Schnee wirksam verhindern und nach 6.4 bemessen sind kann auf den Ansatz der Linienlast ganz verzichtet werden.

### 6.4 Schneelasten an Schneefanggittern und Dachaufbauten

## NCI zu 6.4(1)

Erläuterung: Werden Schneefanggitter zur Reduzierung der Schneelast auf die Tragkonstruktion, z. B. Lasten aus abgleitenden Schneemassen auf tiefer liegende Dachflächen bei Höhensprüngen (siehe 4.2.7), angeordnet oder sind Dachaufbauten vorgesehen, die abgleitende Schneemassen anstauen, so ist eine Schneelast (F<sub>s</sub> je m Länge) nach dem folgenden Bild NA.4 anzusetzen.

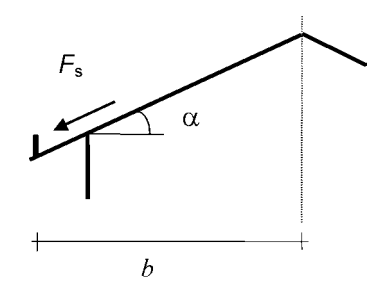


Bild NA.4 — Schneelast auf Schneefanggitter

# Anhang A (informativ)

# Bemessungssituationen und Lastverteilung für unterschiedliche örtliche Gegebenheiten

## NDP zu Anhang A:

(siehe NDP zu 1.1(4) und 4.3(1)).

Nach den Nationalen Regelungen zu 1.1(4), 2(4) und 4.3(1) ist für außergewöhnliche Bedingungen ausschließlich Fall B1 zutreffend. Für die Fälle B2 und B3 werden keine Regelungen getroffen.

## **DIN EN 1991-1-4**



ICS 91.010.30

Ersatzvermerk siehe unten

Eurocode 1: Einwirkungen auf Tragwerke -

Teil 1-4: Allgemeine Einwirkungen –

Windlasten;

Deutsche Fassung EN 1991-1-4:2005 + A1:2010 + AC:2010

Eurocode 1: Actions on structures -

Part 1-4: General actions -

Wind actions:

German version EN 1991-1-4:2005 + A1:2010 + AC:2010

Eurocode 1: Actions sur les structures -

Partie 1-4: Actions générales -

Actions du vent;

Version allemande EN 1991-1-4:2005 + A1:2010 + AC:2010

## **Ersatzvermerk**

Ersatz für DIN EN 1991-1-4:2005-07; mit DIN EN 1991-1-4/NA:2010-12 Ersatz für DIN 1055-4:2005-03 und DIN 1055-4 Berichtigung 1:2006-03; Ersatz für DIN EN 1991-1-4 Berichtigung 1:2010-01

Gesamtumfang 153 Seiten

Normenausschuss Bauwesen (NABau) im DIN

## **Nationales Vorwort**

Dieses Dokument beinhaltet die Deutsche Fassung der vom Technischen Komitee CEN/TC 250 "Eurocodes für den konstruktiven Ingenieurbau" (Sekretariat BSI, Vereinigtes Königreich) ausgearbeiteten EN 1991-1-4:2005, die durch die Änderung A1:2010 modifiziert wurde.

Die Arbeiten wurden auf nationaler Ebene vom Arbeitsausschuss NA 005-51-02 AA "Einwirkungen auf Bauten (Sp CEN/TC 250/SC 1)" im Normenausschuss Bauwesen (NABau) begleitet.

Dieses Dokument enthält die Europäische Änderung EN 1991-1-4:2005/A1:2010, die vom CEN am 18. Februar 2010 angenommen wurde. Dieses Dokument enthält weiterhin die Europäische Berichtigung EN 1991-1-4:2005/AC:2010, welche vom CEN am 2010-01 angenommen wurde.

Die Anwendung dieser Norm gilt in Deutschland in Verbindung mit dem Nationalen Anhang.

Es wird auf die Möglichkeit hingewiesen, dass einige Texte dieses Dokuments Patentrechte berühren können. Das DIN [und/oder die DKE] sind nicht dafür verantwortlich, einige oder alle diesbezüglichen Patentrechte zu identifizieren.

Anfang und Ende der durch die Änderung eingefügten oder geänderten Texte sind jeweils durch die Textmarkierungen (A) (A), der durch die Berichtigung eingefügten oder geänderten Texte sind jeweils durch die Textmarkierungen (AC) (AC) angegeben.

## Änderungen

Gegenüber DIN V ENV 1991-2-4:1996-12 wurden folgende Änderungen vorgenommen:

- a) der Vornormstatus wurde aufgehoben;
- b) die Norm wurde umnummeriert in DIN EN 1991-1-4;
- c) die Stellungnahmen der nationalen Normungsinstitute wurden eingearbeitet und der Text vollständig überarbeitet.

Gegenüber DIN EN 1991-1-4:2005-07, DIN EN 1991-1-4 Berichtigung 1:2010-01, DIN 1055-4:2005-03 und DIN 1055-4 Berichtigung 1:2006-03 wurden folgende Änderungen vorgenommen:

- a) auf europäisches Bemessungskonzept umgestellt;
- b) Ersatzvermerke korrigiert;
- c) Vorgänger-Norm mit der Änderung 1 und der Berichtigung 1 konsolidiert;
- d) redaktionelle Änderungen durchgeführt;
- e) zusätzliche Abschnitte in die Liste der nationalen Wahlmöglichkeiten aufgenommen;
- f) Unterabschnitte 7.2.3(2), 7.2.3(4), 7.2.4(1), 7.2.4(3), 7.2.5(1), 7.2.5(3), 7.2.6(1), 7.2.6(3), 7.2.7(4) und 7.9.2(2) durch neue Unterabschnitte ersetzt;
- g) Unterabschnitt 7.2.3(5) entfällt;

2

## DIN EN 1991-1-4:2010-12

- h) in Tabellen 7.2, 7.3a, 7.3b,7.4a, 7.4b und 7.5 die Titel ergänzt und die Tabellen in Anmerkungen verschoben;
- i) in Tabelle 7.14 die 1. Spalte, 2. Zeile geändert;
- j) nationale Festlegungen aus DIN 1055-4 übernommen.

## Frühere Ausgaben

DIN 1055-4: 1938xxx-06, 1977-05, 1986-08, 2005-03

DIN 1055-4/A1: 1987-06

DIN 1055-4 Berichtigung 1: 2006-03 Beiblatt zu DIN 1055-4: 1939-06, 1941-02

DIN EN 1991-1-4: 2005-07

DIN EN 1991-1-4 Berichtigung 1: 2010-01

DIN V ENV 1991-2-4: 1996-12

## DIN EN 1991-1-4:2010-12

— Leerseite —

## EUROPÄISCHE NORM EUROPEAN STANDARD NORME EUROPÉENNE

EN 1991-1-4

April 2005

+ A1

+ AC

April 2010

Januar 2010

ICS 91.010.30

Ersatz für ENV 1991-2-4:1995

### Deutsche Fassung

Eurocode 1: Einwirkungen auf Tragwerke — Teil 1-4: Allgemeine Einwirkungen — Windlasten

Eurocode 1: Actions on structures — Part 1-4: General actions — Wind actions

Eurocode 1: Actions sur les structures — Partie 1-4: Actions générales — Actions du vent

Diese Europäische Norm wurde vom CEN am 4. Juni 2004 angenommen.

Die Änderung A1 wurde vom CEN am 18. Februar 2010, die Berichtigung AC am 27. Januar 2010 angenommen.

Die CEN-Mitglieder sind gehalten, die CEN/CENELEC-Geschäftsordnung zu erfüllen, in der die Bedingungen festgelegt sind, unter denen dieser Europäischen Norm ohne jede Änderung der Status einer nationalen Norm zu geben ist. Auf dem letzten Stand befindliche Listen dieser nationalen Normen mit ihren bibliographischen Angaben sind beim Management-Zentrum oder bei jedem CEN-Mitglied auf Anfrage erhältlich.

Diese Europäische Norm besteht in drei offiziellen Fassungen (Deutsch, Englisch, Französisch). Eine Fassung in einer anderen Sprache, die von einem CEN-Mitglied in eigener Verantwortung durch Übersetzung in seine Landessprache gemacht und dem Management-Zentrum mitgeteilt worden ist, hat den gleichen Status wie die offiziellen Fassungen.

Entsprechend der CEN/CENELEC-Geschäftsordnung sind die nationalen Normungsinstitute der folgenden Länder gehalten, diese Europäische Norm zu übernehmen: Belgien, Bulgarien, Dänemark, Deutschland, Estland, Finnland, Frankreich, Griechenland, Irland, Island, Italien, Lettland, Litauen, Luxemburg, Malta, den Niederlanden, Norwegen, Österreich, Polen, Portugal, Rumänien, Schweden, der Schweiz, der Slowakei, Slowenien, Spanien, der Tschechischen Republik, Ungarn, dem Vereinigten Königreich und Zypern.



EUROPÄISCHES KOMITEE FÜR NORMUNG EUROPEAN COMMITTEE FOR STANDARDIZATION COMITÉ EUROPÉEN DE NORMALISATION

Management-Zentrum: rue de Stassart, 36 B- 1050 Brüssel

## DIN EN 1991-1-4:2010-12

## EN 1991-1-4:2005 + A1:2010 + AC:2010 (D)

## Inhalt

\/a	ort	Seite
	ort zur Änderung A1	
vorwo	•	
1	Allgemeines	11
1.1	Anwendungsbereich	
1.2	Normative Verweisungen	
1.3	Annahmen	
1.4	Unterscheidung zwischen Grundsätzen und Anwendungsregeln	
1.5	Belastungsansätze basierend auf Versuchen und Messungen	
1.6	Begriffe	
1.7	Symbole und Abkürzungen	
2	Bemessungssituationen	
3 3.1	Erfassung der WindeinwirkungenAllgemeines	
3.1 3.2	Erfassung von Windeinwirkungen	
3.2 3.3	Klassifizierung der Windeinwirkungen	
3.4	Charakteristische Werte	
3. <del>4</del> 3.5	Modelle	
4	Windgeschwindigkeit und Geschwindigkeitsdruck	
4.1	Berechnungsgrundlagen	19
4.2	Basiswindgeschwindigkeit	
4.3	Mittlerer Wind	
4.3.1	Höhenabhängigkeit	
4.3.2	Geländerauhigkeit	
4.3.3	Topographie	
4.3.4	Einfluss höherer Nachbargebäude	
4.3.5	Nahe Gebäude oder Hindernisse mit geringen Abständen	
4.4	Windturbulenz	
4.5	Böengeschwindigkeitsdruck (Spitzengeschwindigkeitsdruck)	
5	Windeinwirkungen	
5.1	Allgemeines	
5.2	Winddruck auf Oberflächen	
5.3	Windkräfte	28
6	Strukturbeiwert $c_{S}c_{d}$	
6.1	Allgemeines	
6.2	Ermittlung von cscd	
6.3	Ausführliches Verfahren	
6.3.1	Strukturbeiwert $c_{s}c_{d}$	
6.3.2	Gebrauchstauglichkeitsnachweise	
6.3.3	Interferenzfaktor für hohe Bauwerke	
7	Aerodynamische Beiwerte	
7.1	Allgemeines	
7.1.1	Bestimmung der aerodynamischen Beiwerte	
7.1.2	Exzentrisch und günstig wirkende Drücke und Kräfte	
7.1.3 7.2	Auswirkungen von Eis und Schnee	
7.2 7.2.1	Druckbeiwerte für Gebäude	
7.2.1 7.2.2	AllgemeinesVertikale Wände von Gebäuden mit rechteckigem Grundriss	
7.2.2 7.2.3	FlachdächerFlachdächer	
7.2.3 7.2.4	Pultdächer	
7.2. <del>4</del> 7.2.5	Sattel- und Trogdächer	

## DIN EN 1991-1-4:2010-12 EN 1991-1-4:2005 + A1:2010 + AC:2010 (D)

		Seite
7.2.6	Walmdächer	
7.2.7	Sheddächer	
7.2.8	Gekrümmte Dächer und Kuppeln	
7.2.9	Innendruck	52
7.2.10	Druck auf mehrschalige Wand- und Dachflächen	
7.3	Freistehende Dächer	
7.4	Freistehende Wände, Brüstungen, Zäune und Anzeigetafeln	
7.4.1 7.4.2	Freistehende Wände und Brüstungen	
7.4.2 7.4.3	Abschattungsfaktoren für Wände und Zäune	
7.4.3 7.5	Kraftbeiwerte für Anzeigetafeln	
7.5 7.6	Kraftbeiwerte für Bauteile mit rechteckigem Querschnitt	
7.7	Kraftbeiwerte für Bauteile mit kantigem Querschnitt	
7.8	Kraftbeiwerte für Bauteile mit kantigem Querschnitt	
7.9	Kreiszylinder	
7.9.1	Außendruckbeiwerte	
7.9.2	Kraftbeiwerte	
7.9.3	Kraftbeiwerte für vertikale Zylinder in Reihenanordnung	
7.10	Kraftbeiwerte für Kugeln	
7.11	Kraftbeiwerte für Fachwerke, Gitter und Gerüste	
7.12	Flaggen	
7.13	Effektive Schlankheit λ und Abminderungsfaktor ψ <sub>λ</sub> zur Berücksichtigung der	
•	Schlankheit	83
•		
8	Windeinwirkungen auf Brücken	
8.1	Allgemeines	
8.2	Berechnungsmethode für die Systemantwort	
8.3 8.3.1	Kraftbeiwerte	
8.3.1	Kräfte in x-Richtung (aligemeine Methode)	
o.ა.∠ 8.3.3	Windkräfte auf Brückenüberbauten in z-Richtung	
8.3.4	Windkräfte auf Brückenüberbauten in z-Richtung	
8.4	Brückenpfeiler	
8.4.1	Windrichtungen und Bemessungssituationen	
8.4.2	Windeinwirkungen auf Brückenpfeiler	
	·	
	g A (informativ) Einfluss von Geländerauhigkeit und Topographie	
A.1	Darstellung der größten Rauhigkeiten der unterschiedlichen Geländekategorien	
A.2	Übergänge zwischen den Rauhigkeitskategorien 0, I, II, III und IV	
A.3	Numerische Berechnung der Topographiebeiwerte	
A.4 A.5	Einfluss eines höheren Nachbargebäudes	
Anhan	g B (informativ) Berechnungsverfahren 1 zur Bestimmung des Strukturbeiwertes $c_{\rm s}c_{\rm d}$	105
B.1	Windturbulenz	105
B.2	Strukturbeiwert $c_{S}c_{d}$	106
B.3	Anzahl der Überschreitungen von niedrigen Niveaus der Böenreaktion	108
B.4	Verformungen und Beschleunigungen zur Bewertung der Gebrauchstauglichkeit	
	vertikaler Bauwerke	109
Anhani	g C (informativ) Berechnungsverfahren 2 zur Bestimmung des Strukturbeiwertes $c_{ m s}c_{ m d}$	111
C.1	Windturbulenz	
C.2	Strukturbeiwert c <sub>s</sub> c <sub>d</sub>	
C.3	Anzahl der Überschreitungen verschiedener Niveaus der Böenreaktion	
C.4	Verformungen und Beschleunigungen zur Bewertung der Gebrauchstauglichkeit	
	vertikaler Bauwerke	112
A b		
	g D (informativ) $c_{\sf s}c_{\sf d}$ -Werte für unterschiedliche Gebäudetypen	
Anhan	g E (informativ) Wirbelerregte Querschwingungen und aeroelastische Instabilitäten	117

## DIN EN 1991-1-4:2010-12

## EN 1991-1-4:2005 + A1:2010 + AC:2010 (D)

		Seite
E.1	Wirbelerregte Querschwingungen	117
E.1.1	Allgemeines	117
E.1.2	Kriterien für wirbelerregte Querschwingungen	117
E.1.3	Grundlegende Parameter für wirbelerregte Schwingungen	
E.1.4	Beanspruchung durch wirbelerregte Schwingungen	121
E.1.5	Berechnung der Querschwingungsamplitude	121
E.1.6	Maßnahmen gegen wirbelerregte Querschwingungen	131
E.2	Galloping	132
E.2.1	Allgemeines	
E.2.2	Einsetzgeschwindigkeit	
E.2.3	Klassisches Galloping gekoppelter Zylinder	
E.3	Interferenzgalloping von zwei oder mehr freistehenden Zylindern	
E.4	Divergenz und Flattern	
E.4.1	Allgemeines	
E.4.2	Bedingungen für plattenförmige Tragwerke	
E.4.3	Divergenzgeschwindigkeit	137
Anhai	ng F (informativ) Dynamische Eigenschaften von Bauwerken	139
F.1	Allgemeines	
F.2	Die Grundeigenfrequenz	
F.3	Die Grundbiegeschwingungsform	
F.4	Äquivalente Masse	
F.5	Das logarithmische Dämpfungsdekrement	146
l itera	turhinweise	149

## Vorwort

Dieses Dokument (EN 1991-1-4:2005) wurde vom Technischen Komitee CEN/TC 250 "Eurocodes für den konstruktiven Ingenieurbau" erarbeitet, dessen Sekretariat vom BSI gehalten wird.

Diese Europäische Norm muss den Status einer nationalen Norm erhalten, entweder durch Veröffentlichung eines identischen Textes oder durch Anerkennung bis Oktober 2005, und etwaige entgegenstehende nationale Normen müssen bis März 2010 zurückgezogen werden.

Entsprechend der CEN/CENELEC-Geschäftsordnung sind die nationalen Normungsinstitute der folgenden Länder gehalten, diese Europäische Norm zu übernehmen: Belgien, Dänemark, Deutschland, Estland, Finnland, Frankreich, Griechenland, Irland, Island, Italien, Lettland, Litauen, Luxemburg, Malta, Niederlande, Norwegen, Österreich, Polen, Portugal, Schweden, Schweiz, Slowakei, Spanien, Tschechische Republik, Ungarn, Vereinigtes Königreich und Zypern.

Dieses Dokument ersetzt die ENV 1991-2-4:1995

CEN/TC 250 ist für alle Eurocodes für den konstruktiven Ingenieurbau verantwortlich.

## Vorwort zur Änderung A1

Dieses Dokument (EN 1991-1-4:2005/A1:2010) wurde vom Technischen Komitee CEN/TC 250 "Eurocodes für den konstruktiven Ingenieurbau" erarbeitet, dessen Sekretariat vom BSI gehalten wird.

Diese Änderung zur Europäischen Norm EN 1991-1-4:2005 muss den Status einer nationalen Norm erhalten, entweder durch Veröffentlichung eines identischen Textes oder durch Anerkennung bis April 2011, und etwaige entgegenstehende nationale Normen müssen bis Oktober 2010 zurückgezogen werden.

Es wird auf die Möglichkeit hingewiesen, dass einige Texte dieses Dokuments Patentrechte berühren können. CEN [und/oder CENELEC] sind nicht dafür verantwortlich, einige oder alle diesbezüglichen Patentrechte zu identifizieren.

Entsprechend der CEN/CENELEC-Geschäftsordnung sind die nationalen Normungsinstitute der folgenden Länder gehalten, diese Europäische Norm zu übernehmen: Belgien, Bulgarien, Dänemark, Deutschland, Estland, Finnland, Frankreich, Griechenland, Irland, Island, Italien, Kroatien, Lettland, Litauen, Luxemburg, Malta, Niederlande, Norwegen, Österreich, Polen, Portugal, Rumänien, Schweden, Schweiz, Slowakei, Slowenien, Spanien, Tschechische Republik, Ungarn, Vereinigtes Königreich und Zypern.

DIN EN 1991-1-4:2010-12

EN 1991-1-4:2005 + A1:2010 + AC:2010 (D)

## Hintergrund des Eurocode Programms

Im Jahre 1975 beschloss die Kommission der Europäischen Gemeinschaften, für das Bauwesen ein Programm auf der Grundlage des Artikels 95 der Römischen Verträge durchzuführen. Das Ziel des Programms war die Beseitigung technischer Handelshemmnisse und die Harmonisierung technischer Normen.

Im Rahmen dieses Programms leitete die Kommission die Bearbeitung von harmonisierten technischen Regelwerken für die Tragwerksplanung von Bauwerken ein, die im ersten Schritt als Alternative zu den in den Mitgliedsländern geltenden Regeln dienen und diese schließlich ersetzen sollten.

15 Jahre lang leitete die Kommission mit Hilfe eines Steuerungskomitees mit Repräsentanten der Mitgliedsländer die Entwicklung des Eurocode-Programms, das zu der ersten Eurocode-Generation in den 80'er Jahren führte.

Im Jahre 1989 entschieden sich die Kommission und die Mitgliedsländer der Europäischen Union und der EFTA, die Entwicklung und Veröffentlichung der Eurocodes über eine Reihe von Mandaten an CEN zu übertragen, damit diese den Status von Europäischen Normen (EN) erhielten. Grundlage war eine Vereinbarung<sup>1)</sup> zwischen der Kommission und CEN. Dieser Schritt verknüpft die Eurocodes de facto mit den Regelungen der Ratsrichtlinien und Kommissionsentscheidungen, die die Europäischen Normen behandeln (z. B. die Ratsrichtlinie 89/106/EEC zu Bauprodukten, die Bauproduktenrichtlinie, die Ratsrichtlinien 93/37/EEC, 92/50/EEC und 89/440/EEC zur Vergabe öffentlicher Aufträge und Dienstleistungen und die entsprechenden EFTA-Richtlinien, die zur Einrichtung des Binnenmarktes eingeleitet wurden).

6

Vereinbarung zwischen der Kommission der Europäischen Gemeinschaften und dem Europäischen Komitee für Normung (CEN) zur Bearbeitung der Eurocodes für die Tragwerksplanung von Hochbauten und Ingenieurbauwerken (BC/CEN/03/89).

## DIN EN 1991-1-4:2010-12 EN 1991-1-4:2005 + A1:2010 + AC:2010 (D)

Das Eurocode-Programm umfasst die folgenden Normen, die in der Regel aus mehreren Teilen bestehen:

EN 1990	Eurocode:	Grundlagen der Tragwerksplanung
EN 1991	Eurocode 1:	Einwirkung auf Tragwerke
EN 1992	Eurocode 2:	Entwurf, Berechnung und Bemessung von Stahlbetonbauten
EN 1993	Eurocode 3:	Entwurf, Berechnung und Bemessung von Stahlbauten
EN 1994	Eurocode 4:	Entwurf, Berechnung und Bemessung von Stahl-Beton-Verbundbauten
EN 1995	Eurocode 5:	Entwurf, Berechnung und Bemessung von Holzbauten
EN 1996	Eurocode 6:	Entwurf, Berechnung und Bemessung von Mauerwerksbauten
EN 1997	Eurocode 7:	Entwurf, Berechnung und Bemessung in der Geotechnik
EN 1998	Eurocode 8:	Auslegung von Bauwerken gegen Erdbeben
EN 1999	Eurocode 9:	Entwurf, Berechnung und Bemessung von Aluminiumkonstruktionen

Die Europäischen Normen berücksichtigen die Verantwortlichkeit der Bauaufsichtsorgane in den Mitgliedsländern und haben deren Recht zur nationalen Festlegung sicherheitsbezogener Werte berücksichtigt, so dass diese Werte von Land zu Land unterschiedlich bleiben können.

## Status und Gültigkeit der Eurocodes

Die Mitgliedsländer der EU und von EFTA betrachten die Eurocodes als Bezugsdokumente für folgende Zwecke:

- als Mittel zum Nachweis der Übereinstimmung der Hoch- und Ingenieurbauten mit den wesentlichen Anforderungen der Richtlinie 89/106/EEC, besonders mit der wesentlichen Anforderung Nr. 1: Mechanischer Widerstand und Stabilität und der wesentlichen Anforderung Nr. 2: Brandschutz;
- als Grundlage für die Spezifizierung von Verträgen für die Ausführung von Bauwerken und dazu erforderlichen Ingenieurleistungen;
- als Rahmenbedingung für die Herstellung harmonisierter, technischer Spezifikationen für Bauprodukte (EN's und ETA's)

Die Eurocodes. haben, soweit sie sich auf Bauwerke beziehen, eine direkte Beziehung zu den Grundlagendokumenten<sup>2)</sup>, auf die in Artikel 12 der Bauproduktenrichtlinie hingewiesen wird, obwohl sie anderer Art sind als die harmonisierten Produktnormen<sup>3)</sup>. Daher sind die technischen Gesichtspunkte, die sich aus den

Die Eurocodes spielen de facto eine ähnliche Rolle für die wesentliche Anforderung Nr. 1 und einen Teil der wesentlichen Anforderung Nr. 2.

<sup>2)</sup> Entsprechend Artikel 3.3 der Bauproduktenrichtlinie sind die wesentlichen Angaben in Grundlagendokumenten zu konkretisieren, um damit die notwendigen Verbindungen zwischen den wesentlichen Anforderungen und den Mandaten für die Erstellung harmonisierter Europäischer Normen und Richtlinien für Europäische Zulassungen selbst zu schaffen.

<sup>3)</sup> Nach Artikel 12 der Bauproduktenrichtlinie hat das Grundlagendokument

die wesentliche Anforderung zu konkretisieren, in dem die Begriffe und soweit erforderlich die technische Grundlagen für Klassen und Anforderungshöhen vereinheitlicht werden,

Methode zur Verbindung dieser Klasse oder Anforderungshöhen mit technischen Spezifikationen anzugeben, z. B. rechnerische oder Testverfahren, Entwurfsregeln,

als Bezugsdokument für die Erstellung harmonisierter Normen oder Richtlinien für Europäische Technische Zulassungen zu dienen.

DIN EN 1991-1-4:2010-12

EN 1991-1-4:2005 + A1:2010 + AC:2010 (D)

Eurocodes ergeben, von den Technischen Komitees von CEN und den Arbeitsgruppen von EOTA, die an Produktnormen arbeiten, zu beachten, damit diese Produktnormen mit den Eurocodes vollständig kompatibel sind.

Die Eurocodes liefern Regelungen für den Entwurf, die Berechnung und Bemessung von kompletten Tragwerken und Baukomponenten, die sich für die tägliche Anwendung eignen. Sie gehen auf traditionelle Bauweisen und Aspekte innovativer Anwendungen ein, liefern aber keine vollständigen Regelungen für ungewöhnliche Baulösungen und Entwurfsbedingungen, wofür Spezialistenbeiträge erforderlich sein können.

## Nationale Fassungen der Eurocodes

Die Nationale Fassung eines Eurocodes enthält den vollständigen Text des Eurocodes (einschließlich aller Anhänge), so wie von CEN veröffentlicht, mit möglicherweise einer nationalen Titelseite und einem nationalen Vorwort sowie einem Nationalen Anhang.

Der Nationale Anhang darf nur Hinweise zu den Parametern geben, die im Eurocode für nationale Entscheidungen offengelassen wurden. Diese national festzulegenden Parameter (NDP) gelten für die Tragwerksplanung von Hochbauten und Ingenieurbauten in dem Land, indem sie erstellt werden. Sie umfassen:

- Zahlenwerte und/oder Klassen, wo die Eurocodes Alternativen eröffnen,
- Zahlenwerte, wo die Eurocodes nur Symbole angeben,
- Landesspezifische Daten (geographische-, klimatische Daten usw.) z.B. Windkarten;
- die zu benutzende Vorgehensweise, wenn der Eurocode mehrere Vorgehensweisen anbietet.

Des weiteren dürfen enthalten sein:

- Entscheidungen über die Anwendung der informativen Anhänge, und
- Verweise zu ergänzenden, nicht widersprechenden Informationen, die dem Nutzer bei der Anwendung des Eurocodes helfen.

## Beziehung zwischen den Eurocodes und den harmonisierten Technischen Spezifikationen für Bauprodukte (ENs und ETAs)

Es besteht die Notwendigkeit, dass die harmonisierten technischen Spezifikationen für Bauprodukte und die technischen Regelungen für die Tragwerksplanung<sup>4)</sup> konsistent sind. Weiterhin soll die Kennzeichnung an den Bauprodukten mit CE-Zeichen, die sich auf die Eurocodes beziehen, klar erkennen lassen, welche national festzulegenden Parameter (NDP) zugrunde liegen.

## Zusätzliche Informationen besonders für EN 1991-1-4

EN 1991-1-4 gibt Hinweise zur Bemessung und zur Belastung von Gebäuden und ingenieurtechnischen Bauwerken

EN 1991-1-4 ist an Bauherren, Konstrukteure, Bauunternehmer und beteiligte Behörden gerichtet.

Siehe Artikel 3.3 und Art. 12 der Bauproduktenrichtlinie, sowie die Abschnitte 4.2, 4.3.1, 4.3.2, und 5.2 des Grundlagendokumentes Nr. 1.

EN 1991-1-4 ist für die Anwendung mit der EN 1990, den anderen Teilen der EN 1991 und EN 1992-1999 für die Bauwerksbemessung vorgesehen.

# Nationaler Anhang von EN 1991-1-4

Diese Norm beinhaltet alternative Verfahren, Werte und Empfehlungen für Abschnitte mit dem Hinweis auf nationale Wahlmöglichkeiten. Aus diesem Grund ist der nationalen Norm, die den Eurocode EN 1991-1-4 einführt, ein Nationaler Anhang anzufügen, in dem angegeben wird, welche Verfahren und Werte für die Bemessung von Gebäuden und ingenieurtechnischen Bauwerken national anzusetzen sind.

Eine nationale Wahlmöglichkeit ist in EN 1991-1-4 für die folgenden Abschnitte gegeben:

```
AC) gestrichener Text (AC)
1.5 (2)
4.1 (1)
4.2 (1)P Anmerkung 2
4.2 (2)P Anmerkungen 1, 2, 3 und 5
4.3.1 (1) Anmerkungen 1 und 2
4.3.2 (1)
4.3.2 (2)
4.3.3 (1)
4.3.4 (1)
4.3.5 (1)
4.4 (1) Anmerkung 2
4.5 (1) Anmerkungen 1 und 2
5.3 (5)
6.1 (1)
6.3.1 (1) Anmerkung 3
6.3.2 (1)
7.1.2 (2)
7.1.3 (1)
7.2.1 (1) Anmerkung 2
7.2.2 (1)
7.2.2 (2) Anmerkung 1
A<sub>1</sub> 7.2.3(2) (A<sub>1</sub>
A<sub>1</sub> 7.2.3(4) (A<sub>1</sub>
A) 7.2.4(1) (A)
A<sub>1</sub> 7.2.4(3) (A<sub>1</sub>
A<sub>1</sub> 7.2.4(1) (A<sub>1</sub>
A<sub>1</sub> 7.2.5(1) (A<sub>1</sub>
A) 7.2.5(3) (A)
A) 7.2.6(1) (A)
A) 7.2.6(3) (A)
A1) 7.2.7 (A1
7.2.8 (1)
7.2.9 (2)
7.2.10 (3) Anmerkungen 1 und 2
A1 7.3(6) A1
7.4.1 (1)
7.4.3 (2)
7.6 (1) Anmerkung 1
7.7 (1) Anmerkung 1
7.8 (1)
A 7.9.2(2) A
7.10 (1) Anmerkung 1
```

```
7.11 (1) Anmerkung 2
7.13 (1)
7.13 (2)
A Tabelle 7.14 (A)
8.1 (1) Anmerkungen 1 und 2
8.1 (4)
8.1 (5)
8.2 (1) Anmerkung 1
8.3 (1)
8.3.1 (2)
8.3.2 (1)
8.3.3 (1) Anmerkung 1
8.3.4 (1)
8.4.2 (1) Ac gestrichener Text Ac
A.2 (1)
E.1.3.3 (1)
E.1.5.1 (1) Anmerkungen 1 und 2
E.1.5.1 (3)
E.1.5.2.6 (1) Anmerkung 1
E.1.5.3 (2) Anmerkung 1
E.1.5.3 (4)
E.1.5.3 (6)
E.3 (2)
```

# 1 Allgemeines

# 1.1 Anwendungsbereich

- (1) EN 1991-1-4 liefert Regeln zur Bestimmung der Einwirkungen aus natürlichem Wind auf für die Bemessung von Gebäuden und ingenieurtechnischen Anlagen betrachteten Lasteinzugsflächen. Damit werden ganze Tragwerke oder Teile davon oder Bauelemente, die mit dem Tragwerk verbunden sind, erfasst, z. B. Komponenten, Fassadenteile und deren Verankerungen, Anprallschutz- und Lärmschutzwände.
- (2) Diese Norm gilt für:
- Gebäude und ingenieurtechnische Bauwerke mit einer Höhe bis 200 m. Siehe auch Absatz (11);
- Brücken mit einer Spannweite bis zu 200 m, vorausgesetzt, sie erfüllen die Abgrenzungskriterien hinsichtlich dynamischer Wirkungen, siehe 🔊 (12) 🚾 und 8.2.
- (3) Dieser Teil dient zur Bestimmung der charakteristischen Windlasten auf Bauwerke an Land, deren Bauteile und Anbauten.
- (4) Verschiedene Aspekte, die für die Bestimmung von Windeinwirkungen auf ein Bauwerk berücksichtigt werden müssen, hängen von der Örtlichkeit und der Verfügbarkeit und Qualität von meteorologischen Daten, der Geländekategorie usw. ab.

Diese Angaben sind im Nationalen Anhang und im informativen Anhang A, entsprechend den nationalen Wahlmöglichkeiten, die in den Anmerkungen eröffnet sind, enthalten. Die Anmerkungen und informativen Anhänge enthalten Empfehlungen für Zahlenwerte und Methoden.

- (5) Der informative Anhang A enthält Darstellungen der Geländekategorien und liefert Regeln zur Berücksichtigung von Topographieeffekten einschließlich der Versatzhöhe, Rauhigkeitswechsel, Einfluss der Landschaft und benachbarter Bauwerke.
- (6) Die informativen Anhänge B und C liefern alternative Verfahren zur Berechnung des Strukturbeiwertes  $c_s c_d$ .
- (7) Der informative Anhang D liefert  $c_s c_d$  Faktoren für verschiedene Bauwerkstypen.
- (8) Der informative Anhang E enthält Regeln zur Abschätzung von wirbelerregten Bauwerksantworten und Hinweise zur Berücksichtigung von anderen aeroelastischen Effekten.
- (9) Der informative Anhang F enthält Hinweise zum dynamischen Verhalten von Bauwerken mit linearer Charakteristik.
- (10) Diese Norm enthält keine Hinweise zur Berücksichtigung von örtlichen thermischen Effekten auf die Windcharakteristik, wie z. B. starke arktische Inversionslagen, Kanalisierungen oder Wirbelstürme.
- (11) Abgespannte Maste sowie Fachwerkmaste und -türme werden in EN 1993-3-1 und Lichtmaste in EN 40 behandelt.
- (12) Diese Norm enthält keine Hinweise zu folgenden Aspekten:
- Torsionsschwingungen, z.B. von hohen Gebäuden mit zentralem Kern
- Schwingungen von Brückenüberbauten infolge Windturbulenz
- Windeinwirkungen auf Schrägseilbrücken und Hängebrücken
- Schwingungen, bei denen die Berücksichtigung der Grundschwingungsform nicht ausreicht. (&)

EN 1991-1-4:2005 + A1:2010 + AC:2010 (D)

# 1.2 Normative Verweisungen

Diese Europäische Norm enthält durch datierte oder undatierte Verweisungen Festlegungen aus anderen Publikationen. Diese normativen Verweisungen sind an den jeweiligen Stellen im Text zitiert, und die Publikationen sind nachstehend aufgeführt. Bei datierten Verweisungen gehören spätere Änderungen oder Überarbeitungen dieser Publikationen nur zu dieser Europäischen Norm, falls sie durch Änderung oder Überarbeitung eingearbeitet sind. Bei undatierten Verweisungen gilt die letzte Ausgabe der in Bezug genommenen Publikation (einschließlich Änderungen).

EN 1990, Eurocode: Grundlagen der Tragwerksplanung

EN 1991-1-3, Eurocode 1: Einwirkungen auf Tragwerke — Teil 1-3: Schneelasten

EN 1991-1-6, Eurocode 1: Einwirkungen auf Tragwerke — Teil 1-6: Einwirkungen während der Bauausführung

EN 1991-2, Eurocode 1: Einwirkungen auf Tragwerke — Teil 2: Verkehrslasten auf Brücken

EN 1993-3-1, Eurocode 3: Bemessung und Konstruktion von Stahlbauten — Teil 3-1: Türme und Maste

## 1.3 Annahmen

(1)P Es gelten die allgemeinen Annahmen in EN 1990, 1.3.

## 1.4 Unterscheidung zwischen Grundsätzen und Anwendungsregeln

(1)P Es gelten die Regeln in EN 1990, 1.4.

## 1.5 Belastungsansätze basierend auf Versuchen und Messungen

- (1) In Ergänzung zu dieser Norm können Windkanalversuche und bewährte und/oder anerkannte numerische Verfahren zur Bestimmung von Lasten und Systemreaktionen angewandt werden, wenn die Struktur und der natürliche Wind zutreffend modelliert werden.
- (2) Lasten, Systemantworten und Geländeparameter können auch durch Originalmessungen ermittelt werden.

ANMERKUNG Zu weiteren Informationen zu Windkanalversuchen und Messungen siehe Nationaler Anhang

## 1.6 Begriffe

Für die Anwendung dieser Europäischen Norm gelten die Begriffe nach ISO 2394, ISO 3898 und ISO 8930 und die folgenden Begriffe. Auch die Liste der Begriffe in EN 1990, 1.5 gilt für diese Norm.

#### 1.6.1

## Grundwert der Basiswindgeschwindigkeit

die mittlere 10-minütige Windgeschwindigkeit mit einer jährlichen Auftretenswahrscheinlichkeit von 2 % unabhängig von der Windrichtung, bezogen auf eine Höhe von 10 m über flachem offenem Gelände unter Berücksichtigung der Meereshöhe (falls erforderlich)

# 1.6.2

## Basiswindgeschwindigkeit

der modifizierte Grundwert der Basiswindgeschwindigkeit zur Berücksichtigung der Richtung des betrachteten Windes und der Jahreszeit (falls erforderlich)

## 1.6.3

## Mittlere Windgeschwindigkeit

die Basiswindgeschwindigkeit modifiziert zur Berücksichtigung von Geländerauhigkeit und Topographie

12

### 1.6.4

### **Druckbeiwert**

Außendruckbeiwerte geben die Windeinwirkung auf Außenflächen von Bauwerken wieder, Innendruckbeiwerte geben die Windeinwirkung auf Innenflächen in Bauwerken wieder.

Die Außendruckbeiwerte werden aufgeteilt in globale Beiwerte und lokale Beiwerte. Die lokalen Beiwerte liefern die Druckbeiwerte für belastete Flächen mit einer Größe von 1 m<sup>2</sup> oder weniger, z.B. für die Bemessung von kleinen Bauteilen oder Befestigungen; die globalen Beiwerte liefern die Druckbeiwerte für belastete Flächen mit einer Größe von mehr als 10 m<sup>2</sup>.

Nettodruckbeiwerte liefern die resultierende Windeinwirkung auf Bauwerke, Bauteile oder Komponenten je Flächeneinheit.

#### 1.6.5

#### Kraftbeiwert

Kraftbeiwerte geben die Gesamteinwirkung infolge Wind auf Bauwerke, Bauteile oder Komponenten wieder. Sie enthalten auch Reibungseffekte, außer wenn diese besonders ausgeschlossen werden.

#### 1.6.6

## Beiwert für den Böengrundanteil

der Beiwert für den Böengrundanteil erfasst die Reduktion des effektiven Oberflächendrucks durch die räumliche Mittelung (abnehmende Korrelation)

#### 1.6.7

#### Beiwert für den Resonanzanteil

der Beiwert für den Resonanzanteil erfasst die dynamische Resonanzüberhöhung einer Schwingungsform bei Erregung durch Turbulenz

## 1.7 Symbole und Abkürzungen

(1) Für die Anwendung dieser Norm gelten die folgenden Symbole.

Die verwendete Bezeichnungsweise basiert auf ISO 3898:1999. In diesem Teil symbolisiert der Punkt **ANMFRKUNG** das Multiplikationszeichen. Diese Schreibweise wurde verwendet, um Verwechslungen mit Funktionstermen vorzubeugen.

(2) Eine allgemeine Übersicht der Bezeichnungsweise ist in EN 1990, 1.6 angegeben. Die weiteren, unten aufgeführten Bezeichnungen gelten nur für EN 1991-1-4.

#### lateinische Großbuchstaben

Elächo

A	Fläche
1	Summa

Summe der vom Wind überströmten Flächen (benetzte Fläche)  $A_{\mathsf{fr}}$ 

Bezugsfläche  $A_{\mathsf{ref}}$  $B^2$ Böengrundanteil

CWindlastbeiwert für Brücken

EElastizitätsmodul

resultierende Reibungskraft  $F_{\mathsf{fr}}$ 

wirbelerregte Kraft am Punkt j des Bauwerks  $F_{\mathsf{i}}$ Gesamtwindkraft, die auf ein Gebäude wirkt  $F_{\mathsf{w}}$ 

Н Meereshöhe in m Turbulenzintensität  $I_{\mathsf{v}}$ 

K Beiwert der Schwingungsform; Schwingungsform Parameter

# EN 1991-1-4:2005 + A1:2010 + AC:2010 (D)

der aerodynamische Dämpfungsparameter 🕼
Interferenzfaktor für wirbelerregte Querschwingung
Reduktionsfaktor für Brüstungen
Wirklängenfaktor
dimensionsloser Beiwert
Spannweite des Brückenüberbaus, Integrallängenmass der Turbulenz
tatsächliche Länge einer leeseitigen Steigung
effektive Länge der luvseitigen Steigung
Wirklänge
tatsächliche Länge der luvseitigen Steigung
Anzahl Schwingungsspiele verursacht durch wirbelerregte Querschwingungen
Anzahl der Böenlasten der Tragwerksantwort
Resonanzanteil der Böenreaktion
Reynoldszahl
aerodynamische Übertragungsfunktionen
Windeinwirkung
Scrutonzahl
dimensionslose Spektraldichtefunktion
Strouhalzahl

# lateinische Kleinbuchstaben

Gesamtmasse des Schornsteins

Innendruckbeiwert

 $W_{\mathsf{s}}$ 

 $W_{\mathsf{t}}$ 

iatelliselle iti	
$a_{G}$	Beiwert für Galloping-Instabilität
$a_{IG}$	kombinierter Stabilitätsbeiwert für Interferenzgalloping
b	Breite des Bauteils oder Bauwerks
$c_{alt}$	Höhenbeiwert
$c_{d}$	dynamischer Beiwert
$c_{dir}$	Richtungsbeiwert
$c_{e}(z)$	Beiwert für den Außendruck
$\mathcal{C}_f$	aerodynamischer Kraftbeiwert
$\mathcal{C}_{f,O}$	aerodynamischer Kraftbeiwert für Bauwerke oder Bauteile mit unendlicher Schlankheit
$\mathcal{C}_{f,l}$	aerodynamischer Auftriebsbeiwert
$c_{fr}$	aerodynamischer Reibungsbeiwert
$c_{lat}$	aerodynamischer Erregerkraftbeiwert
$c_{M}$	Momentenbeiwert
$c_{p}$	aerodynamischer Beiwert für Druck
$AC$ $C_{pe}$	Außendruckbeiwert

Masse der konstruktiven steifigkeitsbeitragenden Bauteile eines Schornsteins

 $c_{\mathsf{pi}}$ 

 $c_{\mathsf{p},\mathsf{net}}$  Nettodruckbeiwert (AC)

c<sub>prob</sub> Wahrscheinlichkeitsbeiwert

 $c_{
m r}$  Rauhigkeitsbeiwert  $c_{
m o}$  Topographiebeiwert

 $c_{s}$  Größenbeiwert

 $c_{\mathsf{season}}$  Jahreszeitenbeiwert

d Abmessung parallel zur Anströmrichtung

e Ausmitte einer Kraft quer zur Körperachse oder Randabstand

f<sub>L</sub> dimensionslose Frequenz

h Höhe des Bauwerks

have durchschnittliche Höhe mehrer Gebäude

 $h_{\rm dis}$  Versatzhöhe

k äquivalente Rauhigkeit  $A \cap k_0$  Turbulenzfaktor  $A \cap k_0$   $A \cap k_0$  Spitzenbeiwert  $A \cap k_0$  Rauhigkeitsfaktor  $A \cap k_0$  Torsionssteifigkeit

Länge eines horizontalen Bauwerks

m längenbezogene Masse

*m*<sub>1</sub> äquivalente längenbezogene Masse

*n*<sub>i</sub> Bauwerkseigenfrequenz der i-ten Schwingungsform

 $n_{1,x}$  Grundeigenfrequenz in Windrichtung

 $n_{1,y}$  Grundeigenfrequenz der Schwingungsform quer zum Wind

 $n_0$  Frequenz für ovalisierende Schwingungen p jährliche Überschreitenswahrscheinlichkeit  $q_{\rm b}$  mittlerer (Grund) Bezugsgeschwindigkeitsdruck

g<sub>p</sub> Spitzengeschwindigkeitsdruck

r Radius

s Faktor, Koordinate

t Mittelungsintervall der Bezugswindgeschwindigkeit, Plattenstärke

 $v_{CG}$  Einsetzgeschwindigkeit für Galloping

v<sub>CIG</sub> kritische Windgeschwindigkeit für Interferenzgalloping

v<sub>crit</sub> kritische Windgeschwindigkeit für wirbelerregte Querschwingungen

v<sub>div</sub> Windgeschwindigkeit für Divergenzinstabilität

v<sub>m</sub> mittlere Windgeschwindigkeit

v<sub>b,0</sub> Grundwert der Basiswindgeschwindigkeit

v<sub>b</sub> Basiswindgeschwindigkeit

# EN 1991-1-4:2005 + A1:2010 + AC:2010 (D)

w Winddruck

x horizontaler Abstand des Ortes von der Kante des Geländesprunges

*x*-Richtung horizontale Richtung, senkrecht zur Spannweite *y*-Richtung horizontale Richtung entlang der Spannweite

 $y_{\text{max}}$  maximale Schwingungsamplitude bei der kritischen Windgeschwindigkeit

z Höhe über Grund

z<sub>ave</sub> durchschnittliche Höhe

z-Richtung vertikale Richtung  $z_0$  Rauhigkeitslänge

z<sub>e</sub>, z<sub>i</sub> Bezugshöhe für den Außendruck, bzw. Innendruck oder Kraftbeiwert

 $z_{\rm g}$  Abstand vom Boden zum betrachteten Bauteil

 $z_{
m max}$  maximale Höhe  $z_{
m min}$  minimale Höhe

z<sub>s</sub> Bezugshöhe zur Bestimmung des Strukturbeiwertes

# griechische Großbuchstaben

 $\Phi$  luvseitige Steigung

 $\Phi_{1,x}$  Grundschwingungsform in Windrichtung

## griechische Kleinbuchstaben

 $\alpha_{\rm G}$  Beiwert für Galloping-Instabilität

 $lpha_{
m lG}$  kombinierter Stabilitätsbeiwert für Interferenzgalloping

δ logarithmisches Dämpfungsdekrement

 $\delta_{\!a}$  Regional logarithmisches Dekrement der aerodynamischen Dämpfung (AC)

 $\delta_{\!\scriptscriptstyle d}$  logarithmisches Dämpfungsdekrement infolge besonderer Maßnahmen

 $\delta_{\rm s}$  logarithmisches Dekrement der strukturellen Dämpfung (AC)

 $\varepsilon$  Beiwert

 $\varepsilon_0$  Bandbreitenbeiwert

 $\varepsilon_1$  Frequenzbeiwert

 $\eta$  Variable

 $\varphi$  Völligkeitsgrad, Grad der Versperrung bei freistehenden Dächern

λ Schlankheit

μ Flächenparameter, Porosität einer Schale

ν Erwartungswert der Böenreaktion, Querdehnzahl, kinematische Zähigkeit

 $\theta$  Torsionswinkel

c Luftdichte

 $\sigma_{\!\scriptscriptstyle V}$  Standardabweichung der Turbulenz

 $\sigma_{a,x}$  Standardabweichung der Beschleunigung in Windrichtung

$\psi_{mc}$	Abminderungsbeiwert für freistehende Sheddächer
Ψr	Abminderungsfaktor des Kraftbeiwertes für Rechteckquerschnitte mit abgerundeten Ecken
$\psi_{\lambda}$	Abminderungsfaktor für den aerodynamischen Kraftbeiwert zur Berücksichtigung der Umströmung freier Enden von Bauwerken und Bauteilen endlicher Schlankheit
$\psi_{\lambda \alpha}$	Abminderungsfaktor zur Berücksichtigung der Umströmung von freien Enden eines Kreiszylinders
$\psi_{S}$	Abschattungsfaktor für Wände und Zäune
ζ	Exponent der Schwingungsform

### **Indizes**

crit kritisch

e Außen-, Belastung

fr Reibung

i Innen-, Ordnung der Eigenfrequenz oder Eigenform

Nummer des Abschnittes oder eines Punktes eines Bauwerks oder Bauteils

m mittlerer

p Spitze, Brüstung

ref Bezug

v Windgeschwindigkeit

x in Windrichtung

y quer zur Windrichtung z in vertikaler Richtung

# 2 Bemessungssituationen

- (1) P Die maßgebenden Windeinwirkungen sind entsprechend der Bemessungssituation nach EN 1990, 3.2 für jeden belasteten Bereich zu ermitteln.
- (2) In Übereinstimmung mit EN 1990, 3.2 (3)P sind die Folgen anderer Einwirkungen (wie Schnee, Verkehr oder Eis), die sich auf die Bezugsfläche oder die aerodynamischen Beiwerte erheblich auswirken, zu berücksichtigen.

(3) In Übereinstimmung mit EN 1990, 3.2 (3)P sind Veränderungen des Bauwerks während der Bauausführung (wie z.B. unterschiedliche Bauwerksformen während verschiedener Bauzustände, unterschiedliche dynamische Eigenschaften, usw.), welche die Windeinwirkungen beeinflussen können, zu berücksichtigen.

ANMERKUNG Siehe auch EN 1991-1-6

(4) Fenster und Türen sind im Fall von Sturmereignissen als geschlossen anzunehmen. Die Wirkung geöffneter Fenster und Türen sollte als außergewöhnliche Bemessungssituation berücksichtigt werden.

ANMERKUNG Siehe auch EN 1990, 3.2 (2) (P)

(5) Ermüdungsbeanspruchungen infolge von Windeinwirkungen sind bei ermüdungsempfindlichen Bauwerken oder Bauteilen zu berücksichtigen.

ANMERKUNG Die Anzahl der Belastungszyklen kann den Anhängen B, C und E entnommen werden.

EN 1991-1-4:2005 + A1:2010 + AC:2010 (D)

# 3 Erfassung der Windeinwirkungen

# 3.1 Allgemeines

(1) Windeinwirkungen sind über die Zeit veränderlich. Sie wirken in Form von Druck auf die Außenflächen umschlossener Baukörper und infolge der Durchlässigkeit der äußeren Hülle auch auf die Innenflächen. Sie können auch direkt auf die Innenflächen offener Gebäude einwirken. Der Winddruck wirkt normal zur betrachteten Oberfläche. Wenn der Wind an größeren Flächen vorbeistreicht, kann es erforderlich werden, auch die Reibungskräfte parallel zur Oberfläche zu berücksichtigen.

## 3.2 Erfassung von Windeinwirkungen

(1) Die Windeinwirkungen werden durch eine vereinfachte Anordnung von Winddrücken oder Windkräften erfasst, deren Wirkungen äquivalent zu den maximalen Wirkungen des turbulenten Windes sind.

## 3.3 Klassifizierung der Windeinwirkungen

(1) Falls nicht anders angegeben, werden Windeinwirkungen als veränderliche, freie Einwirkungen eingestuft, siehe EN 1990, 4.1.1.

### 3.4 Charakteristische Werte

(1) Die mit den Regeln dieser Norm ermittelten Windeinwirkungen sind charakteristische Werte (siehe EN 1990, 4.1.2). Sie werden mit der Basiswindgeschwindigkeit oder dem entsprechenden Geschwindigkeitsdruck bestimmt. Die Basiswerte sind charakteristische Größen mit einer jährlichen Überschreitenswahrscheinlichkeit von 2 %, die einer mittleren Wiederkehrperiode von 50 Jahren entspricht.

ANMERKUNG Alle Beiwerte oder Modelle zur Herleitung von Windeinwirkungen aus Basiswerten sind derart gewählt, dass die Wahrscheinlichkeit der berechneten Windeinwirkungen die Wahrscheinlichkeit der Basiswerte nicht überschreitet.

## 3.5 Modelle

(1) Die Auswirkung des Windes auf das Bauwerk (d.h. die Reaktion des Bauwerks), hängt von der Größe, der Form und den dynamischen Eigenschaften des Bauwerks ab. Diese Norm erfasst auch die dynamische Reaktion des Bauwerks infolge der longitudinalen Komponente der Turbulenz durch Resonanzüberhöhung anhand der Grundbiegeschwingungsform (gleiche Schwingungsrichtung über die gesamte Bauwerkshöhe) in Windrichtung.

Die Reaktion des Bauwerks ist nach Abschnitt 5 mit dem Spitzengeschwindigkeitsdruck,  $q_p$ , in der Bezugshöhe der ungestörten Windströmung mit den Kraft- oder Druckbeiwerten sowie mit dem Strukturbeiwert  $c_s c_d$  (siehe Abschnitt 6) zu berechnen.  $q_p$  hängt vom Windklima, der Geländerauhigkeit und der Topographie sowie der Bezugshöhe ab.  $q_p$  ist gleich dem mittleren Geschwindigkeitsdruck plus einem Beitrag aus den fluktuierenden Druckanteilen.

(2) Aeroelastische Reaktionen sind in der Regel bei flexiblen Strukturen wie Kabeln, Masten, Schornsteinen und Brücken zu berücksichtigen.

ANMERKUNG Vereinfachte Regeln zur Bestimmung aeroelastischer Reaktionen liefert der Anhang E.

# 4 Windgeschwindigkeit und Geschwindigkeitsdruck

# 4.1 Berechnungsgrundlagen

(1) Die Windgeschwindigkeit und der der Windgeschwindigkeit zugeordnete Geschwindigkeitsdruck enthalten einen konstanten und einen veränderlichen Anteil.

Die mittlere Windgeschwindigkeit  $\nu_{\rm m}$  wird mit der Basiswindgeschwindigkeit  $\nu_{\rm b}$ , die vom Windklima (siehe 4.2) und vom Höhenprofil des Windes abhängt, bestimmt. Das Höhenprofil des Windes hängt von der Geländerauhigkeit und der Topographie ab (siehe 4.3). Der Spitzengeschwindigkeitsdruck wird in 4.5 bestimmt.

Der veränderliche Anteil des Windes wird durch die Turbulenzintensität nach 4.4 beschrieben.

ANMERKUNG Der Nationale Anhang kann nationale Klimainformationen angeben, mit denen die mittlere Windgeschwindigkeit  $\nu_{\rm m}$ , der Spitzengeschwindigkeitsdruck  $q_{\rm p}$  und zusätzliche Werte für die maßgebenden Geländekategorien bestimmt werden können.

## 4.2 Basiswindgeschwindigkeit

(1)PDer Grundwert  $v_{b,0}$  der Basiswindgeschwindigkeit ist der charakteristische Wert der mittleren 10-Minuten-Windgeschwindigkeit. Sie ist unabhängig von Windrichtung und Jahreszeit, und ist bezogen auf 10 m Höhe über Boden in ebenem, offenem Gelände mit niedriger Vegetation (wie Gras und vereinzelter Hindernisse mit Abständen von mindestens der 20-fachen Hindernishöhe).

ANMERKUNG 1 Dieses Gelände entspricht der Kategorie II nach Tabelle 4.1.

ANMERKUNG 2 Die Werte  $v_{b,0}$  der Basiswindgeschwindigkeit können im Nationalen Anhang angegeben sein.

(2)P Die Basiswindgeschwindigkeit ist

$$v_{\rm b} = c_{\rm dir} \cdot c_{\rm season} \cdot v_{\rm b \, 0} \tag{4.1}$$

#### Dabei ist

v<sub>b</sub> Basiswindgeschwindigkeit, definiert als Funktion der Windrichtung und Jahreszeit, in 10 m Höhe über Bodenniveau für die Geländekategorie II;

 $v_{b,0}$  Grundwert der Basiswindgeschwindigkeit, siehe (1)P;

 $c_{dir}$  Richtungsfaktor, siehe Anmerkung 2;

 $c_{\text{season}}$  Jahreszeitenbeiwert, siehe Anmerkung 3.

ANMERKUNG 1 Falls der Einfluss der Meereshöhe auf die Basiswindgeschwindigkeit  $v_b$  nicht im angegebenen Grundwert  $v_{b,0}$  berücksichtigt ist, kann der Nationale Anhang eine Methode zur Berücksichtigung des Einflusses der Meereshöhe angeben.

ANMERKUNG 2 Der Wert des Richtungsfaktors  $c_{\text{dir}}$  für verschiedene Windrichtungen kann im Nationalen Anhang angegeben werden. Der empfohlene Wert ist 1,0.

ANMERKUNG 3 Der Jahreszeitenbeiwert  $c_{\text{season}}$ , kann im Nationalen Anhang angeben werden. Der empfohlene Wert ist 1,0.

ANMERKUNG 4 Die mittlere 10-Minuten-Windgeschwindigkeit kann für eine jährliche Überschreitenswahrscheinlichkeit p bestimmt werden, indem die Basiswindgeschwindigkeit  $v_b$  nach 4.2 (2)P mit dem Wahrscheinlichkeitsfaktor  $c_{\text{prob}}$  nach Gleichung (4.2) multipliziert wird (siehe auch EN 1991-1-6).

EN 1991-1-4:2005 + A1:2010 + AC:2010 (D)

$$c_{\text{prob}} = \left(\frac{1 - K \cdot \ln(-\ln(1 - p))}{1 - K \cdot \ln(-\ln(0.98))}\right)^{n}$$
(4.2)

Dabei ist

K Formbeiwert abhängig vom Variationskoeffizienten der Extremwertverteilung;

*n* Exponent.

ANMERKUNG 5 Die zu verwendenden Werte für K und n können im Nationalen Anhang angegeben werden. Die empfohlenen Werte sind 0,2 für K und 0,5 für n.

(3) Für temporäre Bauwerke und alle im Bauzustand befindlichen Bauwerke darf der Jahreszeitenbeiwert  $c_{\rm season}$  verwendet werden. Für bewegliche Bauwerke (z. B. fliegende Bauten oder Gerüste), die zu jeder Jahreszeit verwendet werden können, ist für  $c_{\rm season}$  ein Wert von 1,0 anzusetzen.

ANMERKUNG Siehe auch EN 1991-1-6.

#### 4.3 Mittlerer Wind

## 4.3.1 Höhenabhängigkeit

(1) Die mittlere Windgeschwindigkeit  $v_m(z)$  in der Höhe z über Grund hängt von der Geländerauhigkeit, der Topographie und der Basiswindgeschwindigkeit  $v_b$  ab. Sie ist

$$v_{\rm m}(z) = c_{\rm r}(z) \cdot c_{\rm o}(z) \cdot v_{\rm b} \tag{4.3}$$

Dabei ist

- $c_r(z)$  Rauhigkeitsbeiwert nach 4.3.2;
- $c_0(z)$  Topographiebeiwert; nach 4.3.3.

ANMERKUNG 1 Angaben zu *co* können im Nationalen Anhang angegeben werden. Wenn die Topographie in der Basiswindgeschwindigkeit berücksichtigt ist, ist der empfohlene Wert 1,0.

ANMERKUNG 2 Karten oder Tabellen zur Bestimmung von  $v_m(z)$  können im Nationalen Anhang angegeben werden.

(2) Der Einfluss benachbarter Bauwerke auf die Windgeschwindigkeit sollte berücksichtigt werden (siehe 4.3.4).

### 4.3.2 Geländerauhigkeit

- (1) Der Rauhigkeitsfaktor  $c_r(z)$  berücksichtigt die Veränderlichkeit der mittleren Windgeschwindigkeit  $v_m(z)$  am Standort des Bauwerks in Abhängigkeit von:
- der Höhe über Grund
- der Geländerauhigkeit in Luv des Bauwerkes für die betrachtete Windrichtung

ANMERKUNG Das Verfahren zur Bestimmung von  $c_r(z)$  kann im Nationalen Anhang angegeben werden. Empfohlen wird das folgende Verfahren , das auf einem logarithmischen Geschwindigkeitsprofil basiert und durch den Ausdruck (4.4) gegeben ist.

$$c_{r}(z) = k_{r} \cdot \ln \left(\frac{z}{z_{0}}\right) \qquad \text{für} \qquad z_{\min} \le z \le z_{\max}$$

$$c_{r}(z) = c_{r}(z_{\min}) \quad \text{für} \qquad z \le z_{\min}$$

$$z \le z_{\min}$$
(4.4)

Dabei ist

z<sub>0</sub> Rauhigkeitslänge

k₁ Rauhigkeitsfaktor abhängig von der berechneten Rauhigkeitslänge z₀ nach folgender Gleichung:

$$k_r = 0.19 \cdot \left(\frac{z_0}{z_{0,II}}\right)^{0.07} \tag{4.5}$$

Dabei ist

 $z_{0,II}$  = 0,05 m (Geländekategorie II, Tabelle 4.1)

z<sub>min</sub> Mindesthöhe nach Tabelle 4.1

z<sub>max</sub> 200 m

 $z_0$ ,  $z_{\text{min}}$  sind von der Geländekategorie abhängig. Empfohlene Werte sind in Tabelle 4.1 für die fünf typischen Geländekategorien angegeben.

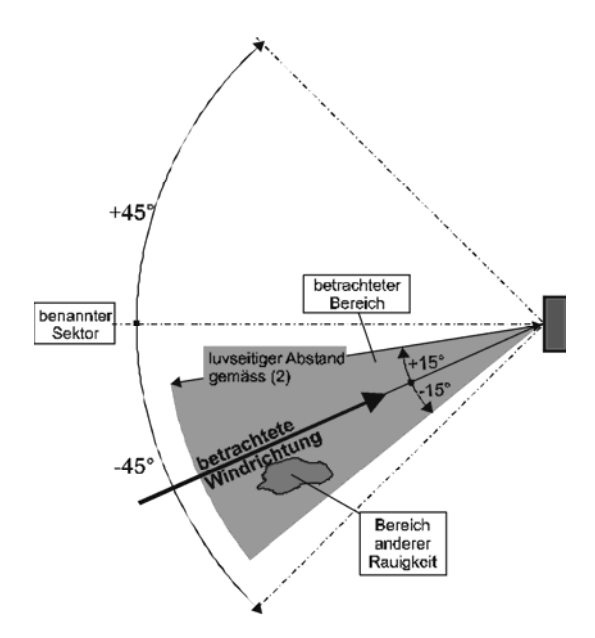
Gleichung (4.4) ist gültig, wenn die luvseitige Strecke mit konstanter Geländerauhigkeit lang genug zur Ausbildung eines stabilen Geschwindigkeitsprofils ist (siehe (2)).

Tabelle 4.1 — Geländekategorien und Geländeparameter

	Geländekategorie	$z_0$ m	$z_{ m min}$ m
0	See, Küstengebiete, die der offenen See ausgesetzt sind	0,003	1
ı	Seen oder Gebiete mit niedriger Vegetation und ohne Hindernisse	0,01	1
II	Gebiete mit niedriger Vegetation wie Gras und einzelne Hindernisse (Bäume, Gebäude) mit Abständen von min. 20-facher Hindernishöhe	0,05	2
III	Gebiete mit gleichmäßiger Vegetation oder Bebauung oder mit einzelnen Objekten mit Abständen von weniger als der 20-fachen Hindernishöhe (z. B. Dörfer, vorstädtische Bebauung, Waldgebiete)	0,3	5
IV	Gebiete, in denen mindestens 15 % der Oberfläche mit Gebäuden mit einer mittleren Höhe größer als 15 m bebaut sind.	1,0	10
Die	Geländekategorien sind in Anhang A.1 illustriert.		

(2) Die Geländerauhigkeit, die für eine vorgegebene Windrichtung zu verwenden ist, hängt von der Bodenrauhigkeit und der luvseitigen Strecke (Abstand) mit konstanter Geländerauhigkeit in einem bestimmten Winkelbereich um die betrachtete Windrichtung ab. Kleine Flächen (weniger als 10% der betrachteten Fläche) mit abweichenden Rauhigkeiten können vernachlässigt werden. Siehe Bild 4.1.

## EN 1991-1-4:2005 + A1:2010 + AC:2010 (D)



ANMERKUNG Der Nationale Anhang kann den Winkelbereich und den luvseitigen Abstand angeben. Ein Winkelbereich in Form eines 30°-Sektors mit ±15° um die betrachtete Windrichtung wird empfohlen. Der empfohlene Wert für den luvseitigen Abstand kann A.2 entnommen werden.

## Bild 4.1 — Bewertung der Geländerauhigkeit

- (3) Falls ein Druck- oder Kraftbeiwert für einen bestimmten Winkelbereich definiert ist, ist die geringste Rauhigkeitslänge innerhalb jedes 30°-Windsektors anzusetzen.
- (4) Falls es innerhalb des zu untersuchenden Winkelbereichs zwei oder mehrere Geländekategorien gibt, ist die geringste Rauhigkeitslänge zu verwenden.

## 4.3.3 Topographie

(1) Dort, wo die Topographie (z. B. Berge, Klippen etc.) die Windgeschwindigkeit um mehr als 5 % erhöht, ist die Vergrößerung durch den Topographiebeiwert  $c_0$  zu berücksichtigen.

ANMERKUNG Die Bestimmung von  $c_0$  kann im Nationalen Anhang angegeben werden. Das empfohlene Verfahren ist in A.3 angegeben.

(2) Topographieeffekte können vernachlässigt werden, wenn die mittlere Neigung des Geländes auf der Luvseite geringer als 3° ist. Das luvseitige Gelände ist bis zu einem Abstand der 10-fachen Höhe des herausragenden Topographieelementes zu berücksichtigen.

### 4.3.4 Einfluss höherer Nachbargebäude

(1) Falls das Bauwerk dicht an ein anderes Bauwerk angrenzt, das mindestens doppelt so hoch ist wie die mittlere Höhe der benachbarten Bebauung, dann kann es (abhängig von den Eigenschaften des Bauwerks) bei bestimmten Windrichtungen erhöhten Windgeschwindigkeiten ausgesetzt sein. Diese Fälle sind zu berücksichtigen.

ANMERKUNG Der Nationale Anhang kann Verfahren zur Berücksichtigung der Nachbarbebauung angeben. Eine empfohlene, konservative erste Näherung ist in A.4 beschrieben.

EN 1991-1-4:2005 + A1:2010 + AC:2010 (D)

## 4.3.5 Nahe Gebäude oder Hindernisse mit geringen Abständen

(1) Die Wirkung eng beieinander stehender Gebäude oder Hindernisse darf berücksichtigt werden.

ANMERKUNG Der Nationale Anhang kann ein Verfahren angeben. Ein empfohlenes Verfahren ist in A.5 angegeben. In rauhem Gelände verändern nahe gelegene, eng beieinander stehende Bauwerke die Windströmung in Bodennähe so, als wäre das Bodenniveau in eine als Versatzhöhe  $h_{\rm dis}$  bezeichnete Höhe angehoben worden.

### 4.4 Windturbulenz

(1) Die Turbulenzintensität  $I_{v}(z)$  in der Höhe z ist definiert als die Standardabweichung der Turbulenz geteilt durch die mittlere Windgeschwindigkeit.

ANMERKUNG 1 Die turbulente Komponente der Windgeschwindigkeit hat einen Mittelwert von 0 und eine Standardabweichung von  $\sigma_v$ . Die Standardabweichung der Turbulenz  $\sigma_v$  ist

$$\sigma_{V} = k_{\Gamma} \cdot v_{D} \cdot k_{\Gamma} \tag{4.6}$$

Dabei ist

 $k_{\rm r}$  Geländefaktor nach Gleichung (4.5),

ν<sub>b</sub> Basiswindgeschwindigkeit nach Gleichung (4.1)

 $k_{\rm l}$ . Turbulenzfaktor siehe Anmerkung 2

ANMERKUNG 2 Zur Bestimmung von  $I_v(z)$  wird der folgende Ausdruck (4.7) empfohlen.

$$I_{v}(z) = \frac{\sigma_{v}}{v_{m}(z)} = \frac{k_{1}}{c_{o}(z) \cdot \ln(z/z_{0})} \qquad \text{für} \qquad z_{\min} \le z \le z_{\max}$$

$$I_{v}(z) = I_{v}(z_{\min}) \qquad \text{für} \qquad z < z_{\min}$$

$$(4.7)$$

Dabei ist

- $k_1$  Turbulenz-Faktor. Der Wert  $k_1$  kann in dem Nationalen Anhang angegeben werden. Der empfohlene Wert ist  $k_1 = 1,0$ .
- $c_0$  Topographiebeiwert nach 4.3.3
- z<sub>0</sub> Rauhigkeitslänge nach Tabelle 4.1

EN 1991-1-4:2005 + A1:2010 + AC:2010 (D)

# 4.5 Böengeschwindigkeitsdruck (Spitzengeschwindigkeitsdruck)

(1) Der Böengeschwindigkeitsdruck  $q_p(z)$  in der Höhe z, der die mittleren und kurzzeitigen Geschwindigkeitsänderungen beinhaltet, ist zu berücksichtigen.

ANMERKUNG 1 Der Nationale Anhang kann Regeln zur Bestimmung von  $q_p(z)$  angeben. Die empfohlene Regel ist

$$q_{p}(z) = [1 + 7 \cdot I_{v}(z)] \cdot \frac{1}{2} \cdot \rho \cdot v_{m}^{2}(z) = c_{e}(z) \cdot q_{b}$$
(4.8)

Dabei ist

 $\rho$  Dichte der Luft, die von der Meereshöhe, der Temperatur und dem barometrischen Druck abhängt. Der Wert ist regional für ein Sturmereignis zu bestimmen.

 $c_{\rm e}(z)$  Geländefaktor, nach Gleichung (4.9)

$$c_{\rm e}(z) = \frac{q_{\rm p}(z)}{q_{\rm h}} \tag{4.9}$$

Dabei ist

*q*<sub>b</sub> Basisgeschwindigkeitsdruck nach Gleichung (4.10)

$$q_{\rm b} = \frac{1}{2} \cdot \rho \cdot v_{\rm b}^2 \tag{4.10}$$

ANMERKUNG 2 Die national zu verwendenden Werte für  $\rho$  können im Nationalen Anhang angegeben werden. Der empfohlene Wert ist 1,25 kg/m³.

ANMERKUNG 3 Der Wert 7 in Gleichung (4.8) entspricht einem Spitzenbeiwert  $k_{\rm p}$  von 3,5 und passt zu den Druck- und Kraftbeiwerten in Abschnitt 7. Für flaches Gelände mit  $c_{\rm O}(z)$  = 1,0 (siehe 4.3.3), ist der Geländefaktor  $c_{\rm e}(z)$  in Bild 4.2 als eine Funktion der Höhe (über Gelände) und der Geländekategorie (wie in Tabelle 4.1 definiert) dargestellt.

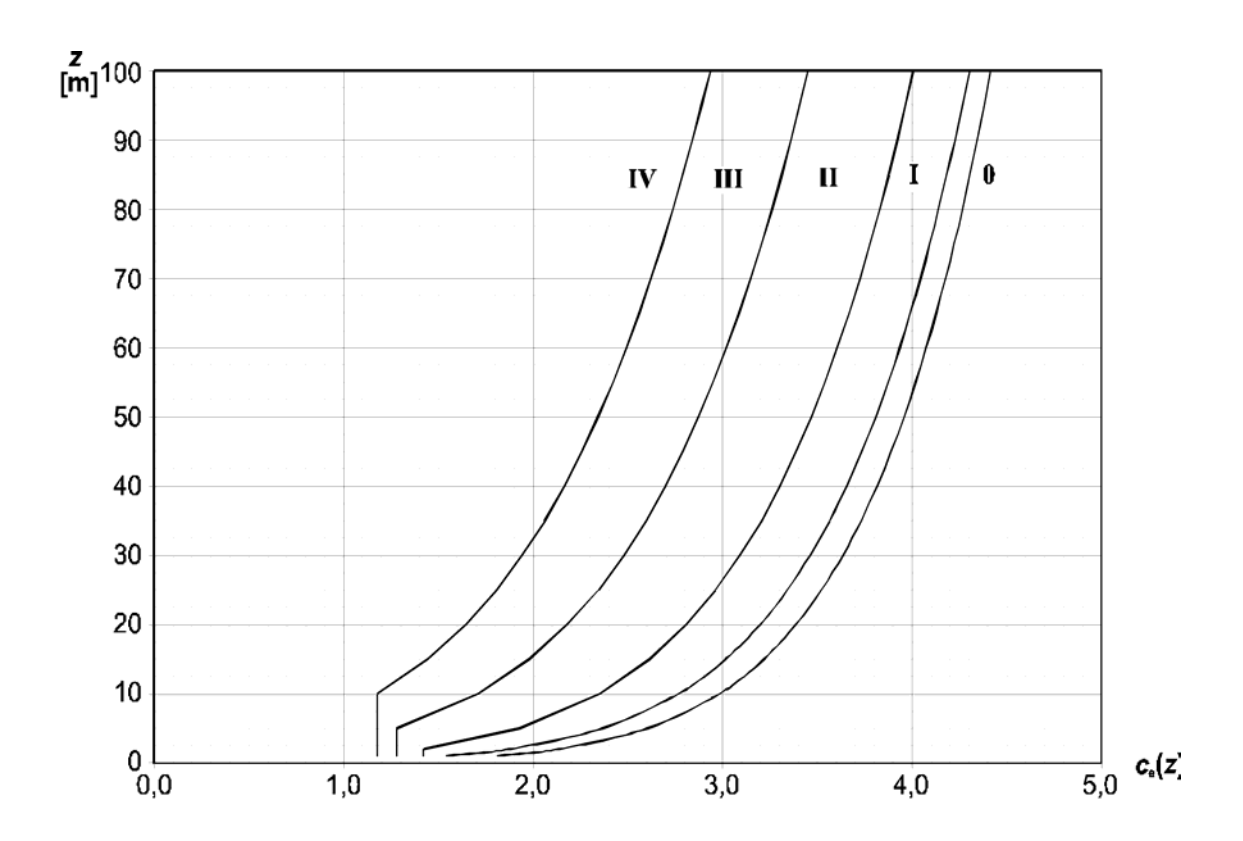


Bild 4.2 — Darstellung des Geländefaktor  $c_{\rm e}(z)$  für  $c_{\rm O}$ =1,0,  $k_{\rm i}$ =1,0

EN 1991-1-4:2005 + A1:2010 + AC:2010 (D)

# 5 Windeinwirkungen

# 5.1 Allgemeines

(1)P Die Gesamtwindeinwirkungen auf Bauwerke und Bauteile sind unter Berücksichtigung der äußeren und inneren Winddrücke zu bestimmen.

ANMERKUNG Einen Überblick über die Berechnungsverfahren zur Bestimmung der Windeinwirkungen gibt Tabelle 5.1.

Tabelle 5.1 —Berechnungsverfahren zur Bestimmung der Windeinwirkungen

Parameter	Verweis
Böengeschwindigkeitsdruck $q_{ m p}$	
Basiswindgeschwindigkeit $v_{b}$	4.2 (2)P
Bezugshöhe z <sub>e</sub>	Abschnitt 7
Geländekategorie	Tabelle 4.1
charakteristischer Böengeschwindigkeitsdruck $q_{p}$	4.5 (1)
Turbulenzintensität I <sub>v</sub>	4.4
mittlere Windgeschwindigkeit $v_{ m m}$	4.3.1
Topographiebeiwert $c_0(z)$	4.3.3
Rauhigkeitsbeiwert $c_{\it r}(z)$	4.3.2
Winddruck z.B. für Verkleidungen, Befestigungen und Bauteile	
aerodynamischer Beiwert für den Außendruck $c_{\mbox{\footnotesize{pe}}}$	Abschnitt 7
aerodynamischer Beiwert für den Innendruck $c_{pi}$	Abschnitt 7
aerodynamischer Beiwert für die Nettodruckbelastung	Abschnitt 7
Außenwinddruck: $w_e = q_p c_{pe}$	5.2 (1)
Innenwinddruck: $w_i = q_p c_{pi}$	5.2 (2)
Windkraft auf Bauwerke, z. B. für Gesamtschnittgrößen im Tragwerk	
Strukturbeiwert: $c_{S}c_{d}$	6
Windkraft $F_{\mathbf{W}}$ berechnet aus Kraftbeiwerten	5.3 (2)
Windkraft $F_{\mathbf{W}}$ berechnet aus Druckbeiwerten	5.3 (3)

## 5.2 Winddruck auf Oberflächen

(1) Der auf die Außenflächen einwirkende Winddruck  $w_e$  ist nach (5.1)

$$W_{\rm e} = q_{\rm p}(z_{\rm e}) \cdot c_{\rm pe} \tag{5.1}$$

Dabei ist

 $q_p(z_e)$  Böengeschwindigkeitsdruck;

z<sub>e</sub> Bezugshöhe für den Außendruck nach Abschnitt 7;

 $c_{pe}$  aerodynamische Beiwert für den Außendruck nach Abschnitt 7.

ANMERKUNG  $q_p(z)$  ist in 4.5 definiert.

(2) Der Winddruck  $w_b$  der auf eine Oberflächen im Inneren eines Bauwerks wirkt , ist nach (5.2):

$$w_{i} = q_{p}(z_{i}) \cdot c_{pi} \tag{5.2}$$

Dabei ist

 $q_p(z_i)$  Spitzengeschwindigkeitsdruck;

z<sub>i</sub> Bezugshöhe für den Innendruck nach Abschnitt 7;

c<sub>pi</sub> aerodynamischer Beiwert für den Innendruck nach Abschnitt 7.

ANMERKUNG  $q_p(z)$  ist in 4.5 definiert.

(3) Die Nettodruckbelastung infolge Winddruck auf eine Wand, ein Dach oder ein Bauteil ist die Resultierende von Außen- und Innendruck. Druck auf eine Oberfläche wird positiv angenommen, Druck von der Oberfläche weg als negativ. Beispiele für die Überlagerung sind in Bild 5.1 angegeben.

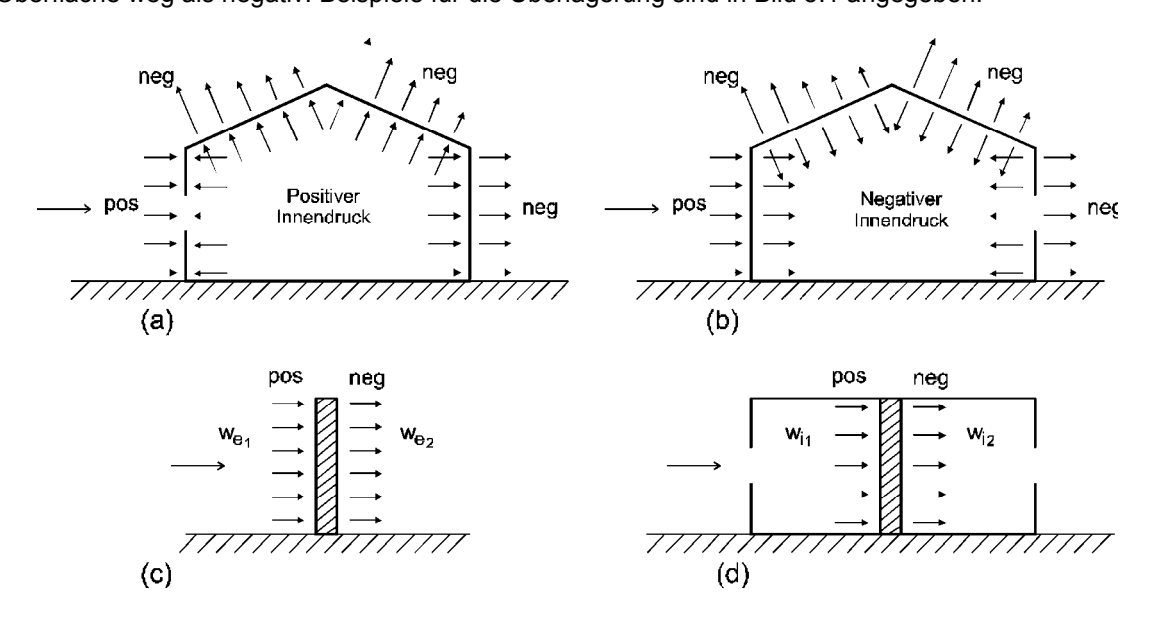


Bild 5.1— Druck auf Oberflächen

EN 1991-1-4:2005 + A1:2010 + AC:2010 (D)

## 5.3 Windkräfte

- (1) Die Gesamtwindkraft, die auf einen Baukörper oder Körperteil einwirkt, wird wie folgt berechnet:
- aus Kräften ermittelt mit Kraftbeiwerten (siehe (2))
- aus Kräften ermittelt mit Winddrücken und Reibungsbeiwerten (siehe (3))
- (2) Die Windkraft  $F_w$ , die mit Kraftbeiwerten berechnet wird, kann durch

$$F_{\rm w} = c_{\rm s} c_{\rm d} \cdot c_{\rm f} \cdot q_{\rm p}(z_{\rm e}) \cdot A_{\rm ref} \tag{5.3}$$

oder durch vektorielle Addition der auf die Körperabschnitte wirkenden Windkräfte (wie in 7.2.2 angegeben)

$$F_{\text{w,j}} = c_{\text{s}} c_{\text{d}} \cdot \sum_{\text{Abschnitte}} c_f \cdot q_{\text{p}}(z_{\text{e}}) \cdot A_{\text{ref}}$$
(5.4)

bestimmt werden.

Dabei ist

c<sub>s</sub>c<sub>d</sub> Strukturbeiwert nach Abschnitt 6

cf Kraftbeiwert für einen Baukörper oder Baukörperabschnitt, nach Abschnitt 7 oder Abschnitt 8

 $q_p(z_e)$  Böengeschwindigkeitsdruck (nach 4.5) in der Bezugshöhe  $z_e$  (nach Abschnitt 7 oder Abschnitt 8)

 $A_{\text{ref}}$  Bezugsfläche für einen Baukörper oder Baukörperabschnitt, nach Abschnitt 7 oder Abschnitt 8

ANMERKUNG In Abschnitt 7 sind  $c_f$ -Werte für Baukörper und Bauabschnitte wie Prismen, Zylinder, Dächer, Anzeigentafeln, Flaggen und Fachwerke angegeben. Abschnitt 8 liefert  $c_f$ -Werte für Brücken. Die Werte  $c_f$  beinhalten bereits den Einfluss von Reibungseffekten.

(3) Wird die Windkraft  $F_{\rm w}$  mit Winddrücken und Reibungsbeiwerten ermittelt, kann sie durch vektorielle Addition der Kräfte  $F_{\rm w,e}$ ,  $F_{\rm w,i}$  und  $F_{\rm fr}$  bestimmt werden. Die Kräfte  $F_{\rm w,e}$  und  $F_{\rm w,i}$  werden aus den äußeren und inneren Drücken mit den Gleichungen (5.5) und (5.6) berechnet. Die Reibungskräfte infolge Windeinwirkung parallel zu den Außenflächen werden nach Gleichungen (5.7) berechnet.

Die Kraft  $F_{w,e}$  aus dem Außenwinddruck ist

$$F_{\rm w,e} = c_{\rm s}c_{\rm d} \cdot \sum_{Oberflächen} w_{\rm e} \cdot A_{\rm ref}$$
(5.5)

Die Kraft F<sub>w,i</sub> aus dem Innenwinddruck ist

$$F_{\text{w,i}} = \sum_{Oberflächen} w_{\text{i}} \cdot A_{\text{ref}} \tag{5.6}$$

Die Reibungskraft Ffr lautet

$$F_{\text{fr,i}} = c_{\text{fr,i}} \cdot q_{\text{n}}(z_{\text{e}})_{\text{i}} \cdot A_{\text{fr,i}} \tag{5.7}$$

Dabei ist

 $c_s c_d$  Strukturbeiwert nach Abschnitt 6;

28

- $w_e$  Außenwinddruck auf einen Körperabschnitt in der Höhe  $z_e$ , nach (5.1);
- $w_i$  Innenwinddruck auf einen Körperabschnitt in der Höhe  $z_i$ , nach (5.2);
- A<sub>ref</sub> Bezugsfläche des Körperabschnitt;
- $c_{\rm fr}$  Reibungsbeiwert nach 7.5;
- $A_{\rm fr}$  Außenfläche die parallel vom Wind angeströmt wird, nach 7.5.

ANMERKUNG 1 Die Windkraft auf ein Bauteil (z. B. Wände oder Dächer) wird aus der Differenz der Außenwindkraft und Innenwindkraft berechnet.

ANMERKUNG 2 Reibungskräfte  $F_{fr}$  wirken in Richtung der Windkräfte parallel zu den Außenflächen.

- (4) Der Reibungseffekt auf der Bauteiloberfläche kann vernachlässigt werden, wenn die Gesamtfläche aller windparallelen Oberflächen (und Flächen mit geringer Winkelabweichung zur Parallelen) gleich oder geringer ist als das 4-fache aller Flächen, die senkrecht zum Wind orientiert sind (luv- und leeseitig).
- (5) Bei der Addition der Windkräfte, die auf Bauwerke einwirken, darf die Wirkung der Korrelation zwischen dem luvseitigen und leeseitigen Winddruck berücksichtigt werden.

ANMERKUNG Der Nationale Anhang kann festlegen, ob die Wirkung der Korrelation generell oder nur eingeschränkt angesetzt werden darf (z. B. wie in 7.2.2 (3)). Es wird empfohlen, die Wirkung der Korrelation nur bei Wänden zu berücksichtigen (siehe 7.2.2 (3)).

### 6 Strukturbeiwert $c_{\rm s}c_{\rm d}$

### 6.1 Allgemeines

(1) Der Strukturbeiwert  $c_s c_d$  berücksichtigt, dass Spitzenwinddrücke nicht gleichzeitig auf der gesamten Oberfläche auftreten können (Anteil  $c_s$ ), sowie die dynamische Überhöhung durch resonanzartige Bauwerksschwingungen infolge Windturbulenz (Anteil  $c_d$ ).

ANMERKUNG Der Strukturbeiwert darf unter Berücksichtigung von 6.3 in einen Größenfaktor  $c_s$  und in einen dynamischen Faktor  $c_d$  aufgeteilt werden. Der Nationale Anhang kann angeben, ob eine Trennung von  $c_s c_d$  vorgenommen werden darf oder nicht.

# 6.2 Ermittlung von $c_s c_d$

- (1)  $c_s c_d$  darf wie folgt bestimmt werden:
- a) Bei Gebäuden mit einer Höhe h < 15 m gilt  $c_s c_d = 1$
- b) Bei Fassaden und Dachelementen mit einer Eigenfrequenz f > 5 Hz gilt  $c_s c_d = 1$
- c) Bei Gebäuden in Skelettbauweise mit aussteifenden Wänden, die niedriger als 100 m sind und deren Höhe kleiner als das vierfache der Gebäudetiefe ist, gilt  $c_s c_d = 1$ .
- d) Bei Schornsteinen mit kreisförmigem Querschnitt und einer Höhe h < 60 m oder h < 6.5 d mit
  - d Durchmesser,

gilt  $c_s c_d = 1$ .

e) In den Fällen a), b), c) und d) dürfen die Werte für  $c_s c_d$  auch anhand des 6.3.1 bestimmt werden.

## EN 1991-1-4:2005 + A1:2010 + AC:2010 (D)

f) Bei Ingenieurbauten (außer Brücken, die in Abschnitt 8 behandelt werden) Schornsteinen und Bauwerken außerhalb der Anwendungsgrenzen nach c) und d) ist  $c_s c_d$  nach 6.3 zu ermitteln.

ANMERKUNG 1 Die Eigenfrequenzen von Fassaden und Dachelementen können mit Anhang F berechnet werden (Glasflächen mit einer Spannweite von weniger als 3 m führen gewöhnlich zu Eigenfrequenzen über 5 Hz).

ANMERKUNG 2 Die Bilder in Anhang D liefern Richtwerte für  $c_{sCd}$  für verschiedene Bauwerke und Bauweisen. Die Werte sind konservativ und wurden mit Modellen unter Berücksichtigung von 6.3.1 berechnet.

#### 6.3 Ausführliches Verfahren

#### 6.3.1 Strukturbeiwert $c_s c_d$

(1) Die genaue Berechnung zur Bestimmung des Strukturbeiwertes  $c_s c_d$  erfolgt nach Gleichung (6.1). Voraussetzung für die Anwendung ist, dass die Bedingungen aus 6.3.1 (2) zutreffen.

$$c_{s}c_{d} = \frac{1 + 2 \cdot k_{p} \cdot I_{v}(z_{s}) \cdot \sqrt{B^{2} + R^{2}}}{1 + 7 \cdot I_{v}(z_{s})}$$
(6.1)

#### Dabei ist

- $z_s$  Bezugshöhe für die Bestimmung des Strukturbeiwertes siehe Bild 6.1. Bei Bauwerken, für die Bild 6.1 nicht zutrifft, darf  $z_s = h$  gesetzt werden, wobei h die Bauwerkshöhe ist;
- k<sub>p</sub> Spitzenbeiwert als Verhältnis des Größtwertes des veränderlichen Teils der Bauwerksantwort zu ihrer Standardabweichung;
- *I*<sub>v</sub> Turbulenzintensität nach 4.4;
- Böengrundanteil als quasi statischer Anteil der Böenreaktion, der die Reduktion des effektiven Oberflächendrucks durch die abnehmende Korrelation bei großen Lasteinzugsflächen erfasst;
- $\mathbb{R}^2$  Resonanz-Anteil der Böenreaktion zur Berechnung der resonanzartigen Vergrößerung der Bauwerksreaktion infolge Turbulenz.

ANMERKUNG 1 Der Größenbeiwert  $c_s$  berücksichtigt die reduzierte Windeinwirkung infolge des nicht-gleichzeitigen Auftretens der Spitzenwinddrücke auf der gesamten Oberfläche und kann wie folgt berechnet werden:

$$c_{\rm s} = \frac{1 + 7 \cdot I_{\rm v}(z_{\rm e}) \cdot \sqrt{B^2}}{1 + 7 \cdot I_{\rm v}(z_{\rm e})}$$
(6.2)

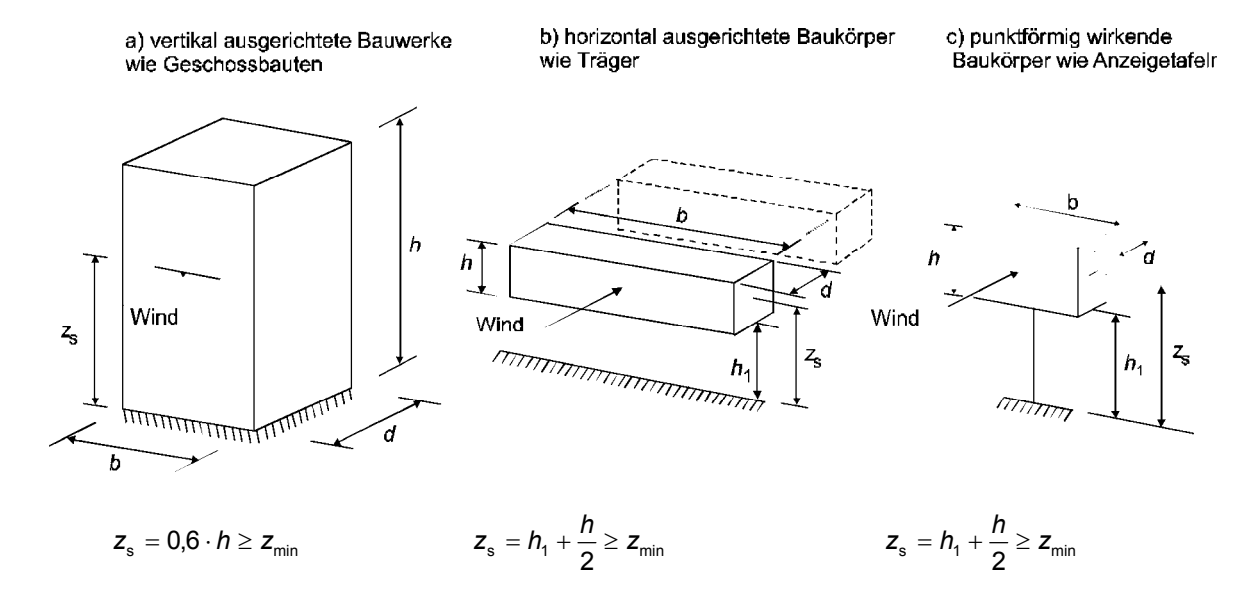
ANMERKUNG 2 Der dynamische Beiwert  $c_d$  berücksichtigt die dynamische, resonanzartige Vergrößerung der Bauwerksreaktion infolge Windturbulenz und kann wie folgt berechnet werden:

$$c_{\rm d} = \frac{1 + 2 \cdot k_{\rm p} \cdot I_{\rm v}(z_{\rm e}) \cdot \sqrt{B^2 + R^2}}{1 + 7 \cdot I_{\rm v}(z_{\rm e}) \cdot \sqrt{B^2}}$$
(6.3)

ANMERKUNG 3 Das Verfahren zur Bestimmung von  $k_p$ , B und R kann im Nationalen Anhang angegeben sein. Ein empfohlenes Verfahren ist in Anhang B angegeben. Ein alternatives Verfahren liefert Anhang C. Die Bestimmung von  $c_sc_d$  unter Verwendung von Anhang C liefert, verglichen mit Anhang B, Werte, die maximal um etwa 5 % größer sind.

- (2)P Das genaue Verfahren nach (6.1) gilt unter folgenden Bedingungen:
- der Baukörper entspricht einer der Formen in Bild 6.1,
- die Grundbiegeschwingungsform in Windrichtung ist maßgebend und diese Schwingungsform führt zu Verschiebungen in nur einer Richtung (keine Änderung des Vorzeichens).

ANMERKUNG Der Beitrag höherer Schwingungsmoden in Windrichtung ist vernachlässigbar.



ANMERKUNG Zu Anwendungsgrenzen siehe auch 1.1 (2).

Bild 6.1 —Bedingungen für Bauwerksformen mit Abmessungen und Bezugshöhen zs

#### 6.3.2 Gebrauchstauglichkeitsnachweise

(1) Für Gebrauchstauglichkeitsnachweise kann die maximale Auslenkung und die Standardabweichung der charakteristischen Beschleunigung in der Höhe z des Bauwerks verwendet werden. Zur Bestimmung der Auslenkung in Windrichtung wird die äguivalente statische Windkraft nach |AC| 5.3  $\langle AC|$  verwendet.

ANMERKUNG Der Nationale Anhang kann ein Verfahren zur Bestimmung der Auslenkung und der Standardabweichung der Beschleunigung in Windrichtung angeben. Das Verfahren in Anhang B wird empfohlen. Alternativ kann auch das Verfahren in Anhang C verwendet werden.

## 6.3.3 Interferenzfaktor für hohe Bauwerke

- (1) Bei schlanken Bauwerken (h/d > 4) und bei Schornsteinen (h/d > 6,5) in Reihen- oder in Gruppenanordnung ist der Einfluss der erhöhten Turbulenz infolge der Nachlaufturbulenz benachbarter Bauwerke (Interferenz hoher Bauwerke) zu berücksichtigen.
- (2) Die Wirkung der Nachlaufturbulenz kann vernachlässigt werden, wenn eine der folgenden Bedingungen erfüllt ist:
- Der Abstand zwischen zwei Bauwerken oder Schornsteinen ist größer als das 25-fache der Abmessung quer zur Anströmrichtung des luvseitig gelegenen Gebäudes oder Schornsteins.
- Die Eigenfrequenz des leeseitig gelegenen Gebäudes ist größer als 1 Hz.

ANMERKUNG Für Fälle außerhalb der Gültigkeit von 6.3.3 (2) werden Sonderuntersuchungen empfohlen.

EN 1991-1-4:2005 + A1:2010 + AC:2010 (D)

# 7 Aerodynamische Beiwerte

# 7.1 Allgemeines

- (1) Dieser Abschnitt dient zur Ermittlung der aerodynamischen Beiwerte für Baukörper. In Abhängigkeit von der Bauwerksform werden die aerodynamischen Beiwerte angegeben als:
- Innen- und Außendruckbeiwerte, siehe 7.1.1 (1)
- Gesamtdruckbeiwerte, siehe 7.1.1 (2)
- Reibungsbeiwerte, siehe 7.1.1 (3)
- Kraftbeiwerte, siehe 7.1.1 (4)

## 7.1.1 Bestimmung der aerodynamischen Beiwerte

- (1) Druckbeiwerte werden angegeben für:
- Baukörper als Innen- und Außendruckbeiwerte in 7.2
- Kreiszylinder als Innendruckbeiwerte in 7.2.9 und Außendruckbeiwerte in 7.9.1.

ANMERKUNG 1 Außendruckbeiwerte beschreiben die Windeinwirkung auf außenliegende Gebäudeflächen, Innendruckbeiwerte beschreiben die Windeinwirkung auf innenliegende Gebäudeflächen.

ANMERKUNG 2 Die Außendruckbeiwerte werden als globale und lokale Druckbeiwerte angegeben. Die lokalen Beiwerte beschreiben die Windeinwirkung auf eine 1 m² große Lasteinflussfläche und können zur Bemessung kleiner Bauteile oder Verankerungen herangezogen werden. Die globalen Druckbeiwerte beschreiben die Windeinwirkung auf Lasteinflussflächen von 10 m². Diese können auch für Lasteinflussflächen genutzt werden, die größer als 10 m² sind.

- (2) Gesamtdruckbeiwerte werden angegeben für:
- freistehende Dächer in 7.3
- freistehende Wände Brüstungen und Zäune in 7.4

ANMERKUNG: Gesamtdruckbeiwerte beschreiben die Windeinwirkung auf ein Bauwerk, einen Bauteil oder einen Abschnitt pro Flächeneinheit.

- (3) Reibungsbeiwerte für Wände und Oberflächen nach 5.3 (3) und 5.3 (4) werden in 7.5 angegeben.
- (4) Kraftbeiwerte werden angegeben für:
- Anzeigetafeln, in 7.4.3
- Bauteile mit rechteckigem Querschnitt, in 7.6
- Bauteile mit scharfkantigem Querschnitt, in 7.7
- Bauteile mit regelmäßigem polygonalem Querschnitt, in 7.8
- Kreiszylinder, in 7.9.2 und 7.9.3
- Kugeln, in 7.10
- Fachwerke und Gerüste, in 7.11

Flaggen, in 7.12

7.13 liefert Abminderungsfaktoren zur Berücksichtigung der Schlankheit des Baukörpers.

ANMERKUNG Kraftbeiwerte beschreiben die Gesamtwindkraft, die auf ein Bauwerk, ein Bauteil oder einen Abschnitt einwirkt, einschließlich der Reibungskraft, wenn diese nicht ausdrücklich ausgeschlossen wird.

## 7.1.2 Exzentrisch und günstig wirkende Drücke und Kräfte

- (1) Verursachen veränderliche Windeinwirkungen signifikante asymmetrische Belastungen und ist das Tragwerk empfindlich für solche Belastungen (z. B: bei Torsion von symmetrischen Gebäuden mit nur einem Aussteifungskern), dann sind diese zu berücksichtigen.
- (2) Für Gebäude, freistehende Dächer und Anzeigetafeln gelten 7.3 und 7.4

ANMERKUNG: Der Nationale Anhang kann Verfahren für andere Tragwerke angeben. Es werden folgende Verfahren empfohlen:

a) Bei torsionsanfälligen, rechteckigen Bauteilen kann zur Ermittlung der Torsionsbelastung infolge schräger Anströmung oder infolge fehlender Korrelation zwischen Windeinwirkungen auf verschiedene Tragwerksteile die Druckverteilung nach Bild 7.1 angenommen werden.

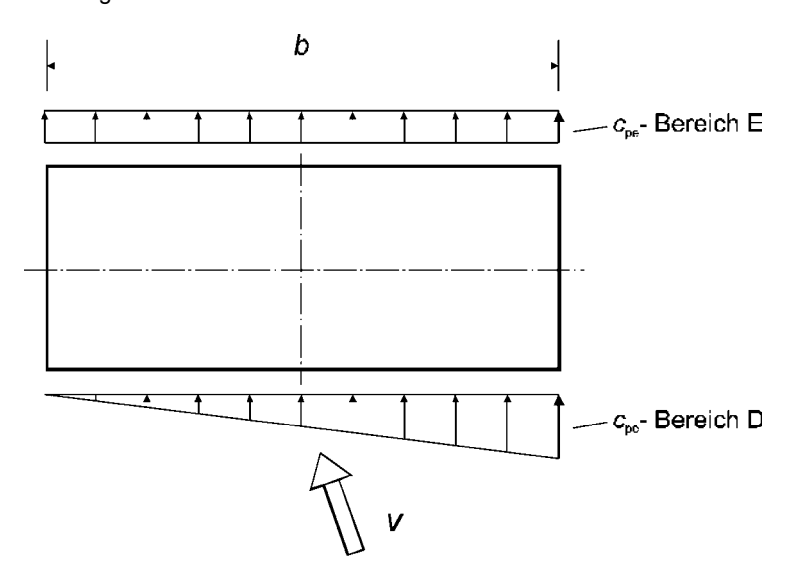


Bild 7.1 — Druckverteilung zur Berücksichtung von Torsionseffekten. Die Druckzonen und Druckbeiwerte sind in Tabelle 7.1 und Bild 7.5 angegeben.

b) Andernfalls ist eine asymmetrische Belastung dadurch zu erzeugen, dass die günstig wirkenden Windlasten auf die Bauteile eines Tragwerks vernachlässigt werden.

## 7.1.3 Auswirkungen von Eis und Schnee

(1) Bewirken Eis oder Schnee eine Änderung der Abmessungen eines Bauteils, so dass sich dessen Bezugsfläche oder Umriss ändert, so ist dies zu berücksichtigen.

ANMERKUNG: Weitere Informationen können dem Nationalen Anhang entnommen werden.

EN 1991-1-4:2005 + A1:2010 + AC:2010 (D)

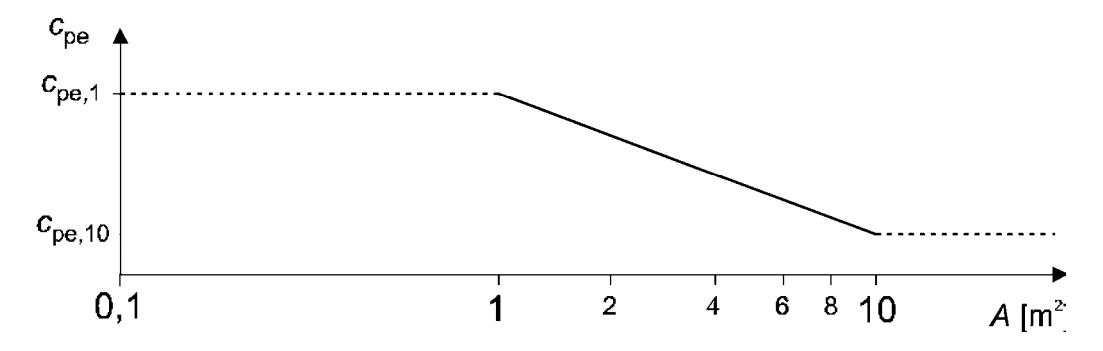
### 7.2 Druckbeiwerte für Gebäude

### 7.2.1 Allgemeines

(1) Die Außendruckbeiwerte  $c_{pe}$  für Bauwerke und Gebäudeabschnitte hängen von der Größe der Lasteinflussfläche A ab. Sie werden in den für die entsprechende Gebäudeform maßgebenden Tabellen für Lasteinflussflächen von 1 m² und von 10 m² als  $c_{pe,1}$  bzw.  $c_{pe,10}$  angegeben.

ANMERKUNG 1  $c_{pe,1}$ -Werte dienen dem Entwurf kleiner Bauteile und deren Verankerungen, mit einer Lasteinflussfläche kleiner oder gleich 1 m², wie z. B. Verkleidungs- und Dachelementen.  $c_{pe,10}$ -Werte werden zur Bemessung des gesamten Tragwerks verwendet.

ANMERKUNG 2 Der Nationale Anhang kann das Verfahren zur Bestimmung der Außendruckbeiwerte für Lasteinflussflächen größer als 1 m² angegeben. Bild 7.2 zeigt das empfohlene Verfahren für Lasteinflussflächen bis 10 m².



Das Bild liefert folgenden Zusammenhang:

für 1 m² < 
$$A$$
 < 10 m²  $c_{pe} = c_{pe,1} - (c_{pe,1} - c_{pe,10}) \log_{10} A$ 

# Bild 7.2 — Außendruckbeiwerte $c_{pe}$ für Gebäude in Abhängigkeit von der Lasteinflussfläche A

- (2) Die Beiwerte  $c_{\text{pe,10}}$  und  $c_{\text{pe,1}}$  in den Tabellen 7.1 bis 7.5 werden für die orthogonalen Anströmrichtungen 0°, 90° und 180° angegeben, geben jedoch den höchsten auftretenden Wert innerhalb des Bereichs  $\Theta$  = ± 45° um die angegebene orthogonale Anströmrichtung wieder.
- (3) Bei Dachüberständen kann für den Unterseitendruck der Wert der anschließenden Wandfläche angenommen werden, auf der Oberseite der Druck der angrenzenden Dachfläche (siehe Bild 7.3).

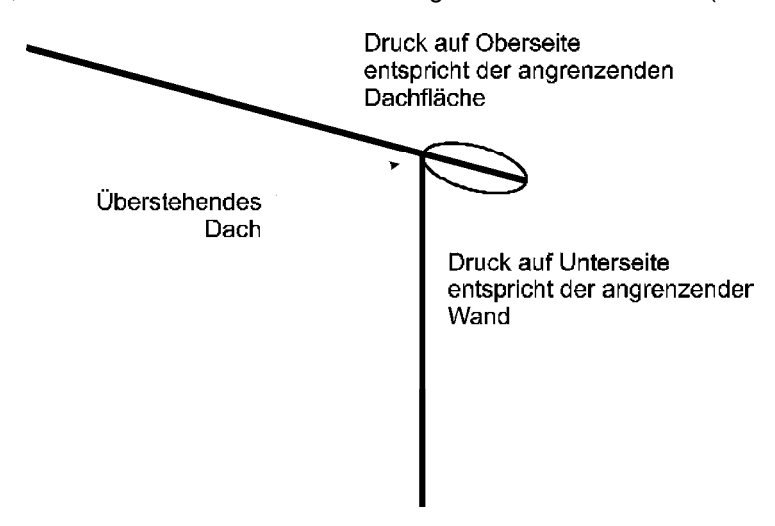


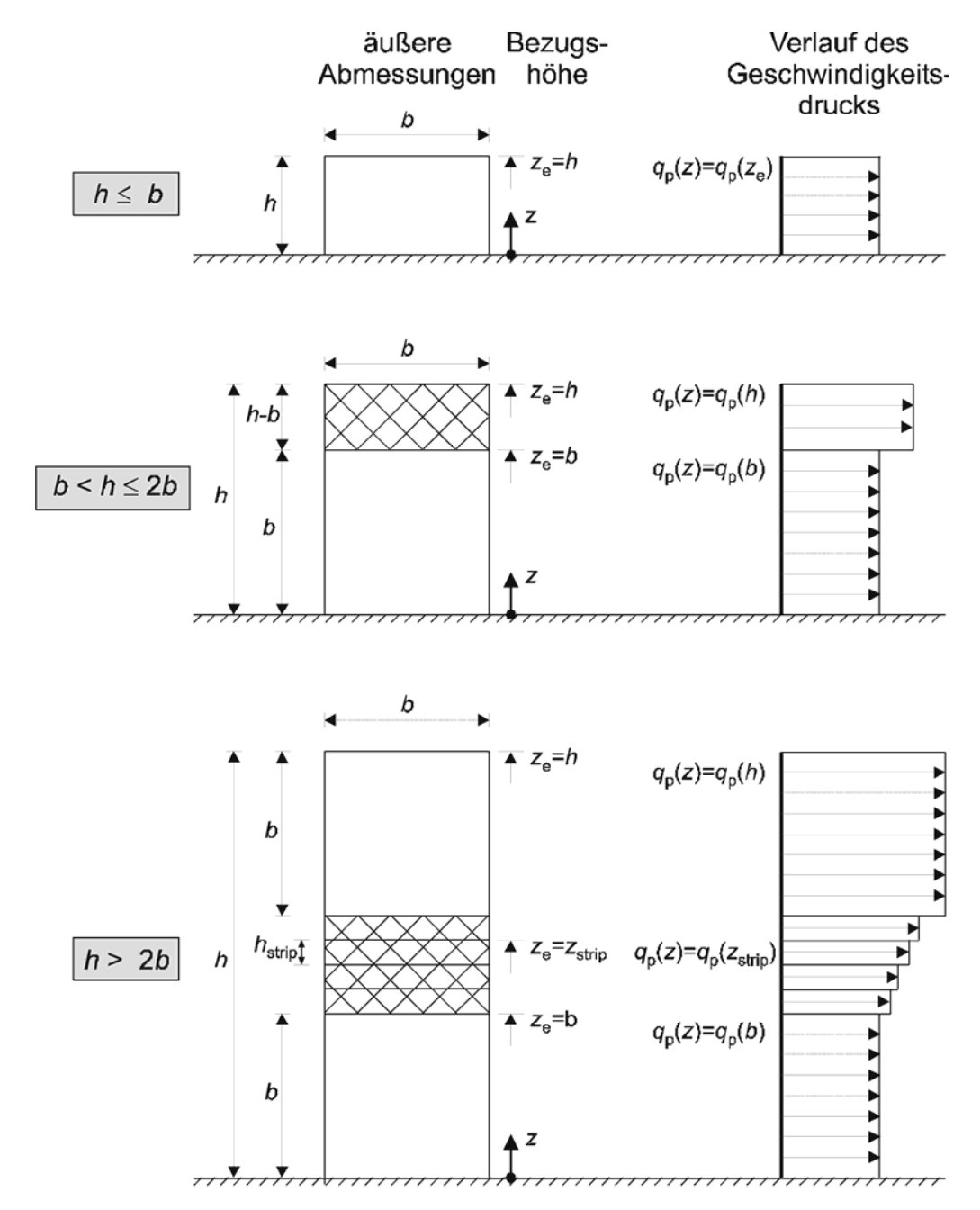
Bild 7.3 — Drücke bei Dachüberständen

## 7.2.2 Vertikale Wände von Gebäuden mit rechteckigem Grundriss

- (1) Für Wände und Baukörper mit rechteckigem Grundriss (Bereich D in Bild 7.5) dürfen die Außendrücke über die Baukörperhöhe gestaffelt nach Bild 7.4 angesetzt werden. Als Bezugshöhe  $z_{\rm e}$  für den Geschwindigkeitsdruck des jeweiligen Streifens, ist die Höhe seiner Oberkante anzusetzen. Die Staffelung erfolgt in Abhängigkeit vom Verhältnis von Baukörperhöhe zu Baukörperbreite h/b in folgender Weise
- Für Baukörper, mit  $h \le b$  wird ein einziger Streifen der Höhe h angenommen.
- Für Baukörper mit  $b < h \le 2 \cdot b$  wird ein unterer Streifen der Höhe b sowie ein oberer Streifen der Höhe (h-b) angenommen.
- Für Baukörper mit h > 2b wird ein unterer Streifen der Höhe b sowie ein oberer Streifen der Höhe b, der sich von (h-b) bis h erstreckt, angenommen. Der Zwischenbereich wird in eine angemessene Anzahl von weiteren Streifen mit den Höhen  $h_{\text{strip}}$  unterteilt, siehe Bild 7.4.

ANMERKUNG Die Regeln zur Verteilung des Geschwindigkeitsdruckes auf leeseitigen und windparallelen Wänden (Bereiche A, B, C und E, siehe Bild 7.5) können im Nationalen Anhang angegeben werden oder dürfen individuell für das Bauvorhaben definiert werden. Es wird empfohlen, die Gebäudehöhe als Bezugshöhe anzunehmen.

# EN 1991-1-4:2005 + A1:2010 + AC:2010 (D)



ANMERKUNG: Der Geschwindigkeitsdruck ist für jeden horizontalen Streifen gleichmäßig verteilt anzunehmen.

# Bild 7.4 — Bezugshöhe $z_{\rm e}$ in Abhängigkeit von h und b und Winddruckverteilung

(2) Die Außendruckbeiwerte  $c_{\rm pe,10}$  und  $c_{\rm pe,1}$  sind für die Bereiche A bis E in Bild 7.5 definiert.

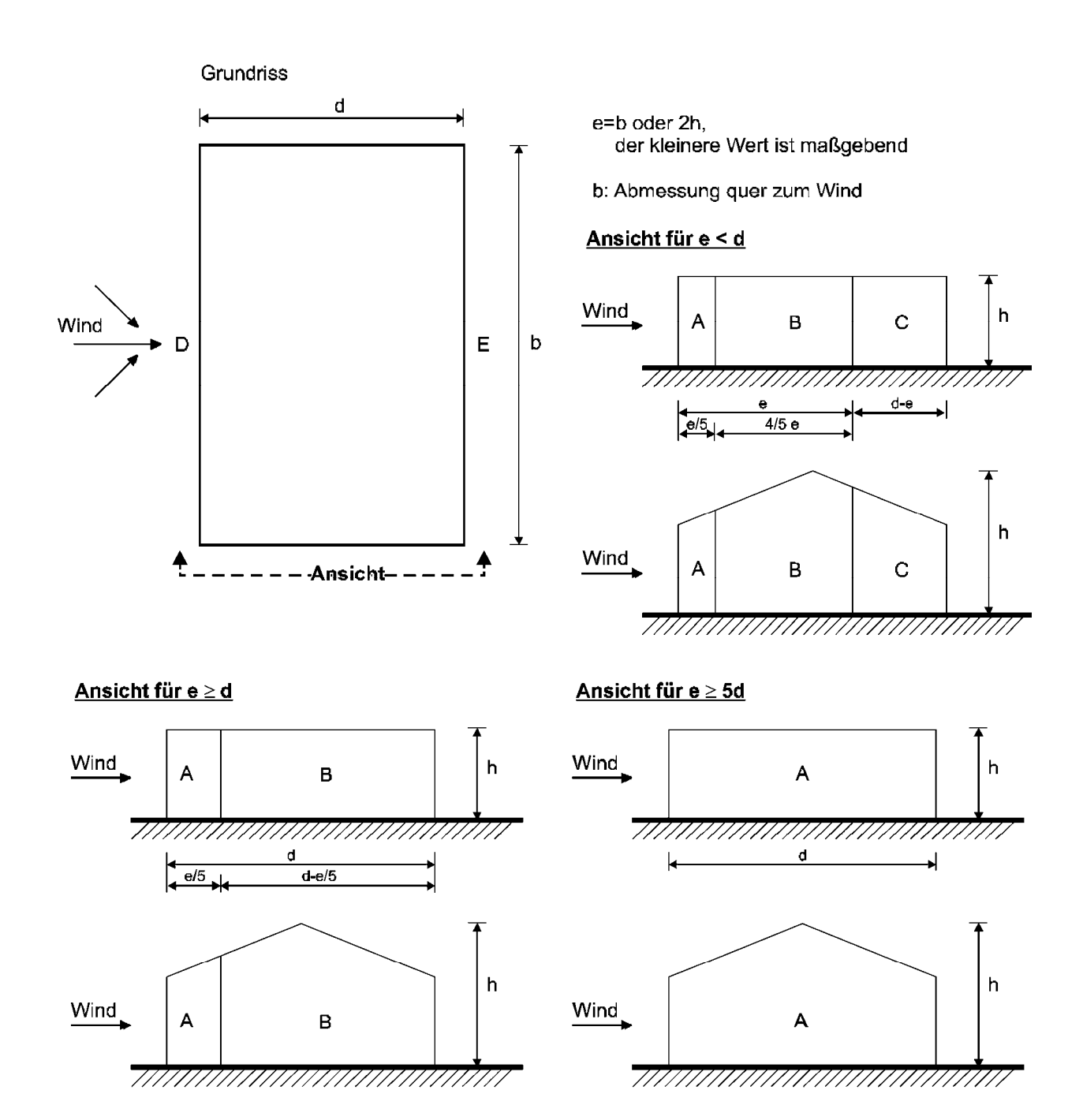


Bild 7.5 — Einteilung der Wandflächen bei vertikalen Wänden

ANMERKUNG 1: Die Werte für  $c_{\text{pe},10}$  und  $c_{\text{pe},1}$  können im Nationalen Anhang angegeben sein. Die empfohlenen Werte sind in Tabelle 7.1 abhängig von hld angegeben. Zwischenwerte dürfen linear interpoliert werden. Die Werte der Tabelle 7.1 gelten auch für Gebäude mit geneigten Dächern wie z. B. Sattel- oder Pultdächern.

EN 1991-1-4:2005 + A1:2010 + AC:2010 (D)

Tabelle 7.1 — Empfohlene Außendruckbeiwerte für vertikale Wände rechteckiger Gebäude

Bereich	Α		В		С		D		E	
hld	$c_{\text{pe,10}}$	$c_{\text{pe,1}}$	C <sub>pe,10</sub>	$c_{pe,1}$	C <sub>pe,10</sub>	$c_{pe,1}$	$c_{\text{pe,10}}$	$c_{\text{pe,1}}$	C <sub>pe,10</sub>	$c_{\mathrm{pe,1}}$
5	-1,2	-1,4	-0,8	-1,1	-0	-0,5		+1,0	-0,7	
1	-1,2	-1,4	-0,8	-1,1	-0	-0,5		+1,0	-0,5	
≤ 0,25	-1,2	-1,4	-0,8	-0,8 -1,1 -0		-0,5		+1,0	-0	),3

ANMERKUNG 2: Für Gebäude mit h/d > 5 wird die Gesamtwindlast anhand der Kraftbeiwerte aus 7.6 bis 7.8 und 7.9.2 ermittelt

(3) Wird die Windlast auf Bauwerke mit gleichzeitigem Ansatz der Druckbeiwerte auf die lee- und luvseitigen Wände (Bereiche D und E) ermittelt, darf die Korrelation des Winddruckes auf die lee- und luvseitigen Wände mit berücksichtigt werden.

ANMERKUNG Die fehlende Korrelation zwischen der Luv- und Leeseite darf wie folgt berücksichtigt werden: Für Gebäude mit  $h/d \ge 5$  ist die resultierende Kraft mit 1 zu multiplizieren. Für Gebäude mit  $h/d \le 1$ , darf die resultierende Kraft mit 0,85 reduziert werden. Für Zwischenwerte von h/d darf linear interpoliert werden.

#### 7.2.3 Flachdächer

- (1) Flachdächer sind Dächer, die weniger als ±5° geneigt sind.
- (2) Das Dach sollte in Bereiche unterteilt werden.

ANMERKUNG Die Bereiche dürfen im Nationalen Anhang definiert werden. Die empfohlenen Bereiche sind in Bild 7.6 angegeben. 🔄

- (3) Die Bezugshöhe  $z_e$  für Flachdächer mit abgerundeten Ecken oder mansardenartigen Abschrägungen ist mit  $z_e = h$  anzusetzen, bei Flachdächern mit Attika gilt nach Bild 7.6  $z_e = h + h_0$ .
- (4) Die Druckbeiwerte sollten für jeden Bereich definiert werden.

ANMERKUNG 1 Die Druckbeiwerte dürfen im Nationalen Anhang festgelegt werden. Die empfohlenen Werte sind in Tabelle 7.2 angegeben.

ANMERKUNG 2 Der Druckbeiwert für die Attika sollte nach 7.4 ermittelt werden. 🔄

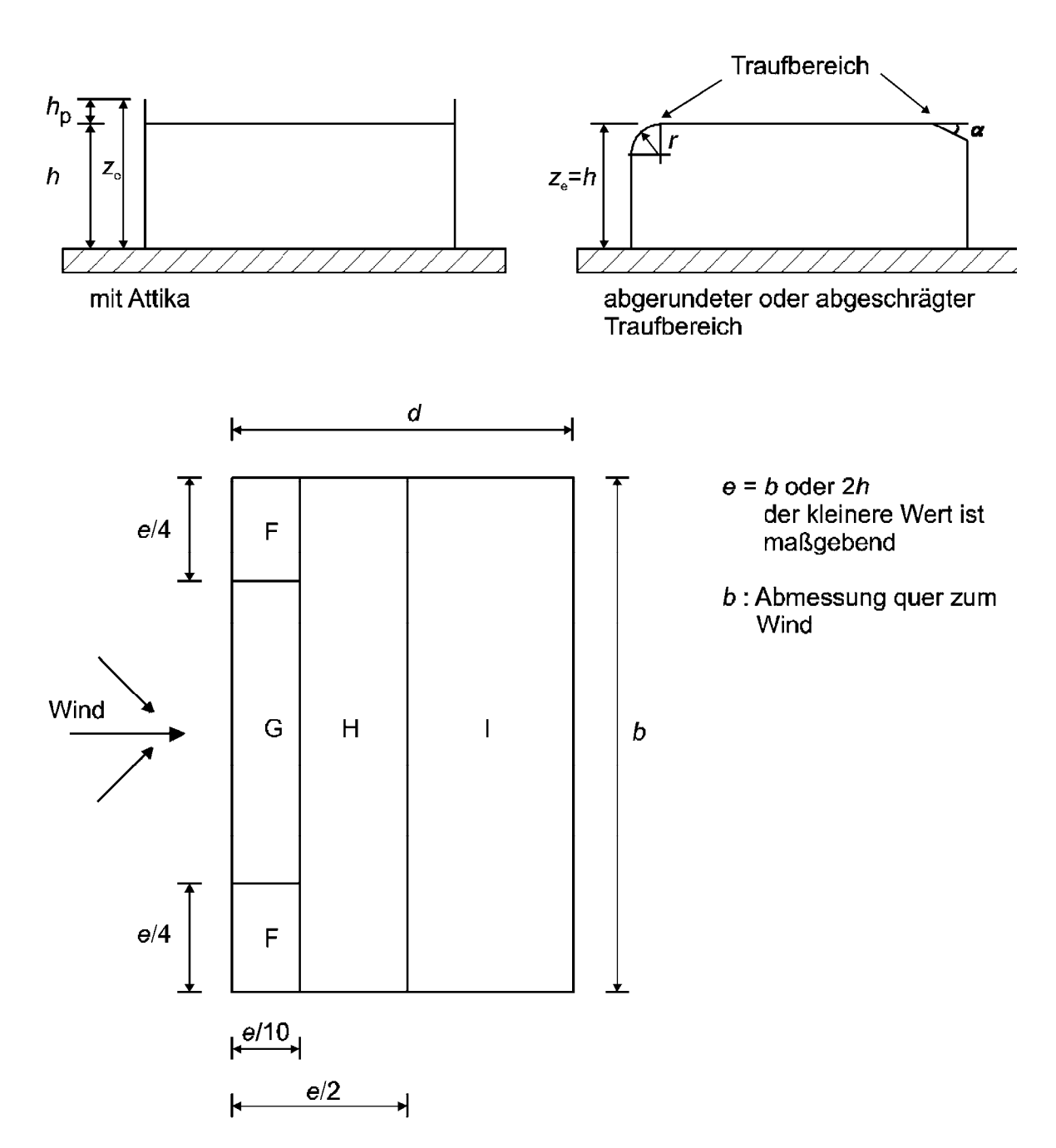


Bild 7.6 — Einteilung der Dachflächen bei Flachdächern

EN 1991-1-4:2005 + A1:2010 + AC:2010 (D)

Tabelle 7.2 — M Empfohlene Werte für Außendruckbeiwerte für Flachdächer (4)

		Bereich									
Dachtyp			F	(	G	Н			1		
	c <sub>pe,10</sub>	c <sub>pe,1</sub>	c <sub>pe,10</sub>	c <sub>pe,1</sub>	C <sub>pe,10</sub>	c <sub>pe,1</sub>	C <sub>pe,10</sub>	c <sub>pe,1</sub>			
scharfkantiger Traufbereich		-1,8	-2,5	-1,2	-2,0	-0,7	-1,2	+	0,2		
Schankantiger Tradibereich		-1,6 -2,5		1,2	2,0	0,1	1,2	-(	0,2		
	h <sub>p</sub> /h=0,025	-1,6	-2,2	-1,1	-1,8	-0,7	-1,2	+	0,2		
		.,0	,_	.,.	.,0	-,-	-,-		0,2		
mit Attika	h <sub>p</sub> /h=0,05	-1,4	-2,0	-0,9	-1,6	-0,7	-1,2		0,2		
									0,2		
	$h_{\rm p}/h$ =0,10	-1,2	-1,8	-0,8	-1,4	-0,7	-1,2	+0,2			
		<u> </u>						_	0,2		
	r/h = 0.05	-1,0	-1,5	-1,2	-1,8	-0,4			0,2 0,2		
								_			
Abgerundeter Traufbereich	r/h = 0,10	-0,7	-1,2	-0,8	-1,4	-	-0,3	+0,2			
		<u> </u>							0,2		
	r/h = 0,20	-0,5	-0,8	-0,5	-0,8	-	-0,3	-0,2			
								_	0,2		
	<i>α</i> = 30°	-1,0	-1,5	-1,0	-1,5	-	-0,3	-0,2			
mansarden- artig	- 450	1.0	4.0	1.0	1.0		2.4	+0,2			
abgeschrägter Traufbereich	<i>α</i> = 45°	-1,2	-1,8	-1,3	-1,9	- -	-0,4		0,2		
Tradiboroioi.	<i>α</i> = 60°	-1,3	-1,9	-1,3	-1,9		-0,5	+	0,2		
	α – 00	-1,0	-1,3	-1,0	-1,3	=	-0,5	-(	),2		

ANMERKUNG 1 Bei Dächern mit Attika oder abgerundetem Traufbereich darf für Zwischenwerte  $h_p/h$  und r/h linear interpoliert werden.

ANMERKUNG 2 Bei Dächern mit mansardendachartigem Traufbereich darf für Zwischenwerte von  $\alpha$  zwischen  $\alpha$  = 30°, 45° und 60° linear interpoliert werden. Für  $\alpha$  > 60° darf zwischen den Werten für  $\alpha$  = 60° und den Werten für Flachdächer mit scharfkantigem Traufbereich linear interpoliert werden.

ANMERKUNG 3 Im Bereich I, für den positive und negative Werte angegeben werden, 🔊 sollten 🔄 beide Werte berücksichtigt werden.

ANMERKUNG 4 Für die Schräge des mansardendachartigen Traufbereichs selbst werden die Außendruckbeiwerte in Tabelle 7.4a "Außendruckbeiwerte für Satteldächer und Trogdächer" Anströmrichtung  $\theta$  = 0°, Bereich F und G, in Abhängigkeit von dem Neigungswinkel des mansardendachartigen Traufbereichs angegeben.

ANMERKUNG 5 Für den abgerundeten Traufbereich selbst werden die Außendruckbeiwerte entlang der Krümmung durch lineare Interpolation entlang der Kurve zwischen den Werten der vertikalen Wand und auf dem Dach ermittelt

ANMERKUNG 6 Bei mansardenartigen abschrägten Traufbereichen mit einem horizontalen Maß weniger als e/10 sollten die Werte für scharfkantige Traufbereiche verwendet werden. Für die Definition von e siehe Bild 7.6.

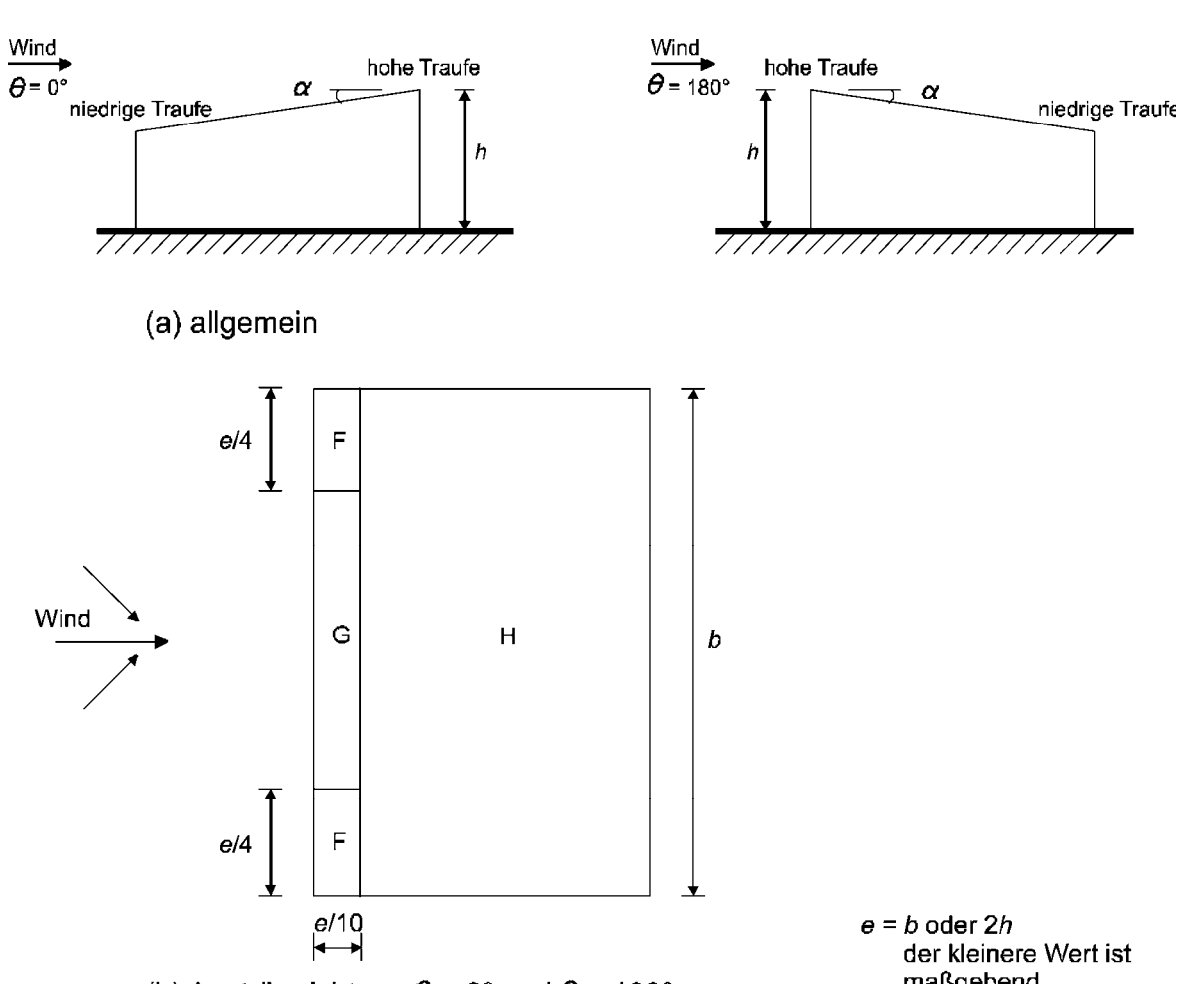
### 7.2.4 Pultdächer

(1) Das Dach einschließlich der überstehenden Teile sollte in Bereiche unterteilt werden.

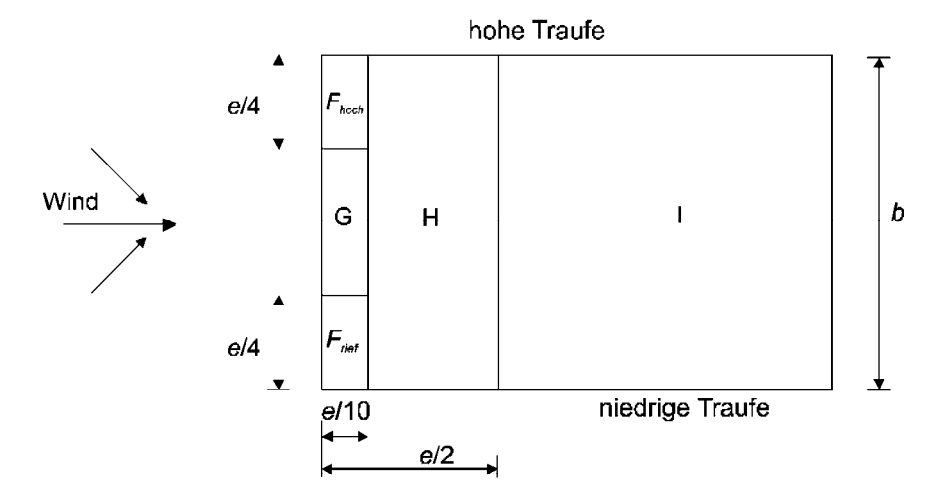
ANMERKUNG Die Bereiche dürfen im Nationalen Anhang definiert werden. Die empfohlenen Bereiche sind in Bild 7.7 angegeben. 🔄

- (2) Die Bezugshöhe  $z_e$  ist mit  $z_e = h$  anzunehmen.
- (3) Die Druckbeiwerte sollten für jeden Bereich definiert werden.

ANMERKUNG Die Druckbeiwerte dürfen im Nationalen Anhang festgelegt werden. Die empfohlenen Werte sind in Tabelle 7.3a und Tabelle 7.3b angegeben.



- (b) Anströmrichtung  $\theta$  = 0° und  $\theta$  = 180°
- maßgebend
- b: Abmessung quer zum Wind



(c) Anströmrichtung  $\theta$  = 90°

Bild 7.7 — Einteilung der Dachflächen bei Pultdächern

Tabelle 7.3a — 🗗 Empfohlene Werte für Außendruckbeiwerte für Pultdächer 🔄

	E	Bereich für die Anströmrichtung ⊛ = 180°										
Neigungs- $\text{winkel }\alpha$	I	F	G		н		F		G		н	
	C <sub>pe,10</sub>	C <sub>pe,1</sub>	C <sub>pe,10</sub>	C <sub>pe,1</sub>	C <sub>pe,10</sub>	$\mathcal{C}_{pe,1}$	C <sub>pe,10</sub>	C <sub>pe,1</sub>	C <sub>pe,10</sub>	C <sub>pe,1</sub>	C <sub>pe,10</sub>	C <sub>pe,1</sub>
5°	-1,7	-2,5	-1,2	-2,0	-0,6	-1,2	-2,3	-2,5	1 2	-2,0	-0,8	1.2
3	+0,0		+0,0		+0,0		-2,3	-2,5	-1,3	-2,0	-0,0	-1,2
15°	-0,9	-2,0	-0,8	-1,5	-0,3		0.5	-2,8	-1,3	0.0	-0,9	-1,2
15	+0,2		+0,2		+ 0,2		-2,5	-2,0	-1,3	-2,0	-0,9	-1,2
30°	-0,5	-1,5	-0,5	-1,5	-0,2		-1,1	0.0	0.0	4.5	0.0	
30	+0,7		+0,7		+0,4		-1,1	-2,3	-0,8	-1,5	-0,8	
45°	-0,0		-0,	-0,0		-0,0		4.0	0.5		0.7	
40	+(	0,7	+0,7		+0,6		-0,6	-1,3	-0,	,5	-0,7	
60°	+(	+0,7 +0,7		+0,7		-0,5	-1,0	-0,5		-0,5		
75°	+(	0,8	+0	,8	+0	,8	-0,5	-1,0	-0,	5	-0	,5

Tabelle 7.3b — 🗗 Empfohlene Werte für Außendruckbeiwerte für Pultdächer 🔄

	Bereich für die Anströmrichtung Θ = 90°												
Neigungs- winkel $\alpha$	F <sub>hoch</sub>		F <sub>tief</sub>		G		н		I				
	C <sub>pe,10</sub>	C <sub>pe,1</sub>	C <sub>pe,10</sub>	C <sub>pe,1</sub>	C <sub>pe,10</sub>	C <sub>pe,1</sub>	C <sub>pe,10</sub>	C <sub>pe,1</sub>	C <sub>pe10</sub>	Cpe,1			
5°	-2,1	-2,6	-2,1	-2,4	-1,8	-2,0	-0,6	-1,2	-0,5				
15°	-2,4	-2,9	-1,6	-2,4	-1,9	-2,5	-0,8	-1,2	-0,7	-1,2			
30°	-2,1	-2,9	-1,3	-2,0	-1,5	-2,0	-1,0	-1,3	-0,8	-1,2			
45°	-1,5	-2,4	-1,3	-2,0	-1,4	-2,0	-1,0	-1,3	-0,9	-1,2			
60°	-1,2	-2,0	-1,2	-2,0	-1,2	-2,0	-1,0	-1,3	-0,7	-1,2			
75°	-1,2	-2,0	-1,2	-2,0	-1,2	-2,0	-1,0	-1,3	-0,5				

ANMERKUNG 1 Für die Anströmrichtung  $\theta$  = 0° (siehe Tabelle 7.3a) und bei Neigungswinkeln von  $\alpha$  = + 5° bis +45° ändert sich der Druck schnell zwischen positiven und negativen Werten; daher werden sowohl der positive als auch der negative Wert angegeben. Bei solchen Dächern sind beide Fälle getrennt zu berücksichtigen: 1. ausschließlich positive Werte und

ANMERKUNG 2 Für Dachneigungen zwischen den angegebenen Werten darf linear interpoliert werden, sofern nicht das Vorzeichen der Druckbeiwerte wechselt. Der Wert Null ist für Interpolationszwecke angegeben.

<sup>2.</sup> ausschließlich negative Werte.

EN 1991-1-4:2005 + A1:2010 + AC:2010 (D)

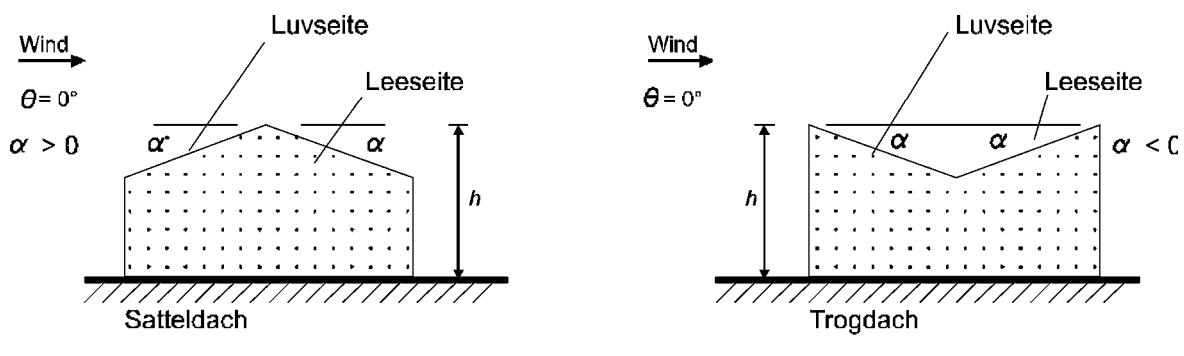
# 7.2.5 Sattel- und Trogdächer

(1) Das Dach einschließlich der überstehenden Teile sollte in Bereiche unterteilt werden.

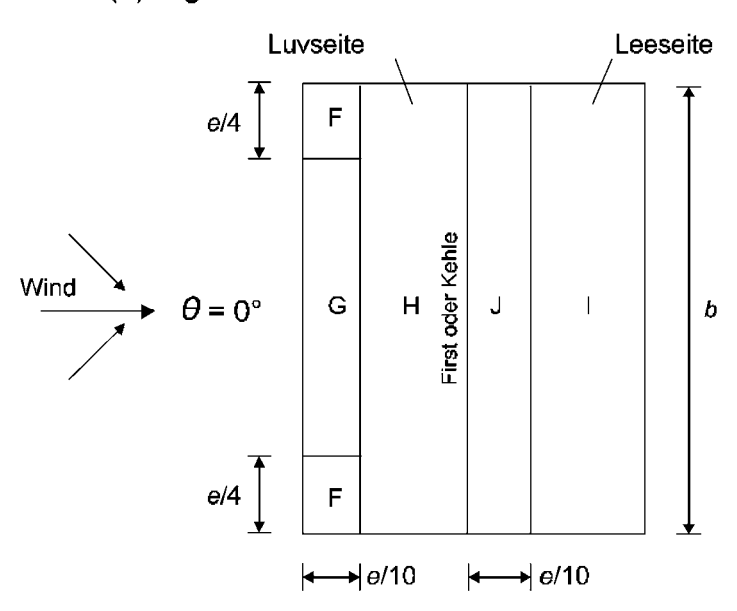
ANMERKUNG Die Bereiche dürfen im Nationalen Anhang definiert werden. Die empfohlenen Bereiche sind in Bild 7.8 angegeben. 🔄

- (2) Die Bezugshöhe  $z_e$  ist mit  $z_e = h$  anzunehmen.
- (3) Die Druckbeiwerte sollten für jeden Bereich definiert werden.

ANMERKUNG Die Druckbeiwerte dürfen im Nationalen Anhang festgelegt werden. Die empfohlenen Werte sind in Tabelle 7.4a und Tabelle 7.4b angegeben



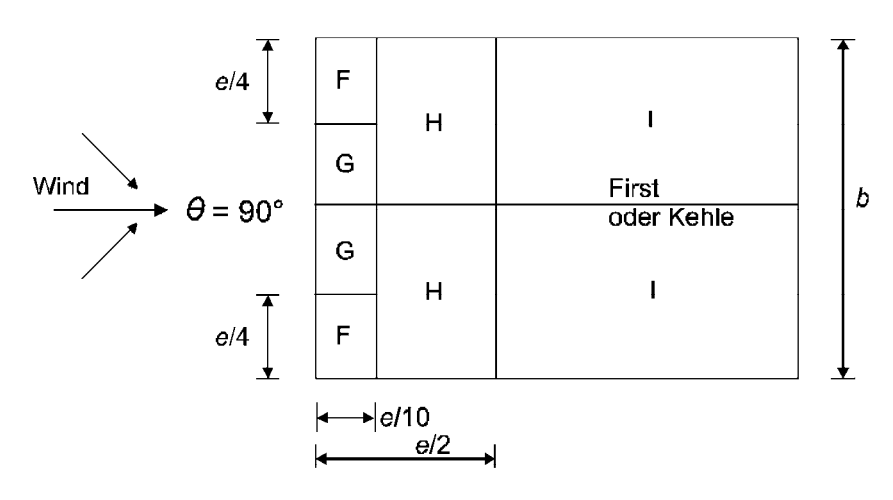
# (a) allgemein



(b) Anströmrichtung  $\theta = 0^{\circ}$ 

e = b oder 2h
 der kleinere Wert ist
 maßgebend

b: Abmessung quer zum Wind



(c) Anströmrichtung $\theta$  = 90°

Bild 7.8 — Einteilung der Dachflächen bei Sattel- und Trogdächern

EN 1991-1-4:2005 + A1:2010 + AC:2010 (D)

Tabelle 7.4a — 🗗 Empfohlene Werte für Außendruckbeiwerte für Sattel- und Trogdächer 🚹

				Berei	ch für die	Anström	richtung (	9 = 0°			
Neigungs- winkel α	F		(	3	H I J		1		J		
	C <sub>pe,10</sub>	C <sub>pe,1</sub>	C <sub>pe,10</sub>	C <sub>pe,1</sub>	C <sub>pe,10</sub>	C <sub>pe,1</sub>	C <sub>pe,10</sub>	$c_{pe,1}$	C <sub>pe,10</sub>	$\mathcal{C}_{pe,1}$	
-45°	-0,	6	-0	),6	-0,	8	-0,	7	-1,0	-1,5	
-30°	-1,1	-2,0	-0,8	-1,5	-0,	8	-0,	6	-0,8	-1,4	
-15°	-2,5	-2,8	-1,3	-2,0	-0,9	-1,2	-0,	5	-0,7	-1,2	
-5°	0.0	-2,5	-1,2	-2,0	-0,8	4.0	+0,	2		+0,2	
-5*	-2,3	-2,5	-1,2	-2,0	-0,8	-1,2	-0,6		-0,6		
5°	-1,7	-2,5	-1,2	-2,0	-0,6	-1,2	-0,6		+0,2		
5	+0,	0	+(	0,0	+0,	0	-0,	0	-0,6		
15°	-0,9	-2,0	-0,8	-1,5	-0,	3	-0,	4	-1,0	-1,5	
13	+0,	2	+(	),2	+0.	2	+0,	0	+0,0	+0,0	
30°	-0,5	-1,5	-0,5	-1,5	-0,	2	-0,	-0,4		-0,5	
30	+0,	7	+(	),7	+0.	4	+0,	0		+0,0	
45°	-0,	0	-0	0,0	-0,0		-0,	2		-0,3	
45	+0,	7	+(	),7	+0.	6	+0,	0		+0,0	
60°	+0,	7	+(	0,7	+0,7		-0,2		-0,3		
75°	+0,	8	+(	0,8	+0.	8	-0,	2		-0,3	

ANMERKUNG 1 Für die Anströmrichtung  $\theta$  = 0° und einen Neigungswinkel von  $\alpha$  = -5° bis +45° ändert sich der Druck schnell zwischen positiven und negativen Werten; daher werden sowohl der positive als auch der negative Wert angegeben. Bei solchen Dächern sind vier Fälle zu berücksichtigen, bei denen jeweils der kleinste bzw. größte Werte für die Bereiche F, G und H mit den kleinsten bzw. größten Werten der Bereiche I und J kombiniert werden. Das Mischen von positiven und negativen Werten auf einer Dachfläche ist nicht zulässig.

ANMERKUNG 2 Für Dachneigungen zwischen den angegebenen Werten darf linear interpoliert werden, sofern nicht das Vorzeichen der Druckbeiwerte wechselt (Zwischen den Werten  $\alpha$  = +5° und  $\alpha$  = -5° darf nicht interpoliert werden, stattdessen sind die Werte für Flachdächer nach 7.2.3 zu benutzen) Der Wert Null ist für Interpolationszwecke angegeben.

Tabelle 7.4b — lacktriangle Empfohlene Werte für Außendruckbeiwerte für Sattel- und Trogdächer lacktriangle

	Bereich für die Anströmrichtung <i>⊛</i> = 90°									
Neigungswinkel $\alpha$	F		G		н			I		
	C <sub>pe,10</sub>	$c_{pe,1}$	C <sub>pe,10</sub>	$c_{pe,1}$	C <sub>pe,10</sub>	$c_{pe,1}$	$c_{pe,10}$	$c_{pe,1}$		
-45°	-1,4	-2,0	-1,2	-2,0	-1,0	-1,3	-0,9	-1,2		
-30°	-1,5	-2,1	-1,2	-2,0	-1,0	-1,3	-0,9	-1,2		
-15°	-1,9	-2,5	-1,2	-2,0	-0,8	-1,2	-0,8	-1,2		
-5°	-1,8	-2,5	-1,2	-2,0	-0,7	-1,2	-0,6	-1,2		
5°	-1,6	-2,2	-1,3	-2,0	-0,7	-1,2	-0	,6		
15°	-1,3	-2,0	-1,3	-2,0	-0,6	-1,2	-0	,5		
30°	-1,1	-1,5	-1,4	-2,0	-0,8	-1,2	-0	,5		
45°	-1,1	-1,5	-1,4	-2,0	-0,9	-1,2	-0,5			
60°	-1,1	-1,5	-1,2	-2,0	-0,8	-1,0	-0,5			
75°	-1,1	-1,5	-1,2	-2,0	-0,8	-1,0	-0,5			

#### 7.2.6 Walmdächer

(1) Das Dach einschließlich der überstehenden Teile sollte in Bereiche unterteilt werden.

ANMERKUNG Die Bereiche dürfen im Nationalen Anhang definiert werden. Die empfohlenen Bereiche sind in Bild 7.9 angegeben. (A)

- (2) Die Bezugshöhe  $z_e$  ist mit  $z_e = h$  anzunehmen.
- (3) Die Druckbeiwerte sollten für jeden Bereich definiert werden.

ANMERKUNG Die Druckbeiwerte dürfen im Nationalen Anhang festgelegt werden. Die empfohlenen Werte sind in Tabelle 7.5 angegeben. 🔄

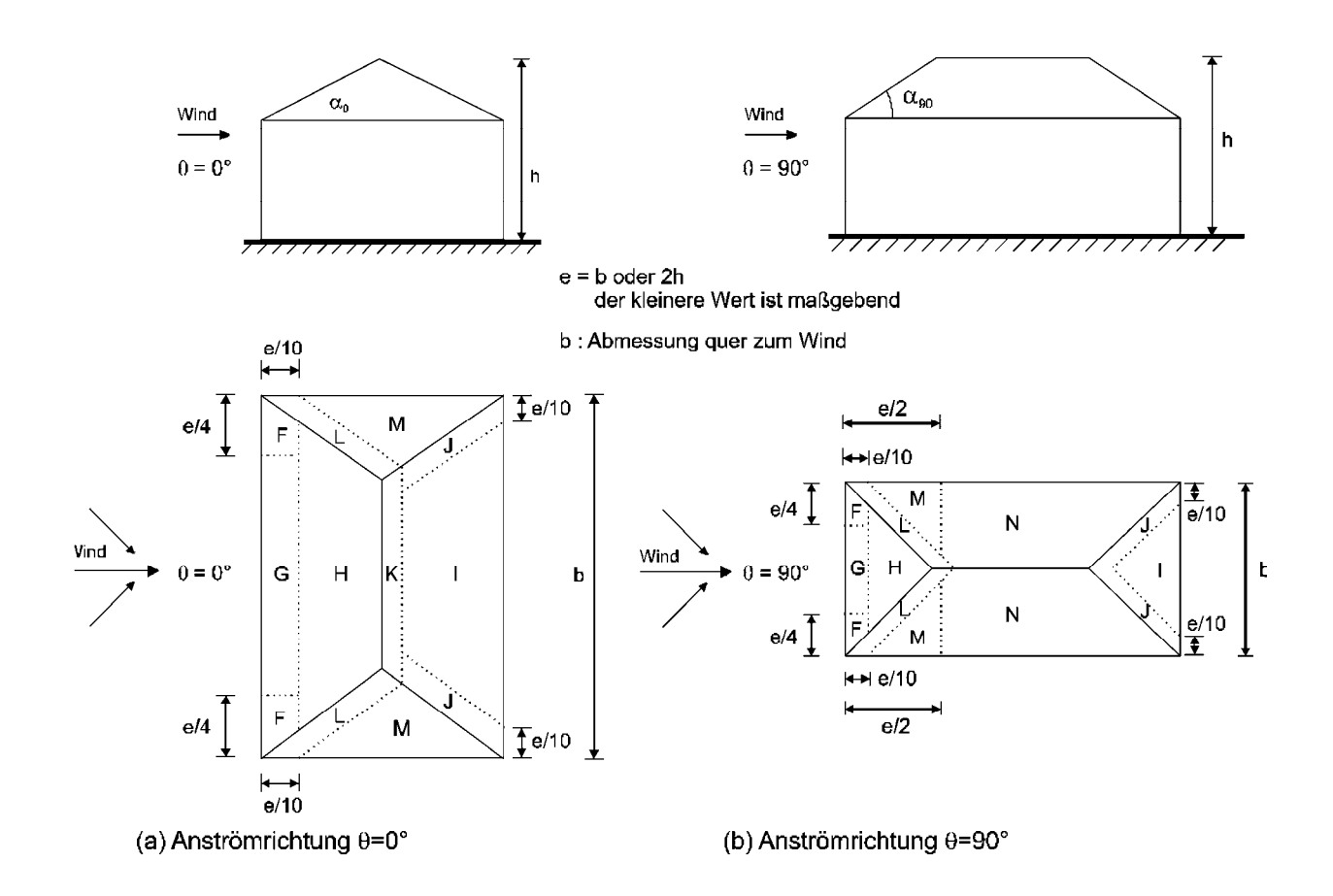


Bild 7.9 — Einteilung der Dachflächen bei Walmdächern

Neigungs-					Par											J. (		
winkel α <sub>0</sub> für	ı	F	(	3	1	eich 1	rur aie	I	romri		g <i>⊕</i> =	(	<u> </u>	-	N	1	ı	N
<i>Θ</i> =0° α <sub>90</sub> für <i>Θ</i> =90°	C <sub>pe,10</sub>	$c_{pe,1}$	C <sub>pe,10</sub>	$c_{pe,1}$	C <sub>pe,10</sub>	$c_{pe,1}$	C <sub>pe,10</sub>	$c_{pe,1}$	C <sub>pe,10</sub>	$c_{pe,1}$	C <sub>pe,10</sub>	$c_{pe,1}$	C <sub>pe,10</sub>	$c_{pe,1}$	C <sub>pe,10</sub>	$c_{pe,1}$	c <sub>pe,10</sub>	C <sub>pe,1</sub>
5°	-1,7 +0	-2,5 ),0	-1,2 +0	-2,0 ),0	-0,6 +0	-1,2 ),0	-0	,3	-0	,6	-0	,6	-1,2	-2,0	-0,6	-1,2	-0	),4
15°	-0,9 +0	-2,0 ),2	-0,8 +0	-1,5 ),2		,3 ),2	-0	,5	-1,0	-1,5	-1,2	-2,0	-1,4	-2,0	-0,6	-1,2	-0	),3
30°	-0,5 +0	-1,5 ),5	-0,5 +0	-1,5 ),7		,2 ),4	-0	,4	-0,7	-1,2	-0	,5	-1,4	-2,0	-0,8	-1,2	-0	),2
45°		),0 ),7		,0 ),7		,0 ),6	-0	,3	-0	,6	-0	,3	-1,3	-2,0	-0,8	-1,2	-0	),2
60°	+(	),7	+0	),7	+0	),7	-0	,3	-0	,6	-0	,3	-1,2	-2,0	-0	,4	-0	),2
75°	+(	0,8	+0	),8	+0	),8	-0	,3	-0	,6	-0	,3	-1,2	-2,0	-0	,4	-0	),2

Tabelle 7.5 — 🗗 Empfohlene Werte für Außendruckbeiwerte für Walmdächer 🔄

ANMERKUNG 1 Für die Anströmrichtung  $\theta$  = 0° und einen Neigungswinkel von  $\alpha$  = + 5° bis +45° ändert sich der Druck auf der Luvseite schnell zwischen positiven und negativen Werten; daher werden sowohl positive als auch negative Werte angegeben. Bei solchen Dächern sind zwei Fälle separat zu berücksichtigen: 1. ausschließlich positive Werte und 2. ausschließlich negative Werte. Das Mischen von positiven und negativen Werten auf einer Dachfläche ist nicht zulässig.

ANMERKUNG 2 Für Werte der Dachneigung zwischen den angegebenen Werten darf linear interpoliert werden, sofern nicht das Vorzeichen der Druckbeiwerte wechselt. Der Wert Null ist für Interpolationszwecke angegeben.

ANMERKUNG 3 Die luvseitige Dachneigung ist maßgebend für die Druckbeiwerte.

### 7.2.7 Sheddächer

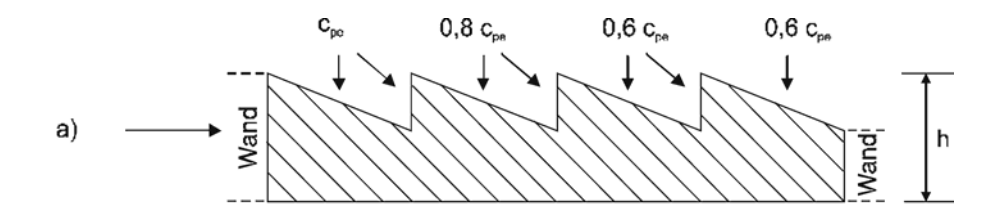
- (1) Für Sheddächer werden die Druckbeiwerte aus den Werten für Pultdächer bzw. für Trogdächer abgeleitet und entsprechend der Lage der Dachflächen nach Bild 7.10 angepasst.
- Für Sheddächer nach Bild 7.10 (a) und (b) werden die Druckbeiwerte für Pultdächer nach 7.2.4 benutzt. Bei einer Anströmrichtung parallel zu den Firsten gelten die Werte der Tabelle 7.3 für Θ = 90° unverändert. Für die Anströmrichtungen Θ = 0° und 180° werden die Werte der Tabelle 7.3 mit den Faktoren von Bild 7.10 (a) bzw. (b) abgemindert.
- Für Sheddächer nach Bild 7.10 (c) und (d) werden die Druckbeiwerte für Trogdächer nach 7.2.5 benutzt. Bei einer Anströmrichtung parallel zu den Firsten gelten die Werte der Tabelle 7.4 für Θ = 90° unverändert. Für die Anströmrichtungen 0° und 180° werden die Werte der Tabelle 7.4 für Θ = 0° mit den Faktoren von Bild 7.10 (c) bzw. (d) abgemindert.
- (2) Dabei sind die Bereiche F, G und J nur für die erste, luvseitige Dachfläche zu benutzen. Für die übrigen Dachflächen sind die Bereiche H und I zu benutzen.
- (3) Die Bezugshöhe  $z_e$  ist mit  $z_e = h$  anzunehmen, siehe Bild 7.10.
- (4) Für Sheddächer ohne resultierende horizontale Kräfte sollte ein Rauigkeitsfaktor von mindestens 0,05 (unabhängig von der Rauigkeit des Bauwerks) für Windlasten normal zu den Flächen des Sheddachs berücksichtigt werden. Demzufolge sind Sheddächer für die folgende resultierende horizontale Kraft zu bemessen:

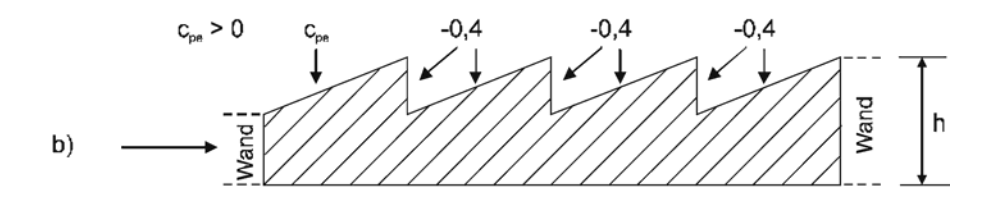
$$\textbf{0,05} \cdot q_{\text{p,ze}} \cdot A_{\text{Shed}}$$

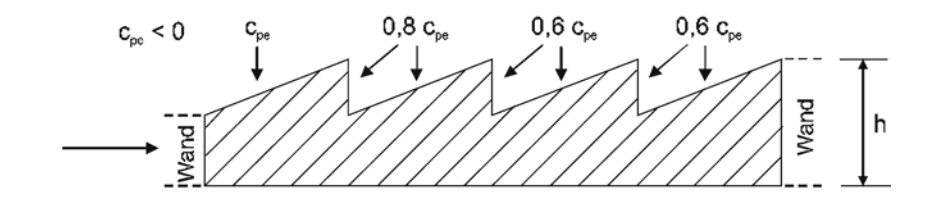
Dabei ist

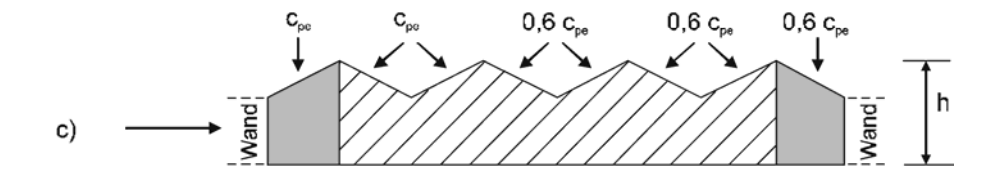
 $A_{\mathsf{Shed}}$  die Grundfläche des Sheddachs". (41)

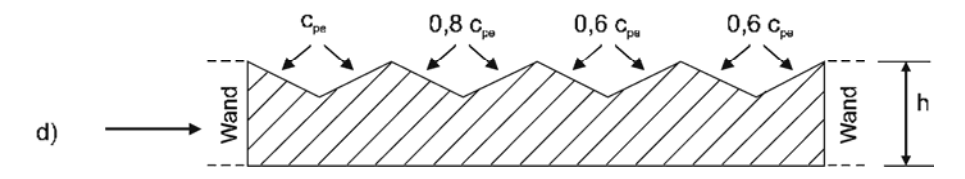
## EN 1991-1-4:2005 + A1:2010 + AC:2010 (D)











ANMERKUNG 1 Für die Konfiguration b müssen, abhängig vom Vorzeichen des Druckbeiwertes  $c_{pe}$  der ersten Dachfläche, zwei Fälle untersucht werden.

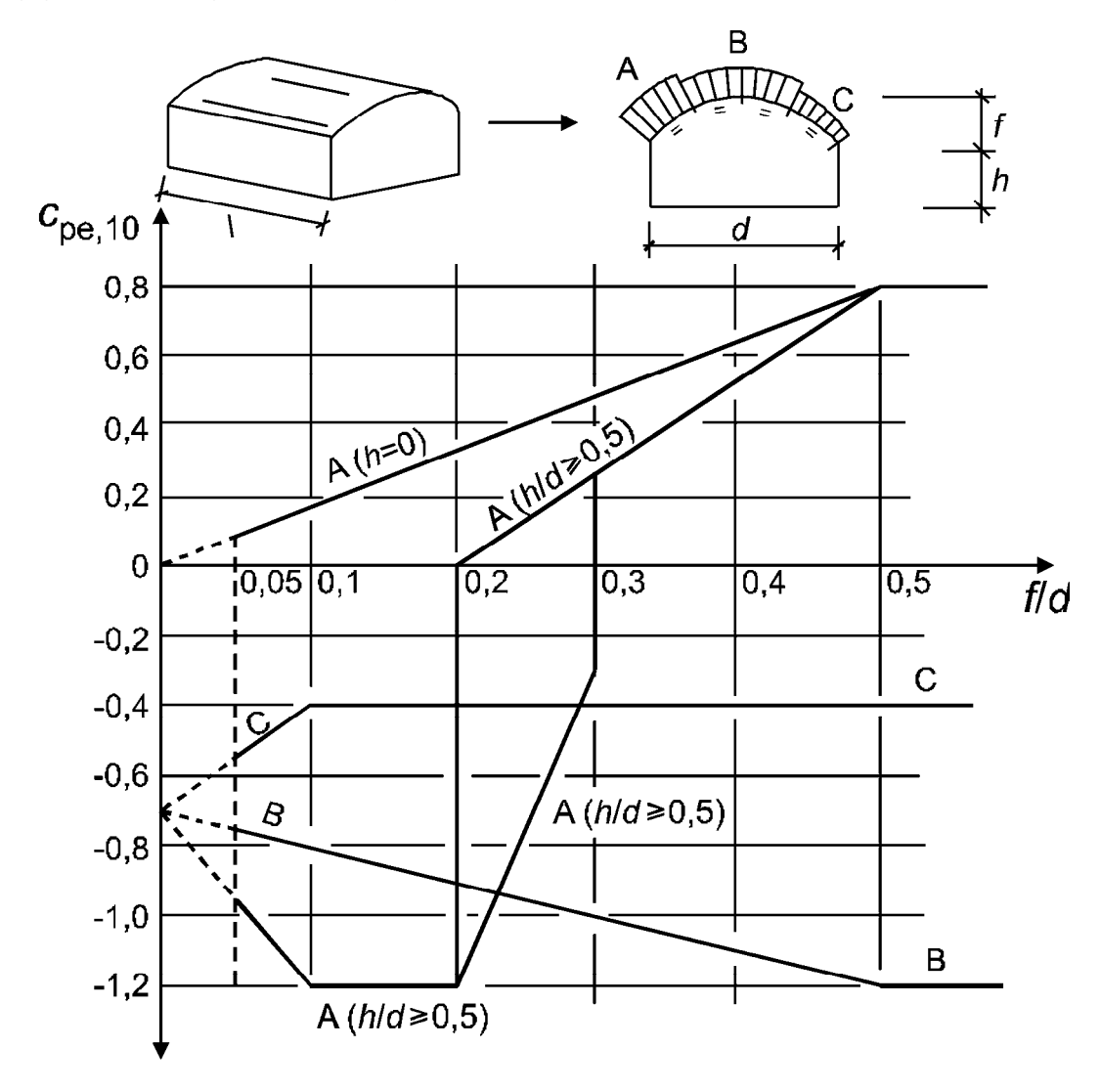
ANMERKUNG 2 Für die Konfiguration c ist der erste  $c_{pe}$ -Wert der  $c_{pe}$ -Wert eines Pultdaches, die folgenden  $c_{pe}$ -Werte sind jene eines Trogdaches.

### Bild 7.10 — Außendruckbeiwerte bei Sheddächern

#### 7.2.8 Gekrümmte Dächer und Kuppeln

(1) Dieser Abschnitt gilt für kreiszylindrische Dächer und für Kuppeln.

ANMERKUNG Die für kreiszylindrische Dächer und Kuppeln anzusetzenden  $c_{\rm pe,10}$ - und  $c_{\rm pe,1}$ -Werte können im Nationalen Anhang angegeben werden. Die empfohlenen  $c_{\rm pe,10}$ -Werte sind für verschiedene Bereiche in Bild 7.11 und 7.12 angegeben. Die Bezugshöhe ist  $z_{\rm e}$  = h + f.

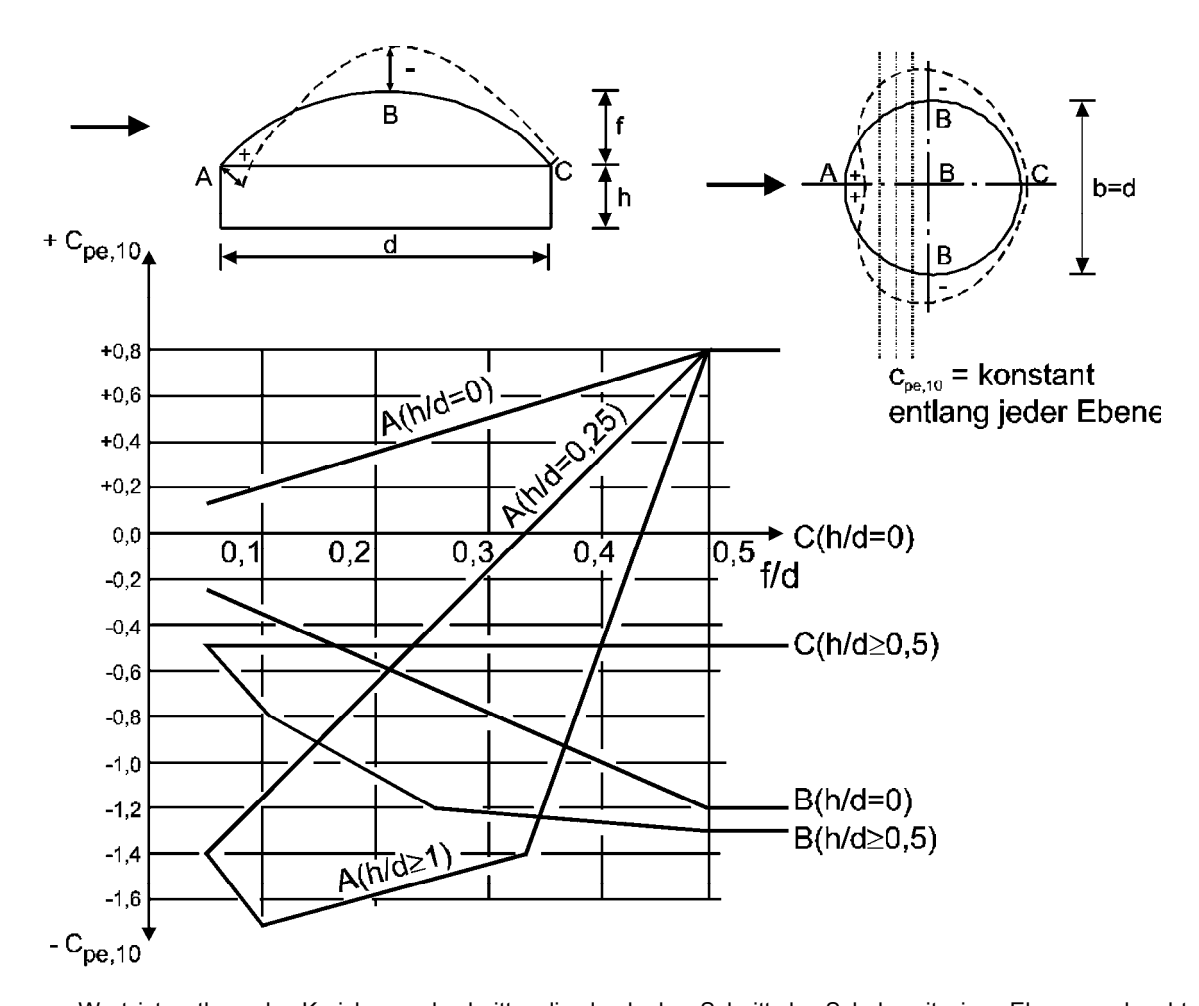


#### AC Für Bereich A:

- für 0 < h/d < 0.5 ist der  $c_{pe,10}$ -Wert durch lineare Interpolation zu ermitteln;
- für  $0.2 \le fld \le 0.3$  und  $hld \ge 0.5$  müssen zwei  $c_{pe,10}$ -Werte berücksichtigt werden;
- das Diagramm gilt nicht für Flachdächer. (AC)

Bild 7.11 — Außendruckbeiwerte  $c_{\rm pe,10}$  für gekrümmte Dächer von Baukörpern mit rechteckigem Grundriss

#### EN 1991-1-4:2005 + A1:2010 + AC:2010 (D)



Der  $c_{\rm pe,10}$ -Wert ist entlang der Kreisbogenabschnitte, die durch den Schnitt der Schale mit einer Ebene senkrecht zur Anströmrichtung definiert sind, konstant. Er kann als erste Näherung durch lineare Interpolation zwischen den Werten entlang windparalleler Kreisbögen für die Bereiche A, B und C ermittelt werden. In gleicher Weise können die  $c_{\rm pe,10}$ -Werte durch lineare Interpolation anhand des obigen Bildes für den Bereich A ermittelt werden, wenn 0 < h/d < 1 gilt, und für B oder C, wenn 0 < h/d < 0.5 gilt.

### Bild 7.12 — Außendruckbeiwerte c<sub>pe,10</sub> für Kuppeln mit kreisrunder Basis.

(2) Die Druckbeiwerte für die Wandflächen von rechteckigen Gebäuden mit gekrümmten Dächern sind dem 7.2.2 zu entnehmen.

#### 7.2.9 Innendruck

- (1)P In Räumen mit durchlässigen Außenwänden ist der Innendruck zu berücksichtigen wenn er ungünstig wirkt. Innen- und Außendruck sind als gleichzeitig wirkend anzunehmen. Dabei wirkt der Innendruck auf alle Raumabschlüsse eines Innenraumes gleichzeitig und mit gleichen Vorzeichen.
- (2) Der Innendruckbeiwert  $c_{\rm pi}$  ist von der Größe und der Verteilung der Öffnungen in der Gebäudehülle abhängig. Beträgt an mindestens zwei Seiten eines Gebäudes (Fassade oder Dach) die Gesamtfläche der Öffnungen einer jeden Seite mehr als 30 % der Fläche einer Seite, so gelten die beiden Seiten als gänzlich offene Seiten und die Windlast auf dieses Gebäude ist anhand der Regeln in den 7.3 und 7.4 zu ermitteln.

ANMERKUNG Gebäudeöffnungen schließen kleine Öffnungen wie Fenster, Lüftungsklappen, Rauchabzüge etc. sowie eine Grundundichtigkeit ein, die sich z.B. durch undichte Türen, Fenster oder Versorgungsschächte ergibt. Diese Grundundichtigkeit liegt üblicherweise in Bereichen zwischen 0,01 % bis 0,1 % einer Seitenfläche. Der Nationale Anhang kann hierzu weitere Informationen angeben.

(3) Gebäudeöffnungen, wie Fenster oder Türen, dürfen im Hinblick auf den Innendruck für den Grenzzustand der Tragfähigkeit als geschlossen angesehen werden, sofern sie nicht betriebsbedingt bei Sturm geöffnet werden müssen, z.B. Ausfahrtstore von Gebäuden mit Rettungsdiensten. In anderen Fällen sollte die Bemessungssituation mit geöffneten Fenstern oder Türen als außergewöhnlicher Lastfall nach EN 1990 betrachtet werden.

ANMERKUNG Das Prüfen der außergewöhnlichen Bemessungssituation ist besonders für große Innenwände (mit hohem Gefährdungspotenzial) wichtig, wenn diese, aufgrund von Öffnungen in der Gebäudehülle, die gesamte äußere Windlast abtragen.

(4) Eine Gebäudefläche ist für den Innendruck als dominant anzusehen, wenn die Gesamtfläche der Öffnungen dieser Seite mindestens doppelt so groß ist wie die Summe aller Öffnungen und Undichtigkeiten in den restlichen Seitenflächen.

ANMERKUNG Diese Definition kann auch auf einzelne Innenräume angewendet werden.

(5) Bei einem Gebäude mit einer dominanten Fläche ist der Innendruck von dem Außendruck, der auf die Öffnungen der dominanten Seitenfläche wirkt, abhängig. Ist die Gesamtfläche der Öffnungen in der dominanten Seite doppelt so groß wie die Summe aller Öffnungen in den restlichen Seitenflächen, gilt:

$$c_{\rm pi} = 0.75 \cdot c_{\rm pe} \tag{7.1}$$

Ist die Gesamtfläche der Öffnungen in der dominanten Seite mindestens dreimal so groß wie die Summe aller Öffnungen in den restlichen Seitenflächen, gilt:

$$c_{\rm pi} = 0.90 \cdot c_{\rm pe} \tag{7.2}$$

Der  $c_{\rm pe}$ -Wert ist hierbei der Außendruckbeiwert der dominanten Seite. Liegen die Öffnungen der dominanten Seitenfläche in Bereichen mit unterschiedlichen Außendruckbeiwerten, ist ein mit den Öffnungsflächen gewichteter Mittelwert für  $c_{\rm pe}$  zu ermitteln.

Ist die Gesamtfläche der Öffnungen in der dominanten Seite kleiner als das Dreifache, jedoch größer als das Doppelte der Summe aller Öffnungen in den restlichen Seitenflächen, darf der  $c_{\rm pi}$ -Wert linear interpoliert werden.

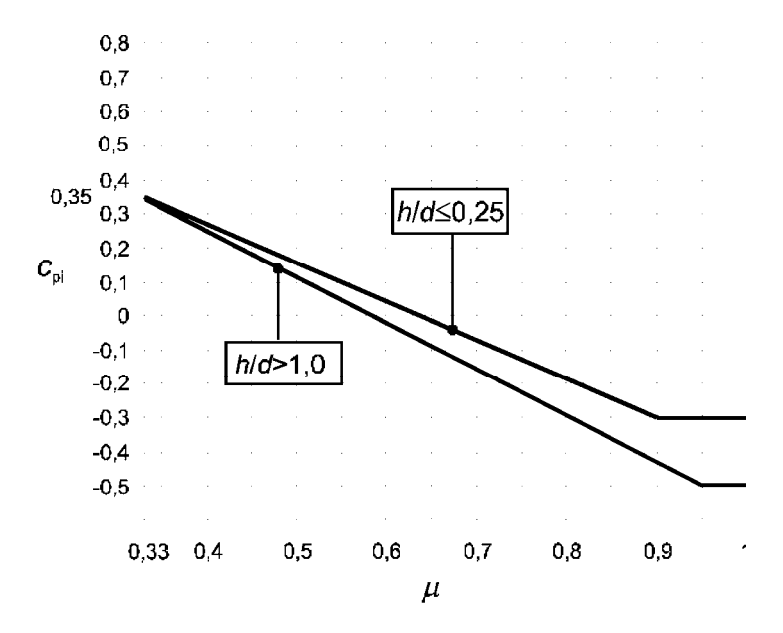
(6) Bei Gebäuden ohne eine dominante Seite ist der  $c_{\rm pi}$ -Wert anhand von Bild 7.13 zu ermitteln. Der  $c_{\rm pi}$ -Wert ist dabei abhängig von der Höhe h und der Tiefe d des Gebäudes, sowie vom Flächenparameter  $\mu$  für jede Anströmrichtung  $\Theta$ . Der Flächenparameter  $\mu$  ergibt sich wie folgt:

$$\mu = \frac{\text{Gesamtfläche der Öffnungen in den leeseitigen und windparallelen Flächen mit } c_{\text{pe}} \leq 0}{\text{Gesamtfläche aller Öffnungen}}$$
 (7.3)

ANMERKUNG 1 Dies gilt für Fassaden und Dächer von Gebäuden mit und ohne Zwischenwänden.

ANMERKUNG 2 Lässt sich kein sinnvoller Flächenparameter  $\mu$  ermitteln oder ist die Berechnung nicht möglich, so ist der  $c_{\rm pi}$ -Wert als der ungünstigere Wert aus +0,2 und -0,3 anzunehmen.

### EN 1991-1-4:2005 + A1:2010 + AC:2010 (D)



ANMERKUNG Bei  $0.25 < h/d \le 1$  darf linear interpoliert werden.

#### Bild 7.13 — Innendruckbeiwerte bei gleichförmig verteilten Öffnungen

(7) Als Bezugshöhe  $z_i$  für den Innendruck ist die Bezugshöhe  $z_e$  für den Außendruck der Seitenflächen (siehe 5.1 (1)P) anzusetzen, deren Öffnungen zur Entstehung des Innendruckes führen. Gibt es mehrere Öffnungen, so ist der größte sich ergebende  $z_e$ -Wert für die Bezugshöhe  $z_i$  maßgebend.

Der Innendruckbeiwert für offene Silos und Schornsteine ist

$$c_{\rm pi} = -0.60 \tag{7.4}$$

Der Innendruckbeiwert für belüftete Tanks mit kleinen Öffnungen ist

$$c_{\rm pi} = -0.40 \tag{7.5}$$

Die Bezugshöhe  $z_i$  entspricht der Höhe h des Bauwerks.

### 7.2.10 Druck auf mehrschalige Wand- und Dachflächen

- (1) Die Windlast ist für jede Schale getrennt zu berechnen.
- (2) Die Porosität  $\mu$  einer Schale ist definiert als das Verhältnis der Summe aller Öffnungsflächen zur Gesamtfläche der Seite. Eine Schale ist als dicht anzusehen, wenn deren Porosität  $\mu$  kleiner 0,1 % ist.
- (3) Ist nur eine Schale porös, ist die Windlast auf die dichte Schale nach 5.2 (3) als Differenz der Innen- und Außendrücke zu berechnen. Ist mehr als eine Schale porös, ist die Windlast abhängig von:
- den relativen Steifigkeiten der Schalen,
- den Außen- und Innendrücken,
- dem Schalenabstand,
- der Porosität der Schalen.
- den Öffnungen in seitlichen Begrenzungswänden der Schicht zwischen den Schalen.

54

ANMERKUNG 1 Der Nationale Anhang kann Angaben zu der Windeinwirkung auf mehrschalige Außenwände und Dächer machen. Als erste Näherung wird empfohlen, die Windeinwirkung auf die Schale mit der größten Steifigkeit als Differenz der Innen- und Außendrücke zu berechnen.

ANMERKUNG 2 Der Nationale Anhang kann Werte für Fälle vorgeben, bei denen die seitlichen Begrenzungswände der Zwischenschicht luftdicht ausgebildet sind (siehe Bild 7.14(a)) und bei denen der lichte Abstand der Schalen kleiner als 100 mm ist (Wärmedämmungen eingeschlossen, wenn diese nicht belüftet sind). Als Näherung können folgende Regeln angewendet werden:

- Bei Wänden und Dächern mit dichter Innenschale und poröser Außenschale mit gleichmäßig verteilten Öffnungen wird die Windeinwirkung auf die Außenschale mit  $c_{\text{p,net}} = 2/3 \cdot c_{\text{pe}}$  für den Überdruck und mit  $c_{\text{p,net}} = 1/3 \cdot c_{\text{pe}}$  für den Unterdruck (Sog) berechnet. Die Windeinwirkung auf die Innenschale wird mit  $c_{\text{p,net}} = c_{\text{pe}} c_{\text{pi}}$  ermittelt.
- Bei Wänden und Dächern mit einer dichten Innenschale und einer dichten, steiferen Außenschale wird die Windeinwirkung auf die Außenschale mit  $c_{p,net} = c_{pe} c_{pi}$  berechnet.
- Bei Wänden und Dächern mit poröser Innenschale mit gleichmäßig verteilten Öffnungen und dichter Außenschale wird die Windeinwirkung auf die Außenschale mit  $c_{p,net} = c_{pe} c_{pi}$  und die Windeinwirkung auf die Innenschale mit  $c_{p,net} = 1/3 \cdot c_{pi}$  berechnet.
- Bei Wänden und Dächern mit einer dichten Außenschale und einer dichten, steiferen Innenschale wird die Windeinwirkung auf die Außenschale mit  $c_{p,net} = c_{pe}$  und die Windeinwirkung auf die Innenschale mit  $c_{p,net} = c_{pe}$   $c_{pi}$  berechnet.

Bewirken Öffnungen eine Interaktion der Luftschichten mit denen hinter anderen Gebäudeoberflächen, als den hier betrachteten Wandflächen (siehe Bild 7.14 (b)), sind diese Regeln nicht anwendbar.

(a) geschlossener Randbereich	
(b) offener Randbereich	

Bild 7.14 — Eckdetails von mehrschaligen Außenwänden.

EN 1991-1-4:2005 + A1:2010 + AC:2010 (D)

#### 7.3 Freistehende Dächer

- (1) Freistehende Dächer sind Dächer, an die sich nach unten keine durchgehenden Wände anschließen, wie z. B. Tankstellendächer oder Bahnsteigüberdachungen.
- (2) Der Versperrungsgrad  $\varphi$  unterhalb eines freistehenden Daches ist nach Bild 7.15 das Verhältnis der versperrten Fläche zur Gesamtquerschnittsfläche unterhalb des Daches. Beide Flächen sind senkrecht zur Anströmrichtung zu ermitteln.

ANMERKUNG  $\varphi = 0$  repräsentiert ein völlig freistehendes Dach ohne Versperrung und  $\varphi = 1$  ist als ein vollkommen versperrtes freistehendes Dach zu verstehen (dies ist kein geschlossenes Gebäude).

- (3) Die in den Tabellen 7.6 bis 7.8 angegebenen Kraftbeiwerte  $c_{\rm f}$  und die Gesamtdruckbeiwerte  $c_{\rm p,net}$  für  $\varphi$  = 0 und  $\varphi$  = 1 berücksichtigen die resultierende Windbelastung auf der Ober- und Unterseite des Daches für alle Anströmrichtungen. Zwischenwerte dürfen interpoliert werden.
- (4) Leeseits der maximalen Versperrung sind  $c_{p,net}$ -Werte für  $\varphi$  = 0 anzusetzen.
- (5) Der Kraftbeiwert  $c_{\rm f}$  charakterisiert die resultierende Windkraft. Der resultierende Gesamtdruckbeiwert  $c_{\rm p,net}$  beschreibt den maximalen lokalen Druck für alle Anströmrichtungen. Dieser ist bei der Bemessung von Dachelementen und Verankerungen zu verwenden.
- (6) Freistehende Dächer sind für folgende Lastanordnungen zu berechnen:
- A Bei freistehenden Pultdächern (Tabelle 7.6) sollte die Lage der resultierenden Windkraft als Abstand von der luvseitigen Seite definiert werden.

ANMERKUNG Die Lage darf im Nationalen Anhang festgelegt werden. Die empfohlene Lage ist in Bild 7.16 angegeben. 🔄

- bei Sattel- oder Trogdächern (Tabelle 7.7) ist die resultierende Windkraft jeweils in der Mitte einer geneigten Dachfläche anzunehmen (Bild 7.17). Zusätzlich ist für ein Sattel- bzw. Trogdach eine einseitige Belastung der Dachfläche infolge minimaler oder maximaler Windlast anzusetzen.
- bei freistehenden Sheddächern ist die Last auf die einzelnen Felder aus den  $c_{p-net}$ -Werten nach Tabelle 7.7 und aus den Abminderungsfaktoren  $\psi_{mc}$  nach Tabelle 7.8 zu bestimmen.

Für zweischalige freistehende Dächer sind die Regeln in 7.2.10 anzuwenden.

- (7) Reibungskräfte sind zu berücksichtigen (siehe 7.5).
- (8) Die Referenzhöhe  $z_e$  entspricht der Höhe h entsprechend den Bildern 7.16 und 7.17.

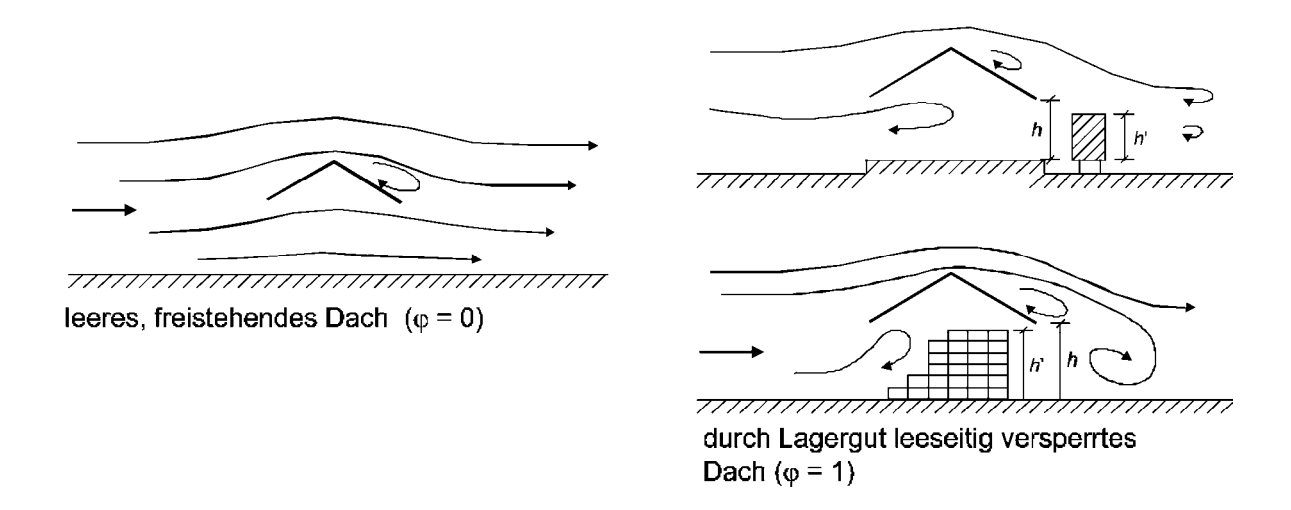


Bild 7.15 — Umströmung freistehender Dächer

EN 1991-1-4:2005 + A1:2010 + AC:2010 (D)

Tabelle 7.6 —  $c_{p,net}$  und  $c_f$  Werte für freistehende Pultdächer Gesamtdruckbeiwerte  $c_{
m p,net}$ Flächeneinteilung <u>‡</u> b/10 Wind С b/10 <del>| → |</del> d/10 d/10 <del>|< ></del> d Neigungs Versperrungs-Kraftbeiwert Bereich A Bereich B Bereich C grad  $\varphi$  $c_{\mathsf{f}}$ winkel  $\alpha$ Maximum alle  $\varphi$ + 0,2 + 0,5 + 1,8 + 1,1 0° Minimum  $\varphi = 0$ - 0,5 - 0,6 - 1,3 - 1,4 Minimum  $\varphi = 1$ - 1,3 - 1,5 - 1,8 - 2,2 Maximum alle  $\varphi$ + 0,4 + 0,8 + 2,1 + 1,3 5° Minimum  $\varphi = 0$ - 0,7 - 1,1 - 1,7 - 1,8 Minimum  $\varphi = 1$ - 1,6 - 2,2 - 2,5 - 1,4 + 1,2 + 1,6 Maximum alle  $\varphi$ + 0,5 + 2,4 10° Minimum  $\varphi = 0$ - 0,9 - 1,5 - 2,0 - 2,1 - 1,4 AC) - 1,6 (AC - 2,6 - 2,7 Minimum  $\varphi = 1$ + 1,8 Maximum alle  $\varphi$ + 0,7 + 1,4 + 2,7 15° - 2,5 Minimum  $\varphi = 0$ - 1,1 - 1,8 - 2,4 Minimum  $\varphi = 1$ - 1,4 - 1,6 - 2,9 - 3,0 + 1,7 + 2,1 Maximum alle  $\varphi$ + 0,8 + 2,9 20° Minimum  $\varphi = 0$ - 1,3 - 2,2 - 2,8 - 2,9 - 1,4 - 1,6 - 2,9 - 3,0 Minimum  $\varphi = 1$ Maximum alle  $\varphi$ + 1,0 + 2,0 + 3,1 + 2,3 25° Minimum  $\varphi = 0$ - 2,6 - 3,2 - 3,2 - 1,6 Minimum  $\varphi = 1$ - 1,4 - 1,5 - 2,5 - 2,8 Maximum alle  $\varphi$ + 1,2 + 2,2 + 3,2 + 2,4 30° Minimum  $\varphi = 0$ - 1,8 - 3,0 - 3,8 - 3,6 Minimum  $\varphi = 1$ - 1,4 - 1,5 - 2,2 - 2,7

+ Werte bedeuten eine nach unten gerichtete resultierende Windlast - Werte bedeuten eine nach oben gerichtete resultierende Windlast

**ANMERKUNG** 

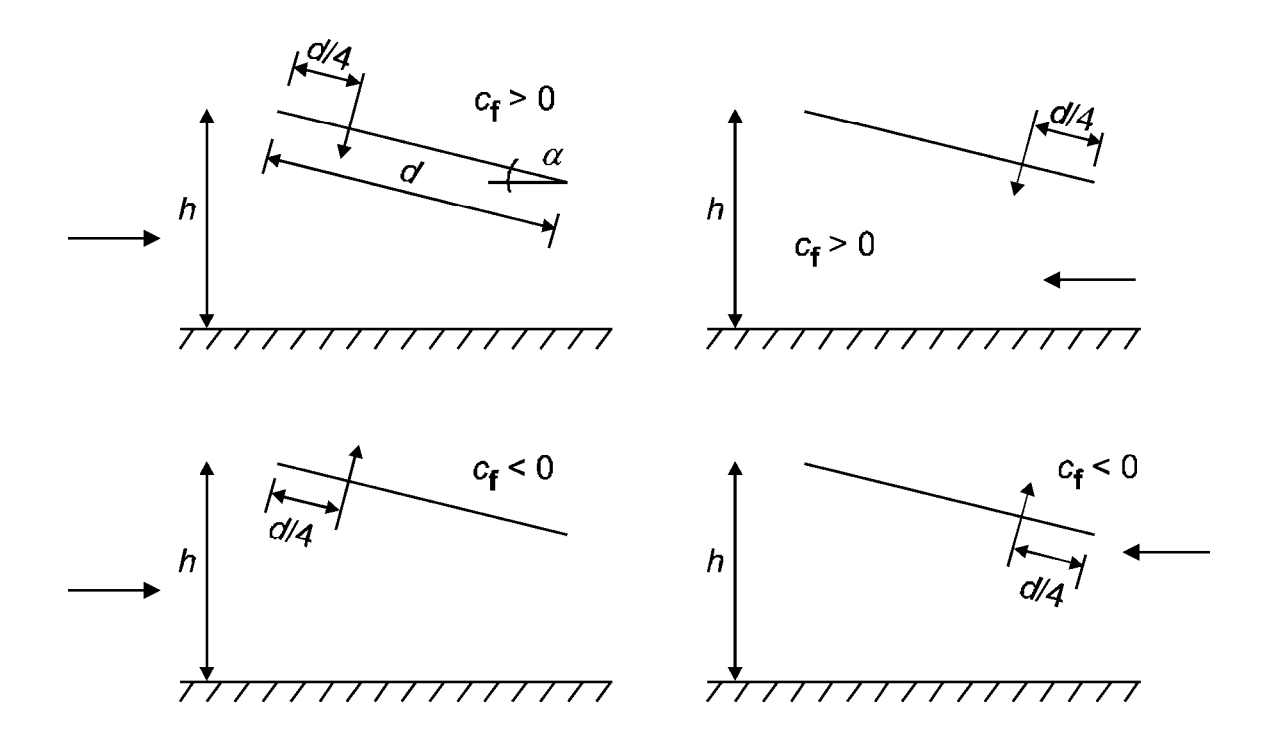
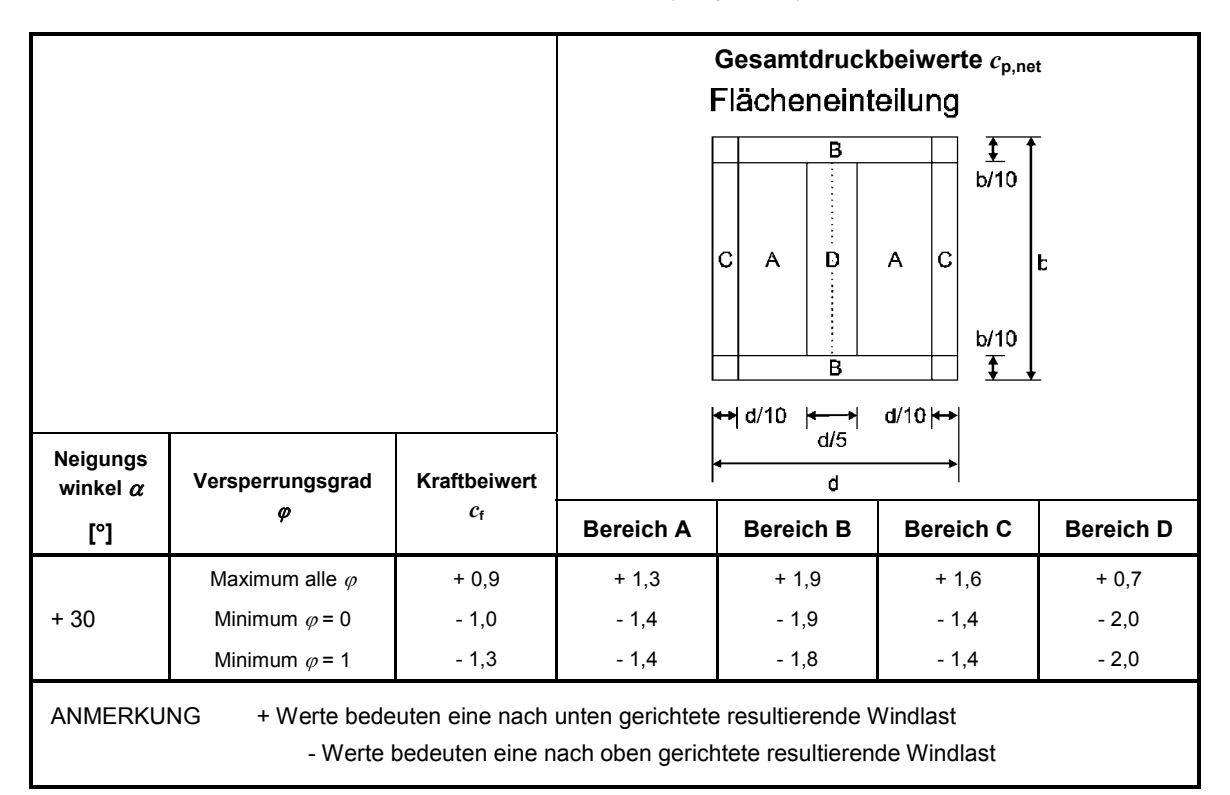


Bild 7.16 — Lage der resultierenden Windkraft bei freistehenden Pultdächern

Tabelle 7.7 —  $c_{
m p,net}$  und  $c_{
m f}$  Werte für freistehende Sattel- und Trogdächer

		c <sub>p,net</sub> did c <sub>f</sub> vv	T			1			
			Gesamtdruckbeiwerte $c_{\sf p,net}$ Flächeneinteilung						
				B B B B B → d/10	A C b/10  d/10 →	<b>t</b>			
Neigungs	Versperrungsgrad	Kraftbeiwert		d/5 d	<b></b>				
winkel α [°]	$\varphi$	C <sub>f</sub>	Bereich A	Bereich B	Bereich C	Bereich D			
	Maximum alle $\varphi$	+ 0,7	+ 0,8	+ 1,6	+ 0,6	+ 1,7			
- 20	Minimum $\varphi = 0$	- 0,7	- 0,9	- 1,3	- 1,6	- 0,6			
	Minimum $\varphi$ = 1	- 1,3	- 1,5	- 2,4	- 2,4	- 0,6			
	Maximum alle $\varphi$	+ 0,5	+ 0,6	+ 1,5	+ 0,7	+ 1,4			
- 15	Minimum $\varphi = 0$	- 0,6	- 0,8	- 1,3	- 1,6	- 0,6			
	Minimum $\varphi$ = 1	- 1,4	- 1,6	- 2,7	- 2,6	- 0,6			
	Maximum alle $\varphi$	+ 0,4	+ 0,6	+ 1,4	+ 0,8	+ 1,1			
- 10	Minimum $\varphi$ = 0	- 0,6	- 0,8	- 1,3	- 1,5	- 0,6			
	Minimum $\varphi$ = 1	- 1,4	- 1,6	- 2,7	- 2,6	- 0,6			
	Maximum alle $\varphi$	+ 0,3	+ 0,5	+ 1,5	+ 0,8	+ 0,8			
- 5	Minimum $\varphi = 0$	- 0,5	- 0,7	- 1,3	- 1,6	- 0,6			
	Minimum $\varphi$ = 1	- 1,3	- 1,5	- 2,4	- 2,4	- 0,6			
	Maximum alle $\varphi$	+ 0,3	+ 0,6	+ 1,8	+ 1,3	+ 0,4			
+ 5	Minimum $\varphi$ = 0	- 0,6	- 0,6	- 1,4	- 1,4	- 1,1			
	Minimum $\varphi$ = 1	- 1,3	- 1,3	- 2,0	- 1,8	- 1,5			
	Maximum alle $\varphi$	+ 0,4	+ 0,7	+ 1,8	+ 1,4	+ 0,4			
+ 10	Minimum $\varphi$ = 0	- 0,7	- 0,7	- 1,5	- 1,4	- 1,4			
	Minimum $\varphi$ = 1	- 1,3	- 1,3	- 2,0	- 1,8	- 1,8			
	Maximum alle $\varphi$	+ 0,4	+ 0,9	+ 1,9	+ 1,4	+ 0,4			
+ 15	Minimum $\varphi$ = 0	- 0,8	- 0,9	- 1,7	- 1,4	- 1,8			
	Minimum $\varphi$ = 1	- 1,3	- 1,3	- 2,2	- 1,6	- 2,1			
	Maximum alle $\varphi$	+ 0,6	+ 1,1	+ 1,9	+ 1,5	+ 0,4			
+ 20	Minimum $\varphi$ = 0	- 0,9	- 1,2	- 1,8	- 1,4	- 2,0			
	Minimum $\varphi$ = 1	- 1,3	- 1,4	- 2,2	- 1,6	- 2,1			
	Maximum alle $\varphi$	+ 0,7	+ 1,2	+ 1,9	+ 1,6	+ 0,5			
+ 25	Minimum $\varphi = 0$	- 1,0	- 1,4	- 1,9	- 1,4	- 2,0			
	Minimum $\varphi$ = 1	- 1,3	- 1,4	- 2,0	- 1,5	- 2,0			

Tabelle 7.7 (fortgesetzt)



## EN 1991-1-4:2005 + A1:2010 + AC:2010 (D)

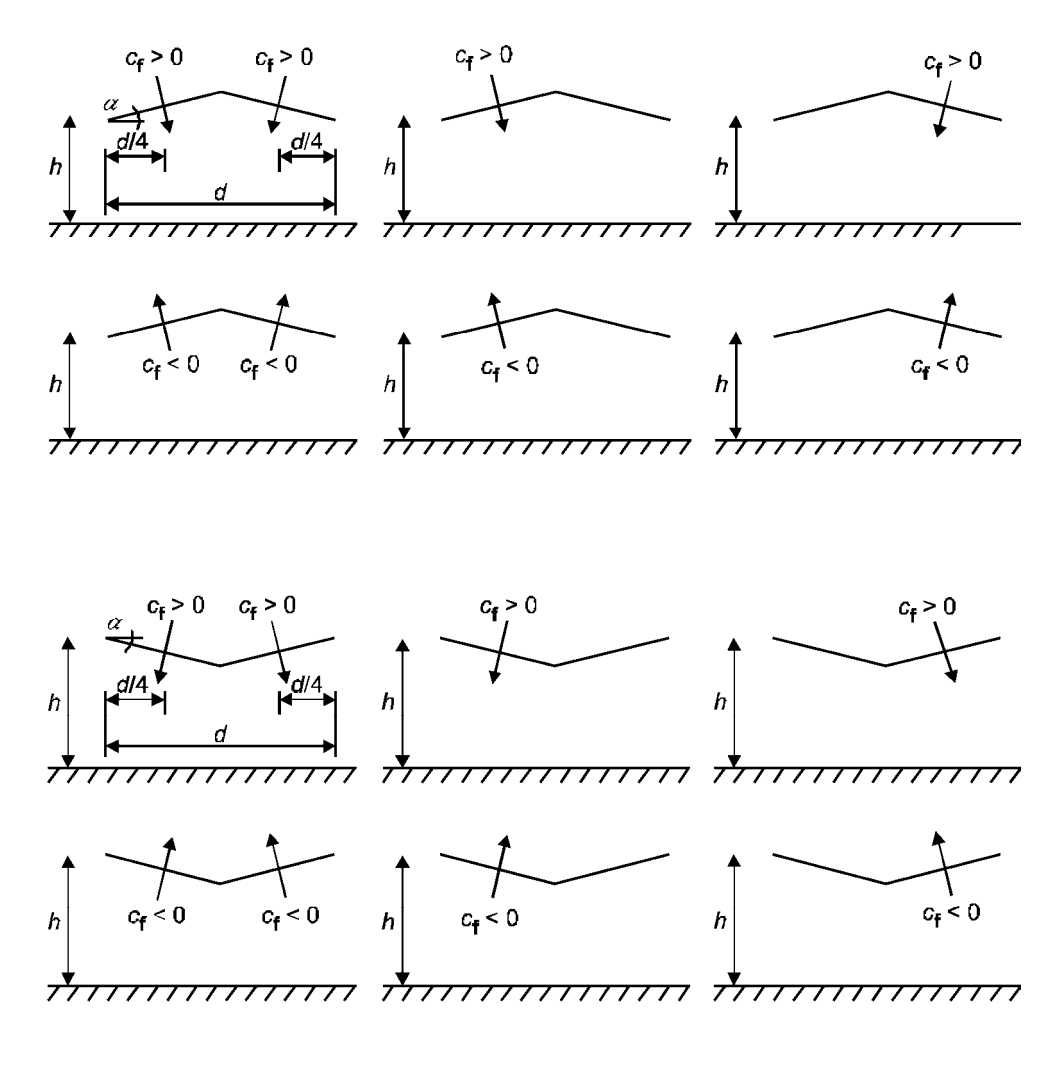


Bild 7.17 — Lastanordnungen bei Sattel- und Trogdächern

(9) Die Lasten auf die einzelnen Dachflächen von freistehenden Sheddächern (siehe Bild 7.18) werden aus den Lasten für ein einzelnes isoliert stehendes Sattel oder Trogdach mit dem Abminderungsfaktor  $\psi_{mc}$  nach Tabelle 7.8 ermittelt..

Tabelle 7.8 — Abminderungsfaktoren  $\psi_{mc}$  für freistehende Sheddächer

Dachfläche		$\psi_{mc}$ Wert für alle $arphi$					
nach Bild	Ort Vom First (nach unten)		Von der Kehle (nach oben)				
7.18		Kraft- und Druckbeiwerte	Kraft- und Druckbeiwerte				
1	Erste Dachfläche	1,0	0,8				
2	Zweite Dachfläche	0,9	0,7				
3	Dritte Dachfläche	0,7	0,7				

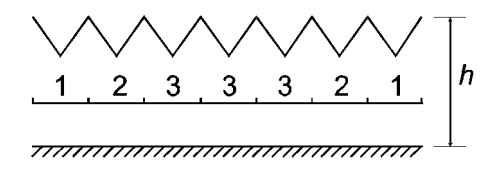


Bild 7.18 — Freistehende Sheddächer mit Dachflächenbezeichnung

## 7.4 Freistehende Wände, Brüstungen, Zäune und Anzeigetafeln

(1) Die resultierenden Druckbeiwerte  $c_{p,net}$  für freistehende Wände und Brüstungen sind abhängig vom Völligkeitsgrad  $\varphi$ . Für massive Wände ist der Völligkeitsgrad  $\varphi$  gleich 1 anzusetzen, für Wände mit einem Öffnungsanteil von 20 % ist  $\varphi$  = 0,8. Undichte Wände und Zäune mit einem Völligkeitsgrad  $\varphi$  ≤ 0,8 sind wie Fachwerke nach 7.11 zu behandeln.

ANMERKUNG Zu Brüstungen und Lärmschutzwänden auf Brücken, siehe Abschnitt 8.

#### 7.4.1 Freistehende Wände und Brüstungen

(1) Freistehende Wände und Brüstungen sind für die Bestimmung der Druckbeiwerte  $c_{p-net}$  vom jeweiligen Ende aus, in Bereiche A bis D nach Bild 7.19 zu unterteilen.

ANMERKUNG Die Zahlenwerte der Druckbeiwerte  $c_{\rm p,net}$  für freistehende Wände und Brüstungen können im Nationalen Anhang angegeben werden. Empfohlene Werte sind in Tabelle 7.9 für zwei verschiedene Völligkeitsgrade angegeben (siehe 7.4 (1)). Diese Werte entstehen bei schiefer Anströmung von geradlinig verlaufenden Wänden (siehe Bild 7.19) oder bei Wind aus zwei Richtungen bei abgewinkelten Verlauf nach Bild 7.19. Die Bezugsfläche ist in beiden Fällen die Gesamtfläche der Wand. Bei Völligkeitsgraden  $\varphi$  zwischen 0,8 und 1,0 dürfen die Beiwerte linear interpoliert werden.

Völligkeitsgrad	Ber	Bereich		В	С	D
		<i>l</i> / <i>h</i> ≤ 3	2,3	1,4	1,2	1,2
	gerade Wand	<i>l/h</i> = 5	2,9	1,8	1,4	1,2
<i>φ</i> = 1		<i>l</i> / <i>h</i> ≥ 10	3,4	2,1	1,7	1,2
	mit Schen	elte Wand kellänge ≥	±2,1	±1,8	±1,4	±1,2
φ = 0,8			±1,2	±1,2	±1,2	±1,2

Tabelle 7.9 — Druckbeiwerte  $c_{p,net}$  für freistehende Wände und Brüstungen

(2) Die Bezugshöhe freistehender Wände  $z_{\rm e}$  ist nach Bild 7.19 mit  $z_{\rm e}$  = h anzusetzen. Die Bezugshöhe für Brüstungen und Geländer ist nach Bild 7.6 mit  $z_{\rm e}$  =  $(h + h_{\rm p})$  anzusetzen.

<sup>&</sup>lt;sup>a</sup> Bei Schenkellängen des abgewinkelten Wandstücks zwischen 0,0 und h darf linear interpoliert werden.

## EN 1991-1-4:2005 + A1:2010 + AC:2010 (D)

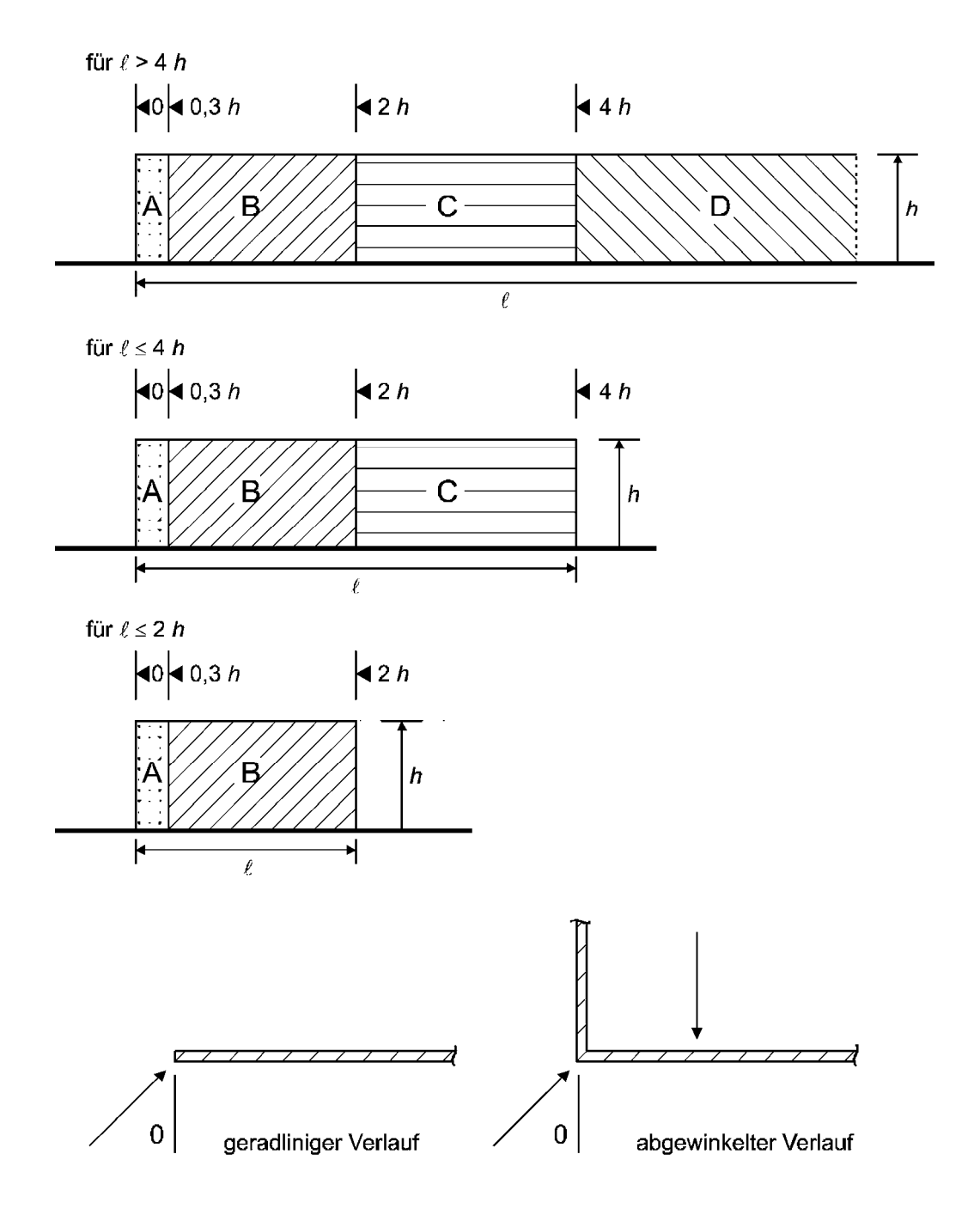


Bild 7.19 — Flächeneinteilung bei freistehenden Wänden und Brüstungen

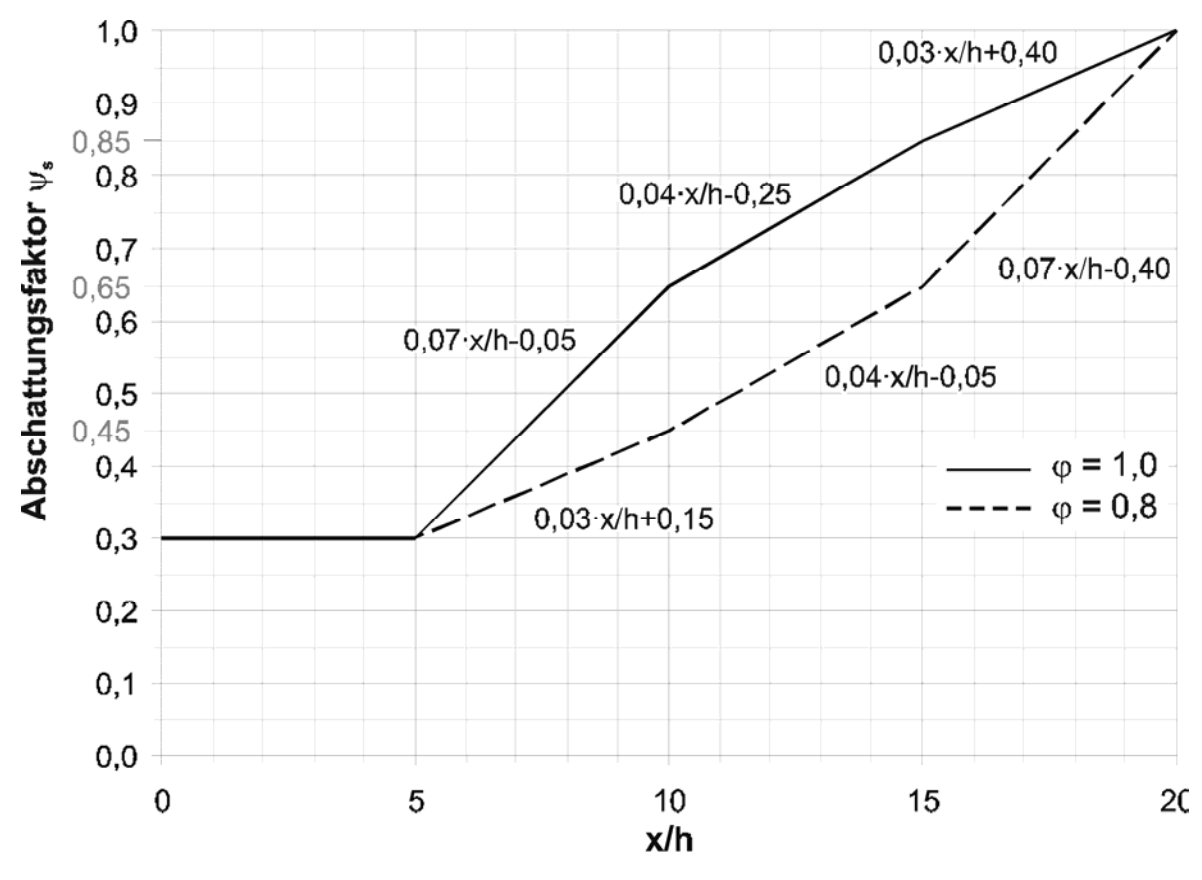
### 7.4.2 Abschattungsfaktoren für Wände und Zäune

(1) Falls der betrachteten Wand oder dem betrachteten Zaun mit der Höhe h luvseitig andere Wände oder Zäune, die gleich groß oder größer sind, vorgelagert sind, kann bereichsweise ein zusätzlicher Abschattungsfaktor auf die Gesamtdruckbeiwerte angewendet werden. Der Wert des Abschattungsfaktors  $\psi_{\rm S}$  hängt vom Abstand x der beiden Wände oder Zäune und vom Völligkeitsgrad  $\varphi$  der luvseitigen, abschattenden Wand oder Zäune mit der Höhe h ab. Die Werte sind in Bild 7.20 dargestellt.

Der resultierende Druckbeiwert der abgeschatteten Wand ergibt sich zu:

$$c_{\text{p,net,s}} = \psi_{\text{s}} \cdot c_{\text{p,net}} \tag{7.6}$$

(2) Die Endbereiche der abgeschatteten Wand sind auf einer Länge, die gleich der Höhe h ist, für die volle Windbelastung ohne Abschattungsfaktor nachzuweisen.



### Legende

- x Abstand der Wände
- h Höhe der luvseitigen Wand

Bild 7.20 — Abschattungsfaktor  $\psi_s$  für Wände und Zäune für  $\varphi$ -Werte zwischen 0,8 und 1,0

EN 1991-1-4:2005 + A1:2010 + AC:2010 (D)

#### 7.4.3 Kraftbeiwerte für Anzeigetafeln

(1) Der Kraftbeiwert für Anzeigetafeln, deren Unterkante mindestens um  $z_g$  = h/4 von der Geländeoberkante entfernt ist (siehe Bild 7.21), beträgt

$$c_f = 1,80$$
 (7.7)

 $c_{\rm f}$  = 1,80 darf auch bei  $z_{\rm g}$  < h/4 und  $b/h \le 1$  angewendet werden.

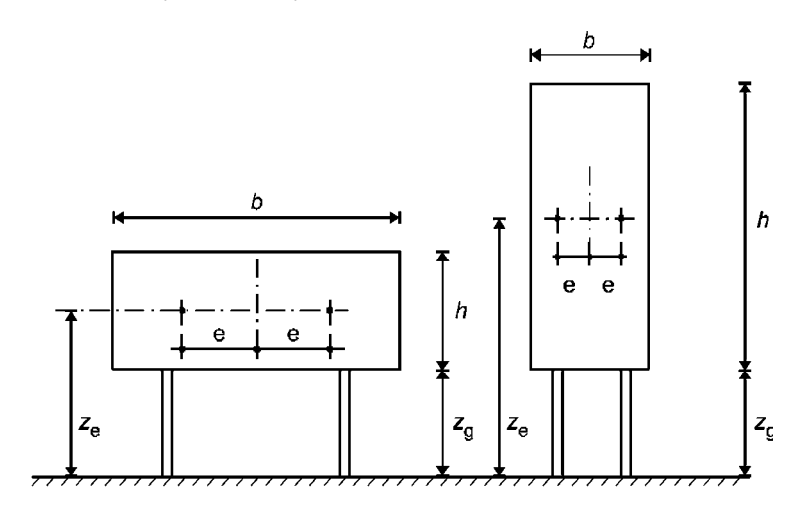
(2) Die resultierende Kraft senkrecht zur Anzeigetafel ist in Höhe des Flächenschwerpunkts der Tafel mit einer horizontalen Ausmitte anzusetzen.

ANMERKUNG Die Größe der Ausmitte kann im Nationalen Anhang angegeben sein. Der Wert

$$e = \pm 0.25 \cdot b \tag{7.8}$$

wird empfohlen.

(3) Bei einem Bodenabstand von  $z_g < h/4$  und einem Verhältnis von Breite zu Höhe b/h > 1 ist die Tafel als freistehende Wand zu behandeln (siehe 7.4.1).



ANMERKUNG 1 Die Bezugshöhe ist  $z_e = z_g + h/2$ .

ANMERKUNG 2 Die Bezugsfläche ist  $A_{rel} = b \cdot h$ .

Bild 7.21 — Abmessungen bei Anzeigetafeln

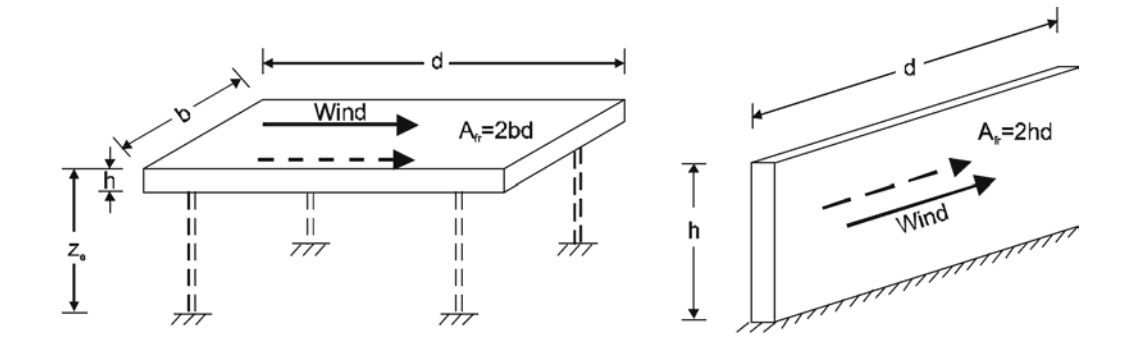
(4) Instabilitäten durch Divergenz oder Abreißflattern sind zu prüfen.

# 7.5 Reibungsbeiwerte

- (1) In allen in 5.3 (3) aufgeführten Fällen sind Reibungseffekte zu berücksichtigen.
- (2) Reibungsbeiwerte  $c_{\rm fr}$  für Wände und Dachflächen werden in Tabelle 7.10 angegeben.
- (3) Die Bezugsflächen  $A_{\rm fr}$  sind in Bild 7.22 dargestellt. Reibungskräfte sind auf windparallelen Oberflächen in einem Abstand von den jeweiligen luvseitigen Vorderkanten von 2b oder 4h (der kleinere Wert ist maßgebend) anzusetzen.
- (4) Die Bezugshöhe  $z_e$  ist bei freistehenden Dächern die Dachhöhe, bei Wänden die Höhe h der Oberkante der Wand (siehe Bild 7.22).

Tabelle 7.10 — Reibungsbeiwerte  $c_{\mathrm{fr}}$  für Wände, Brüstungen und Dachflächen

Oberfläche	Reibungsbeiwert $c_{fr}$
glatt (z. B. Stahl, glatter Beton)	0,01
rauh (z.B. rauher Beton, geteerte Flächen)	0,02
sehr rauh (z. B. gewellt, gerippt, gefaltet)	0,04



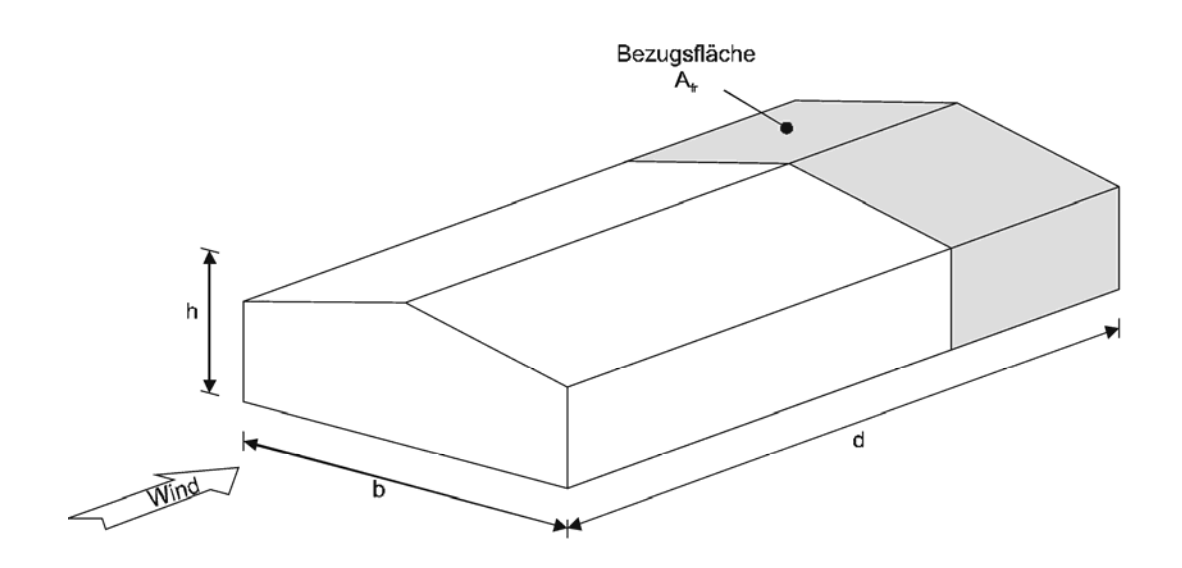


Bild 7.22 — Bezugsflächen für Reibung

EN 1991-1-4:2005 + A1:2010 + AC:2010 (D)

## 7.6 Kraftbeiwerte für Bauteile mit rechteckigem Querschnitt

(1) Der Kraftbeiwert  $c_{\rm f}$  für Bauteile mit rechteckigem Querschnitt bei Anströmung senkrecht zu einer Querschnittsseite ist

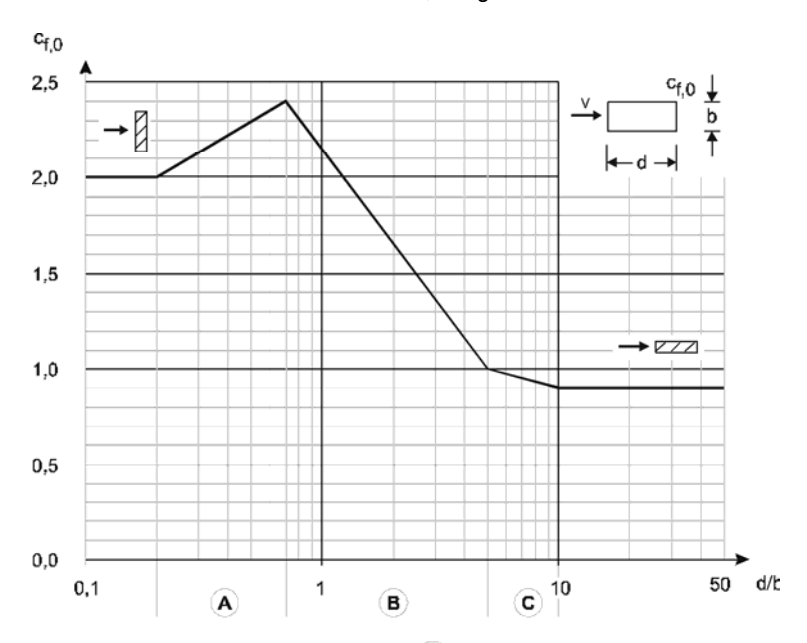
$$c_{\rm f} = c_{\rm f,0} \cdot \psi_{\rm r} \cdot \psi_{\lambda} \tag{7.9}$$

#### Dabei ist

- $c_{\text{f,0}}$  Grundkraftbeiwert nach Bild 7.23 für einen scharfkantigen Rechteckquerschnitt mit unendlicher Schlankheit  $\lambda$ ;
- y<sub>r</sub> Abminderungsfaktor f
  ür quadratische Querschnitte mit abgerundeten Ecken in Abh
  ängigkeit von der Reynoldszahl;
- $\psi_{\lambda}$  Abminderungsfaktor zur Berücksichtigung der Schlankheit nach 7.13.

ANMERKUNG 1 Die Zahlenwerte für  $\psi_r$  können im Nationalen Anhang angegeben werden. Empfehlungen für obere Grenzwerte sind in Bild 7.24 angegeben. Diese sind für schwach turbulente Bedingungen ermittelt worden und liegen auf der sicheren Seite.

ANMERKUNG 2 Bild 7.24 darf auch für Gebäude mit h/d > 5,0 angewendet werden.



Kurvendefinitionen in den Abschnitten: (A) c<sub>1,5</sub>= 0,3193 · In(d/b) + 2,5139

B c<sub>10</sub>=-0,7121 · ln(d/b) + 2,1460

(c) c<sub>ta</sub>=-0,1443 · ln(d/b) + 1,2322

Bild 7.23 — Grundkraftbeiwerte  $c_{\rm f,0}$  für unendlich schlanke, scharfkantige Rechteckquerschnitte

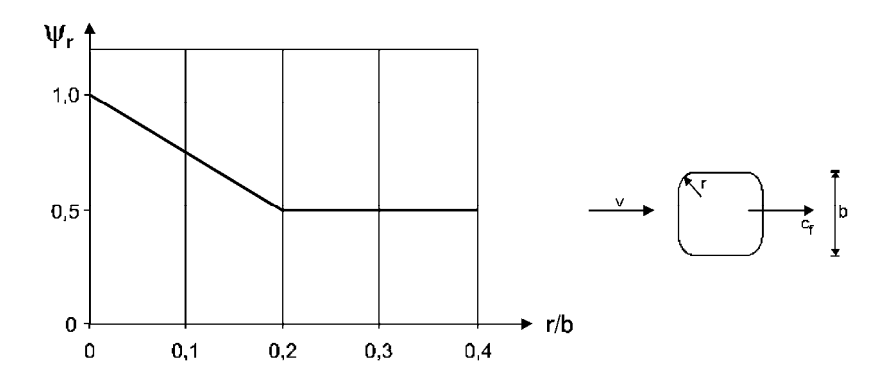


Bild 7.24 — Abminderungsfaktor  $\psi_{\rm r}$  für quadratische Querschnitte mit abgerundeten Ecken

(2) Die Bezugsfläche Aref ist

$$A_{\text{ref}} = l \cdot b \tag{7.10}$$

Dabei ist

Länge des betrachteten Abschnittes.

Die Bezugshöhe  $z_{\rm e}$  ist gleich der maximalen Höhe des betrachteten Abschnitts über Geländeoberkante.

(3) Für plattenartige Querschnitte (d/b < 0,2) kann es bei bestimmten Anströmrichtungen zu einem Anstieg der  $c_{\rm f}$ -Werte infolge von Auftriebskräften um bis zu 25 % kommen.

## 7.7 Kraftbeiwerte für Bauteile mit kantigem Querschnitt

(1) Der Kraftbeiwert c<sub>f</sub> von Bauteilen mit kantigem Querschnitt (siehe Bild 7.25) wird wie folgt berechnet:

$$c_{f} = c_{f,0} \cdot \psi_{\lambda} \tag{7.11}$$

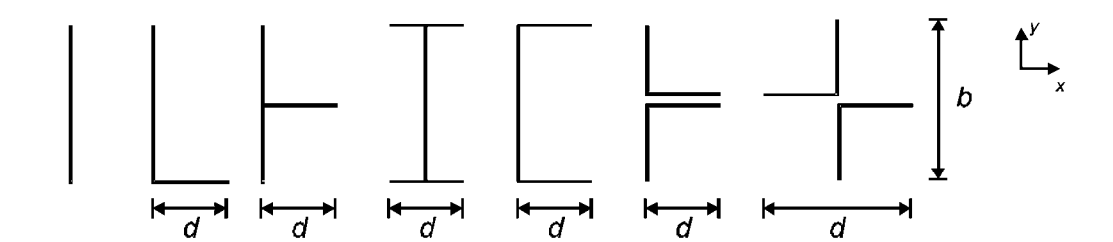
Dabei ist

 $\psi_{\lambda}$  Abminderungsfaktor zur Berücksichtigung der Schlankheit (siehe 7.13)

ANMERKUNG 1 Die Zahlenwerte für  $c_{f,0}$  sind im Nationalen Anhang angegeben werden. Der empfohlene Wert für Bauteile mit unendlicher Schlankheit ist  $c_{f,0}$  = 2,0. Dieser Wert beruht auf Messungen unter schwach turbulenten Bedingungen und liegt auf der sicheren Seite.

ANMERKUNG 2 Die Gleichung (7.11) und Bild 7.25 dürfen auch für Gebäude mit h/d > 5,0 angewendet werden.

## EN 1991-1-4:2005 + A1:2010 + AC:2010 (D)



#### Bild 7.25 — Kantige Bauteilquerschnitte

(2) Die Bezugsflächen  $A_{ref}$  (siehe Bild 7.25) für die Windkräfte sind:

in x-Richtung: 
$$A_{\text{ref},x} = l \cdot b$$
 (7.12)  
in x-Richtung:  $A_{\text{ref},y} = l \cdot d$ 

#### Dabei ist

- l Länge des betrachteten Bauteils.
- (3) Die Bezugshöhe  $z_e$  ist gleich der maximalen Höhe des betrachteten Abschnitts über Geländeoberkante.

### 7.8 Kraftbeiwerte für Bauteile mit regelmäßigem polygonalem Querschnitt

(1) Der Kraftbeiwert cf von Bauteilen mit regelmäßigem polygonalen Querschnitt mit fünf oder mehr Seiten ist

$$c_{\rm f} = c_{\rm f,0} \cdot \psi_{\lambda} \tag{7.13}$$

### Dabei ist

- $\psi_{\lambda}$  Abminderungsfaktor zur Berücksichtigung der Schlankheit nach 7.13;
- $c_{\text{f,0}}$  Grundkraftbeiwert für Bauteile mit unendlicher Schlankheit.

ANMERKUNG Die Zahlenwerte für  $c_{f,0}$  können im Nationalen Anhang gegeben werden. Empfohlene konservative Werte, die durch Messungen bei schwach turbulenten Bedingungen ermittelt wurden, sind in Tabelle 7.11 angegeben.

Tabelle 7.11 —Grundkraftbeiwerte  $c_{\rm f,0}$  für regelmäßige polygonale Querschnitte

AC)

Anzahl der Seiten	Querschnitt	Oberflächen- beschaffenheit und Ausbildung der Kanten	Reynoldszahl <i>Re</i> <sup>a</sup>	c <sub>f,o</sub>
5	Fünfeck	alle	alle	1,80
6	Sechseck	alle	alle	1,60
8	Achteck	glatte Oberfläche b	$Re \leq 2,4\cdot10^5$	1,45
		r/b < 0,075	$Re \ge 3.10^5$	1,30
		glatte Oberfläche b	$Re \leq 2.10^5$	1,30
		$r/b \ge 0.075$	$Re \ge 7.10^5$	1,10
10	Zehneck	alle	alle	1,30
12	Zwölfeck	glatte Oberfläche <sup>c</sup> Kanten abgerundet	$2 \cdot 10^5 < Re < 1,2 \cdot 10^6$	0,90
		alle anderen	<i>Re</i> < 4·10 <sup>5</sup>	1,30
			$Re > 4.10^5$	1,10
16-18	Sechszehneck bis Achtzehn-	glatte Oberfläche <sup>c</sup> Kanten abgerundet	$Re < 2.10^5$	wie Kreiszylinder, siehe (7.9)
	eck		$2 \cdot 10^5 \le Re < 1, 2 \cdot 10^6$	0,70

<sup>&</sup>lt;sup>a</sup> Reynoldszahlen Re für  $v = v_{\rm m}$  und Werte für  $v_{\rm m}$  siehe 4.3; Re ist in 7.9 definiert.

(2) Bei Gebäuden mit h/d > 5 darf  $c_f$  nach der Formel (7.13) ermittelt werden.

ANMERKUNG Siehe auch Tabelle 7.11 und Bild 7.26 (AC)

b r = Ausrundungsradius, b = Durchmesser des umschreibenden Kreises, siehe Bild 7.26.

<sup>&</sup>lt;sup>c</sup> Ermittelt in Windkanaluntersuchungen an verzinkten Section-Modellen mit einem Querschnitt mit b = 0,3 m und einem Ausrundungsradius von  $0,06 \cdot b$ .

## EN 1991-1-4:2005 + A1:2010 + AC:2010 (D)

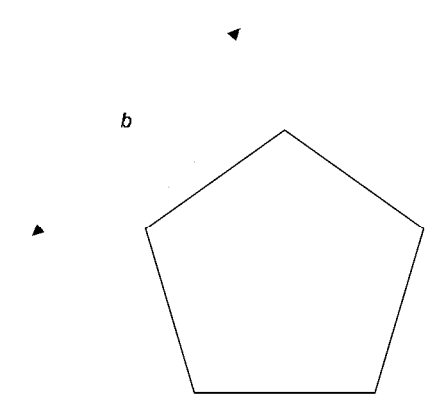


Bild 7.26 — Bauteil mit regelmäßigem polygonalem Querschnitt

(3) Die Bezugsfläche  $A_{ref}$  ist

$$A_{\text{ref}} = l \cdot b \tag{7.14}$$

Dabei ist

- Länge des betrachteten Bauteils;
- b Durchmesser des umschreibenden Kreises, siehe Bild 7.26.
- (4) Die Bezugshöhe  $z_{\rm e}$  ist gleich der maximalen Höhe des betrachteten Bauteilabschnitts über Geländeoberkante.

## 7.9 Kreiszylinder

### 7.9.1 Außendruckbeiwerte

(1) Der Außendruckbeiwert  $c_{pe}$  für zylindrische Querschnitte ist abhängig von dessen Reynoldszahl Re. Diese ist wie folgt definiert:

$$Re = \frac{b \cdot v(z_e)}{v} \tag{7.15}$$

Dabei ist

- b Durchmesser;
- $\nu$  kinematische Zähigkeit der Luft ( $\nu = 15 \cdot 10^{-6} \text{ m}^2/\text{s}$ );
- $v(z_e)$  Böenwindgeschwindigkeit nach Anmerkung 2 in Bild 7.27 in der Höhe  $z_e$  (siehe Bild 6.1).

(2) Der Außendruckbeiwert  $c_{\rm pe}$  für zylindrische Querschnitte ist

$$c_{\rm pe} = c_{\rm p,0} \cdot \psi_{\lambda\alpha} \tag{7.16}$$

Dabei ist

 $c_{\text{p,0}}$  Außendruckbeiwert eines Zylinders mit unendlicher Schlankheit  $\lambda$  (siehe Absatz (3));

ψ<sub>λα</sub> Abminderungsfaktor zur Berücksichtigung der Umströmung der Enden eines Kreiszylinders (siehe Absatz (4)).

- (3) In Bild 7.27 ist der Außendruckbeiwert  $c_{\rm p,0}$  für verschiedene Reynoldszahlen in Abhängigkeit des Winkels  $\alpha$  über dem halben Umfang dargestellt
- (4) Der Abminderungsfaktor zur Berücksichtigung der Schlankheit  $\psi_{\lambda\alpha}$  ist

$$\psi_{\lambda\alpha} = 1 \qquad \qquad \text{für} \qquad 0^{\circ} \le \alpha \le \alpha_{\text{min}}$$

$$\psi_{\lambda\alpha} = \psi_{\lambda} + \left(1 - \psi_{\lambda}\right) \cdot \cos\left(\frac{\pi}{2} \cdot \left(\frac{\alpha - \alpha_{\text{min}}}{\alpha_{\text{A}} - \alpha_{\text{min}}}\right)\right) \quad \text{für} \qquad \alpha_{\text{min}} < \alpha < \alpha_{\text{A}}$$

$$\psi_{\lambda\alpha} = \psi_{\lambda} \qquad \qquad \text{für} \qquad \alpha_{\text{A}} \le \alpha \le 180^{\circ}$$

$$(7.17)$$

Dabei ist

 $\alpha_A$  Lage der Strömungsablösung am Umfang (siehe Bild 7.27);

 $\psi_{\lambda}$  der Abminderungsfaktor zur Berücksichtigung der Schlankheit (siehe 7.13).

ANMERKUNG 1 Zwischenwerte dürfen linear interpoliert werden

ANMERKUNG 2 Typische Werte für Re,  $\alpha_{\min}$ ,  $c_{\text{p0,min}}$ ,  $\alpha_{\text{A}}$  und  $c_{\text{p0,h}}$ , sind in Tabelle 7.12 angegeben. Das Bild 7.27 und die Tabelle 7.12 basieren auf der Reynoldszahl mit  $v = \sqrt{\frac{2 \cdot q_{\text{p}}}{\rho}}$  und  $q_{\text{p}}$  nach 4.5.

ANMERKUNG 3 Das Bild 7.27 basiert auf einer äquivalenten Rauigkeit k/b kleiner  $5\cdot10^{-4}$ . Typische Werte für die Rauigkeitstiefe k sind in Tabelle 7.13 angegeben.

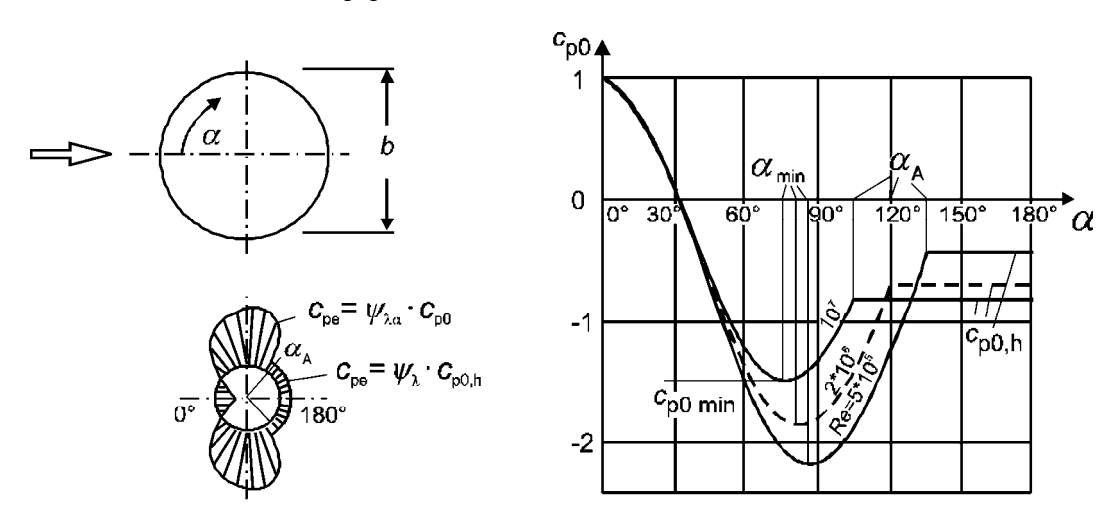


Bild 7.27 — Druckverteilung über einen unendlich schlanken, zylindrischen Querschnitt

EN 1991-1-4:2005 + A1:2010 + AC:2010 (D)

Tabelle 7.12 — Typische Werte für Re,  $\alpha_{\min}$ ,  $c_{\text{p0,min}}$ ,  $\alpha_{\text{A}}$  und  $c_{\text{p0,h}}$ , für unendlich schlanke, kreisrunde, zylindrische Querschnitte

Re	$lpha_{ ext{min}}$	$c_{p0,min}$	$\alpha_{A}$	$c_{\sf p0,h}$
5·10 <sup>5</sup>	85	-2,2	135	-0,4
2·10 <sup>6</sup>	80	-1,9	120	-0,7
10′	75	-1,5	105	-0,8
Dabei ist				

Lage des minimalen Druckes in [°] Wert des minimalen Druckbeiwertes  $\mathcal{C}_{p0,min}$ Lage der Ablöselinie in [°]

Heckdruckbeiwert

(5) Die Bezugsfläche A<sub>ref</sub> ist

$$A_{\text{ref}} = l \cdot b \tag{7.18}$$

(6) Die Bezugshöhe ze ist gleich der größten Höhe des betrachteten Bauteilabschnitts über Geländeoberkante.

#### 7.9.2 Kraftbeiwerte

(1) Der Kraftbeiwert  $c_f$  eines endlichen, kreisrunden Zylinders ist

$$c_{\rm f} = c_{\rm f,0} \cdot \psi_{\lambda} \tag{7.19}$$

Dabei ist

c<sub>f,0</sub> Grundkraftbeiwert eines Zylinders mit unendlicher Schlankheit (siehe Bild 7.28);

 $\psi_{\lambda}$  Abminderungsfaktor zur Berücksichtigung der Schlankheit (siehe 7.13).

ANMERKUNG 1 Bild 7.28 darf auch für Gebäude mit h/d > 5,0 angewandt werden.

Bild 7.28 basiert auf der Reynoldszahl mit  $v=\sqrt{\frac{2\cdot q_{\rm p}}{\rho}}$  und  $q_{\rm p}$  nach Abschnitt 4.5. **ANMERKUNG 2** 

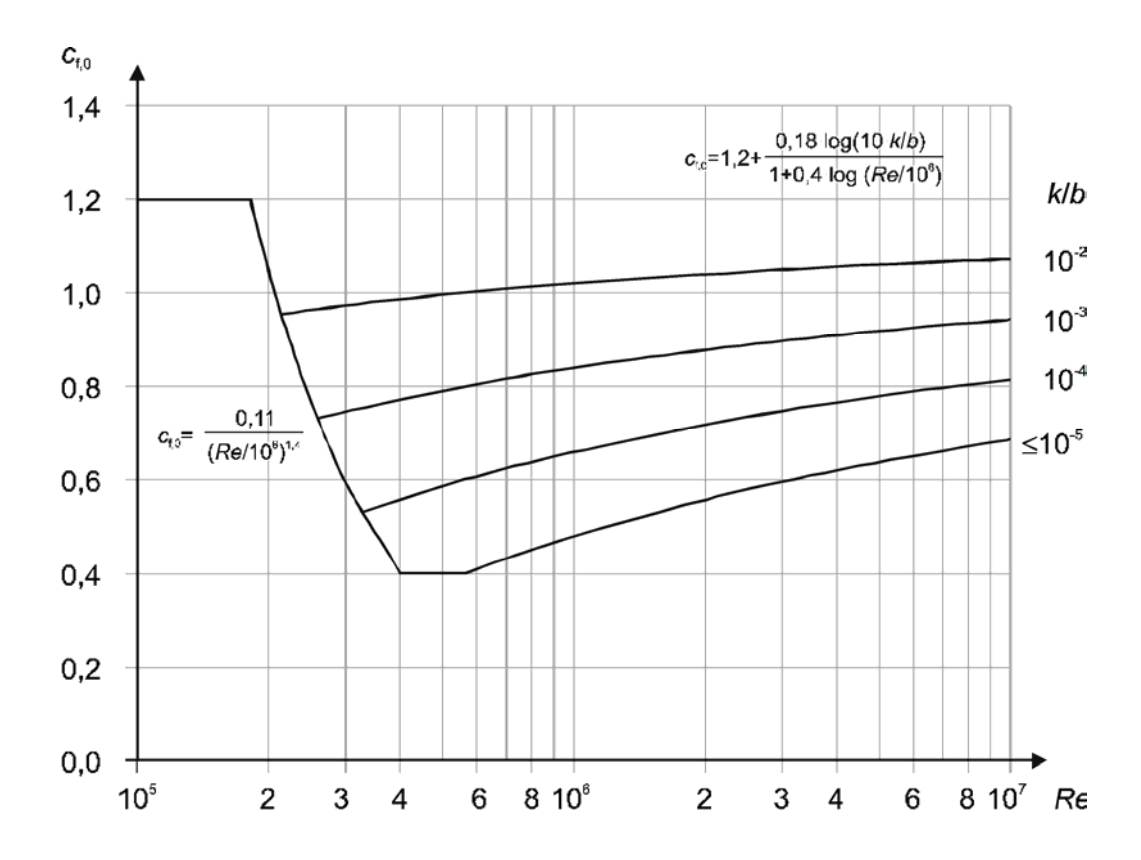


Bild 7.28 — Grundkraftbeiwert  $c_{\rm f,0}$  von kreisrunden Zylindern mit unendlicher Schlankheit für verschiedene bezogene Rauigkeiten k/b

(2) Merte für die äquivalente Rauigkeit k von neuen Flächen sind in Tabelle 7.13 angegeben.

ANMERKUNG Für gealterte Flächen dürfen die Werte für die äquivalente Rauigkeit k im Nationalen Anhang festgelegt werden. A

(3) Für Drahtlitzenseile ist der Grundkraftbeiwert  $c_{\rm f,0}$  unabhängig von der Reynoldszahl mit  $c_{\rm f,0}$  = 1,2 anzusetzen.

	••	
Tabelle 7.13 —	A	Danialrait 1
Tabelle / 13 —	Anilivalente	Raillokeit <i>k</i>

Oberfläche	äquivalente Rauigkeit	Oberfläche	äquivalente Rauigkeit
	K		K
	mm		mm
Glas	0,0015	glatter Beton	0,2
poliertes Metall	0,002	gehobeltes Holz	0,5
dünn aufgetragene Farbe	0,006	rauher Beton	1,0
Sprühfarbe	0,02	grob gesägtes Holz	2,0
blanker Stahl	0,05	Rost	2,0
Gusseisen	0,2	Mauerwerk	3,0
verzinkter Stahl	0,2		

(4) Die Bezugsfläche Aref ist

$$A_{\text{ref}} = l \cdot b \tag{7.20}$$

#### Dabei ist

- die Länge des betrachteten Bauteils.
- (5) Die Bezugshöhe  $z_e$  ist gleich der Höhe des betrachteten Bauteilabschnitts über Geländeoberkante.
- (6) Bei Zylindern nahe einer ebenen Oberfläche mit einem relativen lichten Abstand  $z_g/b < 1,5$  vom Boden (siehe Bild 7.29) sind Sonderuntersuchungen erforderlich.

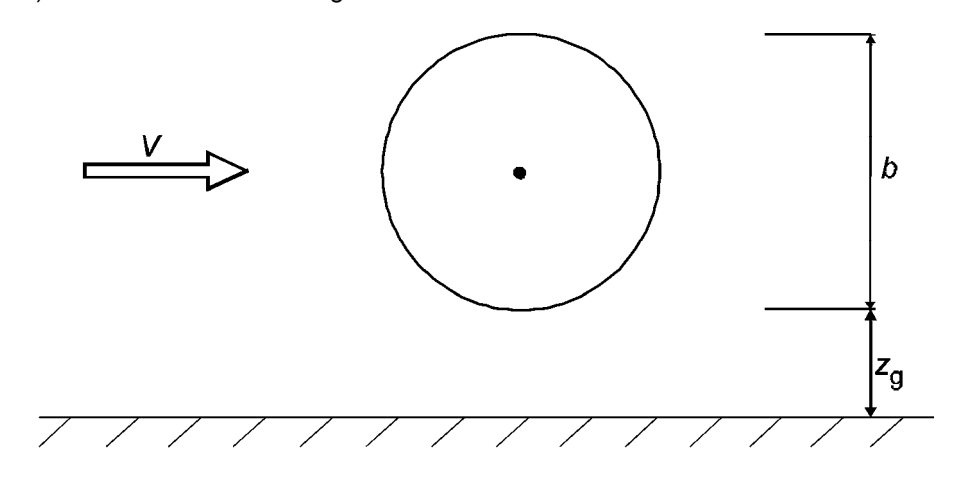


Bild 7.29 — Zylinder nahe einer ebenen Oberfläche

### 7.9.3 Kraftbeiwerte für vertikale Zylinder in Reihenanordnung

Bei Anordnung von Zylindern in Reihe hängt der Grundkraftbeiwert  $c_{\rm f,0}$  von der Windrichtung bezogen auf die Reihenachse und vom Verhältnis des gegenseitigen Abstandes a zum mittleren Durchmesser b ab (siehe Tabelle 7.14). Der Kraftbeiwert  $c_{\rm f}$  für jeden Zylinder ist

$$c_{\rm f} = c_{\rm f,0} \cdot \psi_{\lambda} \cdot \kappa \tag{7.21}$$

#### Dabei ist

 $c_{f,0}$  der Grundkraftbeiwert eines Zylinders mit unendlicher Schlankheit (siehe 7.9.2);

ψλ der Abminderungsfaktor zur Berücksichtigung der Schlankheit (siehe 7.13);

 $\kappa$  der Erhöhungsfaktor nach Tabelle 7.14 (für die ungünstigste Anströmrichtung).

Tabelle 7.14 — Erhöhungsfaktor  $\kappa$  für in Reihe angeordnete Kreiszylinder

alb	ĸ	a a
A <sub>1</sub> 2,5 < a/b < 3,5 (A <sub>1</sub>	1,15	
3,5 < a/b < 30	$\kappa = \frac{210 - \frac{a}{b}}{180}$	
<i>alb</i> > 30	1,00	

- a Abstand
- b Durchmesser

ANMERKUNG Für a/b < 2.5 dürfen die Werte für den Erhöhungsfaktor  $\kappa$  im Nationalen Anhang festgelegt werden.

## 7.10 Kraftbeiwerte für Kugeln

(1) Der Kraftbeiwert  $c_{f,x}$  für eine Kugel in Windrichtung ist eine Funktion der Reynoldszahl Re (siehe 7.9.1) und der bezogenen Rauigkeit k/b (siehe Tabelle 7.13).

ANMERKUNG 1 Der Nationale Anhang kann Werte für den Kraftbeiwert  $c_{f,x}$  vorgeben. Empfohlene Werte aufgrund von Messungen unter schwach turbulenten Bedingungen sind in Bild 7.30 angegeben. Bild 7.30 basiert auf einer Reynoldszahl

$$\label{eq:volume} \text{mit } v = \sqrt{\frac{2 \cdot q_{\text{p}}}{\rho}} \text{ und } q_{\text{p}} \text{ nach 4.5.}$$

ANMERKUNG 2 Die Werte in Bild 7.30 sind begrenzt auf Werte  $z_g > b/2$ , wobei  $z_g$  den lichten Abstand der Kugel zu einer ebenen Oberfläche bezeichnet und b der Kugeldurchmesser ist (siehe Bild 7.31). Bei  $z_g < b/2$  ist der Kraftbeiwert  $c_{f,x}$  mit dem Faktor 1,6 zu multiplizieren.

## EN 1991-1-4:2005 + A1:2010 + AC:2010 (D)

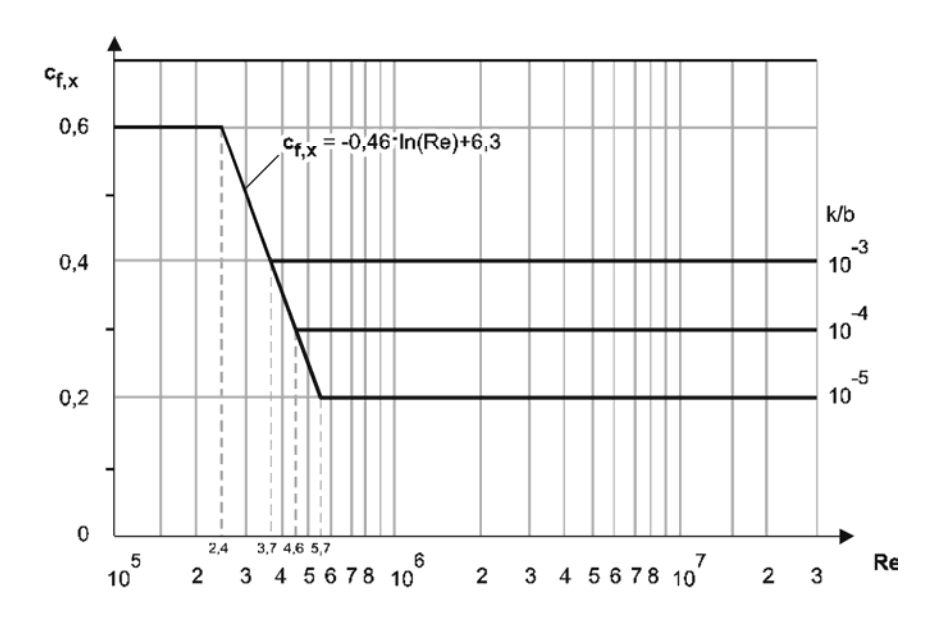


Bild 7.30 — Kraftbeiwert einer Kugel in Windrichtung

(2) Der vertikale Kraftbeiwert  $c_{f,z}$  von Kugeln ist nach Gleichung (7.22)

$$c_{f,z} = 0 für z_g > \frac{b}{2}$$
 (7.22) 
$$c_{f,z} = +0.60 für z_g < \frac{b}{2}$$

(3) Die Bezugsfläche  $A_{\text{ref}}$  ist nach Gleichung (7.23)

$$A_{ref} = \pi \cdot \frac{b^2}{4} \tag{7.23}$$

(4) Die Bezugshöhe ist anzusetzen mit

$$z_e = z_g + \frac{b}{2} (7.24)$$

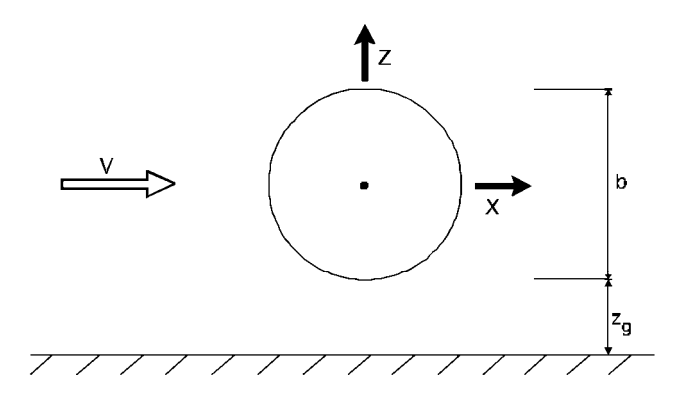


Bild 7.31 — Kugel nahe einer ebenen Oberfläche

### 7.11 Kraftbeiwerte für Fachwerke, Gitter und Gerüste

(1) Der Kraftbeiwert c<sub>f</sub> für Fachwerke, Gitter und Gerüste ist nach Gleichung (7.25)

$$c_{\mathsf{f}} = c_{\mathsf{f},\mathsf{0}} \cdot \psi_{\lambda} \tag{7.25}$$

#### Dabei ist

- $c_{\rm f,0}$  Grundkraftbeiwert für Fachwerke, Gitter und Gerüste mit unendlicher Schlankheit. Er wird in den Bildern 7.33 bis 7.35 als Funktion des Völligkeitsgrades  $\varphi$  (7.11 (2))und der Reynoldszahl Re angegeben;
- Reynoldszahl aufgrund des mittleren Stabdurchmessers  $b_i$ , siehe Anmerkung 1;
- $ψ_λ$  Abminderungsfaktor zur Berücksichtigung der Schlankheit λ (siehe 7.13), die mit l und der Breite b = d, nach Bild 7.32 berechnet wird.

ANMERKUNG 1 AND Bild 7.35 basiert (AC) auf der Reynoldszahl mit  $v=\sqrt{\frac{2\cdot q_p}{\rho}}$  und  $q_p$  nach 4.5.

AD ANMERKUNG 2 Für Gerüste ohne luftdichte Einhausung, die durch Abschattungseffekte massiver Bauten beeinflusst werden, darf der Nationale Anhang Abminderungsfaktoren angeben. Empfohlene Werte sind in EN 12811 angegeben.

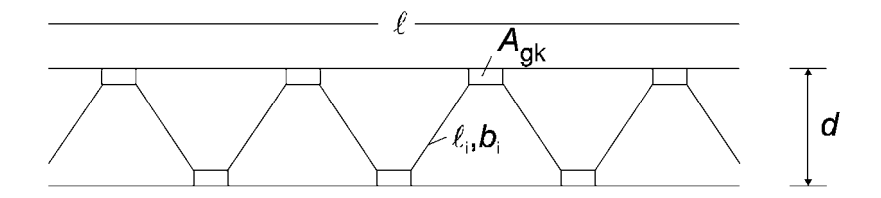


Bild 7.32 — Fachwerk, Gitter oder Gerüst

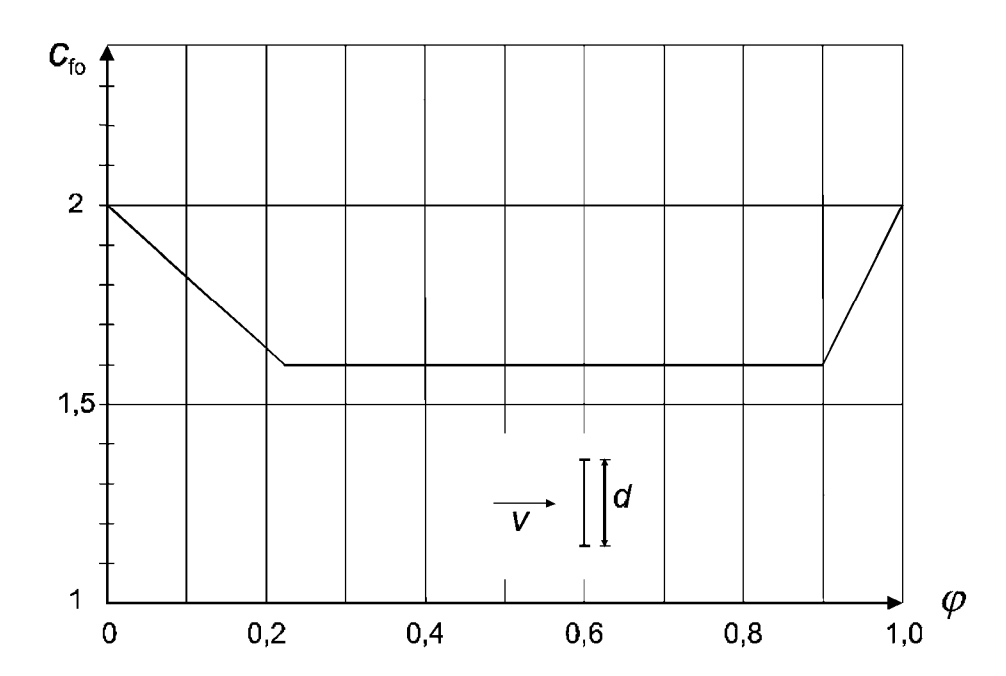


Bild 7.33 — Grundkraftbeiwert  $c_{\rm f,0}$  für ein ebenes Fachwerk aus abgewinkelten scharfkantigen Profilen in Abhängigkeit vom Völligkeitsgrad  $\varphi$ 

## EN 1991-1-4:2005 + A1:2010 + AC:2010 (D)

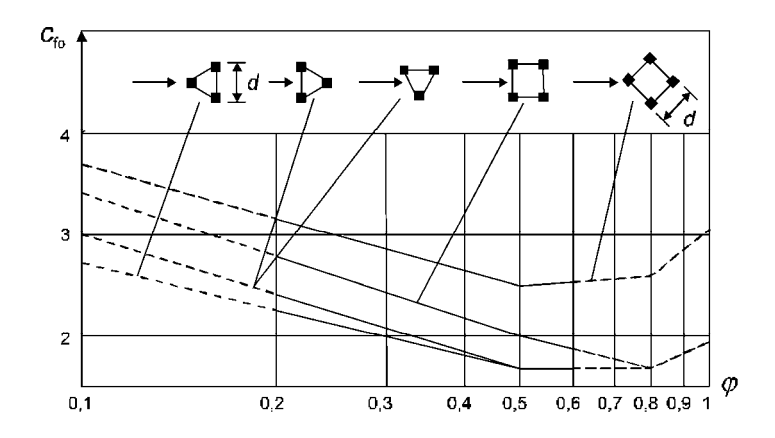


Bild 7.34 — Grundkraftbeiwert  $c_{\rm f,0}$ , für ein räumliches Fachwerk aus abgewinkelten und scharfkantigen Profilen in Abhängigkeit vom Völligkeitsgrad  $\varphi$ 

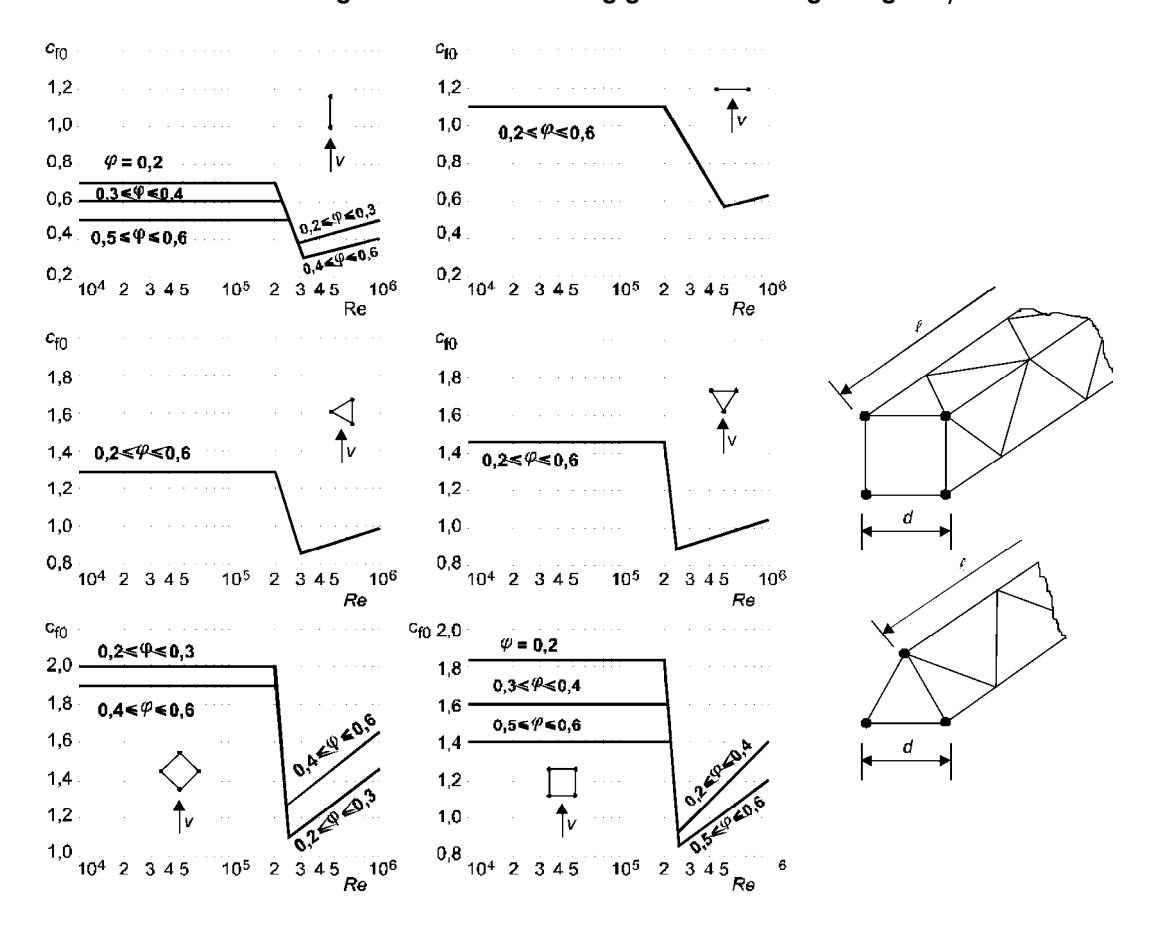


Bild 7.35 — Grundkraftbeiwert  $c_{\rm f,0}$  für ebene und räumliche Fachwerke aus Profilen mit kreisförmigem Querschnitt

(2) Der Völligkeitsgrad  $\varphi$  ist durch (7.26) definiert:

$$\varphi = \frac{A}{A_{\rm c}} \tag{7.26}$$

Dabei ist

- $A \qquad \text{die Summe der auf die betrachtete Seite projizierten Flächen der Stäbe und Knotenbleche } A = \sum_i b_i \cdot \ell_i + \sum_k A_{\rm gk} \ . \ \text{Bei räumlichen Fachwerken ist die Luvseite zu betrachten};$
- $A_c$  die senkrechte Projektion der von den Umrandungen der Konstruktion eingeschlossenen Fläche  $A_c = d l$ ;
- l Länge des Fachwerks;
- d Breite des Fachwerks
- *b*<sub>i</sub>, *l*<sub>i</sub> die Projektion der Breite und Länge des Einzelstabes *i* (siehe Bild 7.32);
- $A_{ak}$  Fläche des Knotenbleches k.
- (3) Die Bezugsfläche  $A_{ref}$  ist definiert als:

$$A_{\mathsf{ref}} = A \tag{7.27}$$

(4) Die Bezugshöhe  $z_{\rm e}$  ist gleich der Höhe der Oberkante des betrachteten Abschnitts.

## 7.12 Flaggen

- (1) Dir Kraftbeiwerte  $c_{\rm f}$  und Bezugsflächen  $A_{\rm ref}$  für Flaggen sind in Tabelle 7.15 angegeben.
- (2) Die Bezugshöhe  $z_{\rm e}$  ist gleich der Höhe bis zur Oberkante der Flagge über Geländeoberkante.

## EN 1991-1-4:2005 + A1:2010 + AC:2010 (D)

Tabelle 7.15 — Kraftbeiwerte  $c_{\rm f}$  für Flaggen

Flaggen	$A_{ref}$	C <sub>f</sub>
allseitig befestigte Flaggen  h  Kraft wirkt senkrecht auf Flaggenebene	h · 1	1,8
a) frei flatternde Flaggen	h· l	425
b)  Kraft wirkt in Flaggenebene	0,5 · h · l	$0.02 + 0.7 \cdot \frac{m_{\rm f}}{\rho \cdot h} \cdot \left(\frac{A_{\rm ref}}{h^2}\right)^{-1.25}$

Dabei ist

*m*<sub>f</sub> Masse je Flächeneinheit der Flagge

ρ Luftdichte (siehe 4.5(1) ANMERKUNG 2) (ΔC

ze Höhe der Flagge über Grund

ANMERKUNG Die Gleichungen schließen die dynamischen Kräfte aufgrund des Flattereffektes ein.

## 7.13 Effektive Schlankheit $\lambda$ und Abminderungsfaktor $\psi_{\lambda}$ zur Berücksichtigung der Schlankheit

(1) Der Abminderungsfaktor  $\psi_{\lambda}$  zur Berücksichtigung der Schlankheit ist abhängig von der effektiven Schlankheit  $\lambda$  zu ermitteln.

ANMERKUNG Die Grundkraftbeiwerte  $c_{f,0}$  in 7.6 bis 7.12 basieren auf Messungen an Tragwerken unendlicher Schlankheit ohne Einfluss durch Bodeneffekte. Der Abminderungsfaktor zur Berücksichtigung der Schlankheit berücksichtigt den geringeren Strömungswiderstand an den frei umströmten Enden endlicher Tragwerke. Das Bild 7.36 und die Tabelle 7.16 beruhen auf Messungen unter schwach turbulenten Bedingungen. Werte, die Turbulenzeffekte berücksichtigen, können im Nationalen Anhang angegeben werden.

(2) Die effektive Schlankheit  $\lambda$  ist abhängig von den Abmessungen des Bauteils und seiner Lage.

ANMERKUNG Der Nationale Anhang kann Werte für die effektive Schlankheit  $\lambda$  und für  $\psi_{\lambda}$  vorgeben. Empfohlene Werte für  $\lambda$  sind in Tabelle 7.16 angegeben. Richtwerte für  $\psi_{\lambda}$  für verschiedene Völligkeitsbeiwerte  $\varphi$  sind in Bild 7.36 angegeben.

Tabelle 7.16 —Werte für die effektive Schlankheit λ von Zylindern, Vieleck- und Rechteckquerschnitten, scharfkantige Bauteile und Fachwerk- und Gitterkonstruktionen

Nr.	Lage des Baukörpers, Anströmung senkrecht zur Zeichenebene	Effektive Schlankheit $\lambda$
1	$ \begin{array}{c cccc} \hline b & \downarrow & $	Für polygonale, rechteckige und scharfkantige Querschnitte sowie für Fachwerke:  für ℓ ≥ 50 m, λ=1,4 ℓ/b oder λ=70, der kleinere Wert ist maßgebend
2	$b = b_1 \le 1,5b$	für $\ell$ < 15 m, $\lambda$ =2 $\ell$ /b oder $\lambda$ =70, der kleinere Wert ist maßgebend  Für Kreiszylinder: für $\ell$ ≥ 50 m, $\lambda$ =0,7 $\ell$ /b oder $\lambda$ =70, der kleinere Wert ist maßgebend
3	$\frac{b}{2}$	für ℓ < 15 m, λ=ℓ/b oder λ=70, der kleinere Wert ist maßgebend  Zwischenwerte sind linear zu interpolieren
4	$b_1 \ge 2.5b$ $b \downarrow b$ $\downarrow b$ $\downarrow b$ $\downarrow z_g \ge 2b$	für ℓ ≥ 50 m, λ=0,7 ℓ/b oder λ=70, der größere Wert ist maßgebend für ℓ <15 m, λ=ℓ/b oder λ=70, der größere Wert ist maßgebend Zwischenwerte sind linear zu interpolieren

## EN 1991-1-4:2005 + A1:2010 + AC:2010 (D)

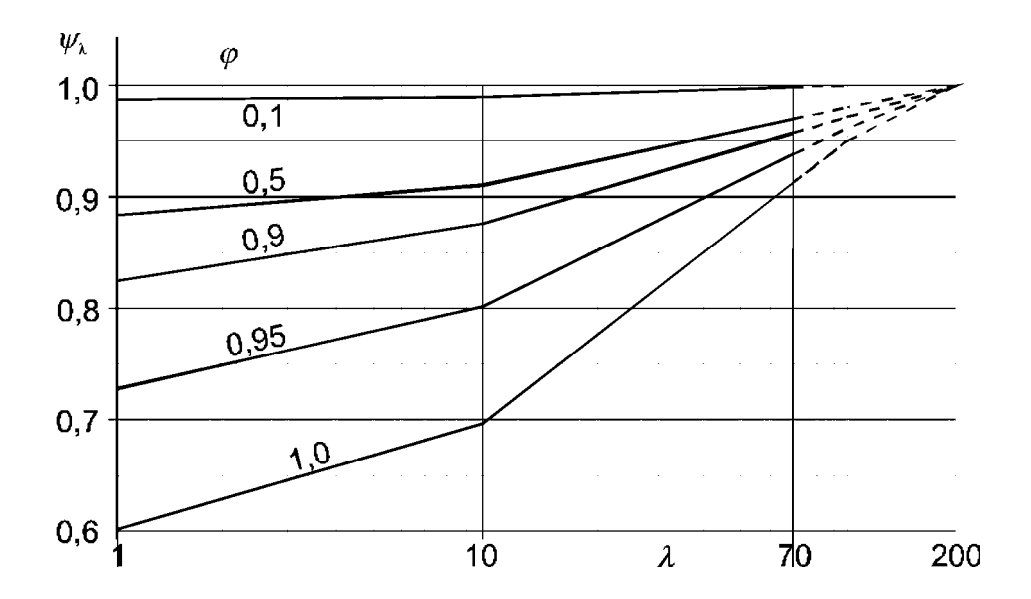


Bild 7.36 —Abminderungsfaktor  $\psi_{\lambda}$  in Abhängigkeit der effektiven Schlankheit  $\lambda$  und für verschiedene Völligkeitsgrade  $\varphi$ 

(3) Der Völligkeitsgrad  $\phi$  ist wie folgt definiert (siehe Bild 7.37):

$$\varphi = \frac{A}{A_c} \tag{7.28}$$

## Dabei ist

- A Summe der projizierten Flächen der einzelnen Teile;
- $A_{\rm c}$  umschlossene Fläche  $A_{\rm c}$  =  $\ell \cdot b$ .

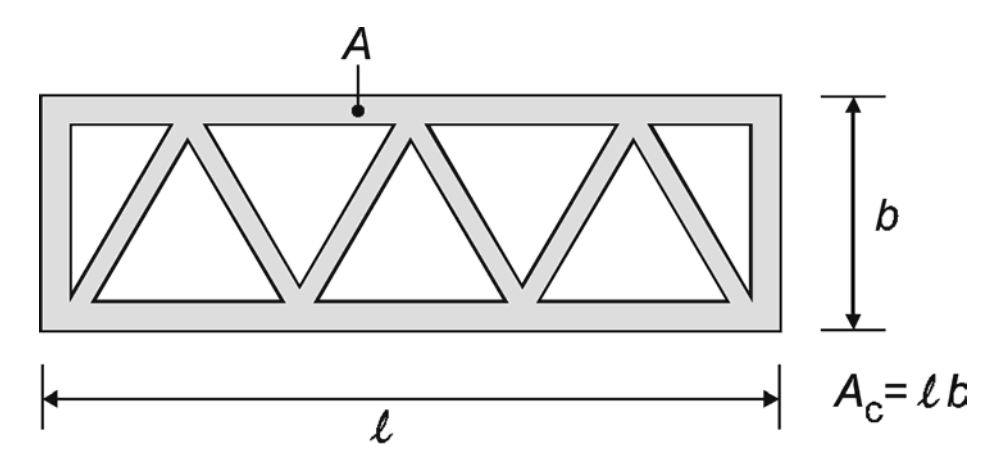


Bild 7.37 — Definition des Völligkeitsgrades  $\varphi$ 

## 8 Windeinwirkungen auf Brücken

## 8.1 Allgemeines

(1) Dieser Abschnitt ist nur gültig für ein- und mehrfeldrige Brücken mit konstanter Bauhöhe und mit nur einem Überbau mit Querschnitten nach Bild 8.1.

ANMERKUNG 1 Windeinwirkungen für andere Brückentypen (Bogenbrücken, Schrägseilbrücken, Brücken mit Überdachung, bewegliche Brücken und Brücken mit mehreren oder deutlich gekrümmten Überbauten) können im Nationalen Anhang angegeben werden.

ANMERKUNG 2 Der Winkel der Anströmrichtung gegenüber dem Überbau in vertikaler und horizontaler Ebene kann im Nationalen Anhang angegeben werden.

## EN 1991-1-4:2005 + A1:2010 + AC:2010 (D)

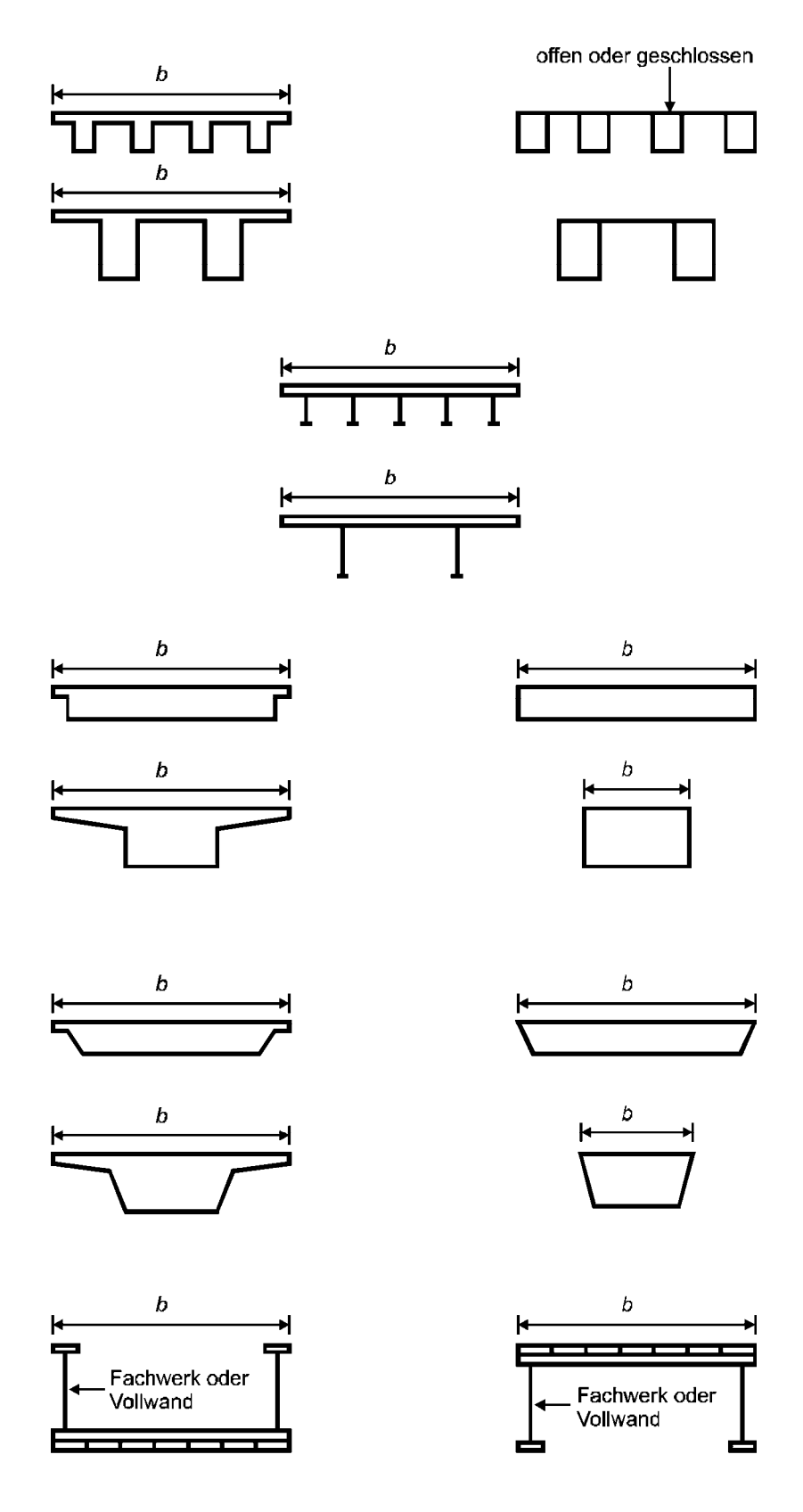


Bild 8.1 — Beispiele für Querschnitte normaler Brückenüberbauten

- (2) Windkräfte auf den Überbau werden in 8.2 und 8.3 behandelt. Kräfte auf die Brückenpfeiler werden in 8.4 behandelt. Windkräfte auf unterschiedliche Teile der Brücke sind als gleichzeitig wirkend anzusetzen , wenn ihre Wirkung ungünstig ist.
- (3) Windeinwirkungen auf Brückenbauwerke rufen Kräfte in x-, y- und z-Richtung nach Bild 8.2 hervor. Hierbei ist die

x-Richtung parallel zur Fahrbahnfläche, senkrecht zur Längsachse des Überbaus

y-Richtung die Richtung der Längsachse des Überbaus

z-Richtung senkrecht zur Fahrbahnfläche

Kräfte in x- und y-Richtung werden durch Windeinwirkungen aus unterschiedlichen Richtungen hervorgerufen und treten für gewöhnlich nicht gleichzeitig auf. Kräfte in z-Richtung können aus Windanströmungen aus unterschiedlichen Richtungen resultieren, sie sollten als gleichzeitig wirkend mit den Kräften in anderen Richtungen angesetzt werden, wenn sie ungünstig wirken und von nicht vernachlässigbarer Größenordnung sind.

ANMERKUNG Die für die Abmessungen von Brücken verwendeten Bezeichnungen unterscheiden sich von den in 1.7 definierten. Für Brückenbauwerke werden folgende Bezeichnungen (siehe Bild 8.2) verwendet:

- L Länge in y-Richtung
- b Breite in x-Richtung
- d Höhe in z-Richtung

Die Abmessungen L, b und d sind in verschiedenen Abschnitten präziser definiert. Wenn auf die Abschnitte 5 bis 7 verwiesen wird, sind die Bezeichnungen b und d entsprechend anzupassen. (AC)

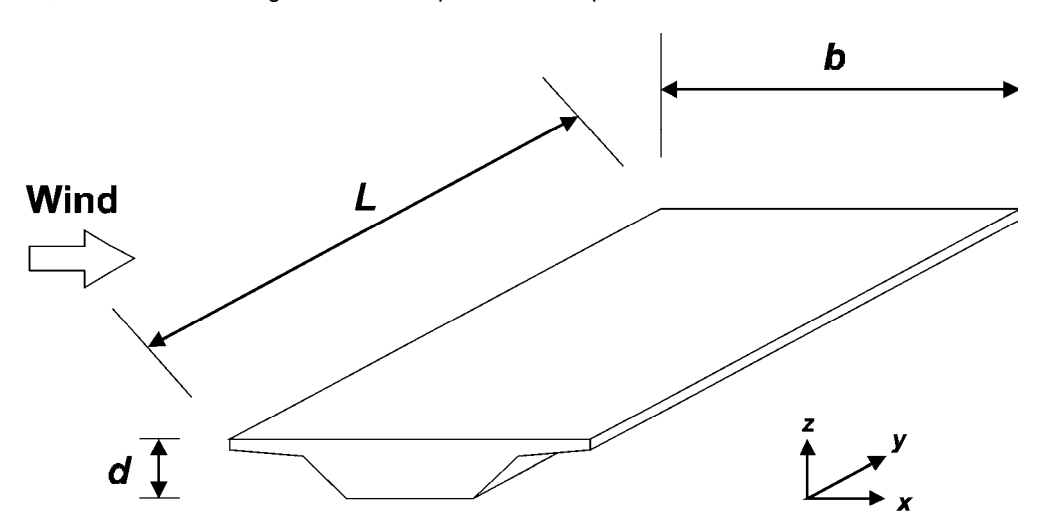


Bild 8.2 — Richtungen der Windeinwirkungen bei Brückenüberbauten

(4) Ist Straßenverkehr gleichzeitig mit Windeinwirkungen zu berücksichtigen (siehe A.2.2.1 und A.2.2.2 im Anhang der EN 1990), sollte die Begleiteinwirkung  $\psi_0 F_{wk}$  aus Wind auf die Brücke und Fahrzeuge auf den Wert  $F_W^*$  begrenzt werden, indem der Grundwert der Basisgeschwindigkeit  $v_{b,0}$  durch den Wert  $v_{b,0}^*$  ersetzt wird.

ANMERKUNG Der Nationale Anhang kann den Wert für  $v_{b,0}^*$  vorgeben. Der empfohlene Wert ist 23 m/s.

EN 1991-1-4:2005 + A1:2010 + AC:2010 (D)

(5) Wenn Eisenbahnverkehr gleichzeitig mit Windeinwirkungen zu berücksichtigen ist, (siehe A.2.2.1 und A.2.2.4 im Anhang der EN 1990), sollte die Begleiteinwirkung  $\psi_0 F_{wk}$  aus Wind auf die Brücke und Zügen auf den Wert  $F_W^{**}$  begrenzt werden, indem der Grundwert der Basisgeschwindigkeit  $\mathbf{v}_{\mathrm{b},\mathrm{0}}$  durch den Wert  $v_{b,\mathrm{0}}^{**}$  ersetzt wird.

ANMERKUNG Der Nationale Anhang kann den Wert für  $v_{b,0}^{**}$  vorgeben. Der empfohlene Wert ist 25 m/s.

### 8.2 Berechnungsmethode für die Systemantwort

(1) Es ist zu prüfen, ob für den Wind eine Berechnung der dynamischen Systemantwort für das Brückenbauwerk benötigt wird oder quasi-statische Lastannahmen ausreichen.

ANMERKUNG 1 Der Nationale Anhang kann Kriterien und Berechnungsmethoden angeben

ANMERKUNG 2 Ist eine dynamische Berechnung nicht erforderlich, kann der Wert  $c_s c_d = 1,0$  verwendet werden.

ANMERKUNG 3 Für gewöhnliche Straßen- und Eisenbahnbrückenüberbauten mit weniger als 40 m Spannweite ist eine Berücksichtung der dynamischen Systemantwort im Allgemeinen nicht erforderlich. Als gewöhnlich können Konstruktionen aus Stahl, Beton, Aluminium oder Holz sowie Verbundkonstruktionen verstanden werden, deren Querschnitt den Formen in Bild 8.1 entspricht.

#### 8.3 Kraftbeiwerte

(1) Kraftbeiwerte für Brüstungen und Schilderbrücken sind zu berücksichtigen, sofern sie nicht von vernachlässigbarer Größenordnung sind.

ANMERKUNG: Der Nationale Anhang kann Kraftbeiwerte für Brüstungen und Schilderbrücken vorgeben. Die Verwendung von 7.4 wird empfohlen.

#### 8.3.1 Kraftbeiwerte in x-Richtung (allgemeine Methode)

(1) Die Kraftbeiwerte für Windeinwirkungen auf Brückenüberbauten in x-Richtung sind:

$$c_{f,x} = c_{fx,0}$$
 (8.1)

Dabei ist

 $c_{\rm fx,0}$  der aerodynamische Beiwert für unendlich große Schlankheit (siehe 7.13).

ANMERKUNG 1 Bei Brückenbauwerken gibt es im Allgemeinen keine frei umströmbaren Enden, da die Strömung nur von zwei Seiten umgelenkt wird (der Ober- und der Unterseite des Überbaus).

ANMERKUNG 2 Für übliche Brücken kann  $c_{fx,0}$  = 1,3 angenommen werden. Alternativ kann der Wert für  $c_{fx,0}$  dem Bild 8.3 entnommen werden,  $\blacksquare$  in dem einige typische Fälle zur Bestimmung von  $A_{ref,x}$  (wie in 8.3.1(4) definiert) und  $d_{tot}$  dargestellt sind.  $\blacksquare$ 

ANMERKUNG 3 Wenn der Neigungswinkel der Windanströmung 10° übersteigt, können Sonderuntersuchungen für den aerodynamischen Beiwert notwendig werden. Ein solcher Neigungswinkel kann auf ein Geländegefälle in Luv der Brücke zurückzuführen sein.



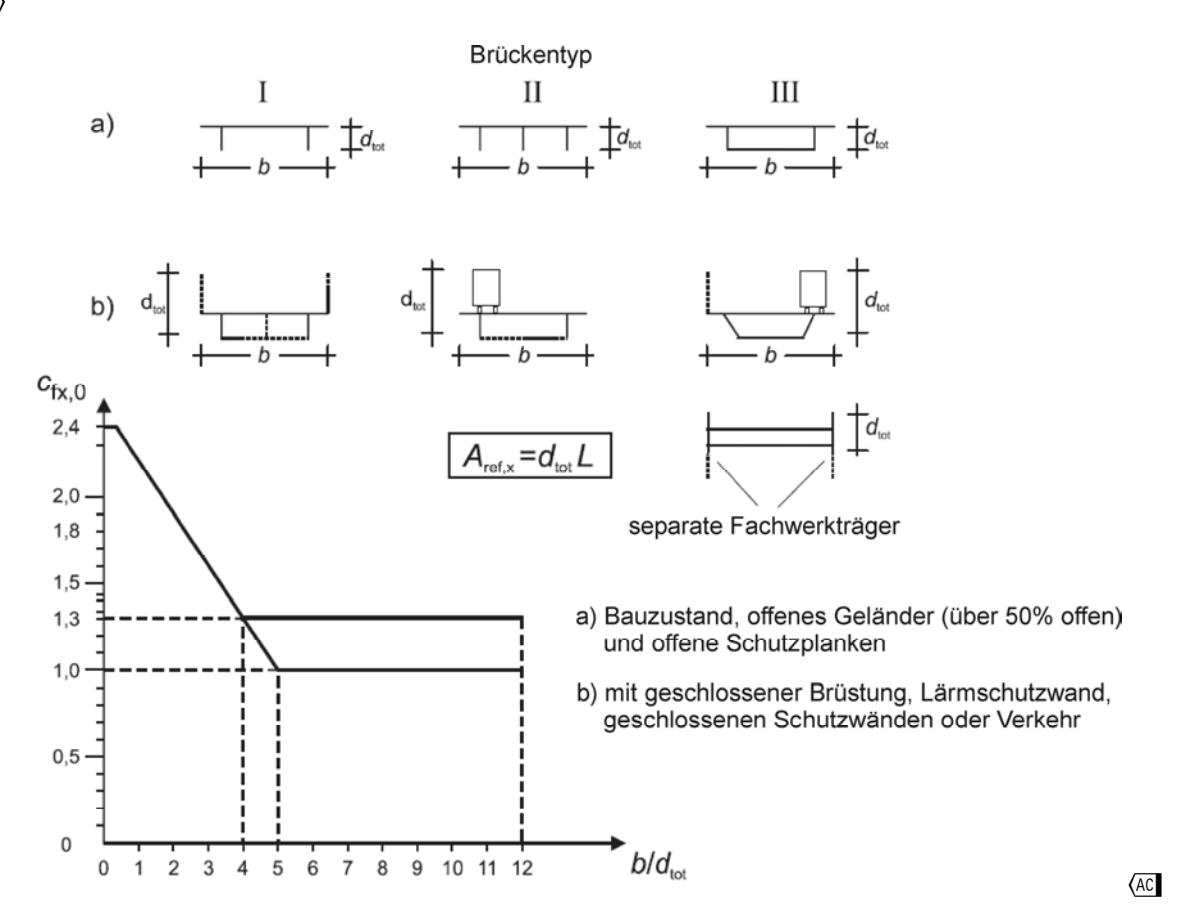


Bild 8.3 — Aerodynamische Beiwerte  $c_{\mathrm{fx,0}}$  für Brücken

(2) Wenn die Windangriffsfläche nach Bild 8.4 gegen die Vertikale geneigt ist, darf der Grundbeiwert  $c_{fx,0}$  um 0,5 % je Grad Neigungswinkel  $\alpha$ , gegen die Vertikale abgemindert werden, jedoch um nicht mehr als 30 %.

ANMERKUNG Diese Abminderung ist nicht auf  $F_W$ , so wie in 8.3.3 definiert, anwendbar, es sei denn im Nationalen Anhang wird dies abweichend geregelt.

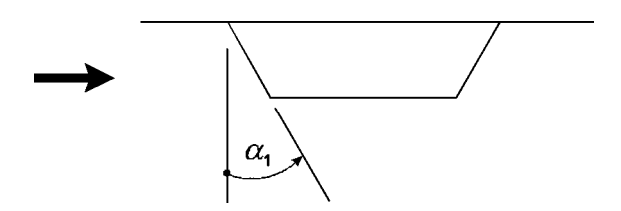


Bild 8.4 — Brücke mit geneigter Windangriffsfläche

- (3) Falls die Brücke in Querrichtung geneigt ist, sollte  $c_{fx,0}$  um 3 % je Grad Neigung vergrößert werden, jedoch um nicht mehr als 25 %.
- (4) Die Bezugsflächen  $A_{\text{ref},X}$  für Lastkombinationen ohne Verkehrslast sollten auf dem zutreffenden Wert von  $d_{\text{tot}}$ , wie in Bild 8.5 und Tabelle 8.1 definiert, basieren:

### EN 1991-1-4:2005 + A1:2010 + AC:2010 (D)

- a) für Überbauten mit vollwandigen Hauptträgern (AC) gestrichener Text (AC), die Summe von:
  - 1) der Ansichtsfläche des vorderen Hauptträgers
  - 2) die Ansichtsfläche der darüber hinausragenden Teile der anderen Hauptträger
  - der Ansichtsfläche des über den vorderen Hauptträger hinausragenden Gesims-, Fußweg- oder Schotterbettbereiches
  - 4) die Ansichtsfläche von massiven Schutzeinrichtungen oder Lärmschutzwänden die über die Flächen in 3) hinausragen oder, falls derartige Einrichtungen nicht vorhanden sind, 0,3 m für jedes offene Geländer oder jede Schutzplanke
- b) für Überbauten mit Fachwerkhauptträgern, die Summe von:
  - 1) der Ansichtsfläche des Gesims-, Fußweg- oder Schotterbettbereiches,
  - 2) den massiven Teilen der Fachwerkträger, die senkrecht zur Anströmungsrichtung liegen und oberoder unterhalb des unter 1) beschriebenen Bereiches herausragen,
  - 3) der Ansichtsfläche von massiven Schutzeinrichtungen oder Lärmschutzwänden, die über die Flächen in 1) hinausragen oder, falls derartige Einrichtungen nicht vorhanden sind, 0,3 m für jedes offene Geländer oder jede Schutzplanke.

Jedoch sollte die gesamte Bezugsfläche nicht diejenge eines äquivalenten Vollwandträgers derselben Gesamthöhe mit allen zugehörigen Bereichen überschreiten.

c) Bei Überbauten mit mehreren Hauptträgern während des Bauzustandes sollte für die Phase vor dem Einbau der Fahrbahn die Ansichtsfläche von zwei Hauptträgern angesetzt werden.

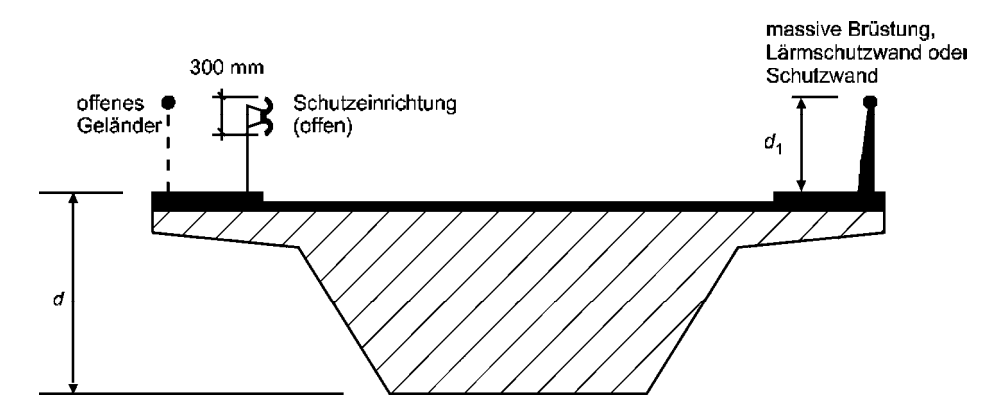


Bild 8.5 — Anzusetzende Querschnittshöhen für  $A_{\text{ref,x}}$ 

Tabelle 8.1 —  $\blacksquare$  Anzusetzende Querschnittshöhen  $d_{\mathrm{tot}}$  für  $A_{\mathrm{ref},\mathrm{x}}$ 

Fahrbahnschutzeinrichtung	an einer Seite	an beiden Seiten
offenes Geländer oder offene Schutzplanken	d + 0,3 m	d + 0,6 m
geschlossenes Geländer oder geschlossene Schutzwände	$d + d_1$	d + 2d <sub>1</sub>
offenes Geländer und offene Schutzplanken	d + 0,6 m	d + 1,2 m

- (5) Die Bezugsfläche  $A_{\text{ref},x}$  für Wind kombiniert mit Verkehr ist wie die Bezugsfläche in Absatz (4) jedoch statt mit den in a) 3) und 4) und b) 3) angegebenen Flächen mit den folgenden Flächen zu berechnen, sofern sie größer sind:
  - bei Straßenbrücken eine Verkehrsbandhöhe von 2 m oberhalb der Fahrbahn auf einer Länge, die für den jeweiligen Nachweis am ungünstigsten ist, unabhängig von der Stellung der angenommenen vertikalen Verkehrslast.
  - b) bei Eisenbahnbrücken eine Verkehrsbandhöhe von 4 m oberhalb der Schienen auf der kompletten Länge der Brücke.
- (6) Die Referenzhöhe  $z_e$  ist als Abstand vom tiefsten Geländepunkt unter der Brücke bis zur Mitte des Brückenüberbaus anzusetzen. Andere Brückenteile (z. B. Geländer) werden hierbei vernachlässigt.
- (7) AC Druck- und Sogeinwirkungen vorbeifahrender Fahrzeuge liegen nicht im Anwendungsbereich dieser Norm. Für Druck- und Sogeinwirkungen von Zugverkehr siehe EN 1991-2.

### 8.3.2 Kräfte in x-Richtung — Vereinfachtes Verfahren

(1) In Fällen, bei denen eine dynamische Berechnung der Bauwerksantwort nicht benötigt wird, ist die Windkraft in x-Richtung mit folgender Gleichung zu errechnen:

$$F_W = \frac{1}{2} \cdot \rho \cdot v_b^2 \cdot C \cdot A_{ref,x} \tag{8.2}$$

Dabei ist

- $v_{\rm b}$  Basiswindgeschwindigkeit (siehe 4.2 (2))
- C Windlastfaktor:

$$C = c_e \cdot c_{f,x}$$
, mit  $c_e = Geländefaktor aus 4.5 und  $c_{f,x}$  nach 8.3.1(1);$ 

A<sub>ref,x</sub> Bezugsfläche nach 8.3.1;

 $\rho$  Dichte der Luft (siehe 4.5).

ANMERKUNG Die C-Werte können durch den Nationalen Anhang festgelegt werden. Empfohlene Werte gibt Tabelle 8.2 an.

Tabelle 8.2 — Kraftbeiwerte C für Brücken

b/d <sub>tot</sub>	<sub>Ze</sub> ≤ 20 m	z <sub>e</sub> = 50 m
≤ 0,5	5,7	7,1
≥ 4,0	3,1	3,8

ANMERKUNG Diese Tabelle basiert auf den folgenden Annahmen:

- Geländekategorie II nach Tabelle 4.1
- Kraftbeiwert  $c_{f,x}$  nach 8.3.1 (1)
- $-c_0=1,0$
- $-k_{l}=1.0$

Für Zwischenwerte von  $b/d_{tot}$ , und  $z_e$  darf linear interpoliert werden

EN 1991-1-4:2005 + A1:2010 + AC:2010 (D)

## 8.3.3 Windkräfte auf Brückenüberbauten in z-Richtung

(1) Die Kraftbeiwerte  $c_{\rm f,z}$  für Windkräfte in der z-Richtung sind sowohl nach oben als auch nach unten gerichtet (Auftriebs- und Abtriebsbeiwert) festzulegen.  $c_{\rm f,z}$  kann nicht angesetzt werden, um die vertikalen Schwingungen des Überbaus zu berechnen.

ANMERKUNG 1 Der Nationale Anhang kann Werte für  $c_{\rm f,z}$  angeben. Falls keine Windkanaluntersuchungen durchgeführt werden, wird der Wert  $c_{\rm f,z}=\pm0.9$  empfohlen. Dieser Wert berücksichtigt eine mögliche Querneigung des Überbaus, eine mögliche Geländeneigung und die Beeinflussung des Anströmwinkels aufgrund der Turbulenz.

Alternativ kann  $c_{f,z}$  auch dem Bild 8.6 entnommen werden. Dabei ist zu beachten:

die Höhe  $d_{tot}$  sollte auf die Bauhöhe des Überbaus beschränkt werden, wobei der Verkehr und die Brückenausstattung vernachlässigt werden können,

bei flachem, horizontalem Gelände sollte als Neigungswinkel der Anströmung gegenüber der Horizontalen  $\alpha\pm5^\circ$  als Folge der turbulenten Anströmung angesetzt werden. Dies gilt auch für hügeliges Gelände, wenn die Höhe des Überbaus mindestens 30 m über Gelände liegt.

ANMERKUNG 2 Die vertikale Kraft ist nur dann von Bedeutung, wenn sie von gleicher Größenordnung wie das Eigengewicht ist.

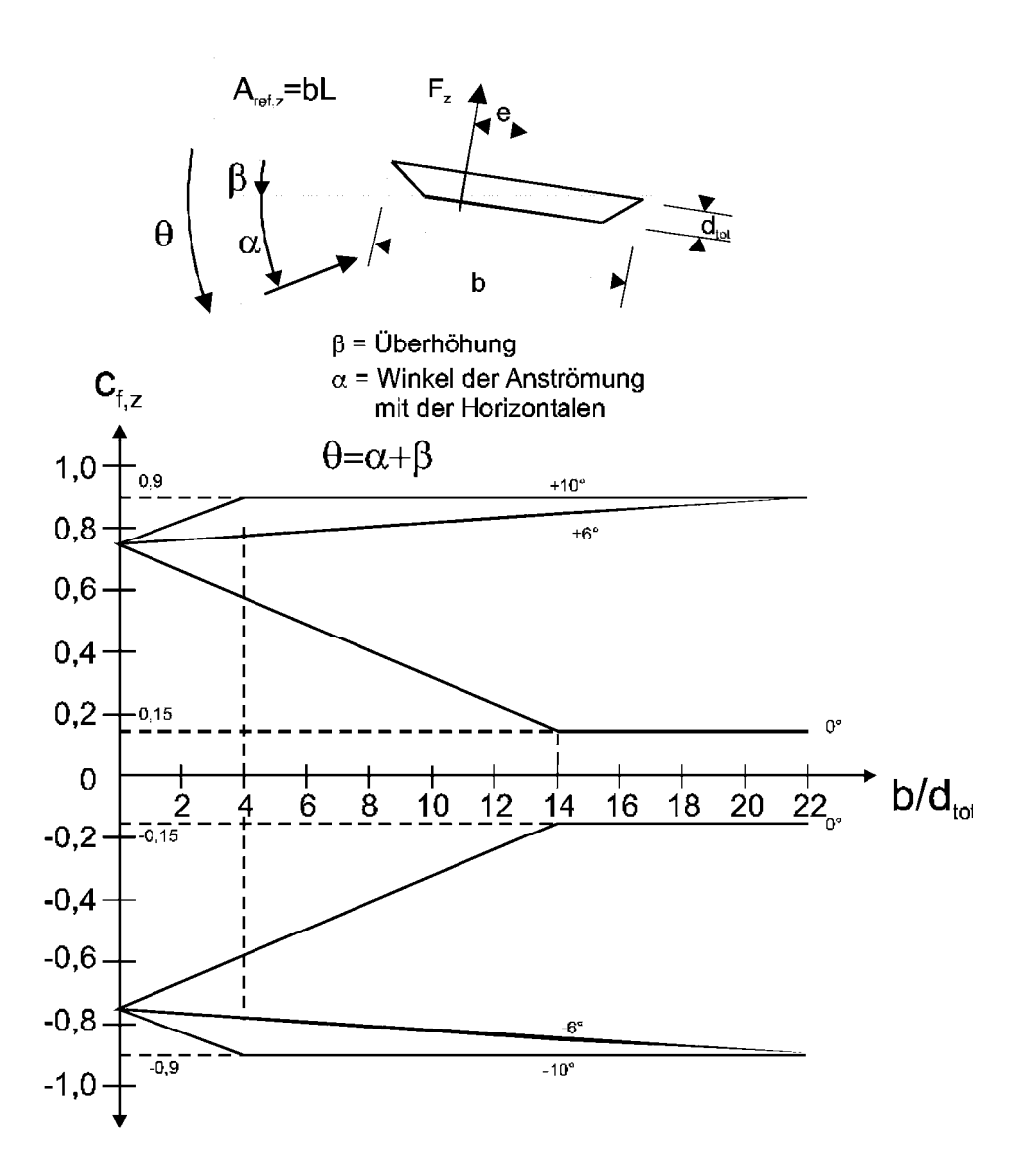


Bild 8.6 — Aerodynamische Beiwerte für Brücken mit Querneigung und Windanströmwinkel

(2) Die Bezugsfläche  $A_{\mathit{ref},z}$  entspricht der vertikalen Projektionsfläche (siehe Bild 8.2):

$$A_{ref,z} = b \cdot L \tag{8.3}$$

- (3) Schlankheitseffekte sollten nicht berücksichtigt werden.
- (4) Die Bezugshöhe ist die gleiche wie bei der Ermittlung von  $c_{f,x}$  (siehe 8.3.1(6)).
- (5) Als Ausmitte für die Kraft in x-Richtung darf e = b/4 angesetzt werden.

EN 1991-1-4:2005 + A1:2010 + AC:2010 (D)

#### 8.3.4 Windkräfte auf Brückenüberbauten in y-Richtung

(1) Falls erforderlich, sind auch die Windlängskräfte in y-Richtung zu bestimmen

Anmerkung: Der Nationale Anhang kann hierfür Werte vorgeben. Empfohlene Werte sind:

— bei vollwandigen Brücken, 25 % der Windkraft in x-Richtung,

— bei Fachwerkbrücken, 50 % der Windkraft in x-Richtung.

### 8.4 Brückenpfeiler

#### 8.4.1 Windrichtungen und Bemessungssituationen

- (1) Die Windeinwirkungen auf Brückenüberbauten und auf die tragenden Pfeiler sind unter Berücksichtigung der für das Gesamttragwerk ungünstigsten Windrichtung zu berechnen.
- (2) Für vorübergehende Bauzustände sollten die Windeinwirkungen besonders ermittelt werden, wenn keine horizontale Ableitung oder Umlagerung der Windkräfte durch den Überbau möglich ist. Falls während solcher Bauzustände die Pfeiler durch auskragende Überbauteile oder Teile der Schalung belastet werden, sollte eine mögliche asymmetrische Windeinwirkung auf solche Teile berücksichtigt werden.

ANMERKUNG Vorübergehende Bauzustände sind normalerweise kritischer für die Brückenpfeiler und einige Überbautypen als die ständigen Bemessungssituationen, die nach der Fertigstellung auftreten. Charakteristische Werte für vorübergehende Bemessungssituationen können EN 1991-1-6 entnommen werden. Zur Berücksichtigung von Gerüsten siehe 7.11.

#### 8.4.2 Windeinwirkungen auf Brückenpfeiler

(1) Die Windeinwirkungen auf Brückenpfeiler sind nach dem in dieser Norm beschriebenen Vorgehen zu bestimmen. Bei der Berechnung der Gesamtbelastung sollten die Bedingungen nach 7.6, 7.8 oder 7.9.2 beachtet werden.

ANMERKUNG 1 Vereinfachte Regeln können im Nationalen Anhang angegeben werden.

ANMERKUNG 2 Der nationale Anhang darf Verfahren zur Behandlung von asymmetrischer Belastung angeben. Das empfohlene Verfahren besteht darin, Bemessungswindlasten, die sich günstig auf die Bauteile eines Tragwerks auswirken, zu vernachlässigen (siehe 7.1.2 (1)).

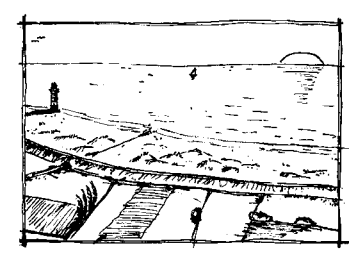
# Anhang A (informativ)

## Einfluss von Geländerauhigkeit und Topographie

## A.1 Darstellung der größten Rauhigkeiten der unterschiedlichen Geländekategorien

## Geländekategorie 0

See, Küstengebiete, die der offenen See ausgesetzt sind



## Geländekategorie I

Seen oder Gebiete mit niedriger Vegetation und ohne Hindernisse



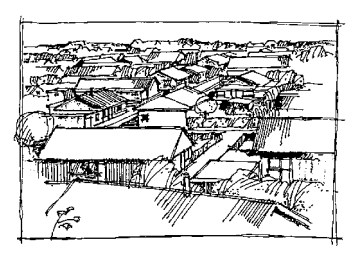
### Geländekategorie II

Gebiete mit niedriger Vegetation wie Gras und einzelnen Hindernissen (Bäume, Gebäude) mit Abständen von mindestens der 20-fachen Hindernishöhe



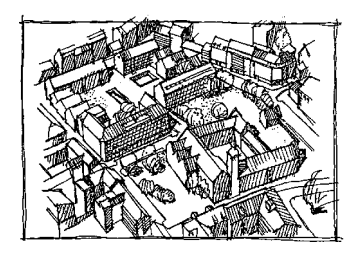
### Geländekategorie III

Gebiete mit gleichmäßiger Vegetation oder Bebauung oder mit einzelnen Objekten mit Abständen von weniger als der 20-fachen Hindernishöhe (z.B. Dörfer, vorstädtische Bebauung, Waldgebiete).



#### Geländekategorie IV

Gebiete, in denen mindestens 15 % der Oberfläche mit Gebäuden mit einer mittleren Höhe von 15 m bebaut ist



EN 1991-1-4:2005 + A1:2010 + AC:2010 (D)

## A.2 Übergänge zwischen den Rauhigkeitskategorien 0, I, II, III und IV

(1) Die Übergänge zwischen den Gebieten mit unterschiedlicher Rauhigkeit sind bei der Berechnung von  $q_p$  und  $c_sc_d$  zu berücksichtigen werden.

ANMERKUNG Die Vorgehensweise ist dem Nationalen Anhang zu entnehmen. Im nachfolgenden werden zwei Vorgehensweisen empfohlen.

#### Verfahren 1

Wenn der Baukörper in der Nähe eines Wechsels der Geländerauhigkeit liegt, dessen Abstand

- weniger als 2 km von der Kategorie 0
- weniger als 1km von den Kategorien I bis III

entfernt ist, dann sollte die glattere Geländerauhigkeit in luvseitiger Richtung angesetzt werden.

Kleinere Gebiete (weniger als 10 % der Fläche, die ansonsten berücksichtigt wird) mit von der Hauptfläche abweichender Rauhigkeit können ignoriert werden.

#### Verfahren 2

- a) Bestimmung der Geländerauhigkeiten in luvseitiger Richtung in den Anströmsektoren, die berücksichtigt werden sollen
- b) Bestimmung des Abstandes x zwischen Gebäude und Rauhigkeitswechsel in jedem Sektor
- c) Ist der Abstand x zwischen Gebäude und Rauhigkeitswechsel geringer als der in Tabelle A.1 angegebene Wert, sollte der kleinere Wert für die Rauhigkeit in dem betrachteten Sektor angesetzt werden. Ist der Abstand x größer als der in Tabelle A.1 angegebene Wert, sollte der größere Wert für die Rauhigkeit angesetzt werden.

Kleine Gebiete (weniger als 10 % der Fläche, die ansonsten berücksichtigt wird) mit von der Hauptfläche abweichender Rauhigkeit können ignoriert werden.

Wenn Tabelle A.1 keine Distanz x liefert, oder wenn die Gebäudehöhe 50 m überschreitet, sollte die kleinere Rauhigkeit verwendet werden.

Für Zwischenwerte der Höhe z darf linear interpoliert werden.

Ein Gebäude in einer bestimmten Geländekategorie kann mit einer glatteren Geländekategorie berechnet werden, wenn es innerhalb der in Tabelle A.1 definierten Distanzgrenzen liegt.

Tabelle A.1 — Abstand x

Höhe z	I nach II	I nach III
5 m	0,50 km	5,00 km
7 m	1,00 km	10,00 km
10 m	2,00 km	20,00 km
15 m	5,00 km	
20 m	12,00 km	
30 m	20,00 km	
50 m	50,00 km	

Höhe z	II nach III	II nach IV
5 m	0,30 km	2,00 km
7 m	0,50 km	3,50 km
10 m	1,00 km	7,00 km
15 m	3,00 km	20,00 km
20 m	7,00 km	
30 m	10,00 km	
50 m	30,00 km	

Höhe z	III nach IV	
5 m	0,20 km	
7 m	0,35 km	
10 m	0,70 km	
15 m	2,00 km	
20 m	4,50 km	
30 m	7,00 km	
50 m	20,00 km	

## A.3 Numerische Berechnung der Topographiebeiwerte

(1) An isolierten Bergen, Bergketten oder Felsen und Böschungen ergeben sich unterschiedliche Windgeschwindigkeiten aus der Geländeneigung  $\Phi = H/L_u$  in Strömungsrichtung. Hierbei bezeichnet H die Höhe des Anstiegs und  $L_u$  die Anstiegslänge, wie in Bild A. 1. definiert.

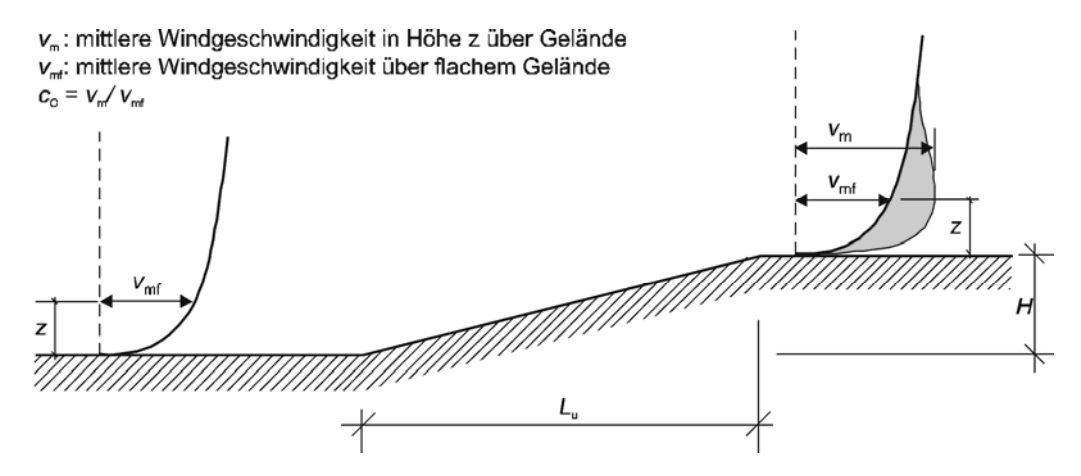


Bild A.1 — Darstellung des Anstieges der Windgeschwindigkeit über der Topographie

(2) Der größte Anstieg der Windgeschwindigkeit ergibt sich kurz vor Ende der Rampe und wird beschrieben durch den Topographiebeiwert  $c_0$  (siehe Bild A.1.). Die Rampe hat keinen signifikanten Einfluss auf die Standardabweichung der Turbulenz, wie in 4.4 (1) beschrieben.

ANMERKUNG Die Intensität der Turbulenz nimmt mit zunehmender Windgeschwindigkeit ab, die Standardabweichung verändert sich hingegen nicht.

- (3) Der Topographiebeiwert  $c_0(z) = v_m/v_{mf}$  beschreibt den Anstieg der mittleren Windgeschwindigkeit bei einzelnen Bergen oder Böschungen (nicht für welliges Bodenprofil oder Bergregionen). Er bezieht sich auf die Windgeschwindigkeit am Fuß des Berges oder der Böschung. Der Topographieeinfluss muss in folgenden Situationen berücksichtigt werden:
- a) Für Standorte auf den luvseitigen Hängen von Bergen oder Bergketten:

wenn 0,05< 
$$\Phi \le 0,3$$
 und  $|x| \le L_u/2$ 

b) Für Standorte auf den leeseitigen Hängen von Bergen oder Bergketten:

wenn 
$$\Phi$$
< 0,3 und  $x$  <  $L_d$ /2

wenn 
$$\Phi \ge 0.3$$
 und  $x < 1.6$  H

c) Für Standorte auf den luvseitigen Hängen von Felsen oder Böschungen:

wenn 0,05 < 
$$\Phi \le 0,3$$
 und  $|x| \le L_u/2$ 

d) Für Standorte auf den leeseitigen Hängen von Felsen oder Böschungen:

wenn 
$$\Phi$$
 < 0,3 und  $x$  < 1,5  $L_e$ 

wenn 
$$\Phi \ge 0.3$$
 und  $x < 5$  H

 $c_0$  ist folgendermaßen definiert:

$$c_0 = 1 \text{ für } \Phi < 0.05$$
 (A.1)

$$c_0 = 1 + 2 \cdot s \cdot \Phi \text{ für } 0.05 < \Phi < 0.3$$
 (A.2)

$$c_0 = 1 + 0.6 \cdot s \text{ für } \Phi > 0.3$$
 (A.3)

#### Dabei ist

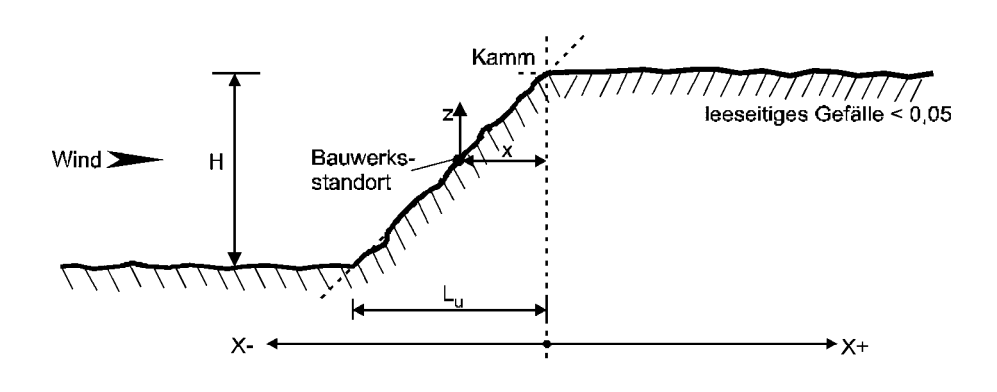
- s Faktor nach Bild A.2 oder A.3 bezogen auf die effektive Länge  $L_{\rm e}$  der luvseitigen Steigung
- L<sub>e</sub> effektive Länge der luvseitigen Steigung nach Tabelle A.2
- *L*<sub>u</sub> tatsächliche Länge der luvseitigen Steigung (Projektion auf die Horizontale)
- L<sub>d</sub> tatsächliche Länge der leeseitigen Steigung
- H effektive Höhe des Hügels oder des Geländesprungs
- x horizontaler Abstand des Bauwerks vom Kamm der Erhebung
- z vertikaler Abstand von der Geländeoberkante auf der Steigungsfläche

Tabelle A.2 — Werte für die effektive Länge  $L_{\rm e}$ 

Hangart ( $\Phi = H/L_u$ )	
<b>Flach</b> $(0.05 < \Phi < 0.3)$	<b>Steil</b> ( <b><i>Ф</i></b> > 0,3)
$L_{e} = L_{u}$	$L_{\rm e}$ = $H/0.3$

ANMERKUNG Die berechneten Funktionen in den Bildern A.2 und A.3 überschreiten die oben definierten Anwendungsbereiche. Die Berücksichtigung von Topographieeffekten außerhalb dieses Bereiches ist optional.

(4) In Tälern darf der Faktor  $c_0(z)$  zu 1,0 gesetzt werden, wenn Beschleunigungen aufgrund von Kanalisierungseffekten ausgeschlossen werden können. Für Bauwerke in steilwandigen Tälern oder für Brücken, die solche Täler überspannen, ist zu prüfen ob Windgeschwindigkeitserhöhungen berücksichtigt werden müssen.



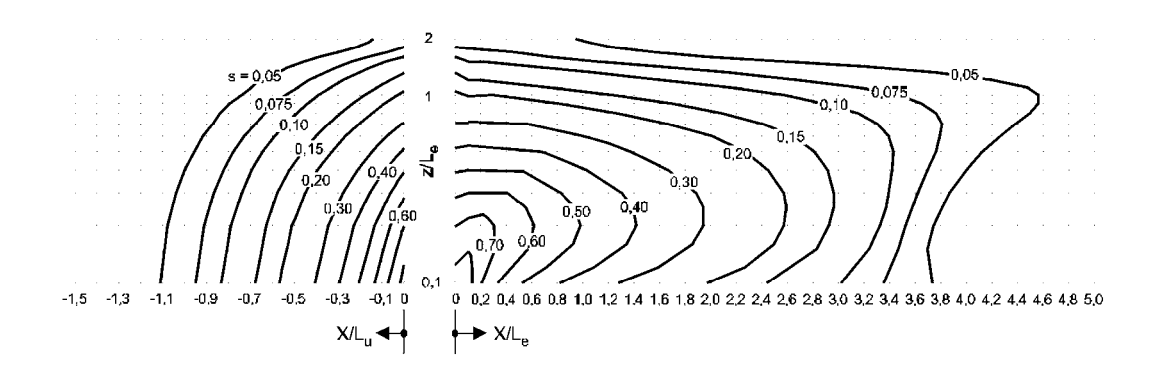
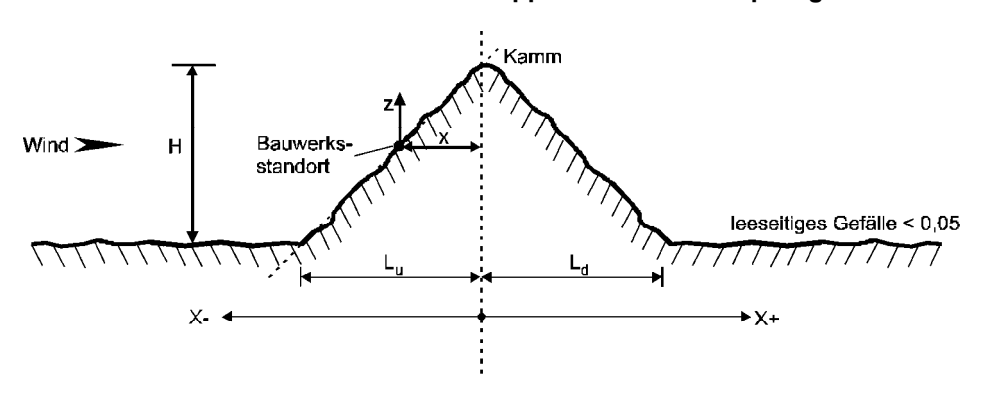


Bild A.2 — Faktor s für Klippen und Geländesprünge



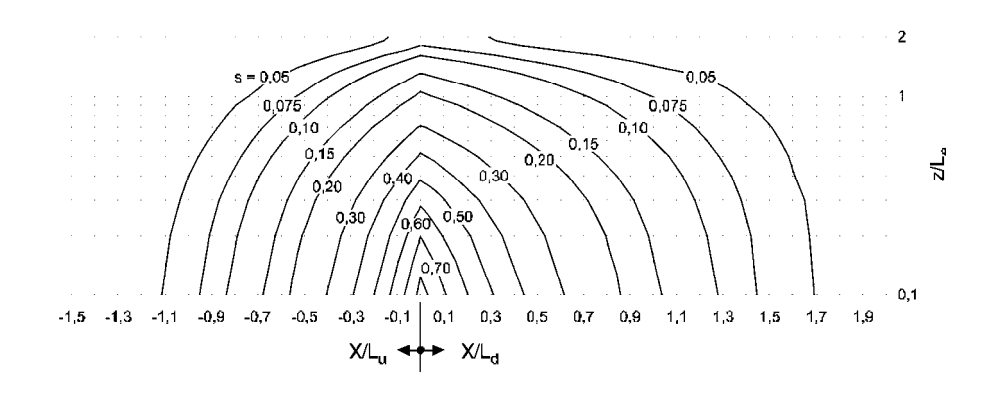


Bild A.3 — Faktor s für Kuppen und Hügelkämme

(5) Die Gleichungen (A.4) bis (A.7) und (A.11) können zur Berechnungen des Topographiebeiwertes verwendet werden. Da diese Gleichungen empirisch gewonnen wurden, ist es äußerst wichtig, dass die verwendeten Parameter in den angegebenen Grenzen liegen, da sonst fehlerhafte Ergebnisse die Folge sind.

### a) luvseitiger Bereich bei jeder Topographie (siehe Bilder A.2 und A.3):

In den Bereichen

$$-1.5 \le \frac{X}{L_{\rm u}} \le 0 \text{ und } 0 \le \frac{z}{L_{\rm e}} \le 2.0$$

gilt:

$$s = A \cdot e^{\left(B \cdot \frac{X}{L_{u}}\right)} \tag{A.4}$$

Dabei ist

$$A = 0.1552 \cdot \left(\frac{z}{L_{\rm e}}\right)^4 - 0.8575 \cdot \left(\frac{z}{L_{\rm e}}\right)^3 + 1.8133 \cdot \left(\frac{z}{L_{\rm e}}\right)^2 - 1.9115 \cdot \left(\frac{z}{L_{\rm e}}\right) + 1.0124 \tag{A.5}$$

und

$$B = 0.3542 \cdot \left(\frac{z}{L_e}\right)^2 - 1.0577 \cdot \left(\frac{z}{L_e}\right) + 2.6456$$
 (A.6)

Für

$$\frac{X}{L_{\rm u}} < -1.5 \text{ oder } \frac{z}{L_{\rm e}} > 2$$

gilt:

s = 0

## b) leeseitiger Bereich für Klippen und Geländesprünge (siehe Bild A.2):

In den Bereichen

$$0.1 \le \frac{X}{L_e} \le 3.5$$
 und  $0.1 \le \frac{z}{L_e} \le 2.0$ 

gilt:

$$s = A \cdot \left( \log \left[ \frac{X}{L_e} \right] \right)^2 + B \cdot \left( \log \left[ \frac{X}{L_e} \right] \right) + C. \tag{A.7}$$

Dabei ist

$$A = -1,3420 \cdot \left( \log \left[ \frac{z}{L_e} \right] \right)^3 - 0,8222 \cdot \left( \log \left[ \frac{z}{L_e} \right] \right)^2 + 0,4609 \cdot \log \left[ \frac{z}{L_e} \right] - 0,0791$$
 (A.8)

$$B = -1,0196 \cdot \left(\log\left[\frac{z}{L_{\rm e}}\right]\right)^3 - 0,8910 \cdot \left(\log\left[\frac{z}{L_{\rm e}}\right]\right)^2 + 0,5343 \cdot \log\left[\frac{z}{L_{\rm e}}\right] - 0,1156 \tag{A.9}$$

und

$$C = 0.8030 \cdot \left( \log \left[ \frac{z}{L_e} \right] \right)^3 + 0.4236 \cdot \left( \log \left[ \frac{z}{L_e} \right] \right)^2 - 0.5738 \cdot \log \left[ \frac{z}{L_e} \right] + 0.1606 \,. \tag{A.10}$$

In den Bereichen

$$0 \le \frac{X}{L_{\rm e}} \le 0.1$$
 ,

ist zwischen den Werten für

$$\frac{X}{L_{\rm e}}=0$$
 (s = A in Gleichung A.5) und  $\frac{X}{L_{\rm e}}=0.1$  zu interpolieren.

Bei  $\frac{z}{L_a}$  < 0,1 sind die Werte für  $\frac{z}{L_a}$  = 0,1 zu verwenden.

$$\frac{X}{L_{\rm e}} > 3.5$$
 (AC) oder  $\frac{z}{L_{\rm e}} > 2.0$  ist s = 0 zu verwenden.

## c) leeseitiger Bereich für Kuppen und Hügelkämme (siehe Bild A.3):

In den Bereichen

$$0 \le \frac{X}{L_{\rm d}} \le 2.0 \quad \text{und} \quad 0 \le \frac{z}{L_{\rm e}} \le 2.0$$

gilt:

$$s = A \cdot e^{\left(B \cdot \frac{X}{L_{\rm d}}\right)}. \tag{A.11}$$

Dabei ist:

$$A = 0.1552 \cdot \left(\frac{z}{L_{e}}\right)^{4} - 0.8575 \cdot \left(\frac{z}{L_{e}}\right)^{3} + 1.8133 \cdot \left(\frac{z}{L_{e}}\right)^{2} - 1.9115 \cdot \left(\frac{z}{L_{e}}\right) + 1.0124$$
 (A.12)

und

102

$$B = -0.3056 \cdot \left(\frac{z}{L_e}\right)^2 + 1.0212 \cdot \left(\frac{z}{L_e}\right) - 1.7637 \tag{A.13}$$

Bei

$$\frac{X}{L_{\rm d}} > 2.0$$
 oder  $\frac{z}{L_{\rm e}} > 2.0$ 

ist

s = 0 anzusetzen.

ANMERKUNG Die Gleichungen (A.5) und (A.12) sind identisch.

## A.4 Einfluss eines höheren Nachbargebäudes

(1) Falls ein Gebäude mehr als doppelt so hoch ist als die mittlere Höhe  $h_{\rm ave}$  der benachbarten Gebäude, kann in erster Näherung die Bemessung dieser benachbarten Gebäude mit dem Böengeschwindigkeitsdruck in der Höhe  $z_{\rm n}$  ( $z_{\rm e}$  =  $z_{\rm n}$ ) über Bodenniveau durchgeführt werden. (Gleichung A.14), vgl. Bild A.4.

$$x \le r : z_{n} = \frac{1}{2} \cdot r$$

$$r < x < 2 \cdot r : z_{n} = \frac{1}{2} \left( r - \left(1 - \frac{2 \cdot h_{\text{low}}}{r}\right) \cdot (x - r) \right)$$

$$x \ge 2 \cdot r : z_{n} = h_{\text{low}}$$
(A.14)

Der Radius r wird folgendermaßen bestimmt:

$$r = h_{\text{high}}$$
 wenn  $h_{\text{high}} \leq 2 \cdot d_{\text{large}}$   $r = 2 \cdot d_{\text{large}}$  wenn  $h_{\text{high}} > 2 \cdot d_{\text{large}}$ 

Die Gebäudehöhe  $h_{\text{low}}$ , der Radius r, der Abstand x und die Abmessungen  $d_{\text{small}}$  und  $d_{\text{large}}$  sind in Bild A.4 dargestellt. Eine Erhöhung der Windgeschwindigkeiten kann vernachlässigt werden, wenn  $h_{\text{low}}$  größer als die Hälfte der Höhe  $h_{\text{high}}$  des herausragenden Gebäudes ist. Die anzusetzende Höhe ist dann  $z_{\text{n}} = h_{\text{low}}$ .

## EN 1991-1-4:2005 + A1:2010 + AC:2010 (D)

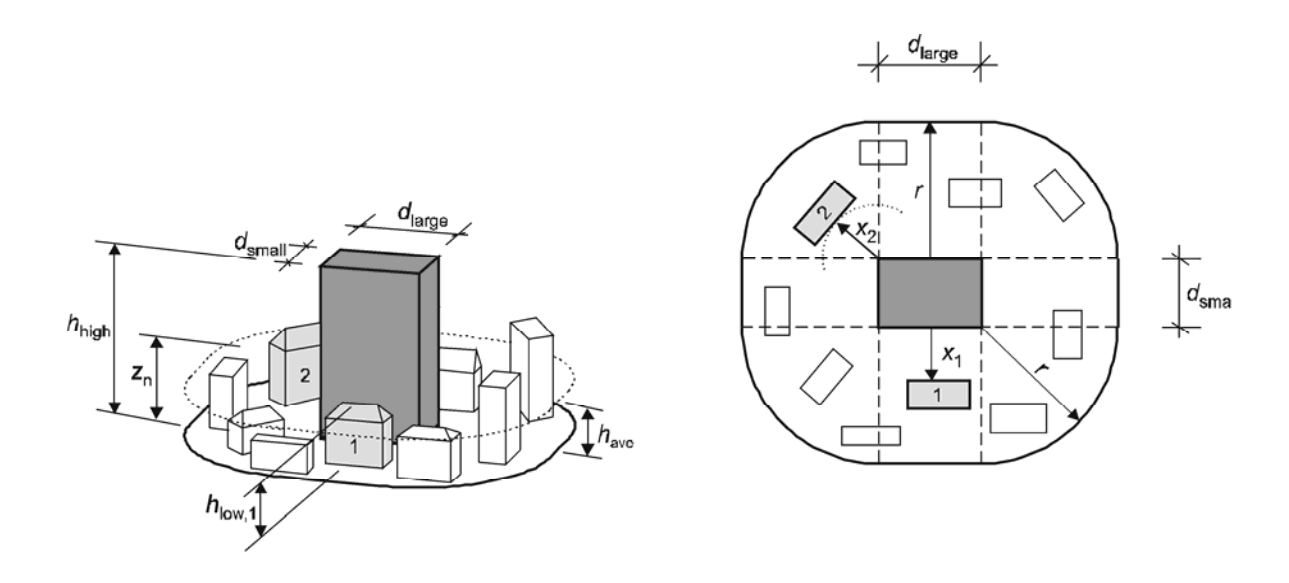


Bild A.4 — Einfluss eines hohen Gebäudes auf zwei unterschiedliche benachbarte Gebäude (1 und 2)

#### A.5 Versatzhöhe

(1) Bei Gebäuden in der Geländekategorie IV bewirken nahe zueinander stehende Gebäude und andere Hindernisse eine Verschiebung des Windprofils nach oben. Diese Versatzhöhe wird mit  $h_{\rm dis}$  bezeichnet und kann anhand der Gleichung (A.15) bestimmt werden, siehe Bild A.5. Das Profil des Böengeschwindigkeitsdruckes als Funktion der Höhe (siehe Bild 4.2), darf um das Maß der Versatzhöhe  $h_{\rm dis}$  nach oben verschoben werden.

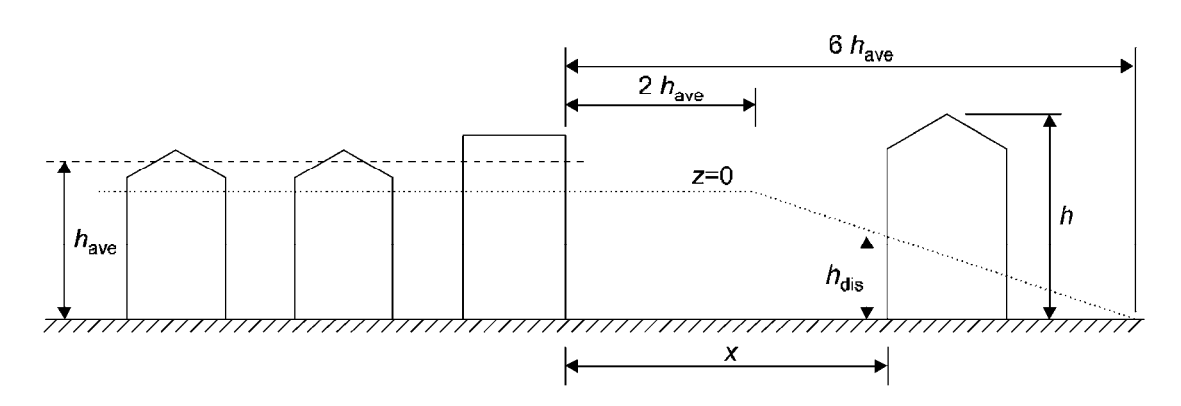


Bild A.5 - Versatzhöhe und luvseitiger Abstand

 $x \le 2 \cdot h_{\text{ave}} h_{\text{dis}}$  ist der kleinere Wert von  $0.8 \cdot h_{\text{ave}}$  oder  $0.6 \cdot h$ 

$$2 \cdot h_{\text{ave}} < x < 6 \cdot h_{\text{ave}} h_{\text{dis}}$$
 ist der kleinere Wert von 1,2  $\cdot h_{\text{ave}} - 0,2 \cdot x$  oder 0,6  $\cdot h$  (A.15)

$$x \ge 6 \cdot h_{\text{ave}} h_{\text{dis}} = 0$$

Falls keine näheren Informationen vorliegen, darf in der Geländekategorie IV für die mittlere Höhe der Hindernisse ein Wert von  $h_{\text{ave}}$  = 15 angesetzt werden.  $\boxed{\text{AC}}$  Diese Regeln sind richtungsabhängig. Die Werte für  $h_{\text{ave}}$  und x sollten für jeden 30°-Sektor bestimmt werden, wie in 4.3.2 beschrieben.  $\boxed{\text{AC}}$ 

# Anhang B (informativ)

## Berechnungsverfahren 1 zur Bestimmung des Strukturbeiwertes $c_{\rm s}c_{\rm d}$

### **B.1 Windturbulenz**

(1) Das Integrallängenmaß der Turbulenz L(z) repräsentiert die mittlere Böenballengröße des natürlichen Windes. Für Bauwerkshöhen z unterhalb von 200 m kann das Integrallängenmaß anhand der Gleichung (B.1) berechnet werden:

$$L(z) = L_t \cdot \left(\frac{z}{z_t}\right)^{\alpha} \qquad \text{für} \qquad z \ge z_{\min}$$

$$L(z) = L(z_{\min}) \quad \text{für} \qquad z < z_{\min}$$
(B.1)

mit einer Bezugshöhe von  $z_t$ =200 m, einer Bezugslänge von  $L_t$  = 300 m, mit  $\alpha$  = 0,67 + 0,05 ln( $z_0$ ) und mit der Rauhigkeitshöhe  $z_0$  in m. Die minimale Höhe  $z_{min}$  ist in Tabelle 4.1 angegeben.

(2) Die Verteilung der Böenenergie im Frequenzbereich wird durch die dimensionslose spektrale Dichte  $S_L(z,n)$  ausgedrückt. Die Berechung erfolgt mit Gleichung (B.2):

$$S_{L}(z,n) = \frac{n \cdot S_{v}(z,n)}{\sigma_{v}^{2}} = \frac{6.8 \cdot f_{L}(z,n)}{(1+10.2 \cdot f_{L}(z,n))^{5/3}}.$$
(B.2)

Dabei ist  $S_v(z,n)$  das Autospektrum des turbulenten Windes, und

 $f_L(z,n) = \frac{n \cdot L(z)}{v_m(z)}$  eine dimensionslose Frequenz, die durch  $n = n_{1,x}$ , der Bauwerkseigenfrequenz in Hz, der

mittleren Windgeschwindigkeit  $v_{\rm m}(z)$  und durch das Integrallängenmaß der Turbulenz L(z), wie in Bild B.1 definiert, bestimmt wird. Die dimensionslose spektrale Dichtefunktion ist in Bild B.1 dargestellt.

## EN 1991-1-4:2005 + A1:2010 + AC:2010 (D)

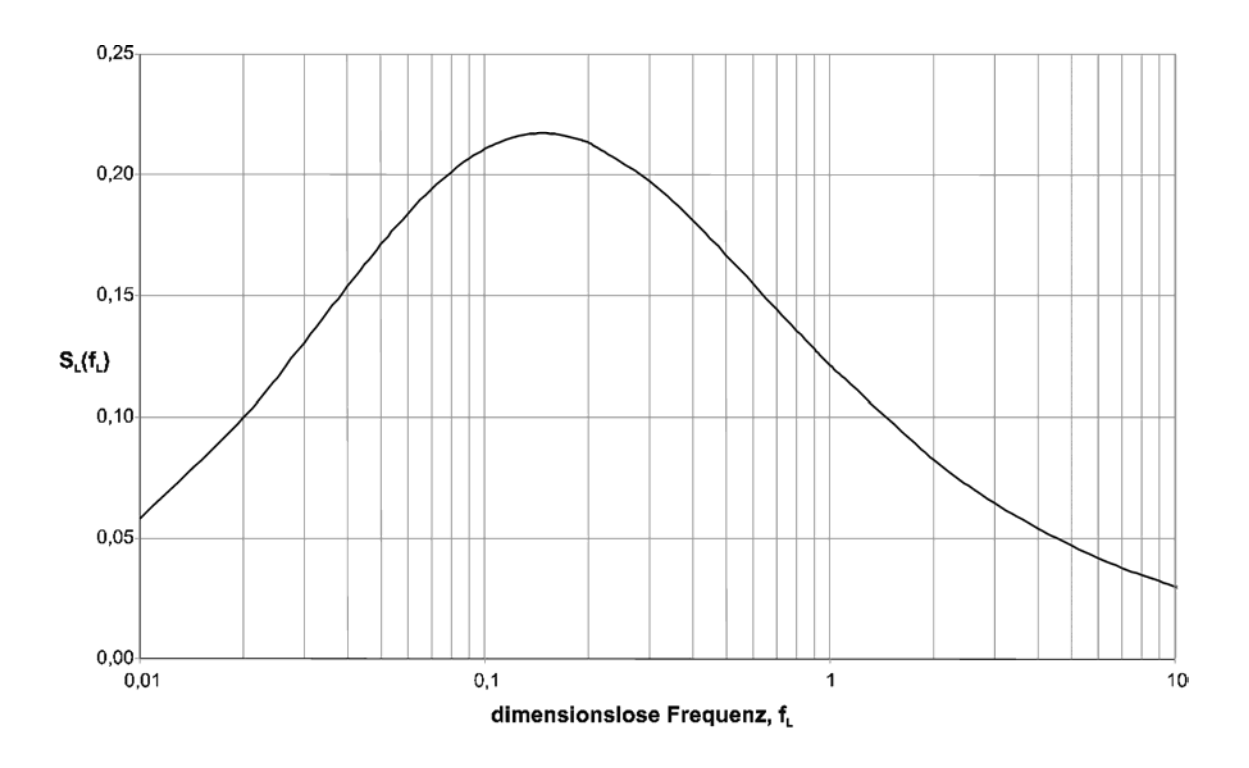


Bild B.1 – spektrale Dichtefunktion  $S_L(f_L)$ 

## B.2 Strukturbeiwert cscd

- (1) Der Strukturbeiwert  $c_{\rm S}c_{\rm d}$  ist in Abschnitt 6.3.1 definiert.
- (2) Der Böengrundanteil  $B^2$  erfasst die Reduktion des effektiven Winddruckes durch die abnehmende Korrelation auf großen Lasteinzugflächen. Er kann entsprechend der Gleichung (B.3) berechnet werden:

$$B^{2} = \frac{1}{1 + 0.9 \cdot \left(\frac{b+h}{L(z_{s})}\right)^{0.63}}$$
(B.3)

Dabei ist

- b, h Breite und Höhe des Bauwerks, siehe Bild 6.1.
- $L(z_s)$  Integrallängenmaß der Turbulenz entsprechend B.1 (1) für die Bezugshöhe  $z_s$  wie in Bild 6.1 definiert. Auf der sicheren Seite liegend kann  $B^2 = 1$  verwendet werden.
- (3) Der Spitzenbeiwert  $k_p$ , ist definiert als das Verhältnis des maximalen Wertes des fluktuierenden Teils der Bauwerksreaktion und dessen Standardabweichung. Er wird mit Gleichung (B.4) berechnet und ist in Bild B.2 dargestellt.

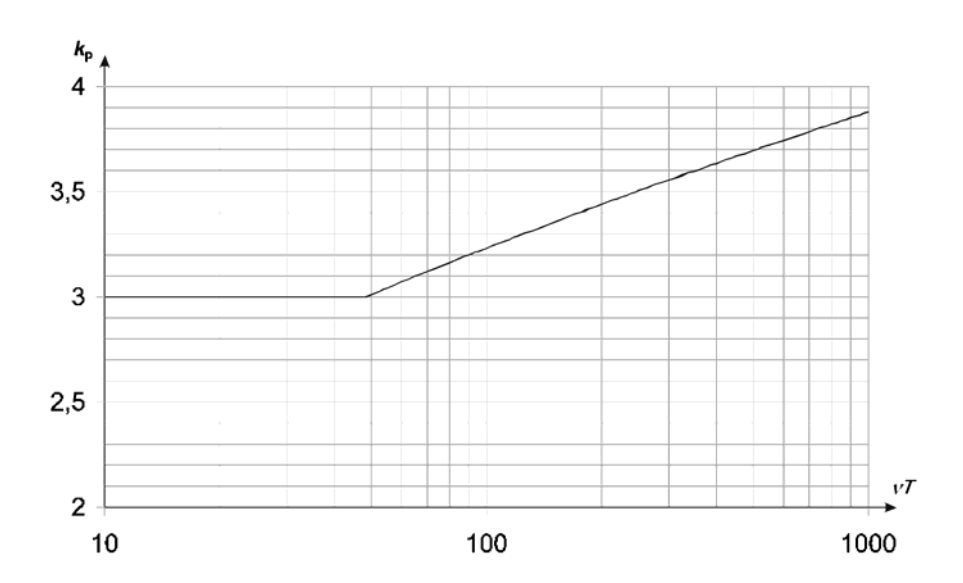


Bild B.2 - Spitzenbeiwert

$$k_{\rm p} = \sqrt{2 \cdot \ln(\nu \cdot T)} + \frac{0.6}{\sqrt{2 \cdot \ln(\nu \cdot T)}}$$
 oder  $k_{\rm p}$ = 3, der größere Wert ist maßgebend (B.4)

Dabei ist

- ν Erwartungswert der Frequenz der Böenreaktion nach (4)
- T Mittelungszeitraum für die mittlere Windgeschwindigkeit, T = 600 Sekunden.
- (4) Der Erwartungswert der Freguenz der Böenreaktion vwird mit Gleichung (B.5) bestimmt:

$$v = n_{1,x} \sqrt{\frac{R^2}{B^2 + R^2}}$$
 ;  $v \ge 0.08 \ Hz$ . (B.5)

Hierbei ist  $n_{1,x}$  die Bauwerkseigenfrequenz, die mit Hilfe des Anhangs F bestimmt werden kann. Die Begrenzung von  $v \ge 0.08$  Hz korrespondiert mit einem Spitzenbeiwert von 3,0.

(5) Der Resonanz-Antwortanteil  $\mathbb{R}^2$ , der die resonanzartige, dynamische Vergrößerung einer Schwingungsform des Bauwerkes durch die Turbulenz erfasst, wird mit Gleichung (B.6) bestimmt:

$$R^{2} = \frac{\pi^{2}}{2 \cdot \delta} \cdot S_{L}(z_{s}, n_{1,x}) \cdot R_{h}(\eta_{h}) \cdot R_{b}(\eta_{b})$$
(B.6)

Dabei ist

- $\delta$  logarithmisches Dämpfungsdekrement entsprechend Anhang F.5
- S<sub>L</sub> dimensionslose spektrale Dichtefunktion wie in Anhang B.1 (2) angegeben
- Rh, Rb aerodynamische Übertragungsfunktionen nach den Gleichung (B.7) und (B.8).
- (6) Die aerodynamischen Übertragungsfunktionen  $R_h$  und  $R_b$  für eine Grundschwingungsform können mit den Gleichungen (B.7) und (B.8) berechnet werden:

## EN 1991-1-4:2005 + A1:2010 + AC:2010 (D)

$$R_{h} = \frac{1}{\eta_{h}} - \frac{1}{2 \cdot {\eta_{h}}^{2}} (1 - e^{-2 \cdot \eta_{h}}); R_{h} = 1 \quad \text{für} \quad \eta_{h} = 0$$
(B.7)

$$R_b = \frac{1}{\eta_b} - \frac{1}{2 \cdot \eta_b^2} (1 - e^{-2 \cdot \eta_b}); \ R_b = 1 \quad \text{für} \quad \eta_b = 0$$
 (B.8)

$$\text{mit: } \eta_h = \frac{4.6 \cdot h}{L(z_s)} \cdot f_L(z_s, n_{1,x}) \quad \text{und } \eta_b = \frac{4.6 \cdot b}{L(z_s)} \cdot f_L(z_s, n_{1,x})$$

ANMERKUNG Bei Schwingungsformen mit zusätzlichen Schwingungsknoten sind genauere Untersuchungen erforderlich.

## B.3 Anzahl der Überschreitungen von niedrigen Niveaus der Böenreaktion

(1) Bild B.3 zeigt die Anzahl  $N_{\rm g}$ , die der Wert eines Einwirkungseffektes  $\Delta S$  während eines Zeitraums von 50 Jahren erreicht oder überschreitet.  $\Delta S$  ist ein Prozentanteil des Wertes  $S_{\rm k}$ , wobei  $S_{\rm k}$  der maßgebende Effekt einer Windeinwirkung innerhalb eines Zeitraums von 50 Jahren ist.

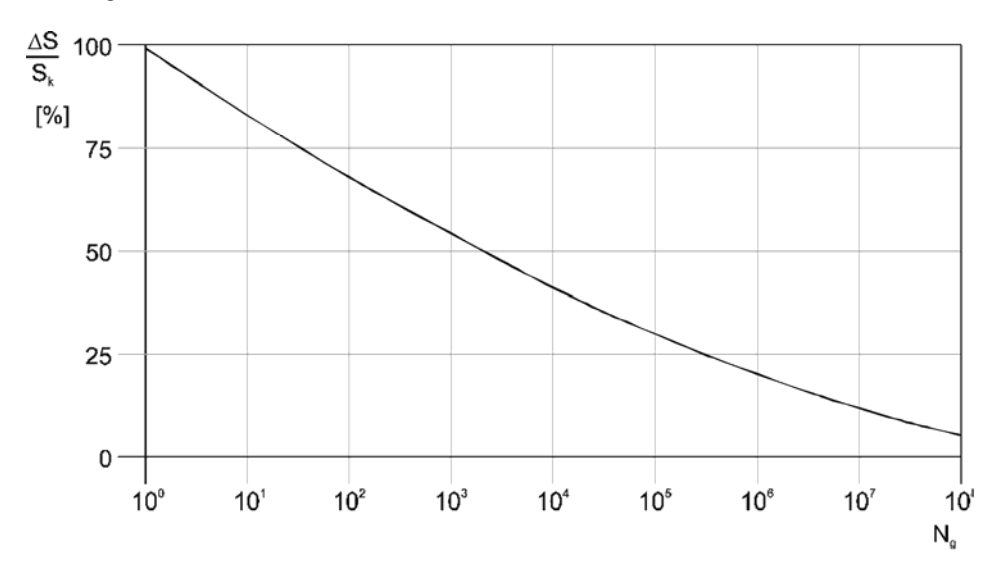


Bild B.3 – Anzahl der Überschreitungen  $N_{\rm g}$  des Niveaus  $\Delta S$  einer Böenreaktion  $S_{\rm k}$  innerhalb eins Zeitraumes von 50-Jahren

Die Beziehung zwischen  $\Delta S/S_k$  und  $N_g$  ist in Gleichung (B.9) angegeben.

$$\frac{\Delta S}{S_{k}} = 0.7 \cdot (\log(N_{g}))^{2} - 17.4 \cdot \log(N_{g}) + 100$$
(B.9)

# B.4 Verformungen und Beschleunigungen zur Bewertung der Gebrauchstauglichkeit vertikaler Bauwerke

- (1) Die maximale windinduzierte Verschiebung wird aus der äquivalenten statischen Windkraft, wie in 5.3 definiert, ermittelt.
- (2) Die Standardabweichung  $\sigma_{a,x}$  der zu erwartenden windinduzierten Beschleunigung der Bauwerksstruktur in der Höhe z wird mittels Gleichung (B.10) ermittelt:

$$\sigma_{a,x}(z) = \frac{c_f \cdot \rho \cdot b \cdot I_v(z_s) \cdot v_m^2(z_s)}{m_{1,x}} \cdot R \cdot K_x \cdot \Phi_{1,x}(z)$$
(B.10)

#### Dabei ist

*c*<sub>f</sub> Kraftbeiwert, siehe Abschnitt 7

 $\rho$  Dichte der Luft, siehe 4.5 (1)

b die Bauwerksbreite, wie in Bild 6.1 definiert

 $I_{v}(z_{s})$  Turbulenzintensität  $I_{v}(z)$  in Windrichtung für die Höhe  $z=z_{s}$  nach Bild 6.1 und 4.4

 $v_m(z_s)$  mittlere Windgeschwindigkeit  $v_m(z)$  für  $z = z_s$ , siehe 4.3.1 (1)

z<sub>s</sub> die Bezugshöhe, siehe Bild 6.1

R die Wurzel des Resonanzanteils der Böenreaktion, siehe B.2 (5)

 $K_x$  ein dimensionsloser Koeffizient, angegeben in Gleichung (B.11)

 $m_{1,x}$  die äquivalente Masse für die Verschiebungskomponente in Windrichtung, siehe Anhang F.4 (1)

 $n_{1,x}$  die Eigenfrequenz des Bauwerks in Windrichtung, Näherungen können dem Anhang F entnommen werden.

- $\Phi_{1,x}(z)$  maßgebende Grundschwingungsform in Windrichtung, als eine erste Näherung können die Gleichungen aus Anhang F verwendet werden.
- (3) Der dimensionslose Koeffizient,  $K_x$ , ist folgendermaßen definiert:

$$K_{x} = \frac{\int_{0}^{h} v_{m}^{2}(z) \Phi_{1,x}(z) dz}{v_{m}^{2}(z_{e}) \cdot \int_{0}^{h} \Phi_{1,x}^{2}(z) dz}.$$
(B.11)

#### Dabei ist

h Höhe des Bauwerks entsprechend Bild 6.1.

ANMERKUNG Unter Ansatz von  $\Phi_{1,x}(z)=(z/h)^c$  (siehe Anhang F) und  $c_0(z)=1$  (flaches Bodenprofil, siehe 4.3.3), kann Gleichung (B.11) durch die Gleichung (B.12) angenähert werden. Diese Näherung ist in Bild B.4 dargestellt.

$$K_{x} = \frac{(2 \cdot \zeta + 1) \cdot \left\{ (\zeta + 1) \cdot \left[ \ln\left(\frac{z_{s}}{z_{0}}\right) + 0.5 \right] - 1 \right\}}{(\zeta + 1)^{2} \cdot \ln\left(\frac{z_{s}}{z_{0}}\right)}$$
(B.12)

Dabei ist

- z<sub>0</sub> Rauhigkeitslänge (Tabelle 4.1);
- $\zeta$  Exponent der Verformungsfigur (siehe Anhang F).

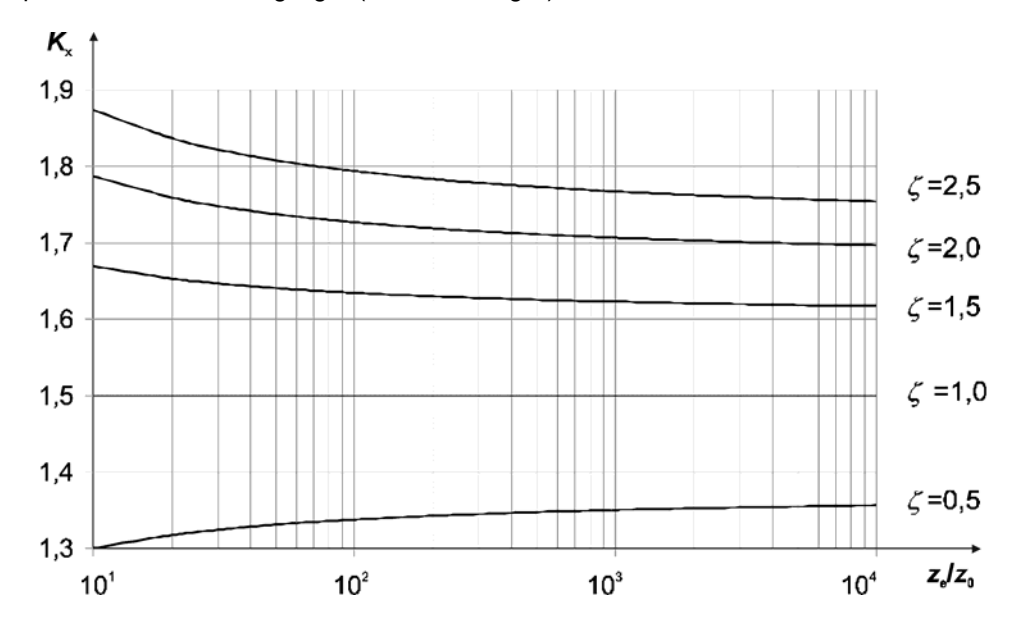


Bild B.4 – Annäherung des dimensionslosen Koeffizienten  $K_x$  nach Gleichung (B.12)

(4) Die charakteristischen Spitzenwerte der Beschleunigung werden durch Multiplikation der in Absatz (2) angegebenen Standardabweichung mit dem Spitzenbeiwert aus B.2 (3) unter Verwendung der Eigenfrequenz als Erwartungswert der Frequenz der Böenreaktion ermittelt, z. B.  $v = n_{1,x}$ .

# Anhang C (informativ)

## Berechnungsverfahren 2 zur Bestimmung des Strukturbeiwertes $c_{\rm s}c_{\rm d}$

### C.1 Windturbulenz

(1) Die Turbulenz wird nach Gleichung B.1 bestimmt.

## C.2 Strukturbeiwert $c_s c_d$

- (1) Der Strukturbeiwert  $c_{\rm s}c_{\rm d}$  ist in 6.3.1 definiert.
- (2) Der Böengrundanteil  $B^2$  erfasst die Reduktion des effektiven Windruckes durch die abnehmende Korrelation auf großen Lasteinzugflächen Er kann mit der Gleichung (C.1) berechnet werden:

$$B^{2} = \frac{1}{1 + \frac{3}{2} \cdot \sqrt{\left(\frac{b}{L(z_{s})}\right)^{2} + \left(\frac{h}{L(z_{s})}\right)^{2} + \left(\frac{b}{L(z_{s})} \cdot \frac{h}{L(z_{s})}\right)^{2}}}$$
 (C.1)

Dabei ist

- b, h die Breite und die Höhe des Bauwerks, siehe Bild 6.1;
- $L(z_s)$  Integrallängenmaß der Turbulenz nach Anhang B.1 (1) für die Bezugshöhe  $z_s$  wie in Bild 6.1 definiert.

Mit der Annahme von  $B^2$  = 1 liegt man auf der sicheren Seite.

- (3) Der Spitzenbeiwert  $k_p$  kann aus Anhang B.2 (3) entnommen werden.
- (4) Der Resonanz-Antwortanteil  $\mathbb{R}^2$ , der die resonanzartige, dynamische Vergrößerung einer Schwingungsform des Bauwerkes durch die Turbulenz erfasst, wird mit Gleichung (C.2) bestimmt:

$$R^{2} = \frac{\pi^{2}}{2 \cdot \delta} \cdot S_{L}(z_{s}, n_{1,x}) \cdot K_{s}(n_{1,x})$$
 (C.2)

Dabei ist

- δ logarithmisches Dämpfungsdekrement nach Anhang F.5;
- S<sub>L</sub> dimensionslose spektrale Dichtefunktion wie in Anhang B.1 (2) angegeben;
- $\it n_{1,x}$  Eigenfrequenz eines Bauwerks, sie kann mit Anhang F ermittelt werden;
- $K_s$  die Größenreduktionsfunktion wie in Absatz (5) angegeben.

EN 1991-1-4:2005 + A1:2010 + AC:2010 (D)

(5) Die Größenreduktionsfunktion K<sub>s</sub> kann unter Verwendung von Gleichung (C.3) angenähert werden:

$$K_{s}(n) = \frac{1}{1 + \sqrt{(G_{y} \cdot \phi_{y})^{2} + (G_{z} \cdot \phi_{z})^{2} + \left(\frac{2}{\pi} \cdot G_{y} \cdot \phi_{y} \cdot G_{z} \cdot \phi_{z}\right)^{2}}}$$
(C.3)

$$\phi_{y} = \frac{c_{y} \cdot b \cdot n}{v_{m}(z_{s})} \qquad \qquad \phi_{z} = \frac{c_{z} \cdot h \cdot n}{v_{m}(z_{s})}$$

Die Konstanten  $G_y$  und  $G_z$  hängen von der Veränderung der Schwingungsform entlang der horizontalen y-Achse und der vertikalen z-Achse (in dieser Reihenfolge) ab. Die Abklingkonstanten  $c_y$  und  $c_z$  sind beide gleich 11,5.

(6) Die Konstante G, die in Absatz (5) eingeführt wurde, und die Konstante K zur Berechnung der Beschleunigungen sind in Tabelle C.1 dargestellt..

Tabelle C.1 – G und K als Funktion der Schwingungsform

Schwingungsform	Konstant	Linear	Parabelförmig	Sinusförmig
G:	1/2	3/8	5/18	4/ <i>π</i> ²
K:	1	3/2	5/3	<b>4</b> /π

ANMERKUNG 1 Für Bauwerke mit einer konstanten horizontalen Schwingungsform und einer linearen vertikalen Schwingungsform gilt:  $\Phi(y,z) = z/h$ ,  $G_V = 1/2$ ,  $G_Z = 3/8$ ,  $K_V = 1$  und  $K_Z = 3/2$ .

ANMERKUNG 2 Für Schornsteine mit einer konstanten horizontalen Schwingungsform und einer parabelförmigen vertikalen Schwingungsform gilt:  $\Phi(y,z) = z^2/h^2$ ,  $G_V = 1/2$ ,  $G_Z = 5/18$ ,  $K_V = 1$  und  $K_Z = 5/3$ .

ANMERKUNG 3 Für Brücken mit einer sinusförmigen, horizontalen Schwingungsform gilt :  $\Phi(y,z) = \sin(\pi \cdot y/b)$ ,  $G_V = 4/\pi^2$ ,

 $G_{Z}$  = 1/2,  $K_{V}$  = 4/ $\pi$  und  $K_{Z}$  = 1.

## C.3 Anzahl der Überschreitungen verschiedener Niveaus der Böenreaktion

(1) Die Anzahl der Überschreitungen verschiedener Niveaus der Böenreaktion kann, wie in Anhang B.3 beschrieben, ermittelt werden.

# C.4 Verformungen und Beschleunigungen zur Bewertung der Gebrauchstauglichkeit vertikaler Bauwerke

- (1) Die maximale Verformung in In-Wind-Richtung ist die statische Verformung, die sich infolge der äquivalenten statischen Windkraft, die in 5.3 definiert ist, ergibt.
- (2) Die Standardabweichung  $\sigma_{a,x}$  der zu erwartenden windinduzierten Beschleunigung des Gebäudes in der Höhe z wird mit Gleichung (C.4) ermittelt:

$$\sigma_{\text{a,x}}(y,z) = c_{\text{f}} \cdot \rho \cdot I_{\text{v}}(z_{\text{s}}) \cdot v_{\text{m}}^{2}(z_{\text{s}}) \cdot R \cdot \frac{K_{\text{y}} \cdot K_{\text{z}} \cdot \Phi(y,z)}{\mu_{\text{ref}} \cdot \Phi_{\text{max}}}$$
(C.4)

### Dabei ist

 $\Phi_{\mathsf{max}}$ 

 $c_{\mathsf{f}}$ Kraftbeiwert, siehe Abschnitt 7 Dichte der Luft, siehe 4.5 (1) ρ Turbulenzintensität  $I_v(z)$  in Windrichtung für die Höhe  $z = z_s$  über dem Boden nach 4.4 (1)  $I_{\rm v}(z_{\rm s})$ mittlere Windgeschwindigkeit  $v_{\rm m}(z)$  für  $z=z_{\rm s}$ , siehe 4.3.1 (1)  $v_m(z_s)$ Bezugshöhe, siehe Bild 6.1  $z_{\mathsf{s}}$ R Wurzel des Resonanzanteils der Böenreaktion, siehe C. 2 (4) Konstanten, wie in Anhang C.2 (6) angegeben  $K_y, K_z$ Masse pro Flächeneinheit, siehe F.5 (3)  $\mu_{\text{ref}}$  $\Phi(y,z)$ Schwingungsform

Betrag der Schwingungsform an der Stelle der maximalen Amplitude.

<sup>(3)</sup> Die charakteristischen Spitzenbeschleunigungen erhält man, indem man die Standardabweichung aus Absatz (2) mit dem Spitzenbeiwert aus Anhang B.2 (3), unter Verwendung der Eigenfrequenz als Erwartungswert der Frequenz der Böenreaktion ( $v = n_{1,x}$ ), multipliziert.

EN 1991-1-4:2005 + A1:2010 + AC:2010 (D)

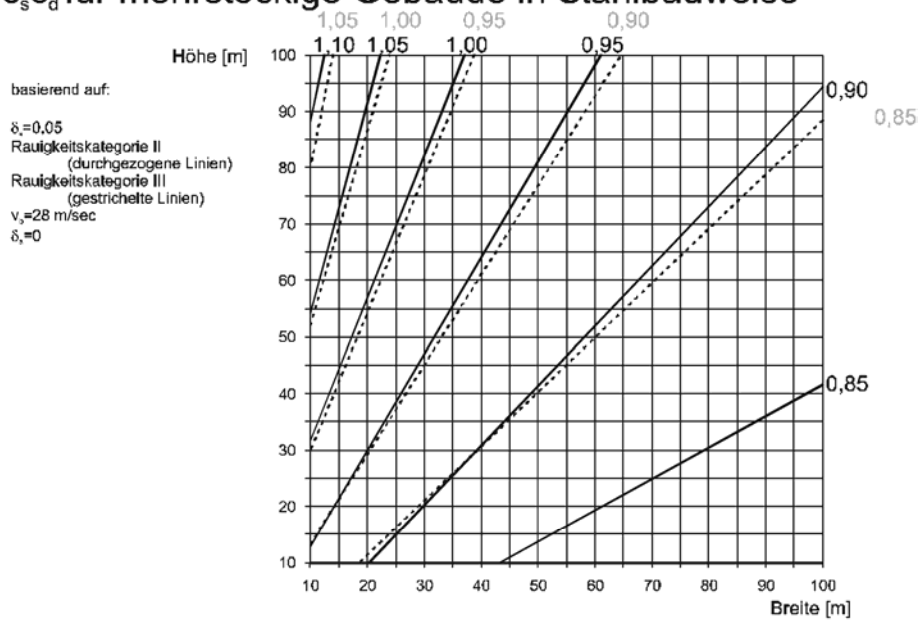
## **Anhang D**

(informativ)

## $c_{\rm s}c_{\rm d}$ -Werte für unterschiedliche Gebäudetypen

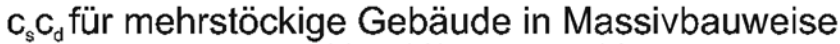
(1) Die Eigenfrequenzen und Schwingungsformen der Bauwerksstrukturen, die in diesem Anhang dargestellt werden, wurden analytisch oder unter Verwendung der Gleichungen aus Anhang F ermittelt.

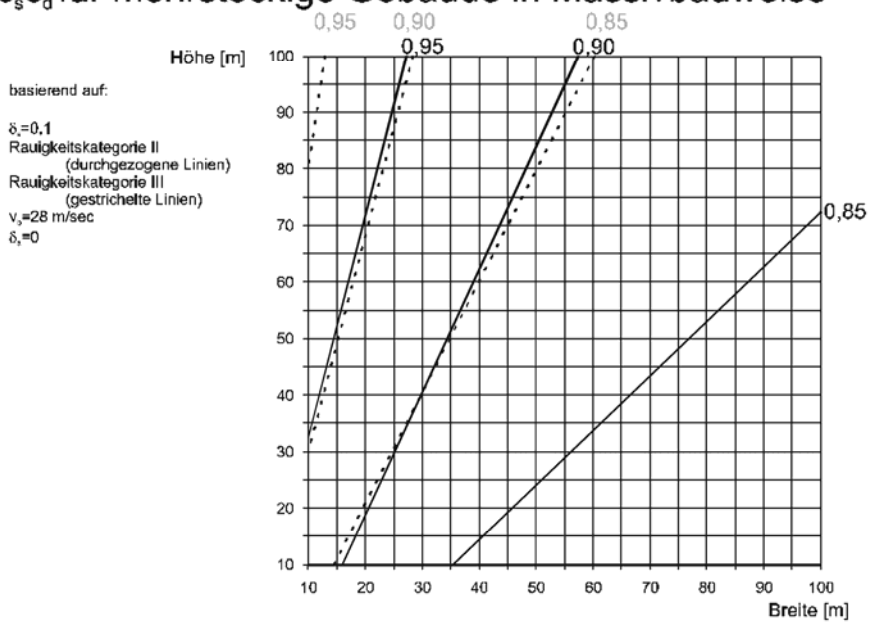
# $\mathbf{c_s}\mathbf{c_d} \, \text{für mehrstöckige Gebäude in Stahlbauweise}$



**ANMERKUNG** Für Werte, die größer sind als 1,1, ist das genaue Verfahren nach 6.3 anzuwenden; (der zulässige Minimalwert ist  $c_s c_d = 0.85$ )

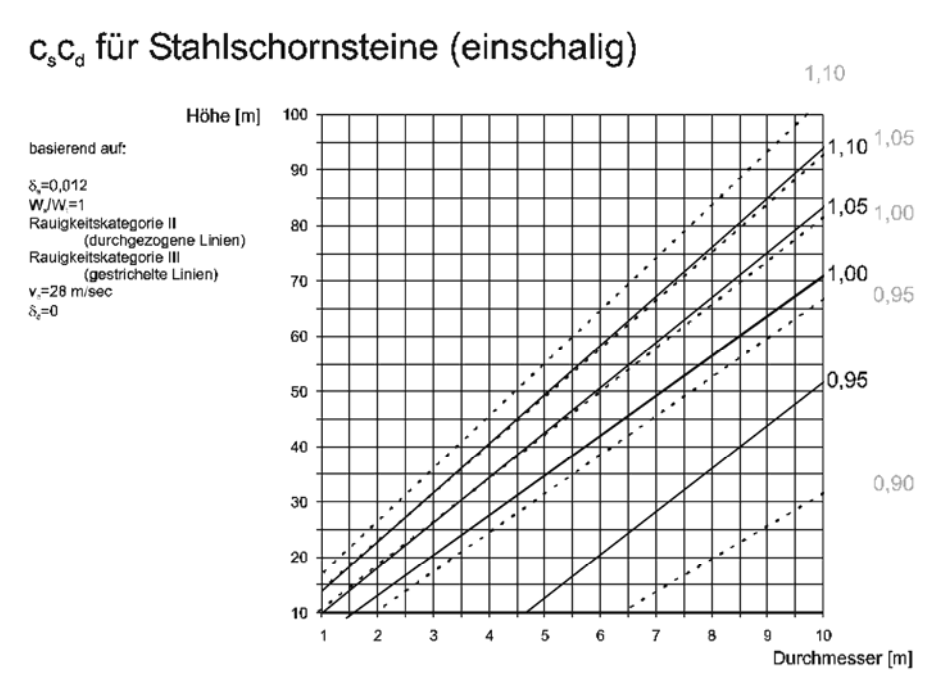
Bild D.1 —  $c_{\rm s}c_{\rm d}$  für mehrstöckige Hochhäuser in Stahlbaukonstruktion mit rechteckiger Grundfläche und vertikalen äußeren Wänden sowie mit regelmäßiger Massen- und Steifigkeitsverteilung (Frequenz entsprechend Gleichung (F.2))





ANMERKUNG Für Werte, die größer sind als 1,1, ist das genaue Verfahren nach 6.3 anzuwenden; (der zulässige Minimalwert ist  $c_s c_d = 0.85$ )

Bild D.2 —  $c_{\rm s}c_{\rm d}$  für mehrstöckige Hochhäuser in Massivbauweise mit rechteckigem Grundriss und vertikalen äußeren Wänden sowie mit regelmäßiger Massen- und Steifigkeitsverteilung (Frequenz entsprechend Gleichung (F.2))

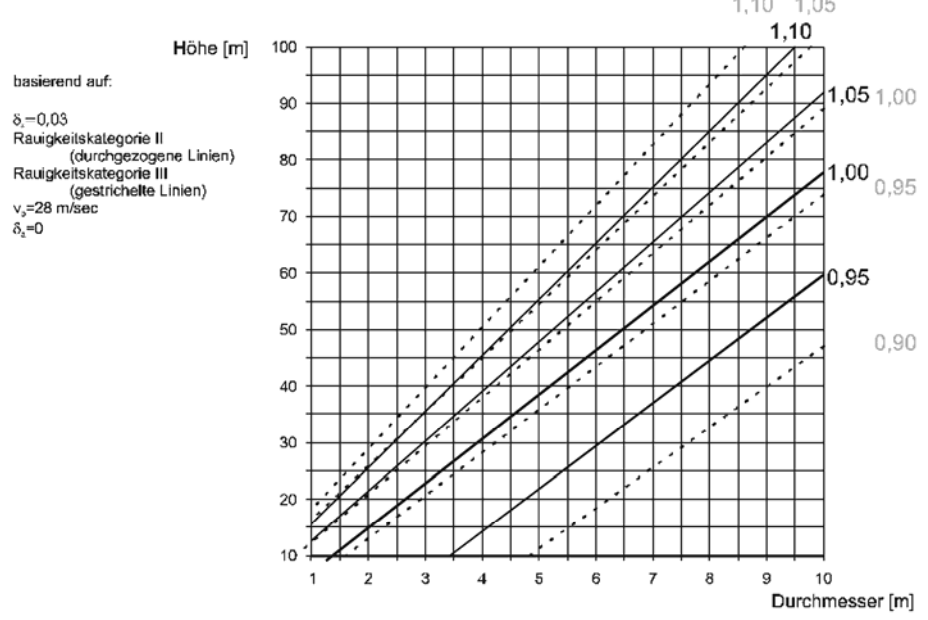


ANMERKUNG Für Werte, die größer sind als 1,1, ist das genaue Verfahren nach 6.3 anzuwenden; (der zulässige Minimalwert ist  $c_sc_d$  = 0,85)

Bild D.3 —  $c_s c_d$  für einschalige Stahlschornsteine (Frequenz entsprechend Gleichung (F.3)), mit  $\varepsilon_1 = 1\,000\,\text{und}\,W_s/W_t = 1,0$ ).

## EN 1991-1-4:2005 + A1:2010 + AC:2010 (D)

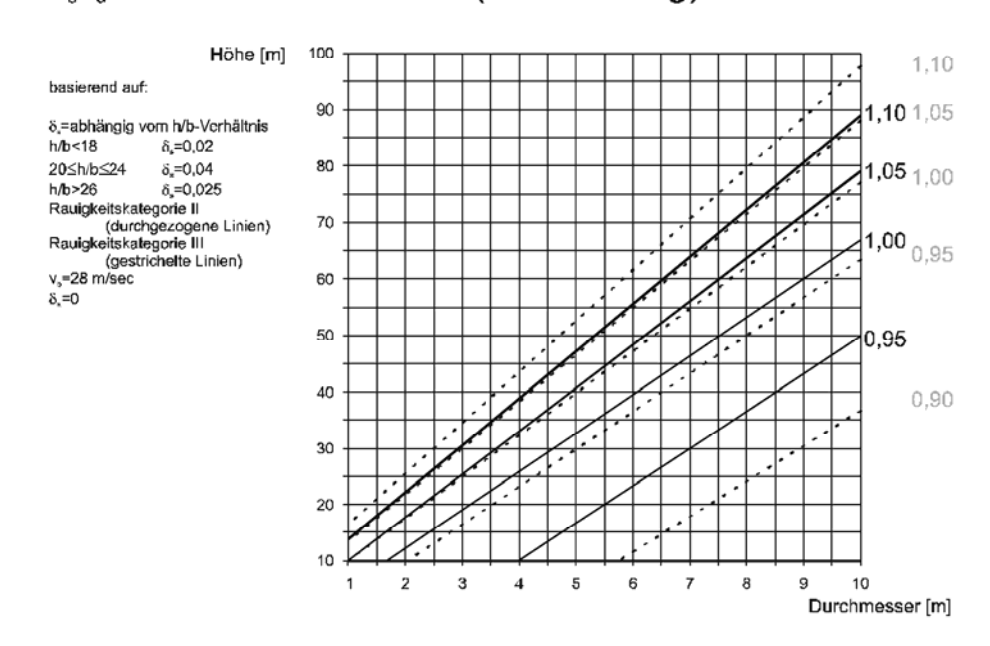




ANMERKUNG Für Werte, die größer sind als 1,1, ist das genaue Verfahren nach 6.3 anzuwenden; (der zulässige Minimalwert ist  $c_s c_d = 0.85$ )

Bild D.4 —  $c_s c_d$  für einschalige Schornsteine in Massivbauweise (Frequenz entsprechend Gleichung (F.3)), mit  $\varepsilon_1$  = 700 und  $W_s/W_t$  = 1,0).

## c<sub>s</sub>c<sub>d</sub> für Stahlschornsteine (mehrschalig)



ANMERKUNG Für Werte, die größer sind als 1,1, ist das genaue Verfahren nach 6.3 anzuwenden; (der zulässige Minimalwert ist  $c_s c_d = 0.85$ )

Bild D.5 —  $c_s c_d$  für mehrschalige Stahlschornsteine (Frequenz entsprechend Gleichung (F.3)), mit  $\varepsilon_1 = 1~000$  und  $W_s/W_t = 1,0$ )

DIN EN 1991-1-4:2010-12 EN 1991-1-4:2005 + A1:2010 + AC:2010 (D)

## Anhang E (informativ)

## Wirbelerregte Querschwingungen und aeroelastische Instabilitäten

## **E.1 Wirbelerregte Querschwingungen**

## E.1.1 Allgemeines

- (1) Wirbelerregte Querschwingungen treten auf, wenn sich Wirbel alternierend von gegenüberliegenden Seiten einer Bauwerksstruktur ablösen. Hierdurch entsteht eine alternierende Belastung quer zum Wind. Das Bauwerk kann zu Schwingungen angeregt werden, wenn die Frequenz der Wirbelablösung gleich einer Bauwerkseigenfrequenz ist. Diese Bedingung ist erfüllt, wenn die Windgeschwindigkeit der kritischen Windgeschwindigkeit, die in Anhang E.1.3.1 definiert ist, entspricht. Üblicherweise ist die kritische Windgeschwindigkeit eine häufig auftretende Geschwindigkeit, so dass die Ermüdungsbeanspruchung und die damit verbundene Anzahl der Spannungsschwingspiele bemessungsrelevant werden kann.
- (2) Die Systemreaktion, die durch wirbelerregte Schwingungen hervorgerufen wird, setzt sich aus einem breitbandigen und einem schmalbandigen Anteil zusammen. Der breitbandige Anteil ist immer vorhanden, egal ob sich die Struktur bewegt oder nicht. Der schmalbandige Anteil tritt auf, wenn es eine bewegungsinduzierte Windlast gibt.

ANMERKUNG 1 Die Berücksichtigung breitbandiger Bauwerksreaktionen ist besonders für Stahlbeton- oder schwere Stahlkonstruktionen wichtig.

ANMERKUNG 2 Schmalbandige Bauwerksreaktionen sind besonders bei leichten Stahlkonstruktionen wichtig.

## E.1.2 Kriterien für wirbelerregte Querschwingungen

- (1) Wirbelerregte Querschwingungen sind zu untersuchen, wenn das Verhältnis der größten zur kleinsten Bauwerksabmessung in der Ebene senkrecht zur Windrichtung den Wert 6 überschreitet.
- (2) Wirbelinduzierte Querschwingungen brauchen nicht untersucht werden, wenn

$$v_{\text{crit,i}} > 1,25 \cdot v_{\text{m}}$$
 (E.1)

Dabei ist

 $v_{\text{crit,i}}$  die kritische Windgeschwindigkeit gemäß E.1.3.1 für die i. Eigenform

 $v_{\rm m}$  die mittlere 10-Minuten Windgeschwindigkeit nach 4.3.1 (1) am Querschnittsbereich, an dem Wirbelerregung auftritt (siehe Bild E.3)

EN 1991-1-4:2005 + A1:2010 + AC:2010 (D)

## E.1.3 Grundlegende Parameter für wirbelerregte Schwingungen

#### E.1.3.1 Kritische Windgeschwindigkeit v<sub>crit.i</sub>

(1) Die kritische Windgeschwindigkeit einer Biegeschwingungsform i ist definiert als die Windgeschwindigkeit,  $\boxed{\mathbb{AC}}$  bei der die Frequenz der Wirbelablösung gleich der Eigenfrequenz (Schwingungsform i) des Tragwerks bzw. des Bauteils ist.  $\boxed{\mathbb{AC}}$  Sie wird mit Gleichung (E.2) berechnet:

$$v_{\text{crit,i}} = \frac{b \cdot n_{\text{i,y}}}{St}. \tag{E.2}$$

Dabei ist

- b maßgebende Breite des Querschnitts im Bereich der Wirbelerregung und an dem die maximale modale Auslenkung der Bauwerksstruktur (oder eines Teilbereichs) auftritt; bei Kreiszylindern ist die maßgebende Breite gleich dem äußeren Durchmesser.
- $n_{i,y}$  Eigenfrequenz der i-ten Schwingungsform für Schwingungen quer zur Windrichtung, Näherungsgleichungen werden im F.2 angegeben.
- St die Strouhalzahl nach E.1.3.2
- (2) Die kritische Windgeschwindigkeit für ovalisierende Schwingungen von zylindrischen Schalen ist definiert als die Windgeschwindigkeit, bei der die Frequenz der wirbelerregten Schwingungen doppelt so groß wie die Eigenfrequenz der ovalisierenden Schwingungsform i der Zylinderschale ist. Sie ist in Gleichung (E.3) angegeben.

$$v_{\text{crit,i}} = \frac{b \cdot n_{\text{i,0}}}{2 \cdot St} \,. \tag{E.3}$$

Dabei ist

b äußerer Schalendurchmesser;

St die Strouhalzahl nach E.1.3.2;

 $n_{i,o}$  die i-ten Schwingungsform der Schale.

ANMERKUNG 1 Für Schalen ohne Versteifungsringe ist  $n_0$  in F.2 (3) angegeben

ANMERKUNG 2 Verfahren zur Berechnung von Schalenschwingungen sind im Anhang E nicht angegeben.

#### E.1.3.2 Strouhalzahl St

(1) Die Strouhalzahl St für verschiedene Querschnitte kann der Tabelle E.1 entnommen werden.

Tabelle E.1 — Strouhalzahlen St für verschiedene Querschnitte

Querschnitt		St
für alle Reynolds-Zahlen		0,18
$ \begin{array}{c c}  & d \\ \hline  & 0,5 \le d/b \le 10 \end{array} $		aus Bild E.1
d + d	<i>d/b</i> = 1	0,11
b	d/b = 1,5	0,10
l ↓ ↓ lineare Interpolation zulässig	d/b = 2	0,14
	<i>d/b</i> = 1	0,13
lineare Interpolation zulässig	<i>d/b</i> = 2	0,08
→ d → L	<i>d/b</i> = 1	0,16
lineare Interpolation zulässig	<i>d/b</i> = 2	0,12
<b>d</b>	<i>d/b</i> = 1,3	0,11
	<i>d/b</i> = 2,0	0,07
lineare Interpolation zulässig		
ANMERKUNG Die Extrapolation der Strouh	alzahlen als Funkti	on von $d/b$ ist nicht zulässig.

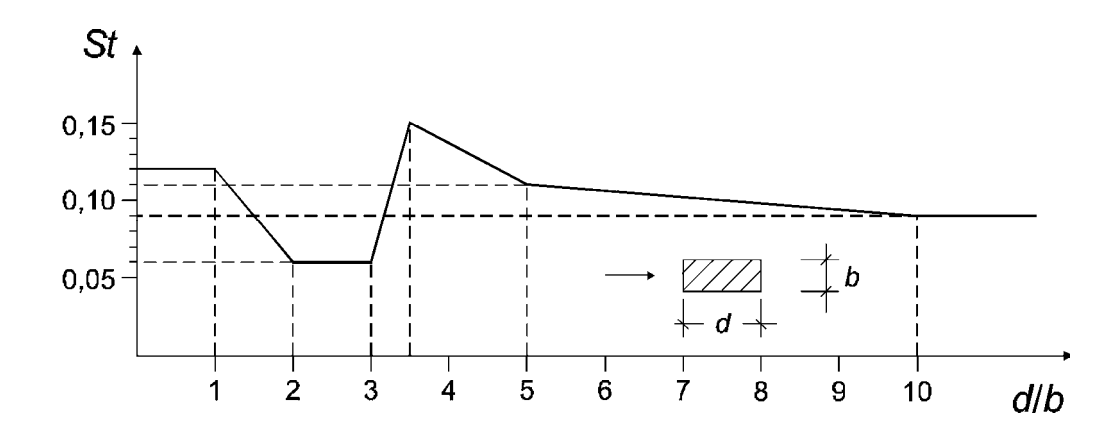


Bild E.1 — Strouhalzahl (St) für Rechteckquerschnitte mit scharfen Kanten

#### E.1.3.3 Scrutonzahl Sc

(1) Die Anfälligkeit gegenüber Schwingungen hängt von der Strukturdämpfung und dem Verhältnis der Bauwerksmasse zur Masse der Luft ab. Dieses Verhältnis wird durch die Scrutonzahl nach Gleichung (E.4) ausgedrückt.

$$Sc = \frac{2 \cdot \delta_{s} \cdot m_{i,e}}{\rho \cdot b^{2}} . \tag{E.4}$$

Dabei ist

- $\delta_{\text{s}}$  die Strukturdämpfung ausgedrückt durch das logarithmische Dämpfungsdekrement;
- ρ die Dichte der Luft;
- $m_{i,e}$  die äquivalente Masse je Längeneinheit nach Gleichung (F.14);
- b die Bezugsbreite des Querschnitts an der Stelle, an der wirbelerregte Schwingungen auftreten.

ANMERKUNG Der Wert für die Luftdichte  $\rho$  kann im Nationalen Anhang angegeben werden. Der empfohlene Wert liegt bei 1,25 kg/m³.

## E.1.3.4 Reynoldszahl Re

(1) Bei kreisförmigen Zylindern hängt die Beanspruchung durch wirbelerregte Schwingungen von der Reynoldszahl Re bei der kritischen Windgeschwindigkeit  $\nu_{\text{crit,i}}$  ab. Die Reynoldszahl wird mit Gleichung (E.5) berechnet.

$$Re(v_{\text{crit,i}}) = \frac{b \cdot v_{\text{crit,i}}}{v}$$
 (E.5)

Dabei ist

- b der äußere Durchmesser des kreisförmigen Zylinders;
- v kinetische Zähigkeit der Luft ( $v \approx 15 \cdot 10^{-6} \text{ m}^2/\text{s}$ );

 $v_{crit,i}$  kritische Windgeschwindigkeit, nach E.1.3.1.

## E.1.4 Beanspruchung durch wirbelerregte Schwingungen

(1) Die Beanspruchungen infolge wirbelerregter Querschwingungen resultieren aus den Massenträgheitskräften des in Resonanz schwingenden Systems. Die Massenträgheitskräfte je Längeneinheit  $F_w(s)$ , die normal zur Windrichtung an der Stelle s auf die Konstruktion wirken, können mit der Gleichung (E.6) berechnet werden.

$$F_{\mathbf{w}}(s) = m(s) \cdot (2 \cdot \pi \cdot n_{\mathbf{i},\mathbf{y}})^2 \cdot \Phi_{\mathbf{i},\mathbf{y}}(s) \cdot y_{\mathbf{F},\text{max}}$$
 (E.6)

Dabei ist

- m(s) längenbezogene schwingende Masse der Bauwerksstruktur [kg/m];
- $n_{i,y}$  Eigenfrequenz der i-ten Schwingungsform des Bauwerks;
- $\Phi_{i,y}$  (s) Schwingungsform i des Bauwerks normiert am Punkt mit der größten Schwingwegamplitude;
- $y_{F,max}$  die maximale Schwingwegamplitude an der Stelle mit  $\Phi_{i,y}(s)$  gleich 1, siehe E.1.5.

## E.1.5 Berechnung der Querschwingungsamplitude

## E.1.5.1 Allgemeines

(1) In den Anhängen E.1.5.2 und E.1.5.3 sind zwei unterschiedliche Methoden zur Berechnung der Querschwingungsamplituden angegeben.

ANMERKUNG 1 Die Wahl des Berechnungsverfahrens oder die Durchführung alternativer Berechnungsweisen kann im Nationalen Anhang geregelt sein.

ANMERKUNG 2 Ein direkter Vergleich der Näherungsverfahren aus den Anhängen E.1.5.2 und E.1.5.3 ist nicht möglich, da einige der Eingangsparameter für unterschiedliche Umgebungsbedingungen gewählt werden. Der Nationale Anhang kann die Anwendungsgrenzen der jeweiligen Verfahren angeben.

ANMERKUNG 3 Eine Mischung der Berechnungsverfahren Anhängen E.1.5.2 und E.1.5.3 ist nicht gestattet, es sei denn, es ist ausdrücklich in diesem Text angegeben.

(2) Das Berechnungsverfahren in Anhang E.1.5.2 kann für verschiedene Arten von Bauwerken und unterschiedliche Schwingungsformen verwendet werden. Das Verfahren schließt Einflüsse aus Windturbulenz und Rauhigkeit ein und kann für normale klimatische Bedingungen angewendet werden.

## EN 1991-1-4:2005 + A1:2010 + AC:2010 (D)

(3) Das Berechnungsverfahren in Anhang E.1.5.3 kann verwendet werden, um die Tragwerksantwort für die erste Schwingungsform an Kragstrukturen zu bestimmen. Voraussetzungen sind konstante Abmessungen quer zur Windrichtung entlang der Hauptachse. Das Verfahren ist insbesondere für Schornsteine und Masten geeignet. Das Verfahren kann nicht für gruppiert oder in Reihe angeordnete Zylinder angewendet werden. Dieses Verfahren erlaubt die Berücksichtigung unterschiedlicher Turbulenzintensitäten, die meteorologisch bedingt auftreten können. In Gebieten, in denen tiefe Temperaturen wahrscheinlich sind und geschichtete Strömung auftreten kann (z. B. in Küstenregionen Nordeuropas), kann die Berechnungsweise nach Anhang E.1.5.3 angewendet werden.

ANMERKUNG Der Nationale Anhang kann diejenigen Regionen benennen, in denen große Kälte und geschichtete Strömung auftreten können. Für diese Regionen ist die Berechnung nach Variante 2 in Anhang E.1.5.3 geeigneter. Der Nationale Anhang kann die Eingangsparameter (wie z. B. Ka oder die Turbulenzintensität), die in diesem Verfahren verwendet werden, definieren.

#### E.1.5.2 Verfahren 1 zur Berechnung der Querschwingungsamplituden

#### E.1.5.2.1 Berechnung der Auslenkung

(1) Die größte Auslenkung  $y_{\text{F.max}}$  kann unter Verwendung der Gleichung (E.7) berechnet werden:

$$\frac{y_{\text{F,max}}}{b} = \frac{1}{St^2} \cdot \frac{1}{Sc} \cdot K \cdot K_{\text{W}} \cdot c_{\text{lat}}. \tag{E.7}$$

Dabei ist

St die Strouhalzahl nach Tabelle E.1

Sc die Scrutonzahl nach E.1.3.3

K<sub>W</sub> der Wirklängenfaktor nach E.1.5.2.4

K der Beiwert der Schwingungsform nach E.1.5.2.5

 $c_{lat}$  der aerodynamische Erregerkraftbeiwert nach Tabelle E.3

ANMERKUNG Die aeroelastischen Kräfte werden durch den Wirklängenfaktor K<sub>W</sub> berücksichtigt.

## E.1.5.2.2 Der aerodynamische Erregerkraftbeiwert c<sub>lat</sub>

(1) Der Grundwert des aerodynamischen Erregerkraftbeiwertes  $c_{lat,0}$  ist Tabelle E.2 zu entnehmen.

Tabelle E.2 — Grundwert des aerodynamischen Erregerkraftbeiwertes  $c_{\rm lat,0}$  für verschiedene Querschnitte

Querschnitt		$c_{lat,0}$
für elle Deurseldersehler		siehe Bild E.2
für alle Reynoldszahlen		
		1,1
$0.5 \le d/b \le 10$		
d + d	<i>d/b</i> = 1	0,8
b	d/b = 1,5	1,2
lineare Interpolation zulässig	<i>d/b</i> = 2	0,3
d       b	<i>d/b</i> = 1	1,6
lineare Interpolation zulässig	<i>dlb</i> = 2	2,3
+ d +	<i>dlb</i> = 1	1,4
lineare Interpolation zulässig	<i>dlb</i> = 2	1,1
d + d	<i>d/b</i> = 1,3	0,8
lineare Interpolation zulässig  ANMERKUNG Die Extrapolation der Erregerkraf	d/b = 2.0	1,0

## EN 1991-1-4:2005 + A1:2010 + AC:2010 (D)

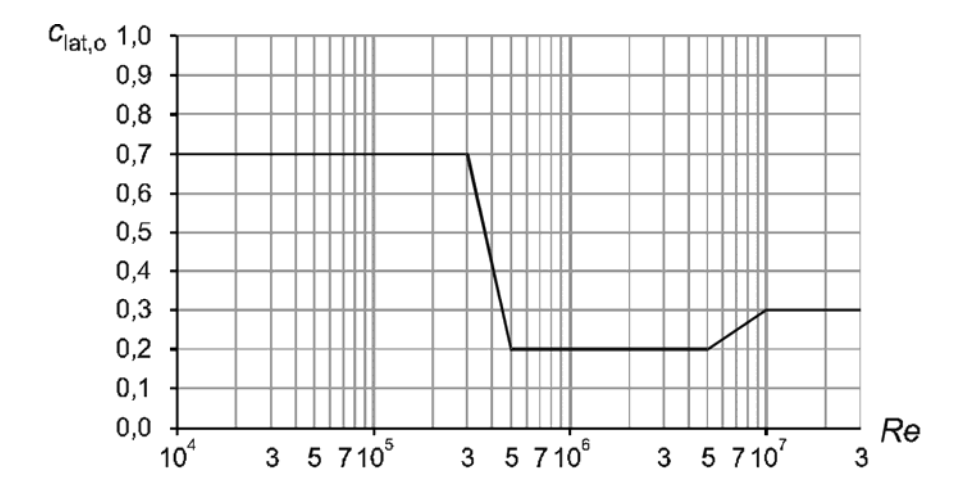


Bild E.2 – Grundwert des aerodynamischen Erregerkraftbeiwertes  $c_{\text{lat,0}}$  in Abhängigkeit von der Reynoldszahl  $Re(v_{crit,i})$  für kreisförmige Zylinder, siehe E.1.3.4

(2) Der aerodynamische Erregerkraftbeiwert  $c_{\rm lat}$  ist in Tabelle E.3 angegeben

Tabelle E.3 — Aerodynamischer Erregerkraftbeiwert  $c_{\text{lat}}$  in Abhängigkeit vom Verhältnis der kritischen zur mittleren Windgeschwindigkeit  $v_{\text{crit},i}/v_{\text{m,Li}}$ 

kritisches Windgeschwindigkeitsverhältnis	$c_{lat}$
$\frac{v_{\text{crit,i}}}{v_{\text{m,Lj}}} \le 0.83$	$c_{\text{lat}} = c_{\text{lat},0}$
$0.83 \le \frac{v_{\text{crit,i}}}{v_{\text{m,L,j}}} < 1.25$	$c_{\text{lat}} = \left(3 - 2.4 \cdot \frac{v_{\text{crit,i}}}{v_{\text{m,Lj}}}\right) \cdot c_{\text{lat,0}}$
$1,25 \le \frac{v_{\text{crit,i}}}{v_{\text{m,Lj}}}$	$c_{lat} = 0$

#### Dabei ist

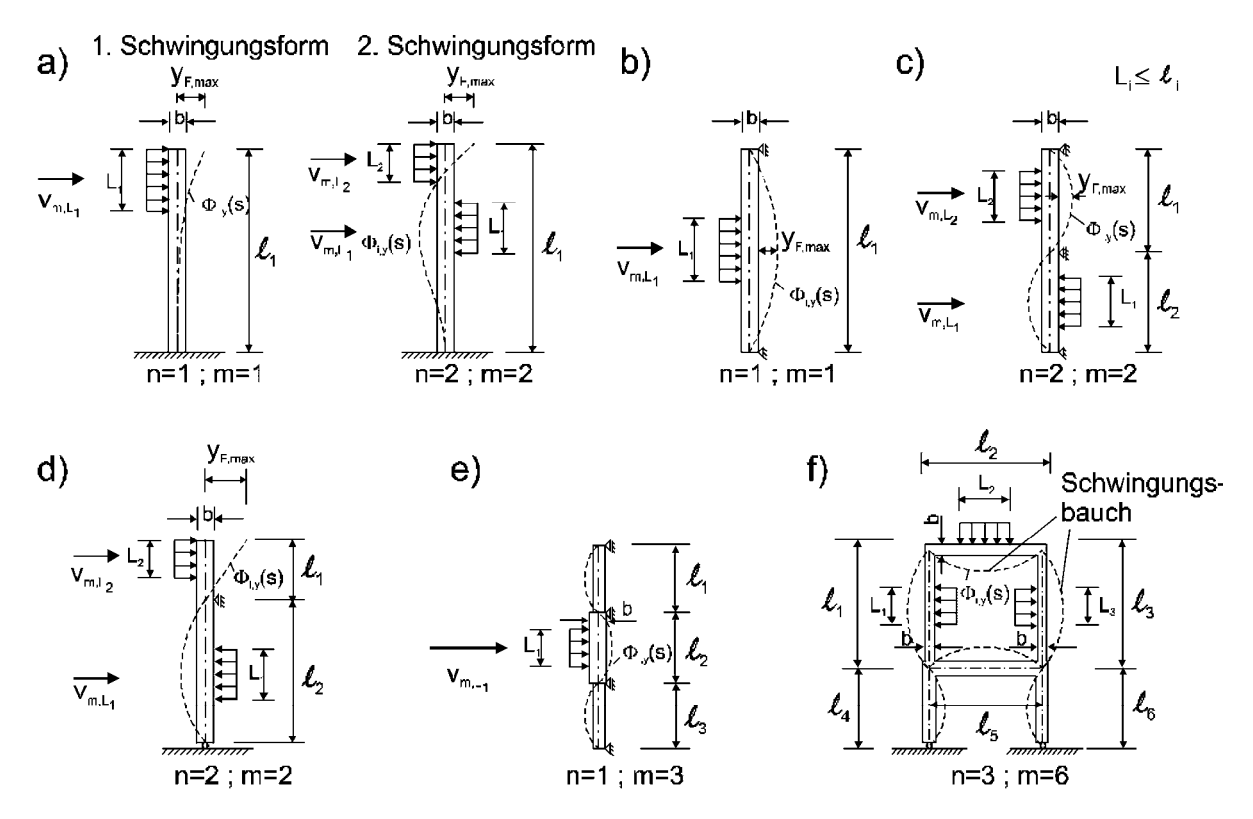
 $c_{lat,0}$  Grundwert von  $c_{lat}$  nach Tabelle E.2 und für kreisförmige Zylinder nach Bild E.2;

 $v_{crit,i}$  kritische Windgeschwindigkeit  $\mathbb{A}^{\mathbb{C}}$  (siehe E.1.3.1)  $\mathbb{A}^{\mathbb{C}}$ ;

 $v_{m,Li}$  mittlere Windgeschwindigkeit  $\mathbb{A}$  (siehe 4.3.1)  $\mathbb{A}$  in der Mitte der Wirklänge nach Bild E.3.

## E.1.5.2.3 Die Wirklänge L

(1) Die Wirklänge  $L_{\rm i}$  ist im Bereich der Schwingungsbäuche anzusetzen. Beispiele sind in Bild E.3 angegeben. Für abgespannte Maste und über mehrere Felder laufende Brücken sind besondere Überlegungen erforderlich.



ANMERKUNG Wenn mehr als eine Wirklänge angegeben ist, sind sie gleichzeitig zu verwenden und der höchste Wert für  $c_{\text{lat}}$  ist anzusetzen.

Bild E.3 – Beispiele für die Verwendung der Wirklänge  $L_i$  (j = 1, 2, 3)

Tabelle E.4 – Wirklänge  $L_j$  als Funktion der Schwingwegamplitude  $y_F(s_j)$ 

$y_{F}(s_{j})/b$	L <sub>j</sub> / b
< 0,1	6
0,1 bis 0,6	$4,8+12 \cdot \frac{y_{\rm F}(s_{\rm j})}{b}$
> 0,6	12

## EN 1991-1-4:2005 + A1:2010 + AC:2010 (D)

## E.1.5.2.4 Der Wirklängenfaktor $K_W$

(1) Der Wirklängenfaktor  $K_W$  ist mit Gleichung (E.8) definiert.

$$K_{W} = \frac{\sum_{j=1}^{n} \int_{L_{j}} |\Phi_{i,y}(s)| ds}{\sum_{j=1}^{m} \int_{\ell_{i}} |\Phi_{i,y}(s)| ds} \le 0.6$$
(E.8)

#### Dabei ist

- $\Phi_{i,y}$  die i-te Schwingungsform (siehe F.3);
- $L_{i}$  die Wirklänge;
- die Länge der Bauwerksstruktur zwischen zwei Knotenpunkten (siehe Bild E.3); bei Kragsystemen ist die Länge identisch mit der Bauwerkshöhe;
- n Anzahl der Bereiche, in denen Wirbelablösung gleichzeitig auftritt (siehe Bild E.3);
- $\it m$  ist die Anzahl der Schwingungsbäuche der berücksichtigten Schwingungsform  $\Phi_{i,y}$  des schwingenden Systems;
- s ist die Koordinate nach Bild E.5.
- (2) Für einige einfache Strukturen, die in der Grundform schwingen und bei denen die Erregerkräfte wie in Tabelle E.5 angreifen, darf der Wirklängenfaktor  $K_W$  näherungsweise mit den Gleichungen der Tabelle E.5 ermittelt werden.

Tabelle E.5 – Wirklängenfaktor  $K_W$  und Beiwert K der Schwingungsform für einfache System

System	Schwingungs form	K <sub>W</sub>	K
	$\Phi_{i,y}(s)$		
	siehe Anhang F.3 mit $\zeta = 2,0$ n = 1; $m = 1$	$3 \cdot \frac{L_{j}/b}{\lambda} \cdot \left[1 - \frac{L_{j}/b}{\lambda} + \frac{1}{3} \cdot \left(\frac{L_{j}/b}{\lambda}\right)^{2}\right]$	0,13
	siehe Tabelle F.1 n = 1; m = 1	$\cos\!\left[\frac{\pi}{2}\!\cdot\!\left(1\!-\!\frac{L_{\rm j}/b}{\lambda}\right)\right]$	0,10
	siehe Tabelle F.1 n = 1; m = 1	$\frac{L_{j}/b}{\lambda} + \frac{1}{\pi} \cdot \sin \left[ \pi \cdot \left( 1 - \frac{L_{j}/b}{\lambda} \right) \right]$	0,11
$F_{2} \downarrow \downarrow$	Modalanalyse $n = 3$ $m = 3$	$\frac{\sum_{i=1}^{n} \int_{L_{j}}  \Phi_{i,y}(s)  ds}{\sum_{j=1}^{m} \int_{\ell_{j}}  \Phi_{i,y}(s)  ds}$	0,10

ANMERKUNG 1 Die Schwingungsform  $\Phi_{1,y}$  (s) kann nach F.3 ermittelt werden. Die Parameter n und m sind in der Gleichungen (E.8) und in Bild E.3 definiert.

ANMERKUNG 2  $\lambda = \ell/b$ 

EN 1991-1-4:2005 + A1:2010 + AC:2010 (D)

#### E.1.5.2.5 Der Beiwert der Schwingungsform

(1) Der Beiwert der Schwingungsform *K* ist definiert als:

$$K = \frac{\sum_{j=1}^{m} \int_{\ell_{j}} |\mathcal{Q}_{i,y}(s)| ds}{4 \cdot \pi \cdot \sum_{j=1}^{m} \int_{\ell_{j}} \mathcal{O}_{i,y}^{2}(s) ds}.$$
 (E.9)

Dabei ist

*m* nach Definition in Anhang E.1.5.2.4 (1);

 $\Phi_{i,y}(s)$  die i-te Schwingungsform für Querschwingungen (siehe Anhang F.3);

ℓ<sub>i</sub> die Systemlänge zwischen zwei Knotenpunkten (siehe Bild E.3).

(2) Für einige einfache Strukturen, die in der Grundschwingungsform schwingen, ist der Beiwert in Tabelle E.5 angegeben

#### E.1.5.2.6 Anzahl N der Spannungsschwingspiele

(1) Die Anzahl N der Spannungsschwingspiele, die durch wirbelerregte Querschwingungen hervorgerufen werden, kann nach Gleichung (E.10) ermittelt werden.

$$N = 2 \cdot T \cdot n_{y} \cdot \varepsilon_{0} \cdot \left(\frac{v_{crit}}{v_{0}}\right)^{2} \cdot \exp\left(-\left(\frac{v_{crit}}{v_{0}}\right)^{2}\right)$$
 (E.10)

Dabei ist

 $n_y$  Eigenfrequenz in Hz der i-ten Querschwingungsform des Bauwerks; Näherungsverfahren sind in Anhang F angegeben

v<sub>crit</sub> die kritische Windgeschwindigkeit [m/s] nach Anhang E.1.3.1

- $v_0$  das  $\sqrt{2}$  -fache des häufigsten Wertes (Modalwert  $v_{\rm mod}$ ) der Wahrscheinlichkeitsverteilung der mittleren Windgeschwindigkeit in [m/s]
- T die Entwurfslebensdauer in Sekunden, gleichbedeutend mit dem 3,2 · 10<sup>7</sup>-fachen der angestrebten Lebensdauer in Jahren
- ε<sub>0</sub> ist der Bandbreitenfaktor, welcher die Bandbreite der Windgeschwindigkeiten beschreibt, die wirbelinduzierte Schwingungen hervorrufen

ANMERKUNG 1 Der Nationale Anhang kann einen minimalen Wert für N vorgeben. Der empfohlene Wert ist  $N \ge 10^4$ .

ANMERKUNG 2 Der Wert für  $v_0$  kann mit 20 % der charakteristischen mittleren Windgeschwindigkeit in der Höhe des Querschnitts, an dem Wirbelablösung auftritt, angenommen werden (siehe Abschnitt 4.3.1 (1)).

ANMERKUNG 3 Der Bandbreitenfaktor  $\varepsilon_0$  kann Werte zwischen 0,1 und 0,3 annehmen. Er kann zu  $\varepsilon_0$  = 0,3 angenommen werden.

## E.1.5.2.7 Interferenzeffekte bei Reihen- oder Gruppenanordnung für Schwingungen quer zur Windrichtung

(1) Bei kreisförmigen Zylindern in Reihen- oder Gruppenanordnung mit oder ohne Kopplung (siehe Bild E.4) können wirbelerregte Schwingungen auftreten.

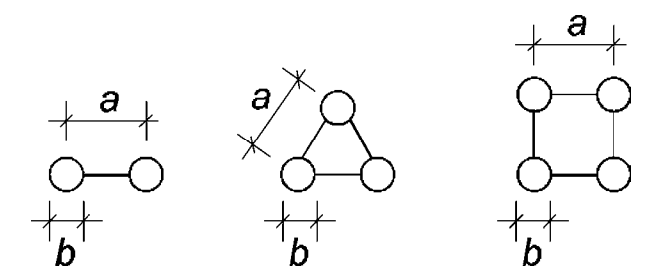


Bild E.4 - Reihen- und Gruppenanordnungen von Zylindern

(2) Die maximale Auslenkung kann mit Gleichung (E.7) und der Berechnungsmethode nach Anhang E.1.5.2 und den Modifikationen entsprechend den Gleichungen (E.11) und (E.12) abgeschätzt werden.

Für in Reihe stehende Zylinder ohne Kopplung gilt:

$$c_{\text{lat}} = 1,5 \cdot c_{\text{lat(single)}} \qquad \qquad \text{für} \qquad 1 \leq \frac{a}{b} \leq 10$$
 
$$c_{\text{lat}} = c_{\text{lat(single)}} \qquad \qquad \text{für} \qquad \frac{a}{b} \geq 15$$
 
$$\text{lineare Interpolation} \qquad \qquad \text{für} \qquad 10 < \frac{a}{b} \leq 15$$
 
$$St = 0,1 + 0,085 \cdot \log \left(\frac{a}{b}\right) \qquad \qquad \text{für} \qquad 1 \leq \frac{a}{b} \leq 9$$
 
$$St = 0,18 \qquad \qquad \text{für} \qquad \frac{a}{b} > 9$$

Dabei ist

 $c_{\text{lat (single)}} = c_{\text{lat}}$  nach Tabelle E.3.

Für gekoppelte Zylinder gilt:

$$c_{lat} = K_{iv} \cdot c_{lat(\sin gle)}$$
 für  $1.0 \le a/b \le 3.0$  (E.12)

Dabei ist

 $K_{iv}$  der Interferenzfaktor für wirbelerregte Querschwingungen (Tabelle E.8)

St die Strouhalzahl, nach Tabelle E.8

Sc die Scrutonzahl, nach Tabelle E.8

Für gekoppelte Zylinder mit a/b > 3.0 sind Sonderuntersuchungen erforderlich.

ANMERKUNG Der Faktor 1,5  $\cdot$   $c_{\text{lat}}$  für Kreiszylinder ohne Kopplung ist eine grobe Annäherung. Diese Annäherung wird als konservativ angesehen.

## EN 1991-1-4:2005 + A1:2010 + AC:2010 (D)

#### E.1.5.3 Verfahren 2 zur Berechnung der Querschwingungsamplituden

(1) Die charakteristische maximale Auslenkung  $y_{\text{max}}$  kann für den Punkt mit der größten Verschiebung mit der Gleichung (E.13) berechnet werden:

$$y_{\text{max}} = \sigma_{\text{v}} \cdot k_{\text{p}}$$
 (E.13)

Dabei ist

- $\sigma_{v}$  die Standardabweichung für die Auslenkung, siehe (2)
- $k_{\rm p}$  der Spitzenbeiwert, siehe (6)
- (2) Die Standardabweichung  $\sigma_y$  der Verschiebung bezogen auf die Breite b am Punkt mit der größten Auslenkung ( $\Phi$ = 1) kann mit Gleichung (E.14) berechnet werden.

$$\frac{\sigma_{y}}{b} = \frac{1}{St^{2}} \cdot \frac{C_{c}}{\sqrt{\frac{Sc}{4 \cdot \pi} - K_{a} \cdot \left(1 - \left(\frac{\sigma_{y}}{b \cdot a_{L}}\right)^{2}\right)}} \cdot \sqrt{\frac{\rho \cdot b^{2}}{m_{e}}} \cdot \sqrt{\frac{b}{h}}$$
(E.14)

#### Dabei ist

- $C_{\rm c}$  eine aerodynamische Konstante, abhängig von der Querschnittsform und bei kreisförmigen Zylindern ebenfalls abhängig von der Reynoldszahl Re, die in Anhang E.1.3.4 (1) definiert und in Tabelle E.6 angegeben ist,
- $K_a$  der aerodynamische Dämpfungsparameter wie in Anhang E.1.5.3 (4) angegeben.
- $a_{\rm L}$  die normierte Grenzamplitude, die die Auslenkung von Systemen mit sehr geringen Dämpfungswerten angibt; zu entnehmen der Tabelle E.6
- AC Sc die Scrutonzahl, wie in E.1.3.3 angegeben AC
- St die Strouhalzahl, wie in  $\boxed{\mathbb{A}^{\mathbb{C}}}$  Tabelle E.1 angegeben  $\boxed{\mathbb{A}^{\mathbb{C}}}$
- ρ Dichte der Luft unter Querschwingungsbedingungen, siehe Anmerkung 1.
- $m_{\rm e}$  die effektive Masse je Längeneinheit, nach F.4 (1)
- *h,b* die Höhe und die Breite des Bauwerks. Bei Bauwerken mit veränderlicher Breite wird die Breite in Höhe der größten Auslenkung verwendet.
- ANMERKUNG 1 Der Wert für die Luftdichte  $\rho$  kann im Nationalen Anhang angegeben werden. Der empfohlene Wert ist 1,25 kg/m<sup>3</sup>.
- ANMERKUNG 2 Die aerodynamische Konstante  $C_c$  ist von der an einem unbewegten System wirkenden Auftriebskraft abhängig.
- ANMERKUNG 3 Die bewegungsinduzierten Windkräfte werden durch die Verwendung von Ka und aL berücksichtigt:
- (3) Die Lösung der Gleichung (E.14) ist in Gleichung (E.15) angegeben.

DIN EN 1991-1-4:2010-12 EN 1991-1-4:2005 + A1:2010 + AC:2010 (D)

$$\left(\frac{\sigma_{y}}{b}\right)^{2} = c_{1} + \sqrt{c_{1}^{2} + c_{2}} \tag{E.15}$$

wobei die Konstanten  $c_1$  und  $c_2$  wie folgt definiert sind:

$$c_{1} = \frac{a_{L}^{2}}{2} \cdot \left(1 - \frac{Sc}{4 \cdot \pi \cdot K_{a}}\right); c_{2} = \frac{\rho \cdot b^{2}}{m_{e}} \cdot \frac{a_{L}^{2}}{K_{a}} \cdot \frac{C_{c}^{2}}{St^{4}} \cdot \frac{b}{h}$$
 (E.16)

(4) Die aerodynamische Dämpfungskonstante  $K_a$  verringert sich mit steigender Turbulenzintensität. Bei einer Turbulenzintensität von 0 % nimmt die aerodynamische Dämpfungskonstante den Wert  $K_a$  =  $K_{a,max}$  an, der in Tabelle E.6 angegeben ist.

ANMERKUNG Wird  $K_{a,max}$  für Turbulenzintensitäten größer 0 % verwendet, so erhält man eine konservative Vorhersage der Auslenkung. Der Nationale Anhang darf genauere Informationen zum Einfluss der Turbulenz auf den Wert  $K_{a,max}$  angeben.

(5) Für einen kreisförmigen Zylinder und einen quadratischen Querschnitt sind die Konstanten  $C_c$ ,  $K_{a,max}$  und  $a_L$  in Tabelle E.6 angegeben.

Tabelle E.6 – Konstanten zur Bestimmung der wirbelerregten Querschwingungen

Konstante	kreisförmiger Zylinder $Re \le 10^5$	kreisförmiger Zylinder <i>Re</i> = 5·10 <sup>5</sup>	kreisförmiger Zylinder $Re \ge 10^6$	Rechteck- querschnitt
$C_{c}$	0,02	0,005	0,01	0,04
$K_{a,max}$	2	0,5	1	6
$a_{L}$	0,4	0,4	0,4	0,4

ANMERKUNG Bei kreisförmigen Zylindern wird angenommen, dass die Konstanten  $C_c$  und  $K_{a,max}$  sich proportional zum Logarithmus der Reynoldszahl für die Bereiche  $10^5 < Re < 5.10^5$  und  $5.10^5 < Re < 10^6$  verhalten.

(6) Der Spitzenbeiwert  $k_p$  ist zu berücksichtigen.

ANMERKUNG Der Nationale Anhang kann den Spitzenbeiwert definieren. Die Gleichung (E.17) liefert empfohlene Werte.

$$k_{p} = \sqrt{2} \cdot \left\{ 1 + 1.2 \cdot \arctan\left(0.75 \cdot \frac{Sc}{(4 \cdot \pi \cdot K_{a})}\right)^{4} \right\}$$
 (E.17)

(7) Die Anzahl N der Spannungsschwingspiele, die durch wirbelerregte Querschwingungen hervorgerufen werden, darf nach Anhang E.1.5.2.6 unter Verwendung eines Bandbreitenfaktors von  $\varepsilon_0$  = 0,15 ermittelt werden.

## E.1.6 Maßnahmen gegen wirbelerregte Querschwingungen

(1) Wirbelresonanzamplituden können mit Hilfe aerodynamischer Maßnahmen (nur falls bestimmte Voraussetzungen erfüllt sind, z. B. für Scrutonzahlen Sc > 8) oder generell mit dämpfungserhöhenden Maßnahmen verringert werden. Bei Anwendung aerodynamischer Maßnahmen ist zu berücksichtigen, dass der aerodynamische Kraftbeiwert bis zu einem Wert von  $c_f = 1,4$  anwachsen kann. Aerodynamische und dämpfungserhöhende Maßnahmen erfordern Sonderuntersuchungen.

EN 1991-1-4:2005 + A1:2010 + AC:2010 (D)

(2) Für weitere Informationen wird auf die bauartspezifischen Regelungen verwiesen.

## E.2 Galloping

## E.2.1 Allgemeines

- (1) Galloping ist eine selbsterregte Schwingung eines elastischen Bauwerks oder Bauteils in einer Biegeschwingungsform normal zum Wind. Nicht kreisförmige Querschnitte einschließlich I-, U-, L- und T-förmige Querschnitte können durch Galloping gefährdet sein. Eisansatz kann bewirken, dass ein gegenüber Galloping stabiler Querschnitt instabil wird.
- (2) Galloping-Schwingungen beginnen bei einer bestimmten Einsetzgeschwindigkeit  $v_{CG}$ . Die Amplituden wachsen danach mit zunehmender Windgeschwindigkeit schnell an.

## E.2.2 Einsetzgeschwindigkeit

(1) Die Einsetzgeschwindigkeit für Galloping  $v_{CG}$  ist nach Gleichung (E.18) definiert.

$$v_{\rm CG} = \frac{2 \cdot Sc}{a_{\rm G}} \cdot n_{\rm l,y} \cdot b \tag{E.18}$$

Dabei ist

- Sc Scrutonzahl nach Gleichung (E.4)
- $n_{1,y}$  Grundeigenfrequenz des Bauwerks für Querschwingungen. Näherungsgleichungen zur Ermittlung der Grundeigenfrequenz sind in Anhang F.2 angegeben.
- b Breite des Querschnitts nach Tabelle E.7
- $a_{\rm G}$  Stabilitätsbeiwert für Galloping (siehe Tabelle E.7). Wenn kein Wert bekannt ist, kann mit  $a_{\rm G}$  = 10 gerechnet werden.
- (2) Es ist nachzuweisen, dass:

$$v_{\rm CG} > 1,25 \cdot v_{\rm m}$$
 (E.19)

Dabei ist

- $\nu_{\rm m}$  die mittlere Windgeschwindigkeit in m/s nach Gleichung (4.3) ermittelt in der Höhe, in der die Galloping-Erregerkräfte erwartet werden; dies ist im Allgemeinen der Ort, an dem die größten Schwingungsamplituden auftreten.
- (3) Falls die kritische Windgeschwindigkeit  $v_{\text{crit}}$  für wirbelerregte Querschwingungen nahe bei der Einsetzgeschwindigkeit  $v_{\text{CG}}$  für Galloping liegt

$$0.7 < \frac{v_{CG}}{v_{crit}} < 1.5$$
 (E.20)

sind Interaktionseffekte zwischen wirbelerregten Querschwingungen und Galloping wahrscheinlich. In diesem Fall werden Sonderuntersuchungen empfohlen.

Tabelle E.7 — Stabilitätsbeiwert für Galloping  $a_{\rm G}$ 

Querschnitt				Stabilitäts- beiwert	
t t = 0,06	b b			b	1,0
(Eis an Kabel)		1,0	** \(\ell \) \(\frac{\psi}{\ell} \) \(\ell \)	/3 <u></u> b	4
	<i>dlb</i> = 2	2	***	<i>dlb</i> = 2	0,7
lineare Interpolation zulässig	<i>dlb</i> = 1,5	1,7	**************************************	<i>dlb</i> = 2,7	5
	<i>d/b</i> = 1	1,2	<b>→ d + d +</b>	<i>dlb</i> = 5	7
	d/b = 2/3	1	<u></u>	<i>dlb</i> = 3	7,5
b + d +	d/b = 1/2	0,7	$\begin{array}{ c c c c c c c c c c c c c c c c c c c$	dlb = 3/4	3,2
lineare Interpolation zulässig	d/b = 1/3	0,4	<b>→ d d d</b>	d/b = 2	1
ANMERKUNG Die Extrapolation des Faktors $a_G$ als Funktion von d/b ist nicht zulässig.					

EN 1991-1-4:2005 + A1:2010 + AC:2010 (D)

## E.2.3 Klassisches Galloping gekoppelter Zylinder

- (1) Bei gekoppelten Zylindern (siehe Bild E.4) kann klassisches Galloping auftreten.
- (2) Die Einsetzgeschwindigkeit  $v_{CG}$  für klassisches Galloping gekoppelter Zylinder kann nach Gleichung (E.21) ermittelt werden:

$$v_{CG} = \frac{2 \cdot Sc}{a_G} \cdot n_{i,y} \cdot b \tag{E.21}$$

wobei die in Tabelle E.8 definierten Werte für Sc,  $a_G$  und b einzusetzen sind und  $n_{1,y}$  die Grundeigenfrequenz der Biegeschwingung ist (siehe Anhang F.2).

(3) Es ist nachzuweisen, dass:

$$v_{\rm CG} > 1,25 \, v_{\rm m}(z)$$
 (E.22)

Dabei ist

 $v_{\rm m}(z)$  die mittlere Windgeschwindigkeit in m/s nach Gleichung (4.3), ermittelt in der Höhe, in der die Galloping-Erregerkräfte erwartet werden; dieses ist im Allgemeinen der Ort, an dem die größten Schwingungsamplituden auftreten.

Tabelle E.8 — Werte für die Abschätzung der Systemantwort quer zur Windrichtung von gekoppelten Zylindern in Reihen- oder Gruppenanordnung

Zylinder- anordnung	Scrutonzahl	$Sc = \frac{2 \cdot \delta_s \cdot \Sigma  m_{i,y}}{\rho \cdot b^2}$	(vergleiche mit Gle	ichung (E.4))
	a/b = 1	$a/b \geq 2$	$a/b \leq 1,5$	$a/b \ge 2,5$
# # #	<i>K</i> <sub>iv</sub> = 1,5	K <sub>iv</sub> = 1,5	a <sub>G</sub> = 1,5	a <sub>G</sub> = 3,0
# i=3	$K_{iv} = 4.8$	K <sub>iv</sub> = 3,0	a <sub>G</sub> = 6,0	$a_{\rm G}$ = 3,0
## b i=4	K <sub>iv</sub> = 4,8	K <sub>iv</sub> = 3,0	a <sub>G</sub> = 1,0	a <sub>G</sub> = 2,0
	lineare Interpolation	n zulässig		
		15 10 0 1 zahlen von gekoppe	i=4  i=3  2 3 a b  Iten Zylindern in Reif	

EN 1991-1-4:2005 + A1:2010 + AC:2010 (D)

## E.3 Interferenzgalloping von zwei oder mehr freistehenden Zylindern

- (1) Interferenzgalloping ist eine selbsterregte Schwingung, die auftreten kann, wenn zwei oder mehr Zylinder mit geringem Abstand voneinander angeordnet sind, ohne miteinander gekoppelt zu sein.
- (2) Wenn der Anströmwinkel im Bereich der kritischen Anströmrichtung  $\beta_k$  liegt und bei a/b < 3 (siehe Bild E.5), kann die Einsetzgeschwindigkeit  $v_{CIG}$  nach Gleichung (E.23) ermittelt werden.

$$v_{\text{CIG}} = 3.5 \cdot n_{\text{l,y}} \cdot b \sqrt{\frac{\frac{a}{b} \cdot Sc}{a_{\text{IG}}}}$$
 (E.23)

Dabei ist

Sc Scrutonzahl wie in Anhang E.1.3.3 (1) definiert

 $a_{IG}$  kombinierter Stabilitätsparameter;  $a_{IG}$  = 3,0

 $n_{1,y}$  Grundeigenfrequenz der Querschwingungsform. Näherungswerte sind in Anhang F.2 angegeben

a Abstand

b Durchmesser

ANMERKUNG Der Nationale Anhang kann weitere Anleitungen zum Wert  $a_{IG}$ . enthalten

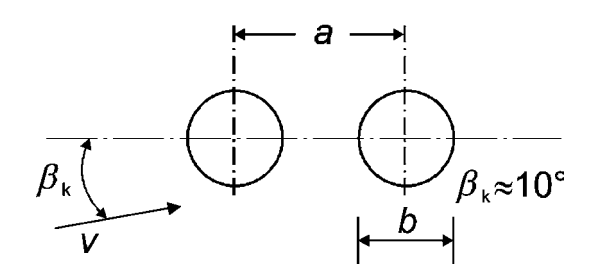


Bild E.5 — geometrische Abmessungen für Interferenzgalloping

(3) Interferenz-Galloping kann durch eine Kopplung der freistehenden Zylinder unterdrückt werden. In diesem Fall kann jedoch klassisches Galloping (siehe Anhang E.2.3) auftreten.

## E.4 Divergenz und Flattern

## E.4.1 Allgemeines

- (1) Divergenz und Flattern sind Instabilitäten, die nur bei verformungsfähigen plattenähnlichen Tragwerken, wie zum Beispiel bei Anzeigetafeln oder Hauptträger von Hängebrücken, bei Überschreitung eines bestimmten Schwellenwertes oder einer kritischen Windgeschwindigkeit auftreten können. Diese Instabilitäten entstehen, wenn die Tragwerksverformungen veränderliche aerodynamische Belastungen bewirken.
- (2) Divergenz und Flattern müssen grundsätzlich ausgeschlossen werden.
- (3) Die im Folgenden angegebenen Berechungsverfahren erlauben die Prüfung der Empfindlichkeit eines Tragwerks bezüglich dieser Schwingungen mit Hilfe einfacher konstruktiver Kriterien. Wenn diese Bedingungen nicht erfüllt sind, sind Sonderuntersuchungen durchzuführen.

## E.4.2 Bedingungen für plattenförmige Tragwerke

- (1) Um anfällig für Divergenz oder Flattern zu sein, muss ein Baukörper gleichzeitig die drei folgenden Bedingungen erfüllen. Die Bedingungen sind in der angegebenen Reihenfolge zu prüfen. Wenn eine der Bedingungen nicht erfüllt ist, ist das Bauwerk oder das Bauteil nicht divergenz- oder flattergefährdet.
- Das Bauwerk oder ein wesentliches Teil von ihm muss einen langgestreckten Querschnitt aufweisen (ähnlich einer flachen Platte) mit einem Abmessungsverhältnis von b/d kleiner als 0,25 (siehe Bild E.6).
- Die Torsionsachse muss parallel zur Plattenebene und senkrecht zur Windrichtung verlaufen. Außerdem muss die Torsionsachse mindestens um das Maß d/4 stromab der luvseitigen Kante der Platte liegen, wobei d die Breite der Platte in Windrichtung senkrecht zur Torsionsachse ist. Dieses schließt auch die Fälle ein, dass die Torsionsachse im Flächenschwerpunkt liegt, wie zum Beispiel bei einer mittig gelagerten Anzeigetafel oder einem mittig gestützten, freistehenden Dach. Die Torsionsachse kann auch mit der leeseitigen Kante identisch sein, wie zum Beispiel bei einem auskragenden, freistehenden Dach.
- Die niedrigste Eigenfrequenz muss zu einer Torsionsschwingung gehören oder eine Torsionseigenfrequenz muss weniger als das Doppelte der niedrigsten Eigenfrequenz der translatorischen Schwingung betragen.

## E.4.3 Divergenzgeschwindigkeit

(1) Die kritische Windgeschwindigkeit für Divergenz beträgt (nach Gleichung E.24)

$$v_{\text{div}} = \left[ \frac{2 \cdot k_{\Theta}}{\rho \cdot d^2 \cdot \frac{dc_{M}}{d\Theta}} \right]^{\frac{1}{2}}$$
 (E.24)

Dabei ist

 $k_{\theta}$  Torsionssteifigkeit

 $c_{\rm M}$  der aerodynamische Momentenbeiwert, wie in Gleichung (E.25) angegeben:

$$c_M = \frac{M}{\frac{1}{2} \cdot \rho \cdot v^2 \cdot d^2} \tag{E.25}$$

## EN 1991-1-4:2005 + A1:2010 + AC:2010 (D)

- $dc_{\rm M}/d\theta$  Ableitung des aerodynamischen Momentenbeiwertes nach der Verdrehung um die Torsionsachse. Dabei wird  $\theta$  im Bogenmaß formuliert.
- M aerodynamisches Moment bezogen auf die Einheitslänge des Tragwerks
- $\rho$  Luftdichte wie in 4.5 angegeben
- d ist die Tiefe des Bauwerks in Windrichtung (Sehne) (siehe Bild E.6)
- b Breite wie in Bild E.6 definiert
- (2) Werte für  $dc_{\rm M}/d\theta$  von Rechteckquerschnitten bezogen auf den Flächenschwerpunkt des Querschnitts werden in Bild E.6 angegeben.
- (3) Es ist nachzuweisen, dass

$$v_{\text{div}} > 2 v_{\text{m}}(z_{\text{e}})$$
 (E.26)

Dabei ist:

 $v_{\rm m}(z_{\rm e})$  mittlere Windgeschwindigkeit nach Gleichung (4.3) in der Höhe  $z_{\rm e}$  (wie in Bild 6.1 definiert)

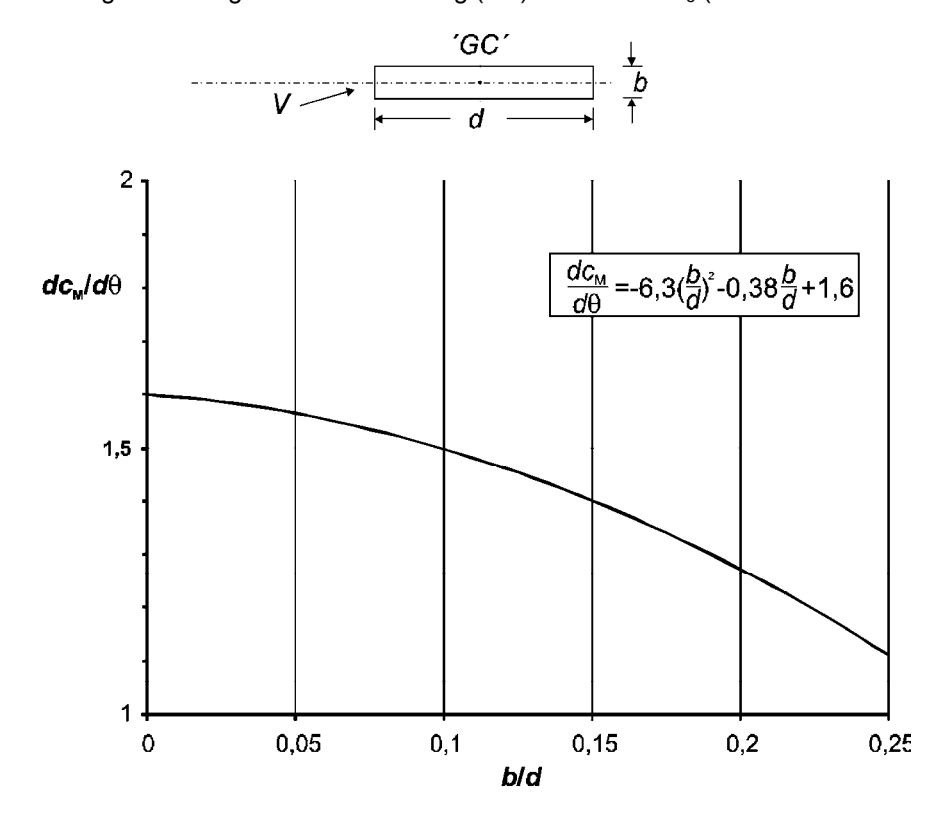


Bild E.6 — Ableitung  ${\rm d}c_{\rm M}/d\theta$  des aerodynamischen Momentenbeiwerts bezüglich des geometrischen Schwerpunkts "GC" des Rechteckquerschnitts

# Anhang F (informativ)

## Dynamische Eigenschaften von Bauwerken

## F.1 Allgemeines

- (1) Die in diesem Abschnitt angegeben Berechnungsverfahren setzen voraus, dass die Bauwerke linear elastisches Verhalten und übliche Schwingungsformen aufweisen. Die dynamischen Bauwerkseigenschaften werden dann beschrieben durch:
- die Eigenfrequenzen
- die Modalformen
- die äquivalenten Massen
- die logarithmischen Dämpfungsdekremente
- (2) Die Eigenfrequenzen, Modalformen, äquivalenten Massen und logarithmischen Dämpfungsdekremente sind auf theoretischem oder experimentellem Weg mit Hilfe strukturdynamischer Methoden zu bestimmen.
- (3) Das grundlegende dynamische Verhalten kann anhand von vereinfachten analytischen, semiempirischen oder empirischen Näherungsgleichungen bestimmt werden, vorausgesetzt, es handelt sich um bewährte Gleichungen. Einige dieser Gleichungen sind in F.2 bis F.5 angegeben.

## F.2 Die Grundeigenfrequenz

(1) Für auskragende Systeme mit einem Massenpunkt am Ende kann eine vereinfachte Gleichung zur Berechnung der Grundbiegeeigenfrequenz  $n_1$  des Systems mit Gleichung (F.1) angegeben werden:

$$n_1 = \frac{1}{2 \cdot \pi} \cdot \sqrt{\frac{g}{x_1}} \tag{F.1}$$

Dabei ist

g die Erdbeschleunigung = 9,81 m/s<sup>2</sup>

x<sub>1</sub> die maximale Verschiebung infolge Eigengewicht in Schwingungsrichtung in m

(2) Die Grundeigenfrequenz  $n_1$  für Biegung von mehrstöckigen Gebäuden mit einer Höhe über 50 m kann mit Gleichung (F.2) bestimmt werden

$$n_1 = \frac{46}{h} \text{ [Hz]} \tag{F.2}$$

Dabei ist

h die Höhe des Gebäudes in m

## EN 1991-1-4:2005 + A1:2010 + AC:2010 (D)

Diese Gleichung kann auch eine Orientierungshilfe für einstöckige Gebäude und Türme darstellen.

(3) Die Grundbiegeeigenfrequenz  $n_1$  von Schornsteinen kann mittels Gleichung (F.3) abgeschätzt werden

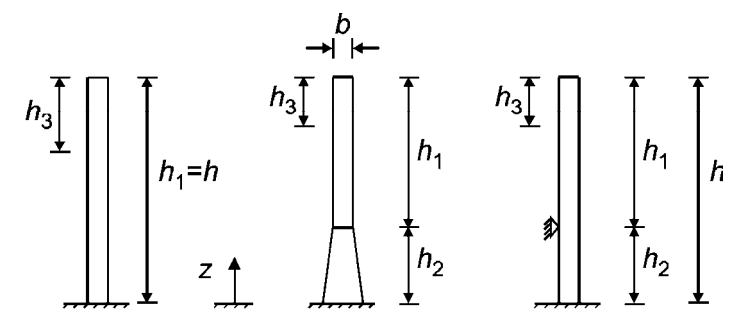
$$n_{\rm l} = \frac{\varepsilon_{\rm l} \cdot b}{h_{\rm eff}^2} \cdot \sqrt{\frac{W_{\rm s}}{W_{\rm t}}} \quad [Hz]$$
 (F.3)

mit:

$$h_{\rm eff} = h_1 + \frac{h_2}{3}$$
 (F.4)

#### Dabei ist

- b der oberer Durchmesser des Schornsteins [m]
- $h_{\text{eff}}$  die effektive Höhe des Schornsteins [m],  $h_1$  und  $h_2$  sind in Bild F.1 angegeben
- W<sub>s</sub> das Gewicht der Bauwerksteile, die zur Biegesteifigkeit des Schornsteins beitragen
- W<sub>t</sub> das Gesamtgewicht des Schornsteins
- $\varepsilon_1$  1 000 für Stahlschornsteine, und 700 für Schornsteine aus Stahlbeton oder Mauerwerk



**ANMERKUNG** 

 $h_3 = h_1/3$ ;  $h_3$  siehe F.4 (2)

## Bild F.1 - Abmessungen bei Schornsteinen

(4) Die Grundfrequenz  $n_{1,0}$  für ovalisierende Schwingungen einer langen zylindrischen Schale ohne Aussteifungsringe kann mittels Gleichung (F.5) berechnet werden:

$$n_{1,0} = 0.492 \cdot \sqrt{\frac{t^3 \cdot E}{\mu_{\rm s} \cdot (1 - v^2) \cdot b^4}}$$
 (F.5)

Dabei ist

- E der Elastizitätsmodul [N/m²]
- t die Schalendicke [m]
- ν die Querkontraktionszahl
- $\mu_{\rm s}$  die Masse der Schale pro Flächeneinheit [kg/m<sup>2</sup>]
- b der Durchmesser der Schale [m]

## DIN EN 1991-1-4:2010-12 EN 1991-1-4:2005 + A1:2010 + AC:2010 (D)

Die Gleichung (F.5) liefert die niedrigste Eigenfrequenz der Schale. Aussteifungsringe führen zu einer höheren Eigenfrequenz  $n_0$ .

(5) Die kleinste vertikale Biegeeigenfrequenz  $n_{1,B}$  einer Platten- oder Kastenträgerbrücke kann näherungsweise mit Gleichung (F.6) bestimmt werden:

$$n_{1,\mathrm{B}} = \frac{K^2}{2 \cdot \pi \cdot L^2} \cdot \sqrt{\frac{EI_\mathrm{b}}{m}} \tag{F.6}$$

Dabei ist

- L die Länge des Hauptfeldes in m
- E der Elastizitätsmodul in N/m<sup>2</sup>
- I<sub>b</sub> das Trägheitsmoment 2. Ordnung des Querschnitts in Feldmitte für vertikale Biegung in m<sup>4</sup>
- m die Masse pro L\u00e4ngeneinheit des Gesamtquerschnitts in Feldmitte (f\u00fcr Eigengewicht und andere st\u00e4ndige Lasten) in kg/m

K ein dimensionsloser Faktor, der von der Feldaufteilung, wie unten definiert, abhängt.

- a) Für einfeldrige Brücken
  - $K = \pi$  wenn gelenkig gelagert
  - K = 3.9 wenn einseitig eingespannt und gelenkig gelagert
  - K = 4.7 wenn beidseitig eingespannt
- b) Für durchlaufende Brücken mit zwei Feldern

K erhält man aus Bild F.2, unter Verwendung der Kurve für Brücken mit zwei Feldern. Dabei ist:

- $L_1$  die Länge des Randfeldes und AC  $L \ge L_1$  AC.
- c) Für durchlaufende Brücken mit drei Feldern

*K* erhält man aus Bild F.2, unter Verwendung der entsprechenden Kurve für Brücken mit drei Feldern. Dabei sind:

- L<sub>1</sub> die Länge des größten Randfeldes
- $L_2$  die Länge des anderen Randfeldes und AC  $L \ge L_1 \ge L_2$  AC

Dies gilt ebenfalls für Brücken mit drei Feldern, bei denen das Hauptfeld aufgehängt ist.

Falls  $L_1 > L$  kann K aus der Kurve für Brücken mit zwei Feldern unter Vernachlässigung des kürzesten Randfeldes und Behandlung des längsten Randfeldes als Hauptfeld einer äquivalenten zweifeldrigen Brücke bestimmt werden.

- d) Für symmetrische durchlaufende Brücken mit 4 Feldern (z. B. Brücken, die symmetrisch zum mittleren Auflager sind):
  - Der Wert *K* kann aus der Kurve für Brücken mit zwei Feldern aus Bild F.2 bestimmt werden, indem jede Hälfte der Brücke als eine äquivalente Brücke mit zwei Feldern angesehen wird.
- Für unsymmetrische durchlaufende Brücken mit vier Feldern und durchgehenden Brücken mit mehr als vier Feldern:

## EN 1991-1-4:2005 + A1:2010 + AC:2010 (D)

*K* kann aus Bild F.2 entnommen werden, indem die Kurve für Brücken mit drei Feldern verwendet wird und das Hauptfeld als größte Spannweite angesetzt wird.

ANMERKUNG 1 Falls der Wert von  $\sqrt{\frac{EI_b}{m}}$  am Auflager mehr als doppelt so groß ist, wie in Feldmitte, oder weniger als 80 % des Wertes in Feldmitte beträgt, sollte die Gleichung (F.6) nicht verwendet werden – es sei denn sehr grobe Abschätzungen sind ausreichend.

ANMERKUNG 2 Die Eingangsgrößen sind konsistent zu wählen, um  $n_{1,B}$  in Schwingungen pro Sekunde zu bestimmen

- (6) Die Torsionseigenfrequenz von Plattenbrücken ist identisch mit der Grundbiegeeigenfrequenz, die mittels Gleichung (F.6) berechnet wird, wenn die mittlere Biegeträgheit in Längsrichtung pro Breiteneinheit nicht geringer ist als das 100-fache der mittleren Biegeträgheit in Querrichtung pro Längeneinheit.
- (7) Die Torsionseigenfrequenz einer Kastenträgerbrücke kann näherungsweise durch Gleichung (F.7) bestimmt werden:

$$n_{1.T} = n_{1.B} \cdot \sqrt{P_1 \cdot (P_2 + P_3)}$$
 (F.7)

mit:

$$P_{\rm l} = \frac{m \cdot b^2}{I_{\rm p}} \tag{F.8}$$

$$P_2 = \frac{\sum r_{\rm j}^2 \cdot I_{\rm j}}{b^2 \cdot I_{\rm p}} \tag{F.9}$$

$$P_3 = \frac{L^2 \cdot \sum J_j}{2 \cdot K^2 \cdot b^2 \cdot I_p \cdot (1+\nu)} \tag{F.10}$$

Dabei ist

 $n_{1,B}$  die Grundbiegefrequenz in Hz

b die Gesamtbreite der Brücke

m die längenbezogene Masse definiert in Anhang F.2 (5)

ν die Querkontraktionszahl des Trägermaterials

r<sub>i</sub> der Abstand der Schwerelinie des Kastens zur Schwerelinie des Brückenquerschnitts

das zweite Trägheitsmoment der Masse des Kastens für die vertikale Biegung in Feldmitte bezogen auf die Längeneinheit. Darin ist die mitwirkende Fahrbahnbreite enthalten

I<sub>p</sub> das polare Massenträgheitsmoment des Querschnitts in Feldmitte bezogen auf die Längeneinheit. Es wird mit der Gleichung (F.11) berechnet.

$$I_{p} = \frac{m_{d} \cdot b^{2}}{12} + \sum (I_{pj} + m_{j} \cdot r_{j}^{2})$$
 (F.11)

DIN EN 1991-1-4:2010-12 EN 1991-1-4:2005 + A1:2010 + AC:2010 (D)

## Dabei ist

 $m_{\rm d}$  die Masse pro Längeneinheit des Überbaus in Feldmitte

*I*<sub>pj</sub> das Massenträgheitsmoment des Kastens in Feldmitte

 $m_i$  die Masse, des Kastens je Längeneinheit, in Feldmitte, ohne den restlichen Überbau

 $J_{\rm j}$  das Torsionswiderstandsmoment des Kastens in Feldmitte. Die Bestimmung erfolgt anhand der Gleichung (F.12).

$$J_{j} = \frac{4 \cdot A_{j}^{2}}{\oint \frac{ds}{t}} \tag{F.12}$$

#### Dabei ist

 $A_{\rm j}$  die eingeschlossene Hohlraumfläche des Kastens in Feldmitte

 $\oint \frac{ds}{t} \quad \text{das Integral der Verhältnisse von Kastenwandbreite zu Kastenwanddicke entlang des} \\ \quad \text{Kastenumfangs in Feldmitte}$ 

ANMERKUNG Der Genauigkeitsverlust ist nur gering, wenn die vorgeschlagene Gleichung (F.12) auf mehrzellige Hohlkastenbrücken angewandt wird, deren Spannweite/Breite Verhältnis den Wert 6 überschreitet.

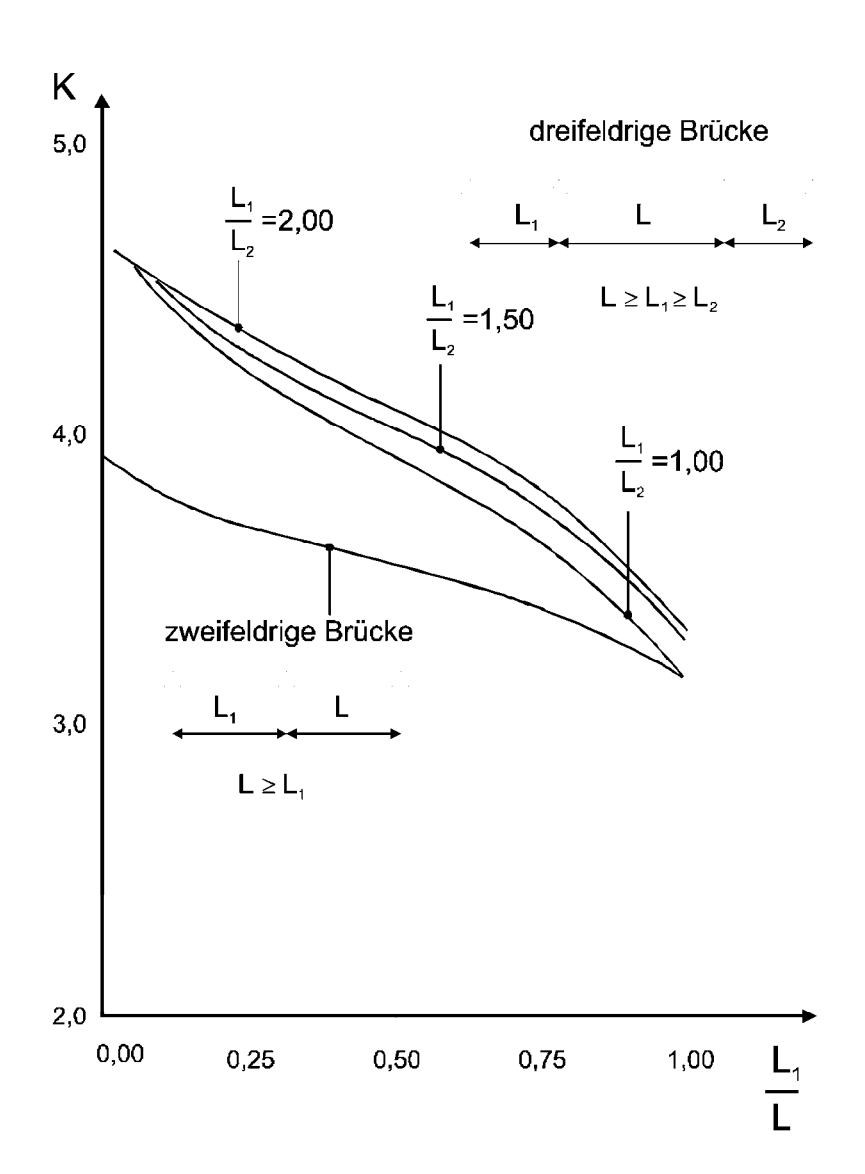


Bild F.2 — Faktor K zur Bestimmung der Grundbiegeeigenfrequenz

## F.3 Die Grundbiegeschwingungsform

(1) Die Grundeigenform für Biegung  $\Phi_1(z)$  für auskragende Bauwerke, wie Gebäude, Türme und Schornsteine kann mit Gleichung (F.13) abgeschätzt werden, siehe Bild F.3.

$$\Phi_1(z) = \left(\frac{z}{h}\right)^{\zeta} \tag{F.13}$$

Dabei ist

 $\zeta$  = 0,6 für schlanke Rahmenstrukturen mit nichttragender Verkleidung

 $\zeta$  = 1,0 für Gebäude mit aussteifendem Kern und peripheren Stützen oder mit größeren Stützen und versteifenden Verbänden.

 $\zeta$ = 1,5 für schlanke auskragende Bauwerke und Gebäude, die durch einen zentralen Stahlbetonkern gestützt werden

144

## $\zeta$ = 2,0 für Türme und Schornsteine

## $\zeta$ = 2,5 für Fachwerk- und Gittertürme

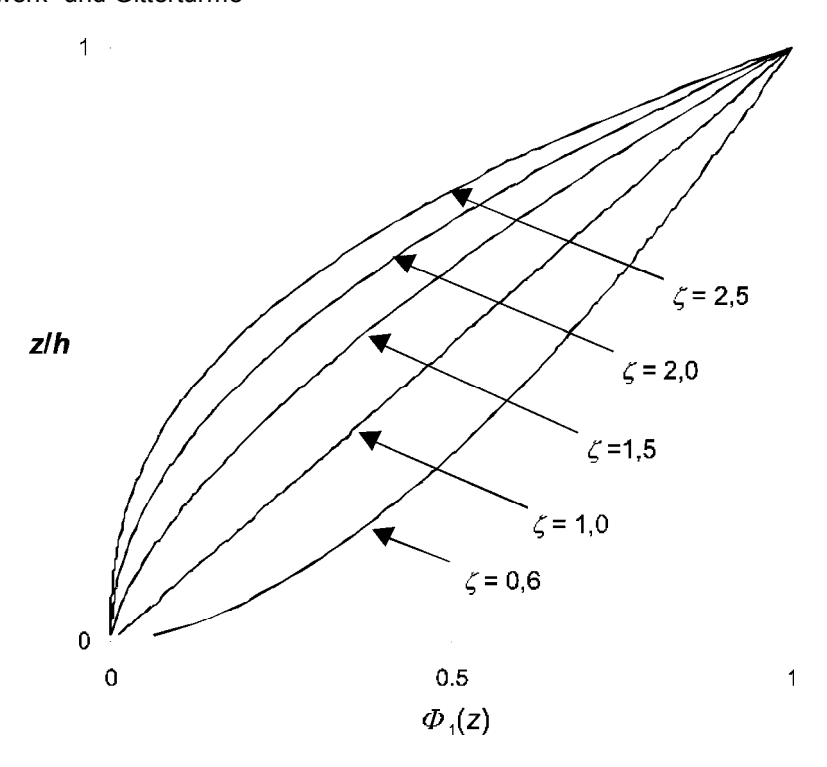


Bild F.3 — Grundbiegeschwingungsform für Gebäude, Türme und Schornsteine, die als auskragende Bauwerke wirken

(2) Die Grundbiegeschwingungsform  $\Phi_1(s)$  von Brücken kann näherungsweise nach Tabelle F.1 bestimmt werden.

Tabelle F.1 — Grundbiegeschwingungsform von gelenkig gelagerten oder beidseitig eingespannten Einfeldträgern

System	Schwingungsform	$arPhi_1(s)$
$\stackrel{\triangle}{\vdash} \stackrel{\triangle}{\longleftarrow} \stackrel{\triangle}{\longleftarrow} \stackrel{S}{\longleftarrow}$	$\Phi_1(s)$	$\sin\!\left(\pi\cdotrac{ extbf{s}}{\ell} ight)$
S → L →   S →	$\frac{\Phi_1(s)}{\frac{1}{4}}$	$\frac{1}{2} \cdot \left[ 1 - \cos \left( 2 \cdot \pi \cdot \frac{s}{\ell} \right) \right]$

EN 1991-1-4:2005 + A1:2010 + AC:2010 (D)

## F.4 Äquivalente Masse

(1) Die äquivalente Masse je Längeneinheit  $m_{\rm e}$  für die Grundschwingungsform ist in Gleichung (F.14) angegeben.

$$m_{\rm e} = \frac{\int_{0}^{\ell} m(s) \cdot \Phi_{1}^{2}(s) \, ds}{\int_{0}^{\ell} \Phi_{1}^{2}(s) \, ds}$$
 (F.14)

Dabei ist

m die Masse je Längeneinheit

die Höhe des Bauwerks oder die Spannweite der Brücke oder des Bauteils

i = 1 die Nummer der Modalform

- (2) Für auskragende Tragwerke mit veränderlicher Massenverteilung kann  $m_e$  näherungsweise durch den Mittelwert der Massenverteilung im oberen Drittel  $h_3$  des Bauwerks (siehe Bild F.1) angenähert werden.
- (3) Bei Bauteilen mit der Spannweite  $\ell$ , die an beiden Enden gelagert sind und eine veränderliche Massenverteilung je Längeneinheit aufweisen, kann  $m_{\rm e}$  durch das Mittel der Massenverteilung gerechnet über eine Länge von  $\ell/3$  am Maximum von  $\Phi(s)$  ermittelt werden (siehe Tabelle F.1).

## F.5 Das logarithmische Dämpfungsdekrement

(1) Das logarithmische Dämpfungsdekrement  $\delta_s$  für die Grundbiegeschwingungsform kann mittels Gleichung (F.15) abgeschätzt werden.

$$\delta = \delta_{s} + \delta_{a} + \delta_{d} \tag{F.15}$$

Dabei ist

- $\delta_{s}$  das logarithmische Dekrement der Strukturdämpfung
- $\delta_{\!a}$  das logarithmische Dekrement der aerodynamischen Dämpfung für die Grundeigenform
- $\delta_d$  das logarithmische Dekrement der Dämpfung infolge besonderer Maßnahmen (Schwingungsdämpfer, Flüssigkeitsdämpfer)
- (2) Näherungswerte für das logarithmische Dämpfungsdekrement  $\delta_s$  sind in Tabelle F.2 angegeben.
- (3) Das logarithmische Dekrement der aerodynamischen Dämpfung  $\delta_a$  für Schwingungen in Windrichtung kann mittels Gleichung (F.16) abgeschätzt werden.

$$\delta_{\rm a} = \frac{c_{\rm f} \cdot \rho \cdot v_{\rm m}(z_{\rm s})}{2 \cdot n_{\rm l} \cdot \mu_{\rm e}} \tag{F.16}$$

Dabei ist

*c*<sub>f</sub> der Kraftbeiwert in Windrichtung wie in Abschnitt 7 bezeichnet.

146

## DIN EN 1991-1-4:2010-12 EN 1991-1-4:2005 + A1:2010 + AC:2010 (D)

 $\mu_{\rm e}$  die äquivalente Masse je Flächeneinheit des Bauwerks, die für rechteckige Fläche nach Gleichung (F.17) berechnet werden kann.

$$\mu_{e} = \frac{\int_{0}^{h} \int_{0}^{b} \mu(y, z) \cdot \Phi_{1}^{2}(y, z) \, dydz}{\int_{0}^{h} \int_{0}^{b} \Phi_{1}^{2}(y, z) \, dydz}$$
(F.17)

Dabei ist

 $\mu(y,z)$  die Masse je Flächeneinheit des Bauwerks

 $\Phi_1(y,z)$  die Modalform

Die Masse je Flächeneinheit des Bauwerks Maximum der modalen Verformung ist für gewöhnlich eine gute Näherung für  $\mu_{\rm e}$ .

(4) In den meisten Fällen sind die modalen Auslenkungen  $\Phi(y,z)$  konstant für jeden Höhenpunkt z und statt der Gleichung (F.16) für das logarithmische Dekrement der aerodynamischen Dämpfung  $\delta_a$ , für In-Wind-Schwingungen, kann die Gleichung (F.18) verwendet werden.

$$\delta_a = \frac{c_f \cdot \rho \cdot b \cdot v_m(z_s)}{2 \cdot n_1 \cdot m_e}$$
 (F.18)

(5) Falls besondere Dämpfungsmaßnahmen am Bauwerk vorgenommen werden, ist  $\delta_d$  anhand geeigneter theoretischer oder experimenteller Verfahren zu bestimmen.

EN 1991-1-4:2005 + A1:2010 + AC:2010 (D)

Tabelle F.2 —Näherungswerte für das logarithmische Dämpfungsdekrement  $\delta_s$  von Bauwerken für die Grundschwingungsform

	Bauwerksdämpfung δ <sub>s</sub>			
Gebäude in Stahlbetonbauweise			0,10	
Gebäude in Stahlbauweis	е		0,05	
Gebäude in gemischter B	auweise (Stahl und Beton)		0,08	
Türme und Schornsteine	aus Stahlbeton		0,03	
geschweißte Stahlschorns	steine ohne außenliegende W	ärmedämmung	0,012	
geschweißte Stahlschorns	steine mit außenliegender Wä	rmedämmung	0,020	
		<i>h/b</i> < 18	0,020	
Stahlschornsteine mit eine außenliegender Wärmedä		20 ≤ <i>h/b</i> <24	0,040	
automogenuo. Traimou	<del>.</del>	<i>h</i> / <i>b</i> ≥ 26	0,014	
		h/b <18	0,020	
Stahlschornsteine mit zwe und mit außenliegender W		20 ≤ <i>h/b</i> <24	0,040	
		<i>h</i> / <i>b</i> ≥ 26	0,025	
Stahlschornsteine mit inne	enliegender Mauerwerksschal	e	0,070	
Stahlschornsteine mit innenliegender Spritzbetonschale			0,030	
gekoppelte einschalige St	ahlschornsteine		0,015	
abgespannte einschalige Stahlschornsteine			0,04	
Stahlbrücken und	geschweißt		0,02	
Türme in	Vorgespannte Schrauben		0,03	
Stahlfachwerkbauweise	rohe Schrauben		0,05	
Verbundbrücken			0,04	
Massivbrücken	vorgespannt ohne Risse		0,04	
Massivbrackeri	mit Rissen		0,10	
Holzbrücken			0,06 bis 0,12	
Brücken aus Aluminiumle	gierungen		0,02	
Brücken, (glas-) faserverstärkt			0,04 bis 0,08	
Seile Paralleldrahtbündel			0,006	
spiralförmig angeordnete Drähte			0,020	
AC) ANMERKUNG (AC) Die Werte für Holz und Kunststoffverbundbauweisen sind nur Hinweise; Wenn die aerodynamischen Einwirkungen für die Bemessung signifikant sind, sind exaktere Schwingungsformen in Sonderuntersuchungen zu bestimmen.  AC) gestrichener Text (AC)				
<sup>a</sup> Bei Zwischenwerten $h/b$ darf linear interpoliert werden				

DIN EN 1991-1-4:2010-12 EN 1991-1-4:2005 + A1:2010 + AC:2010 (D)

## Literaturhinweise

ISO 2394, General principles on reliability for structures

ISO 3898, AD Bases for design of structures — Notations — General symbols (AD)

ISO 8930, General principles on reliability for structures — List of equivalent terms

EN 12811-1, Temporäre Konstruktionen für Bauwerke — Teil 1: Arbeitsgerüste; Leistungsanforderungen, Entwurf, Konstruktion und Bemessung

ISO 12494, Atmospheric icing of structures (AC)

## **DIN EN 1991-1-4/NA**



ICS 91.010.30

Mit DIN EN 1991-1-4:2010-12 Ersatz für DIN 1055-4:2005-03 und DIN 1055-4 Berichtigung 1:2006-03

Nationaler Anhang – National festgelegte Parameter – Eurocode 1: Einwirkungen auf Tragwerke – Teil 1-4: Allgemeine Einwirkungen - Windlasten

National Annex –
Nationally determined parameters –
Eurocode 1: Actions on structures –
Part 1-4: General actions - Wind actions

Annexe Nationale –
Paramètres déterminés au plan national –
Eurocode 1: Actions sur les structures –
Partie 1-4: Actions générales - Actions du vent

Gesamtumfang 41 Seiten

Normenausschuss Bauwesen (NABau) im DIN

## Vorwort

Dieses Dokument wurde vom NA 005-51-02 AA "Einwirkungen auf Bauten" (Sp CEN/TC 250/SC 1)" erstellt.

Dieses Dokument bildet den Nationalen Anhang zu DIN EN 1991-1-4:2010-12, Eurocode 1: Einwirkungen auf Tragwerke — Teil 1-4: Allgemeine Einwirkungen, Windlasten.

Die Europäische Norm EN 1991-1-4 räumt die Möglichkeit ein, eine Reihe von sicherheitsrelevanten Parametern national festzulegen. Diese national festzulegenden Parameter (en: *Nationally determined parameters*, NDP) umfassen alternative Nachweisverfahren und Angaben einzelner Werte, sowie die Wahl von Klassen aus gegebenen Klassifizierungssystemen. Die entsprechenden Textstellen sind in der Europäischen Norm durch Hinweise auf die Möglichkeit nationaler Festlegungen gekennzeichnet. Eine Liste dieser Textstellen befindet sich im Unterabschnitt NA 2.1. Darüber hinaus enthält dieser Nationale Anhang ergänzende nicht widersprechende Angaben zur Anwendung von DIN EN 1991-1-4:2010-12 (en: *non-contradictory complementary information*, NCI).

Dieser Nationale Anhang ist Bestandteil von DIN EN 1991-1-4:2010-12.

DIN EN 1991-1-4:2010-12 und dieser Nationale Anhang DIN EN 1991-1-4/NA:2010-12 ersetzen DIN 1055-4:2005-03.

## Änderungen

Gegenüber DIN 1055-4:2005-03 und DIN 1055-4 Berichtigung 1:2006-03 wurden folgende Änderungen vorgenommen:

a) Übernahme der Regelungen aus DIN 1055-4 zur nationalen Anwendung von DIN EN 1991-1-4.

## Frühere Ausgaben

DIN 1055-4: 1938xxx-06, 1977-05, 1986-08, 2005-03

DIN 1055-4 Bbl: 1939-06, 1941-02

DIN 1055-4/A1: 1987-06

DIN 1055-4 Berichtigung 1: 2006-03

# NA.1 Anwendungsbereich

Dieser Nationale Anhang liefert nationale "Regeln zur Bestimmung der Einwirkungen aus natürlichem Wind auf für die Bemessung von Gebäuden und ingenieurtechnischen Anlagen betrachteten Lasteinzugsflächen", die bei der Anwendung von DIN EN 1991-1-4:2010-12 in Deutschland zu berücksichtigen sind.

Dieser Nationale Anhang gilt nur in Verbindung mit DIN EN 1991-1-4:2010-12.

# NA.2 Nationale Festlegungen zur Anwendung von DIN EN 1991-1-4:2010-12

# NA.2.1 Allgemeines

DIN EN 1991-1-4:2010-12 weist an den folgenden Textstellen die Möglichkeit nationaler Festlegungen aus (NDP).

```
— 1.1 (11) Anmerkung 1
                                                — 7.6 (1) Anmerkung 1
— 1.5 (2)
                                                — 7.7 (1) Anmerkung 1
                                                — 7.8 (1)
— 4.1 (1)
— 4.2 (1)P Anmerkung 2
                                                — 7.10 (1) Anmerkung 1
                                                — 7.11 (1) Anmerkung 2

    4.2 (2)P Anmerkungen 1, 2, 3 und 5

                                                7.13 (1)
— 4.3.1 (1) Anmerkungen 1 und 2
                                                — 7.13 (2)
— 4.3.2 (1)
4.3.2 (2)
                                                — 8.1 (1) Anmerkungen 1 und 2
                                                8.1 (4)
— 4.3.3 (1)
                                                8.1 (5)
— 4.3.4 (1)
— 4.3.5 (1)
                                               — 8.2 (1) Anmerkung 1
— 4.4 (1) Anmerkung 2
                                               — 8.3 (1)
— 4.5 (1) Anmerkungen 1 und 2
                                                — 8.3.1 (2)
— 5.3 (5)
                                                — 8.3.2 (1)
— 6.1 (1)

    8.3.3 (1) Anmerkung 1

    6.3.1 (1) Anmerkung 3

                                                — 8.3.4 (1)
— 6.3.2 (1)
                                                — 8.4.2 (1) Anmerkungen 1 und 2
— 7.1.2 (2)
                                                — A.2 (1)
7.1.3 (1)
                                                — E.1.3.3 (1)
— 7.2.1 (1) Anmerkung 2

    E.1.5.1 (1) Anmerkungen 1 und 2

— 7.2.2 (1)
                                               — E.1.5.1 (3)

    7.2.2 (2) Anmerkung 1

    E.1.5.2.6 (1) Anmerkung 1

— 7.2.8 (1)

    E.1.5.3 (2) Anmerkung 1

7.2.9 (2)
                                                — E.1.5.3 (4)
— 7.2.10 (3) Anmerkungen 1 und 2
                                                — E.1.5.3 (6)
7.4.1 (1)
                                                — E.3 (2)
7.4.3 (2)
```

Darüber hinaus enthält NA 2.2 ergänzende nicht widersprechende Angaben zur Anwendung von DIN EN 1991-1-4:2010-12. Diese sind durch ein vorangestelltes "NCI" gekennzeichnet.

- 1.1 (2)
- **—** 1.1 (6)
- 1.2
- **—** 7.2.3
- Anhänge A bis V
- Literaturhinweise

# NA.2.2 Nationale Festlegungen

Die nachfolgende Nummerierung entspricht der Nummerierung von DIN EN 1991-1-4:2010-12 bzw. ergänzt diese.

#### 1 Allgemeines

# 1.1 Geltungsbereich

#### NCI zu 1.1 (2)

Diese Norm darf aufgrund des in Deutschland gültigen Windprofils für Bauwerke bis zu einer Höhe von 300 m angewendet werden.

#### NCI zu 1.1 (6)

Die informativen Anhänge B und C sind in Deutschland nicht anzuwenden. Vielmehr gilt Anhang NA.C.

#### NDP zu 1.1 (11), Anmerkung 1

Diese Norm gilt für Bauwerke bis zu einer Höhe von 300 m. Diese Norm gibt keine Hinweise für die Berücksichtigung böenerregter Schwingungen, sofern höhere Schwingungsformen dazu einen merklichen Beitrag liefern. Diese Norm enthält keine Regeln für die Bestimmung der Windeinwirkungen auf kleinformatige, hinterströmbare Dach- und Wandbekleidungen. Hierzu wird auf die entsprechenden Fachregeln verwiesen.

#### 1.2 Normative Verweise

#### NCI zu 1.2

NA DIN EN 1991-1-4, Eurocode 1: Einwirkungen auf Tragwerke — Teil 1-4: Allgemeine Einwirkungen — Windlasten

NA DIN EN 12811-1:2004-03, Temporäre Konstruktionen für Bauwerke — Teil 1: Arbeitsgerüste — Leistungsanforderungen, Entwurf, Konstruktion und Bemessung

# 1.5 Belastungsansätze basierend auf Versuchen und Messungen

## NDP zu 1.5 (2)

Falls Windkanalversuche herangezogen werden, ist hierfür ein geeigneter Grenzschichtwindkanal (z. B. entsprechend dem WTG-Merkblatt 'Windkanalversuche in der Gebäudeaerodynamik', Windtechnologische Gesellschaft WTG e. V.) zu verwenden, in dem die Profile der mittleren Windgeschwindigkeit und der Turbulenzintensität hinreichend genau modelliert werden. Die Messungen und deren Auswertung sind mit geeigneten Verfahren durchzuführen.

#### 4 Windgeschwindigkeit und Geschwindigkeitsdruck

# 4.1 Berechnungsgrundlagen

# NDP zu 4.1 (1)

Die in Deutschland gültigen Angaben zur mittleren Windgeschwindigkeit  $v_m$  zum Spitzen- bzw. Böengeschwindigkeitsdruck und zur Turbulenzintensität sind im Anhang NA.B dieses nationalen Anhangs angegeben.

#### 4.2 Basiswindgeschwindigkeit

#### NDP zu 4.2 (1)P, Anmerkung 2

Die Basisgeschwindigkeiten für Deutschland sind in der Windzonenkarte im Anhang NA.A dieses Nationalen Anhangs angegeben.

#### NDP zu 4.2 (2)P, Anmerkung 1

Der Einfluss der Meereshöhe wird nach Anhang NA.A erfasst.

# NDP zu 4.2 (2)P, Anmerkung 2

Der empfohlene Wert wird übernommen, d. h. die Windlast ist unabhängig von der Himmelsrichtung mit dem vollen Rechenwert des Geschwindigkeitsdruckes wirkend zu berechnen. Eine genauere Berücksichtigung des Einflusses der Windrichtung ist zulässig, wenn hierüber ausreichend gesicherte statistische Erkenntnisse vorliegen.

#### NDP zu 4.2 (2)P, Anmerkung 3

Der empfohlene Wert wird übernommen.

# NDP zu 4.2 (2)P, Anmerkung 5

In Deutschland gelten die Werte K = 0,1 und n = 1. In Gleichung (4.2) gilt  $p \le 0,02$ , es sei denn, aufgrund kürzerer Nutzungsdauern sind höhere Werte gerechtfertigt.

#### 4.3 Mittlerer Wind

# 4.3.1 Höhenabhängigkeit

# NDP zu 4.3.1 (1), Anmerkung 1

Die Basiswindgeschwindigkeit in Anhang NA.A enthält keinen Topographieeinfluss. Ist ein Topographieeinfluss zu berücksichtigen, so wird er nach DIN EN 1991-1-4:2010-12, A3, durch den Topographiefaktor  $c_{\rm 0}$  erfasst.

# NDP zu 4.3.1 (1), Anmerkung 2

Der Anhang NA.A enthält die Basiswindgeschwindigkeit  $v_b$ . Der Anhang NA.B regelt in den Tabellen NA.B.2 und NA.B.4 die Zunahme der mittleren Windgeschwindigkeit mit der Höhe z.

# 4.3.2 Geländerauhigkeit

#### NDP zu 4.3.2 (1)

Das empfohlene Verfahren wird nicht übernommen. Anstelle des in Gleichung (4.4) verwendeten logarithmischen Windprofils gilt in Deutschland das Potenzprofil. Es ergibt auch oberhalb einer Höhe von  $z=200\,\mathrm{m}$  bis zu  $z=300\,\mathrm{m}$  zutreffende Werte der Windgeschwindigkeit. Der Rauigkeitsbeiwert  $c_\mathrm{r}$  für die 4 Geländekategorien in Anhang NA.B beträgt:

$$c_{\rm r} = \frac{v_{\rm m}(z)}{v_{\rm m}(10)} = 0.19 \times \left(\frac{z_0}{0.05}\right)^{0.07} \ln\left(\frac{10}{z_0}\right) \times \left(\frac{z}{10}\right)^{\alpha} \tag{NA.1}$$

#### Dabei ist

- α der Profilexponent für das Profil der mittleren Windgeschwindigkeit nach Tabelle NA.B.1;
- z<sub>0</sub> die Rauigkeitslänge nach Tabelle NA.B.1 und

z die Höhe über Grund, in m.

Die Geländekategorie 0 ist in Deutschland nicht zu berücksichtigen.

# NDP zu 4.3.2 (2)

Der Einfluss der Geländerauigkeit wird in Deutschland nach Anhang NA.B bewertet.

#### 4.3.3 Topographie

#### NDP zu 4.3.3 (1)

Das Verfahren wird übernommen.

#### 4.3.4 Einfluss höherer Nachbargebäude

#### NDP zu 4.3.4 (1)

Es werden keine weitergehenden nationalen Regelungen getroffen.

# 4.3.5 Nahe Gebäude oder Hindernisse mit geringen Abständen

#### NDP zu 4.3.5 (1)

Es werden keine weitergehenden nationalen Regelungen getroffen. Das Profil des Böengeschwindigkeitsdruckes darf um das Maß der Versatzhöhe nach oben verschoben werden. Unterhalb der Versatzhöhe gilt ein konstanter Wert der Geschwindigkeit wie in Höhe  $h_{\rm dis}$ .

#### 4.4 Windturbulenz

#### NDP zu 4.4 (1), Anmerkung 2

Gleichung 4.7 ist aufgrund der Berücksichtigung des in Deutschland gültigen Windprofils nicht anwendbar. Die Turbulenzintensität und der Böengeschwindigkeitsdruck sind nach Tabellen NA.B.2 und NA.B.4 in Anhang NA.B zu berechnen. Ist der Einfluss der Topographie zu berücksichtigen, so gilt Anhang NA.B.4.

# 4.5 Böengeschwindigkeitsdruck (Spitzengeschwindigkeitsdruck)

# NDP zu 4.5 (1), Anmerkung 1

Gleichung 4.8 ist aufgrund der Berücksichtigung des in Deutschland gültigen Windprofils nicht anwendbar. Die Turbulenzintensität und der Böengeschwindigkeitsdruck sind nach Anhang NA.B, Tabellen NA.B.2 und NA.B.4, zu berechnen.

#### NDP zu 4.5 (1), Anmerkung 2

Es gilt der empfohlene Wert nach DIN EN 1991-1-4.

#### 5 Windeinwirkungen

# 5.3 Windkräfte

# NDP zu 5.3 (5)

Der Effekt darf grundsätzlich berücksichtigt werden. Dies muss auf abgesicherten Erkenntnissen basieren (z. B. auf einem Windkanalversuch). Die Empfehlung nach 7.2.2, (3), Anmerkung, darf nicht angewandt werden.

#### 6 Strukturbeiwert $c_s c_d$

# 6.1 Allgemeines

# NDP zu 6.1 (1)

Die Gleichungen 6.2 und 6.3 sind nicht anzuwenden. Es ist das Verfahren in den nationalen Festlegungen nach Anhang NA.C zu verwenden.

#### 6.3 Ausführliches Verfahren

#### 6.3.1 Strukturbeiwert $c_s c_d$

# NDP zu 6.3.1 (1), Anmerkung 3

Es ist das Verfahren in Anhang NA.C zu verwenden. Dieses ist anzuwenden, wenn der  $c_d$ -Wert größer als 1,1 ist. Ein einfaches Kriterium ist in Anhang NA.C.2 angegeben.

# 6.3.2 Gebrauchstauglichkeitsnachweise

# NDP zu 6.3.2 (1)

Es ist das Verfahren in Anhang NA.C zu verwenden.

#### 7 Aerodynamische Beiwerte

#### 7.1 Allgemeines

# 7.1.2 Exzentrisch und günstig wirkende Drücke und Kräfte

#### NDP zu 7.1.2 (2)

Das empfohlene Verfahren wird übernommen. Zusätzlich ist der Lastfall volle Windkraft ohne Torsion zu untersuchen.

#### 7.1.3 Auswirkungen von Eis und Schnee

## NDP zu 7.1.3 (1)

Die Änderung der Bezugsfläche durch Eis oder Schnee ist ein vorüber gehender Zustand. Der Geschwindigkeitsdruck darf daher abgemindert werden. Bei dieser Abminderung dürfen nicht gleichzeitig die Kombinationsbeiwerte nach DIN EN 1990 angewandt werden. Weitere Informationen hierzu enthält Anhang NA.C.

#### 7.2 Druckbeiwerte für Gebäude

# 7.2.1 Allgemeines

# NDP zu 7.2.1 (1), Anmerkung 2

Es gilt das empfohlene Verfahren nach DIN EN 1991-1-4.

# 7.2.2 Vertikale Wände von Gebäuden mit rechteckigem Grundriss

#### NDP zu 7.2.2 (1)

Es gelten die Regelungen nach DIN EN 1991-1-4.

# NDP zu 7.2.2 (2), Anmerkung 1

Es gilt nachstehende Tabelle:

Tabelle NA.1 — Außendruckbeiwerte für vertikale Wände rechteckiger Gebäude

Bereich		4	E	3	(	;		D	E	<b>=</b>
h/d	<sup>C</sup> pe,10	<sup>С</sup> ре,1	<sup>с</sup> ре,10	<sup>с</sup> ре,1	<sup>C</sup> pe,10	<sup>с</sup> ре,1	<sup>с</sup> ре,10	<sup>С</sup> ре,1	<sup>с</sup> ре,10	<sup>с</sup> ре,1
≥ 5	-1,4	-1,7	-0,8	-1,1	-0,5	-0,7	+0,8	+1,0	-0,5	-0,7
1	-1,2	-1,4	-0,8	-1,1	-0	),5	+0,8	+1,0	-0	),5
≤ 0,25	-1,2	-1,4	-0,8	-1,1	-0	),5	+0,7	+1,0	-0,3	-0,5

Für einzeln in offenem Gelände stehende Gebäude können im Sogbereich auch größere Sogkräfte auftreten.

Zwischenwerte dürfen linear interpoliert werden.

Für Gebäude mit h/d > 5 ist die Gesamtwindlast anhand der Kraftbeiwerte aus 7.6 bis 7.8 und 7.9.2 zu ermitteln.

# NCI zu 7.2.2 (3)

Die Anmerkung ist nicht anzuwenden.

#### 7.2.3 Flachdächer

#### NCI zu 7.2.3

Tabelle 7.2 ist mit nachfolgender Ergänzung anzuwenden. Bei den Dachtypen "scharfkantiger Traufbereich" und "mit Attika" ist im Bereich I der negative Druckbeiwert mit –0,6 anzunehmen.

#### 7.2.8 Gekrümmte Dächer und Kuppeln

#### NDP zu 7.2.8 (1)

Die Druckverteilungen nach Bild 7.11 bzw. 7.12 sind als Einhüllende zu verstehen, die nicht notwendigerweise gleichzeitig auftreten noch zur gleichen Windrichtung gehören müssen. Die tatsächliche momentane Druckverteilung kann je nach betrachteter Schnittgröße ungünstiger wirken. Wenn die Windlast das Bemessungsergebnis wesentlich bestimmt, kann es daher erforderlich sein, zusätzliche Winddruckverteilungen zu untersuchen. Mit diesem Hinweis werden die empfohlenen Werte übernommen.

# 7.2.9 Innendruck

# NDP zu 7.2.9 (2)

Bis zu einer Grundundichtigkeit von 1 % braucht der Innendruck nicht berücksichtigt zu werden, wenn die Öffnungsanteile über die Flächen der Außenwände annähernd gleichmäßig verteilt sind.

# 7.2.10 Druck auf mehrschalige Wand- und Dachflächen

# NDP zu 7.2.10 (3), Anmerkung 1

Es gilt die Regelung nach DIN EN 1991-1-4.

# NDP zu 7.2.10 (3), Anmerkung 2

Anstelle des ersten Spiegelstriches gelten folgende Regelungen:

Der sich aus dem Innendruck im Hinterlüftungsraum und dem Außendruck ergebende resultierende Winddruck auf die durchlässige Außenwandbekleidung darf mit einem Beiwert

$$c_{
m p,net}$$
 =  $\pm$  0,5

berechnet werden. Dabei gelten gleichzeitig folgende Anwendungsgrenzen:

- a) Entlang der vertikalen Gebäudekanten ist eine dauerhaft wirksame, vertikale Luftsperre angeordnet.
- b) Für die Durchlässigkeit der Außenwandbekleidung gilt:

Fläche der Öffnungen / Fläche der Außenwandbekleidung ≥ 0,75 %

Die Fläche der Öffnungen muss gleichmäßig über die Gesamtfläche der Außenwandbekleidung verteilt sein.

c) Die lichte Dicke der Luftschicht im Hinterlüftungsraum muss kleiner als 100 mm sein.

# 7.4 Freistehende Wände, Brüstungen, Zäune und Anzeigetafeln

# 7.4.1 Freistehende Wände und Brüstungen

#### NDP zu 7.4.1 (1)

Es gilt die Regelung nach DIN EN 1991-1-4.

# 7.4.3 Kraftbeiwerte für Anzeigetafeln

# NDP zu 7.4.3 (2)

Es gilt die Regelung nach DIN EN 1991-1-4.

# 7.6 Kraftbeiwerte für Bauteile mit rechteckigem Querschnitt

# NDP zu 7.6 (1), Anmerkung 1

Es gilt die Regelung nach DIN EN 1991-1-4.

# 7.7 Kraftbeiwerte für Bauteile mit kantigem Querschnitt

# NDP zu 7.7 (1), Anmerkung 1

Die Regelung wird übernommen. Die Kräfte sind in x- und y-Richtung gleichzeitig wirkend anzunehmen. Nachfolgende Tabelle enthält genauere Angaben. Sie dürfen anstelle des einheitlichen Wertes von  $c_{\rm f,0}=2,0$  benutzt werden, sofern die Seitenverhältnisse näherungsweise eingehalten sind.

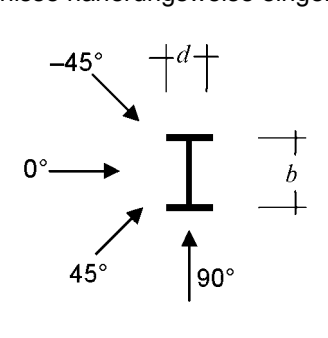


Bild NA.1 — Definition der Windrichtungen

Tabelle NA.2 — Kraftbeiwerte für Bauteile mit kantigem Querschnitt

Lfd.	1	2	3	4	5
Nr.	Form	Seitenverhältnis	Windrichtung	$c_{fx,0}$	$c_{fy,0}$
1		<i>d/b</i> < 0,1	0°	2,00	0
2	4	d/b = 1,0	0° 45° 90°	1,65 2,20 1,30	0 1,00 2,10
3	F	<i>d/b</i> = 1,0	0° 45° 90°	2,00 1,15 –1,30	0 0,80 2,10
4	٦	d/b = 0.5	0° +45° –45° 90°	2,00 1,80 1,30 1,75	2,00 1,60 -0,40 2,50
5	L	d/b = 0.5	0° +45° -45° 90°	2,00 1,55 1,55 –0,25	-0,20 1,40 -1,60 1,60
6	Г	d/b = 1,0	0° 45° 90°	1,80 1,80 2,00	2,00 1,80 1,80
7	L	d/b = 1,0	0° +45° -45° 90°	1,90 1,40 0,70 –0,20	-0,20 1,40 -1,80 1,90
8		<i>d/b</i> = 1,0	0° 45° 90°	2,00 0,85 0	0 0,85 2,00

Lfd.	1	2	3	4	5
Nr.	Form	Seitenverhältnis	Windrichtung	$c_{fx,0}$	c <sub>fy,0</sub>
		d/b = 0.5	0° 45° 90°	2,00 1,80 0	0 1,20 1,60
9		d/b = 0,66	0° 45° 90°	1,85 1,70 0	0 1,50 1,80
		d/b=1,0	0° 45° 90°	1,70 1,50 0	0 1,50 1,70
10		d/b=0,5	0° 45° 90°	2,10 1,80 0	0 1,20 1,40
11	С	d/b = 0.5	0° 45° 90°	1,80 1,80 0	0 1,0 2,4

# Tabelle NA.2 (fortgesetzt)

# 7.8 Kraftbeiwerte für Bauteile mit regelmäßigem polygonalem Querschnitt

# NDP zu 7.8 (1)

Es gilt die Regelung nach DIN EN 1991-1-4. Zusätzlich gelten für Querschnitte in Form eines gleichseitigen Dreiecks mit scharfen Kanten, r/b < 0.10, folgende Werte:

— Anströmung auf die Dreiecksspitze:  $c_{f,0} = 1,2$ 

— Anströmung auf die Dreiecksseite:  $c_{f,0} = 2,0$ 

# 7.10 Kraftbeiwerte für Kugeln

# NDP zu 7.10 (1), Anmerkung 1

Es gilt die Regelung nach DIN EN 1991-1-4. Der Böengeschwindigkeitsdruck  $q_{\rm p}$  ist nicht nach 4.5 sondern nach Anhang NA.B, Tabellen B.2 und B.4, zu berechnen.

# 7.11 Kraftbeiwerte für Fachwerke, Gitter und Gerüste

# NDP zu 7.11 (1), Anmerkung 2

Es wird auf DIN EN 12811-1:2004-03, 6.27 verwiesen.

# 7.13 Effektive Schlankheit $\lambda$ und Abminderungsfaktor $\psi_{\lambda}$ zur Berücksichtigung der Schlankheit

# NDP zu 7.13 (1)

Es gilt die Regelung nach DIN EN 1991-1-4.

#### NDP zu 7.13 (2)

Es gilt die Regelung nach DIN EN 1991-1-4.

#### 8 Windeinwirkungen auf Brücken

#### 8.1 Allgemeines

# NDP zu 8.1 (1), Anmerkung 1

Es werden keine Windeinwirkungen für andere Brückentypen angegeben.

# NDP zu 8.1 (1), Anmerkung 2

Die Anströmrichtung ist horizontal anzunehmen.

#### NDP zu 8.1 (4), Anmerkung

Maßgebend ist die Böengeschwindigkeit in Höhe des Verkehrsbandes. Der empfohlene Wert wird durch eine Böengeschwindigkeit in Höhe des Verkehrsbandes von 32 m/s ersetzt.

# NDP zu 8.1 (5), Anmerkung

Maßgebend ist die Böengeschwindigkeit in Höhe des Verkehrsbandes. Der empfohlene Wert wird durch eine Böengeschwindigkeit in Höhe des Verkehrsbandes von 35 m/s ersetzt.

Zusätzlich gilt für den Nachweis der Gesamtstabilität mit dem unbeladenen Zug:

Die anzusetzende Windeinwirkung wird durch die Lage der Resultierenden aus Wind und unbeladenem Zug begrenzt. Die Wirkungslinie dieser Resultierenden muss die Fahrebene innerhalb der Spurweite schneiden (Lagestabilität des unbeladenen Zugs). Die Angaben beziehen sich hierbei auf die charakteristischen Werte der Windeinwirkung sowie des unbeladenen Zugs. Eine weitere Abminderung der aus dieser Regelung ermittelten Windeinwirkungen durch einen Kombinationsbeiwert ( $\psi_0$ ) ist nicht zulässig.

Für die Regelspurweite und einer Überhöhung von  $\ddot{u}=0$  ergibt sich als charakteristische Windeinwirkung auf den unbeladenen Zug:  $w_k=1,17$  kN/m<sup>2</sup>.

# 8.2 Berechnungsmethode für die Systemantwort

#### NDP zu 8.2 (1), Anmerkung 1

Für die Abschätzung, ob eine dynamische Systemantwort benötigt wird, ist in Anhang NA.C.2 ein Verfahren angegeben.

#### 8.3 Kraftbeiwerte

#### NDP zu 8.3 (1), Anmerkung

Es gilt die Empfehlung nach DIN EN 1991-1-4.

#### NDP zu 8.3.1 (2), Anmerkung

Es gilt die Regelung nach DIN EN 1991-1-4.

#### NDP zu 8.3.2 (1), Anmerkung

In Deutschland ist das vereinfachte Verfahren zur Ermittlung der Windkraft in x-Richtung für Brücken in Anhang NA.N geregelt.

# NDP zu 8.3.3 (1), Anmerkung 1

Für den aerodynamischen Beiwert der Windlast in z-Richtung gilt Bild 8.6. Im vereinfachten Verfahren nach Anhang NA.N kann auf den Ansatz einer Windlast in z-Richtung verzichtet werden.

#### 12

#### NDP zu 8.3.4 (1)

Es gelten die empfohlenen Werte nach DIN EN 1991-1-4.

#### 8.4 Brückenpfeiler

#### 8.4.2 Windeinwirkungen auf Brückenpfeiler

# NDP zu 8.4.2 (1), Anmerkung 1

Die Windeinwirkung auf Brückenpfeiler ist in Anhang NA.N geregelt.

# Anhang A (informativ) Einfluss von Geländerauhigkeit und Topographie

# NDP zu Anhang A

Anstelle des Anhangs A gilt in Deutschland der Anhang NA.B.

# Anhang B (informativ) Berechnungsverfahren 1 zur Bestimmung des Strukturbeiwertes $c_{\mathrm{s}}c_{\mathrm{d}}$

# NDP zu Anhang B

Anstelle des Anhangs B gilt in Deutschland der Anhang NA.C.

# Anhang C (informativ) Berechnungsverfahren 2 zur Bestimmung des Strukturbeiwertes $c_{ m s}c_{ m d}$

# NDP zu Anhang C

Der Anhang C ist in Deutschland nicht anzuwenden. An seiner Stelle gilt Anhang NA.C.

# Anhang D (informativ) $c_{\rm s}c_{\rm d}$ -Werte für unterschiedliche Gebäudetypen

# NDP zu Anhang D

Der Anhang D ist in Deutschland nicht anzuwenden. An seiner Stelle gilt Anhang NA.C.

# Anhang E (informativ) Wirbelerregte Querschwingungen und aeroelastische Instabilitäten

# NDP zu Anhang E

Der Anhang E ist in Deutschland nicht anzuwenden. An seiner Stelle gelten die Anhänge NA.D und NA.E.

# Anhang F (informativ) Dynamische Eigenschaften von Bauwerken

# NDP zu Anhang F

Der Anhang F wird übernommen.

# NCI

# Anhang NA.A (normativ)

# Windzonenkarte

# A.1 Allgemeines

(1) In der Windzonenkarte sind Grundwerte der Basiswindgeschwindigkeiten  $v_{\rm b,0}$  und zugehörige Geschwindigkeitsdrücke  $q_{\rm b,0}$  nach DIN EN 1991-1-4:2010-12, 1.6.1, angegeben. Die Werte gelten für Geländekategorie II nach Anhang NA.B.

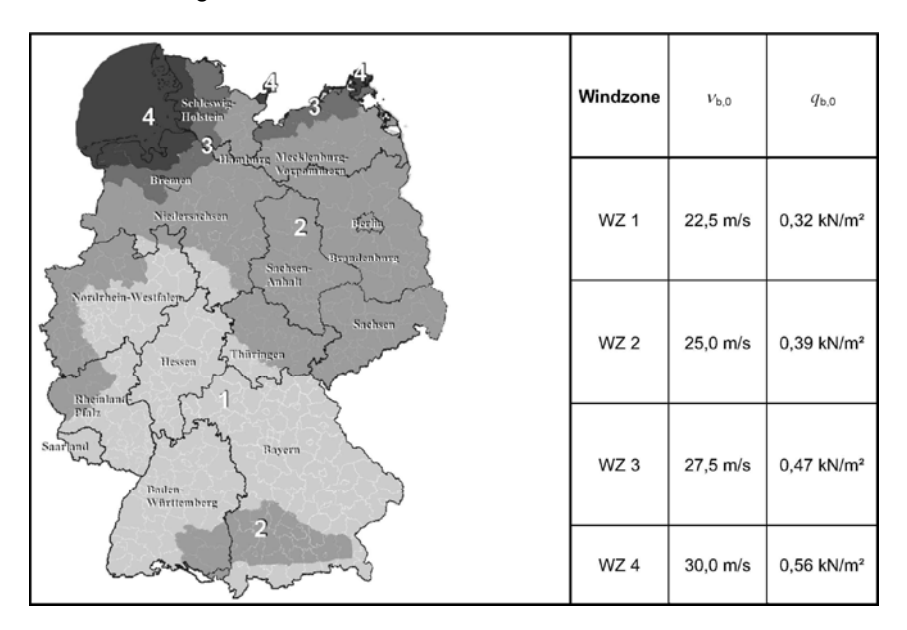


Bild NA.A.1 — Windzonenkarte für das Gebiet der Bundesrepublik Deutschland

# A.2 Einfluss der Meereshöhe

- (1) Der Geschwindigkeitsdruck ist zu erhöhen, wenn der Bauwerksstandort oberhalb einer Meereshöhe von 800 m über NN liegt.
- (2) Der Erhöhungsfaktor beträgt (0,2 +  $H_s$ /1 000), wobei  $H_s$  die Meereshöhe in m bezeichnet.
- (3) Für Kamm- und Gipfellagen der Mittelgebirge sowie oberhalb  $H_{\rm S}=$  1 100 m sind besondere Überlegungen erforderlich.

# NCI

# Anhang NA.B (normativ)

# Einfluss von Geländerauigkeit, Topographie und vorübergehenden Zuständen auf die Windeinwirkungen

# NA.B.1 Festlegung der Geländekategorien

- (1) Die Profile der mittleren Windgeschwindigkeit und der zugehörigen Turbulenzintensität hängen von der Bodenrauigkeit und der Topographie in der Umgebung des Bauwerksstandortes ab.
- (2) Für baupraktische Zwecke ist es sinnvoll, die weite Spanne von in der Natur vorkommenden Bodenrauigkeiten in Geländekategorien zusammenzufassen. Es werden vier Geländekategorien nach Tabelle NA.B.1 sowie zwei Mischprofile unterschieden. Das Mischprofil Küste beschreibt die Verhältnisse in einem Übergangsbereich zwischen der Geländekategorie I und II. Das Mischprofil Binnenland beschreibt die Verhältnisse in einem Übergangsbereich zwischen der Geländekategorie II und III.

# Tabelle NA.B.1 — Geländekategorien

Geländekategorie I	-
Offene See; Seen mit mindestens 5 km freier Fläche in Windrichtung; glattes, flaches Land ohne Hindernisse	
Rauigkeitslänge $z_0 = 0.01 \text{ m}$	The state of the s
Profilexponent $\alpha = 0.12$	
Geländekategorie II	
Gelände mit Hecken, einzelnen Gehöften, Häusern oder Bäumen, z. B. landwirtschaftliches Gebiet	
Rauigkeitslänge $z_0 = 0.05 \text{ m}$	
Profilexponent $\alpha = 0,16$	THE WAY THE THE PARTY OF THE PA
Geländekategorie III	00 II 1 1/10 10 10 10 10 10 10 10 10 10 10 10 10 1
Vorstädte, Industrie- oder Gewerbegebiete; Wälder	
Rauigkeitslänge $z_0 = 0.30 \text{ m}$	
Profilexponent $\alpha = 0.22$	The state of the s
Geländekategorie IV	Comman, by a stability of the stability
Stadtgebiete, bei denen mindestens 15 % der Fläche mit Gebäuden bebaut sind, deren mittlere Höhe 15 m überschreitet	
α = 0,00	THE PARK KAMERINA

- (3) In Tabelle NA.B.2 finden sich die Profile der mittleren Geschwindigkeit, der Turbulenzintensität und des Böengeschwindigkeitsdruckes für die 4 Geländekategorien. Der Böengeschwindigkeitsdruck wird in der Regel für die Windlastermittlung bei nicht schwingungsanfälligen Konstruktionen benutzt
- (4) Auf der sicheren Seite liegend kann in den küstennahen Gebieten sowie auf den Nord- und Ostseeinseln die Geländekategorie I, im Binnenland die Geländekategorie II zu Grunde gelegt werden.

Tabelle NA.B.2 — Profile der mittleren Windgeschwindigkeit, der Turbulenzintensität, des Böengeschwindigkeitsdrucks und der Böengeschwindigkeit in ebenem Gelände für 4 Geländekategorien

Geländekategorie	I	II	III	IV
Mindesthöhe $z_{\min}$	2,00 m	4,00 m	8,00 m	16,00 m
Mittlere Wind- geschwindigkeit $v_{\rm m}$ für $z>z_{\rm min}$	$1,18 \times v_{\rm b} (z/10)^{0,12}$	$1,00 \times v_{\rm b} (z/10)^{0,16}$	$0.77 \times v_{b} (z/10)^{0.22}$	$0.56 \times v_{\rm b}  (z/10)^{0.30}$
$v_{\rm m}$ / $v_{\rm b}$ für $z$ < $z_{\rm min}$	0,97	0,86	0,73	0,64
Turbulenzintensität $I_{\rm V}$ für $z>z_{\rm min}$	0,14 × (z/10) <sup>-0,12</sup>	0,19 × (z/10) <sup>-0,16</sup>	0,28 × (z/10) <sup>-0,22</sup>	0,43 × (z/10) <sup>-0,30</sup>
$I_{\rm V}$ für $z < z_{ m min}$	0,17	0,22	0,29	0,37
Böengeschwindig- keitsdruck $q_{\rm p}$ für $z>z_{\rm min}$	$2.6 \times q_{\rm b} (z/10)^{0.19}$	$2,1 \times q_{\rm b} \ (z/10)^{0,24}$	$1.6 \times q_{\rm b} (z/10)^{0.31}$	$1,1 \times q_{b} (z/10)^{0,40}$
$q_{p} / q_{b}$ für $z < z_{min}$	1,9	1,7	1,5	1,3
Böengeschwindig- keit $v_p$ für $z > z_{min}$	$1,61 \times v_{b} (z/10)^{0,095}$	$1,45 \times v_{\rm b} \ (z/10)^{0,120}$	$1,27 \times v_{b} (z/10)^{0,155}$	$1,05 \times v_b (z/10)^{0,200}$
$v_{\rm p}$ / $v_{\rm b}$ für $z < z_{\rm min}$	1,38	1,30	1,23	1,15

# NA.B.2 Übergänge zwischen den Geländekategorien

- (1) Soll der Einfluss der Bodenrauigkeit abweichend von NA.B.1 (4) genauer erfasst werden, so gelten folgende Regelungen:
- Die Verminderung der bodennahen Windgeschwindigkeiten durch Wälder darf nur mit Geländekategorie II bewertet werden. In einem starken Sturm ist nicht sichergestellt, dass die Bodenrauigkeit der Geländekategorie III wirksam bleibt, weil die Vegetation den Windkräften unter Umständen nicht standhält.
- Die Veränderung, die der Windströmung stromab von einem Wechsel der Bodenrauigkeit aufgeprägt wird, muss berücksichtigt werden. Sie betrifft das Windprofil, die Turbulenzintensität und weitere Parameter, die gegebenenfalls benötigt werden. Dabei ist der Einfluss des Abstandes zwischen Rauigkeitswechsel und Bauwerksstandort zu beachten.
- Die maßgebende Geländekategorie darf für die interessierenden Windrichtungssektoren stromauf vom Bauwerksstandort getrennt ermittelt werden.
- In Zweifelsfällen ist die glattere Geländekategorie anzunehmen.

- (2) Der Einfluss wechselnder Bodenrauigkeiten darf ohne genauere Untersuchung wie folgt erfasst werden. Liegt der Bauwerksstandort näher als 1 km an einem Wechsel von glatterem zu rauerem Gelände, so ist die ungünstigere, glattere Geländekategorie zu benutzen. Ist der Gebäudestandort weiter als 3 km vom Rauigkeitswechsel entfernt, so darf die rauere Geländekategorie benutzt werden, wenn das Gebäude niedriger als 50 m ist. Für Bauwerke, deren Höhe mehr als 50 m beträgt, ist die glattere Geländekategorie anzunehmen.
- (3) In NA.B.3.3 sind Mischprofile des Böengeschwindigkeitsdruckes für die Übergangszonen zwischen den Geländekategorien I und II sowie zwischen II und III angegeben. Sie sind als Regelfälle anzunehmen.

# NA.B.3 Böengeschwindigkeitsdruck für nicht schwingungsanfällige Bauwerke und Bauteile

# NA.B.3.1 Verfahren zur Ermittlung des Böengeschwindigkeitsdruckes

- (1) Den Regelungen für den Geschwindigkeitsdruck, der bei nicht schwingungsanfälligen Konstruktionen angewendet wird, liegt eine Böengeschwindigkeit zu Grunde, die über eine Böendauer von 2 s bis 4 s gemittelt ist.
- (2) Zur Bestimmung von Winddrücken nach 5.2 und Windkräften nach 5.3 wird der Geschwindigkeitsdruck nach einem der Verfahren nach NA.B.3.2 oder NA.B.3.3 ermittelt.
- (3) Für niedrige Bauwerke darf ein vereinfachter, über die Höhe konstanter Geschwindigkeitsdruck nach NA.B.3.2 benutzt werden.
- (4) Das Anwachsen des Geschwindigkeitsdruckes mit der Höhe über Grund wird in der Regel nach NA.B.3.3 erfasst.
- (5) Die Richtung der Windanströmung darf horizontal angenommen werden. Ein vertikaler Einfallwinkel der Windanströmung von ± 10° ist anzusetzen, wenn die Windlast dadurch wesentlich ungünstiger wird.
- (6) Für die Bestimmung von Windkräften darf das Verfahren für schwingungsanfällige Tragstrukturen nach Anhang NA.C auch bei nicht schwingungsanfälligem Tragverhalten benutzt werden.

# NA.B.3.2 Vereinfachte Annahmen für den Böengeschwindigkeitsdruck bei Bauwerken bis zu einer Höhe von 25 m über Grund

- (1) Bei Bauwerken, die sich in Höhen bis 25 m über Grund erstrecken, darf der Geschwindigkeitsdruck zur Vereinfachung konstant über die gesamte Gebäudehöhe angenommen werden. Die entsprechenden Geschwindigkeitsdrücke sind in Tabelle NA.B.3 für die 4 Windzonen nach Anhang NA.A angegeben.
- (2) Die Werte, die in Tabelle NA.B.3 für die Küste angegeben sind, gelten für küstennahe Gebiete in einem Streifen entlang der Küste mit 5 km Breite landeinwärts sowie auf den Inseln der Ostsee. Auf den Inseln der Nordsee ist das vereinfachte Verfahren nur bis zu einer Gebäudehöhe von 10 m zugelassen. Bei höheren Gebäuden ist nach NA.B.3.3 zu verfahren.

Windzone		Geschwindigkeitsdruck $q_p$ in kN/m² bei einer Gebäudehöhe $h$ in den Grenzen von				
		<i>h</i> ≤ 10m	10 m < h ≤ 18 m	18 m < <i>h</i> ≤ 25 m		
1	Binnenland	0,50	0,65	0,75		
2	Binnenland	0,65	0,80	0,90		
2	Küste und Inseln der Ostsee	0,85	1,00	1,10		
3	Binnenland	0,80	0,95	1,10		
٥	Küste und Inseln der Ostsee	1,05	1,20	1,30		
	Binnenland	0,95	1,15	1,30		
4	Küste der Nord- und Ostsee und Inseln der Ostsee	1,25	1,40	1,55		
	Inseln der Nordsee	1,40	_	_		

Tabelle NA.B.3 — Vereinfachte Geschwindigkeitsdrücke für Bauwerke bis 25 m Höhe

# NA.B.3.3 Höhenabhängiger Böengeschwindigkeitsdruck im Regelfall

- (1) Die Bodenrauigkeit, die durch Bewuchs und Bebauung erzeugt wird, beeinflusst das Profil des Geschwindigkeitsdruckes. Für Bauwerke, die sich in größere Höhen als 25 m über Grund erstrecken, ist dieser Einfluss nach den Gleichungen (NA.B.1) bis (NA.B.8) bzw. nach NA.B.2 genauer zu erfassen.
- (2) In Tabelle NA.B.2 sind Profile des Böengeschwindigkeitsdruckes für 4 Geländekategorien angegeben, mit denen der Einfluss der Bodenrauigkeit erfasst wird. Stromab von einem Rauigkeitswechsel nimmt das Windprofil in einer Übergangszone allmählich die Form an, die der neuen Rauigkeit entspricht. In dieser Übergangszone treten Mischprofile auf, die vom Abstand zum Rauigkeitswechsel abhängen. Da große Gebiete mit gleichförmiger Bodenrauigkeit in Deutschland selten vorkommen, treten in der Regel überwiegend Mischprofile auf.
- (3) Als Regelfall sind drei Profile des Böengeschwindigkeitsdruckes angegeben. Das erste gilt im Binnenland, das zweite in einem Streifen entlang der Küste mit 5 km Breite landeinwärts (küstennahe Gebiete) sowie auf den Ostseeinseln und das dritte auf den Inseln der Nordsee.
- (4) Diese sind wie folgt anzunehmen:
- a) im Binnenland (Mischprofil der Geländekategorien II und III):

$$q_{\rm p}(z) = 1.5 \times q_{\rm b}$$
 für  $z \le 7$  m (NA.B.1)

$$q_{\rm p}(z) = 1.7 \times q_{\rm b} \left(\frac{z}{10}\right)^{0.37}$$
 für  $7 \, {\rm m} < z \le 50 \, {\rm m}$  (NA.B.2)

$$q_{\rm p}(z) = 2.1 \times q_{\rm b} \left(\frac{z}{10}\right)^{0.24}$$
 für 50 m < z ≤ 300 m (NA.B.3)

b) in küstennahen Gebieten sowie auf den Inseln der Ostsee (Mischprofil der Geländekategorien I und II):

$$q_{p}(z) = 1.8 \times q_{b}$$
 für  $z \le 4 \text{ m}$  (NA.B.4)

$$q_{\rm p}(z) = 2.3 \times q_{\rm b} \left(\frac{z}{10}\right)^{0.27}$$
 für 4 m < z ≤ 50 m (NA.B.5)

$$q_{\rm p}(z) = 2.6 \times q_{\rm b} \left(\frac{z}{10}\right)^{0.19}$$
 für 50 m < z ≤ 300 m (NA.B.6)

c) auf den Inseln der Nordsee (Geländekategorie I):

$$q_{\rm D}(z) = 1,1 \text{ kN/m}^2$$
 für  $z \le 2 \text{ m}$  (NA.B.7)

$$q_{\rm p}(z) = 1.5 \left(\frac{z}{10}\right)^{0.19} {\rm kN/m^2}$$
 für  $2 {\rm m} < z \le 300 {\rm m}$  (NA.B.8)

(5) Der Einfluss der Bodenrauigkeit darf abweichend von den Gleichungen (NA.B.1) bis (NA.B.8) genauer nach Abschnitt NA.B.1 und NA.B.2 bewertet werden.

Tabelle NA.B.4 — Profile der mittleren Windgeschwindigkeit, der Turbulenzintensität und der Böengeschwindigkeit in ebenem Gelände für die Regelfälle nach NA.B.3.3

	Regelprofil im Binnenland	Regelprofil in küstennahen Gebieten
Mindesthöhe $z_{\min}$	7,00 m	4,00 m
Mittlere Windgeschwindigkeit $v_{\rm m}$ für 50 m < $z$ < 300 m	$1,00 \times v_{\rm b} (z/10)^{0,16}$	$1,18 \times v_{\rm b} (z/10)^{0,12}$
$v_{\rm m}$ / $v_{\rm b}$ für $z_{\rm min}$ < $z$ < 50 m	$0.86 \times (z/10)^{0.25}$	$1,10 \times (z/10)^{0,165}$
$v_{\rm m}$ / $v_{\rm b}$ für $z < z_{\rm min}$	0,79	0,95
Turbulenzintensität $I_{\rm V}$ für 50 m $< z <$ 300 m	$0,19 \times (z/10)^{-0,16}$	0,14 × (z/10) <sup>-0,12</sup>
$I_{\rm V}$ für $z_{\rm min}$ < $z$ < 50 m	0,22 × (z/10) <sup>-0,25</sup>	$0,15 \times (z/10)^{-0,165}$
$I_{\rm V}$ für $z < z_{\rm min}$	0,24	0,17
Böengeschwindigkeit $v_{\rm p}$ für 50 m < $z$ < 300 m	$1,45 \times v_b (z/10)^{0,120}$	$1,61 \times v_{\rm b} \ (z/10)^{0,095}$
$v_{\rm p}$ / $v_{\rm b}$ für $z_{\rm min}$ < $z$ < 50 m	1,31 × (z/10) <sup>0,185</sup>	1,51 × (z/10) <sup>0,135</sup>
$v_{\rm p}$ / $v_{\rm b}$ für $z < z_{\rm min}$	1,23	1,33

- (6) Ist der Gebäudestandort topografisch exponiert, so ist die Auswirkung auf die Windlast zu erfassen. Ein Untersuchungsverfahren wird in NA.B.4 angegeben.
- (7) Für Gebäudestandorte an ausgedehnten Binnengewässerflächen ist zu prüfen, ob die Geländekategorie I anzuwenden ist.
- (8) Tabelle NA.B.4 enthält die Profile der mittleren Windgeschwindigkeit und der Turbulenzintensität zur Verwendung in den Anhängen NA.C bis NA.F und NA.N.

# NA.B.4 Einfluss der Topographie

# NA.B.4.1 Erfassung des Topographieeinflusses

- (1) Die Topographie beeinflusst die mittlere Windgeschwindigkeit  $\nu_{\rm m}$ , die Turbulenzintensität  $I_{\rm V}$  und den Böengeschwindigkeitsdruck  $q_{\rm p}$ . Der Einfluss wird unter den in NA.B.4.2 angegebenen Bedingungen durch den Topographiebeiwert  $c_{\rm o}$  erfasst.
- (2) Die mittlere Windgeschwindigkeit an einem Hang oder auf einer Kuppe beträgt

$$v_{\mathsf{m}}(z) = c_{\mathsf{o}}(z) \cdot v_{\mathsf{mf}}(z) \tag{NA.B.9}$$

Dabei ist

 $c_0$  der Topographiebeiwert nach NA.B.4.2;

 $v_{
m mf}$  die mittlere Windgeschwindigkeit am Fuß des Berges oder der Böschung;

- z der jeweilige Bodenabstand am Fuß bzw. am Hang oder auf der Kuppe.
- (3) Für die Turbulenzintensität gilt

$$I_{V}(z) = \frac{I_{Vf}(z)}{c_{O}(z)}$$
(NA.B.10)

Dabei ist

 $I_{
m vf}$  die Turbulenzintensität am Fuß des Berges oder der Böschung.

(4) Für den Böengeschwindigkeitsdruck gilt

$$q_{p}(z) = \frac{\rho}{2} (c_{o}(z) \cdot v_{mf}(z))^{2} \left( 1 + 6 \frac{I_{vf}(z)}{c_{o}(z)} \right)$$
(NA.B.11)

# NA.B.4.2 Numerische Berechnung der Topographiebeiwerte

Nach DIN EN 1991-1-4:2010-12. A.3

# NA.B.5 Abminderung des Geschwindigkeitsdruckes bei vorübergehenden Zuständen

- (1) Für Bauwerke, die nur zeitweilig bestehen, sowie für vorübergehende Zustände, z. B. für Bauwerke im Bauzustand, darf die Windlast abgemindert werden.
- (2) Die Größe der Abminderung hängt von der Dauer des Zustandes sowie von der Möglichkeit von Sicherungsmaßnahmen für den Fall aufkommenden Sturms ab.
- (3) Abminderungsfaktoren für den Geschwindigkeitsdruck zur Untersuchung solcher Zustände sind in Tabelle NA.B.5 angegeben. Deren Anwendung führt zu einer angemessenen Tragsicherheit für die Dauer des vorübergehenden Zustandes.

(4) Die Reduzierung der rechnerischen Geschwindigkeitsdrücke nach Tabelle NA.B.5, Spalten 2 und 3, gilt für den Nachweis der ungesicherten Konstruktion. Ihre Anwendung setzt voraus, dass die Wetterlage ausreichend genau beobachtet wird, gegebenenfalls Sturmwarnungen durch einen qualifizierten Wetterdienst eingeholt werden und die Sicherungsmaßnahmen rechtzeitig vor aufkommenden Sturm abgeschlossen werden können.

Tabelle NA.B.5 — Abgeminderter Geschwindigkeitsdruck zur Untersuchung vorübergehender Zustände

	Sicherungsmaßnahmen	maßnahmen
0,1· <i>q</i>	0,2 <i>q</i>	0,5 <i>q</i>
0,2· <i>q</i>	0,3 <i>q</i>	0,5 <i>q</i>
0,2· <i>q</i>	0,3 <i>q</i>	0,6 <i>q</i>
0,2· <i>q</i>	0,4 <i>q</i>	0,7 <i>q</i>
	$0,2 \cdot q$ $0,2 \cdot q$ $0,2 \cdot q$	$0,2 \cdot q$ $0,3 \ q$ $0,3 \ q$

Schützende Sicherungsmaßnahmen sind z. B.: Niederlegen von Bauteilen am Boden, Einhausung oder Einschub in Hallen

- (5) Die im Falle aufkommenden Sturms durch verstärkende Sicherungsmaßnahmen ertüchtigte Konstruktion ist für einen Geschwindigkeitsdruck entsprechend Tabelle NA.B.5, Spalte 4 zu bemessen.
- (6) Bei Bauten, die jederzeit errichtet und demontiert werden können, z.B. fliegende Bauten und Gerüste, darf die Abminderung nicht angewendet werden, es sei denn dies wird in Fachnormen anders geregelt.
- (7) Bei Berücksichtigung von Eisansatz dürfen die Windlasten nach Tabelle NA.B.5, Spalte 4, sinngemäß angesetzt werden.

# NCI

# Anhang NA.C

(normativ)

# Ermittlung des Strukturbeiwertes und Beurteilung der Schwingungsanfälligkeit

# NA.C.1 Ermittlung des Strukturbeiwertes

# NA.C.1.1 Allgemeines

(1) Der Strukturbeiwert  $c_s c_d$  erfasst die Veränderung der Böenwirkung bei großen Lasteinzugsflächen oder bei Böenresonanz gegenüber der des Böengeschwindigkeitsdruckes. Er ist nach Gleichung (NA.C.1) definiert:

$$c_{s}c_{d} = \frac{1 + 2 \times k_{p} \times I_{v}(z_{s}) \times \sqrt{B^{2} + R^{2}}}{1 + 6 \times I_{v}(z_{s})}$$
(NA.C.1)

#### Dabei ist

- $z_s$  Bezugshöhe für die Bestimmung des Strukturbeiwertes nach Bild 6.1. Bei Bauwerken, für die Bild 6.1 nicht zutrifft, darf  $z_s = h$  gesetzt werden, wobei h die Bauwerkshöhe ist.
- k<sub>p</sub> Spitzenbeiwert als Verhältnis von Größtwert und Standardabweichung des veränderlichen Teils der Bauwerksantwort
- $I_{\rm v}$  Turbulenzintensität nach Tabelle NA.B.2 bzw. NA.B.4. Der Topographieeinfluss ist ggf. durch Abminderung der Turbulenzintensität durch den Faktor  $1/c_{\rm o}$  zu berücksichtigen. Darin ist  $c_{\rm o}$  der Topographiebeiwert nach DIN EN 1991-1-4:2010-12, Anhang A.3.
- Böengrundanteil, d. h. quasi-statischer Anteil des veränderlichen Teils der Bauwerksantwort
- Resonanzanteil des veränderlichen Teils der Bauwerksantwort, d. h. die Vergrößerung der Bauwerksreaktion infolge Resonanz mit der durch Turbulenz erzeugten Last
- (2) Das Verfahren ist anwendbar für Gesamtwindkräfte sowie für abschnittsweise verteilte Windkräfte, nicht jedoch für Winddrücke.
- (3) Beanspruchungen quer zur Windrichtung sind nicht erfasst. Sie sind im Allgemeinen durch die Ersatzlast abgegolten, es sei denn, die Schwingungsanfälligkeit in Querrichtung ist größer als in Längsrichtung oder es liegt Wirbelresonanz nach Anhang NA.D vor.
- (4) Das Verfahren zur Ermittlung des Strukturbeiwertes nach DIN EN 1991-1-4:2010-12, B.2, gilt für vertikale Kragsysteme unter Berücksichtigung der Grundschwingungsform. Es kann näherungsweise auch für horizontale Tragsysteme mit ähnlicher Schwingungsform (z. B. Einfeldträger) benutzt werden. Die Standardfälle sind in Bild 6.1 dargestellt. Es gilt weiterhin unter der Voraussetzung, dass linear-elastisches Tragverhalten angenommen werden darf.
- (5) Das Verfahren ist nicht für durchlaufende Systeme wie z.B. abgespannte Masten, Seilverspannte Brücken und Bogenbrücken anzuwenden.

# NA.C.1.2 Windturbulenz

(1) Das Integrallängenmaß der Turbulenz L(z) repräsentiert die mittlere Böenballengröße des natürlichen Windes. Für Bauwerkshöhen z unterhalb von 300 m kann das Integrallängenmaß anhand der Gleichung (NA.C.2) berechnet werden.

Das Integrallängenmaß L(z) der Turbulenz ist in Bild NA.C.1 dargestellt und wie folgt definiert:

$$L(z) = 300 (z/300)^{\varepsilon}$$
 (L, z in m) für  $z_{min} \le z \le 300$  m  
 $L(z) = 300 (z_{min} / 300)^{\varepsilon}$  (L,  $z_{min}$  in m) für  $z \le z_{min}$  (NA.C.2)

Dabei ist

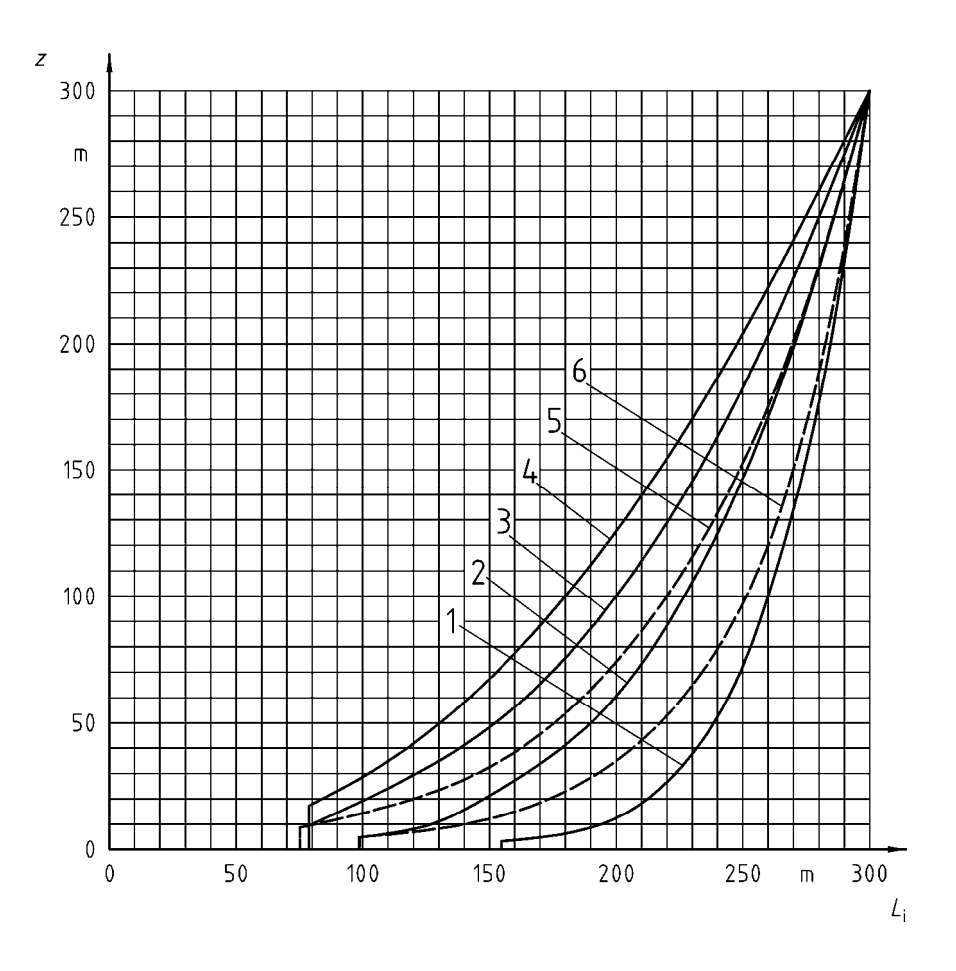
 $\varepsilon$  Exponent nach Tabelle NA.C.1;

 $z_{\rm min}$  nach Tabelle NA.B.2 bzw. NA.B.4.

Auf der sicheren Seite liegend, kann in den küstennahen Gebieten sowie auf den Nord- und Ostseeinseln die Geländekategorie I, im Binnenland die Geländekategorie II zu Grunde gelegt werden.

Tabelle NA.C.1 — Exponent  $\varepsilon$ 

Geländekategorie	I	II	III	IV	Mischprofil Küste	Mischprofil Binnenland
ε	0,13	0,26	0,37	0,46	$\left(\frac{1}{2000z}\right)^{0,15}$	$\left(\frac{1}{3\ 000z}\right)^{0,10}$



# Legende

- 1 Geländekategorie I
- 2 Geländekategorie II
- 3 Geländekategorie III
- 4 Geländekategorie IV
- 5 Mischprofil Binnenland
- 6 Mischprofil Küste

# Bild NA.C.1 — Integrallängenmaß

(2) Die Verteilung der Böenenergie im Frequenzbereich wird durch die dimensionslose spektrale Dichte  $S_{\rm I}(z,n)$  ausgedrückt. Die Berechung erfolgt mit Gleichung (NA.C.3):

$$S_{L}(z,n) = \frac{n \times S_{V}(z,n)}{\sigma_{V}^{2}} = \frac{6.8 \times f_{L}(z,n)}{(1+10.2 \times f_{L}(z,n))^{5/3}}.$$
(NA.C.3)

Dabei ist

 $S_{V}(z,n)$  das Autospektrum des turbulenten Windes, und

 $f_{\rm L}(z,n)=rac{n imes L(z)}{v_{
m m}(z)}$  eine dimensionslose Frequenz, die durch  $n=n_{
m 1,x}$ , die Bauwerkseigenfrequenz in Hz, die mittlere Windgeschwindigkeit  $v_{
m m}(z)$  und durch das Integrallängenmaß der Turbulenz L(z), wie in Bild NA.C.1 definiert, bestimmt wird.

Die dimensionslose spektrale Dichtefunktion ist in Bild NA.C.1 dargestellt.

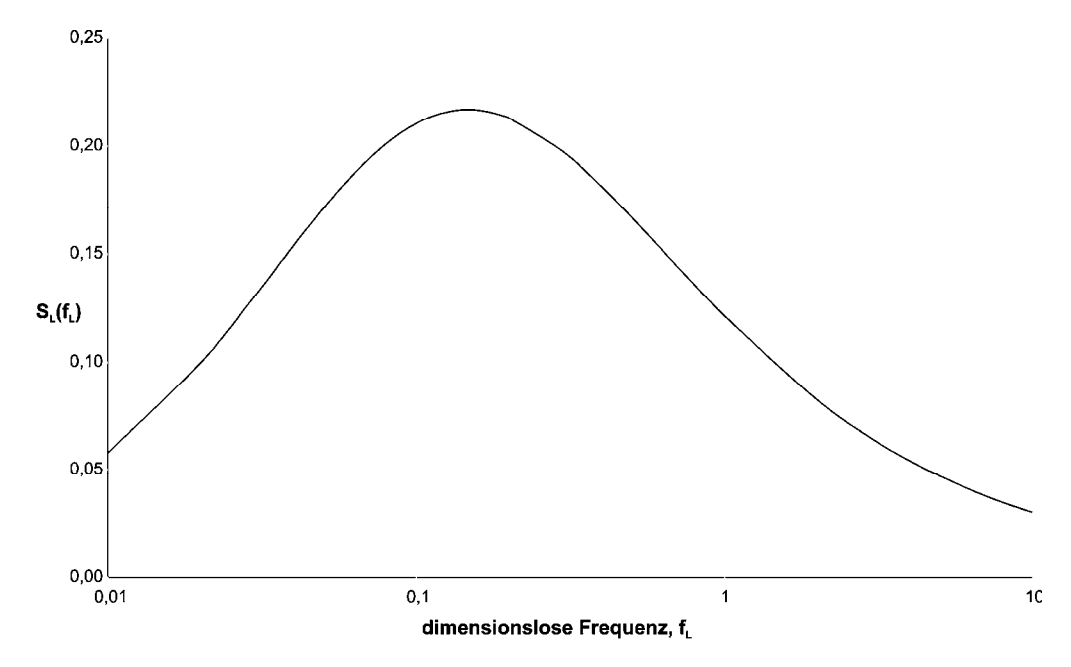


Bild NA.C.2 — Spektrale Dichtefunktion  $S_{I}(f_{I})$ 

# NA.C.1.3 Strukturbeiwert $c_{\rm s}c_{\rm d}$

Nach DIN EN 1991-1-4:2010-12, B.2

# NA.C.1.4 Anzahl der Überschreitungen von niedrigen Niveaus der Böenreaktion

(1) Bild NA.C.3 zeigt die Anzahl  $N_{\rm g}$ , die der Wert eines Einwirkungseffektes  $S_{\rm e}$  während eines Zeitraums von 50 Jahren erreicht oder überschreitet.  $S_{\rm e}$  ist als Prozentanteil des Wertes  $S_{\rm k}$  angegeben, wobei  $S_{\rm k}$  der maßgebende Effekt einer Windeinwirkung innerhalb eines Zeitraums von 50 Jahren ist.

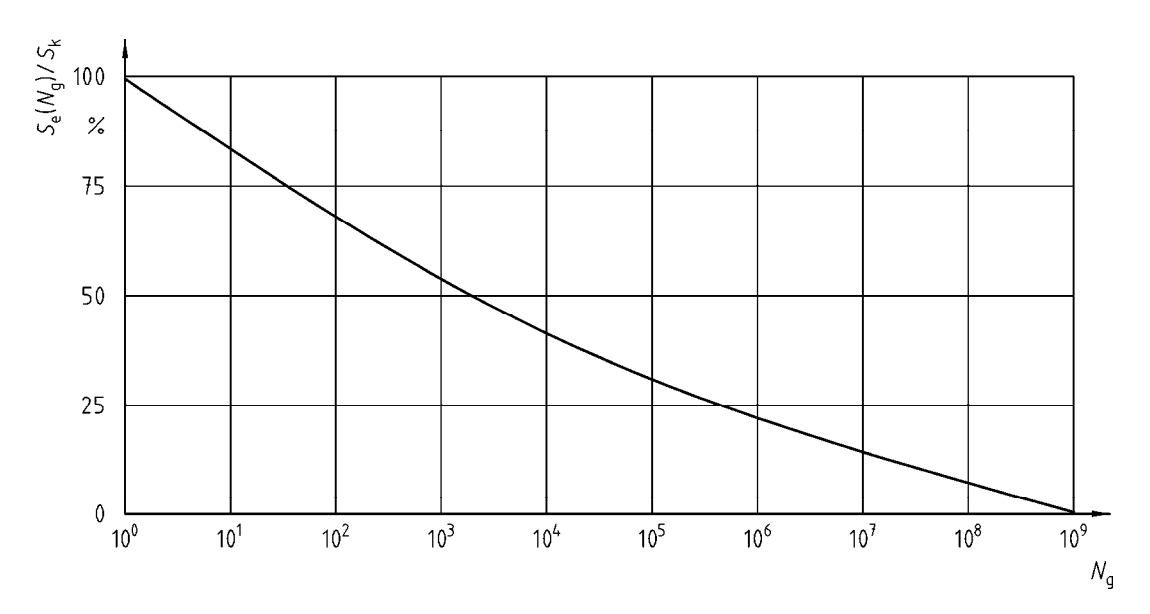


Bild NA.C.3 — Anzahl  $N_{\rm g}$  der Überschreitungen des Niveaus  $S_{\rm e}$  einer Böenreaktion  $S_{\rm k}$  innerhalb eines Zeitraumes von 50 Jahren

Die Beziehung zwischen  $S_{\rm e}/S_{\rm k}$  und  $N_{\rm g}$  ist in Gleichung (NA.C.4) angegeben.

$$\frac{S_{e}(N_{g})}{S_{k}} = 0.7 \times (\lg(N_{g}))^{2} - 17.4 \times \lg(N_{g}) + 100$$
(NA.C.4)

# NA.C.1.5 Verformungen und Beschleunigungen zur Bewertung der Gebrauchstauglichkeit vertikaler Bauwerke

Nach DIN EN 1991-1-4:2010-12, B.4

# NA.C.2 Kriterium für Schwingungsanfälligkeit

- (1) Bauwerke und Bauteile gelten als nicht schwingungsanfällig gegenüber der Böenwirkung, wenn die Verformungen unter Windeinwirkungen durch Böenresonanz um nicht mehr als 10 % vergrößert werden. Die Windlasten dürfen für nicht schwingungsanfällige Konstruktionen auf der Grundlage des Böengeschwindigkeitsdruckes nach NA.B.3 bestimmt werden.
- (2) Die Schwingungsanfälligkeit wird durch den Resonanzfaktor  $c_{\rm d}$  beschrieben. Er berechnet sich nach Gleichung (NA.C.5).

$$c_{d} = \frac{1 + 2 \times k_{p} \times I_{v}(z_{s}) \times \sqrt{B^{2} + R^{2}}}{1 + 2 \times k_{pQ} \times I_{v}(z_{s}) \times B}$$
(NA.C.5)

Dabei ist

 $k_{\rm pQ}$  der Spitzenfaktor für quasistatische Reaktion, d.h. für R=0; nach DIN EN 1991-1-4:2010-12, B.2 ist  $k_{\rm pQ}=3$ .

(3) Baukonstruktionen, die als Kragträger wirken, gelten als nicht schwingungsanfällig im Sinne NA.B.3, wenn folgendes Kriterium eingehalten ist:

$$\frac{x_{s}}{h} \le \frac{\delta}{\left(\sqrt{\frac{h_{\text{ref}}}{h} \times \frac{h+b}{b}} + 0,125 \times \sqrt{\frac{h}{h_{\text{ref}}}}\right)^{2}} \quad \text{mit } h_{\text{ref}} = 25 \text{ m}$$
(NA.C.6)

#### Dabei ist

- $x_s$  die Kopfpunktverschiebung unter Eigenlast in Windrichtung wirkend angenommen, in m;
- $\delta$  das logarithmische Dämpfungsdekrement, nach Anhang F;
- b die Breite des Bauwerks, in m;
- h die Höhe des Bauwerks, in m.
- (4) Ohne besonderen Nachweis dürfen in der Regel Wohn-, Büro- und Industriegebäude mit einer Höhe bis zu 25 m und ihnen in Form oder Konstruktion ähnliche Gebäude als nicht schwingungsanfällig im Sinne dieser Norm angenommen werden.

NCI

# Anhang NA.D (normativ)

# Wirbelerregte Schwingungen

Nach DIN EN 1991-1-4:20010-12, Anhang E, mit Ausnahme von E.1.5.3.

# NCI

# Anhang NA.E (informativ)

# Aeroelastische Instabilitäten

# NA.E.1 Galloping und Interferenzgalloping

Nach DIN EN 1991-1-4:2010-12, E.2 und E.3

# NA.E.2 Divergenz und Flattern

# NA.E.2.1 Allgemeines

- (1) Divergenz und Flattern sind aeroelastische Instabilitäten, die nach Überschreiten einer kritischen Windgeschwindigkeit vor allem bei verformungsanfälligen Tragwerken mit in Windrichtung gestrecktem Querschnitt auftreten können wie zum Beispiel bei Anzeigetafeln, abgehängten Vordächern und schlanken Brückenquerschnitten. Diese können entstehen, wenn sich mit den Verformungen des Tragwerks die aerodynamischen Belastungen ändern.
- (2) Das Auftreten von Divergenz und Flattern muss grundsätzlich mit ausreichender Sicherheit ausgeschlossen sein.
- (3) Für die Berechnung der kritischen Geschwindigkeit von Flatterschwingungen lassen sich keine einfachen, abdeckenden Regelungen angeben. Der Nachweis der statischen Torsionsdivergenz erfolgt nach Abschnitt NA.E.2.2.

# NA.E.2.2 Divergenzgeschwindigkeit

(1) Die kritische Windgeschwindigkeit für Divergenz beträgt

$$v_{\text{div}} = \left(\frac{2 \times k_{\theta}}{\rho \times d^2 \times \frac{\text{d}c_{\text{M}}}{\text{d}\theta}}\right)^{\frac{1}{2}}$$
(NA.E.1)

#### Dabei ist

- $k_{\theta}$  die Rotationsssteifigkeit in Nm/(rad m), bezogen auf die Stützweite, siehe Beispiele in Bild NA.E.1;
- ${\rm d}c_{\rm M}/{\rm d}\theta$  die Ableitung des aerodynamischen Momentenbeiwertes nach der Verdrehung um die Torsionsachse;
- $\rho$  die Luftdichte  $\rho = 1,25 \text{ kg/m}^3$ ;
- die Länge bzw. Stützweite, in m;
- d die Breite des Baukörpers in Windrichtung (siehe Bild NA.E.2).

Bild NA.E.1 zeigt zwei Beispiele für die Berechnung der Rotationssteifigkeit  $k_0$  bei St. Venantscher Torsion.

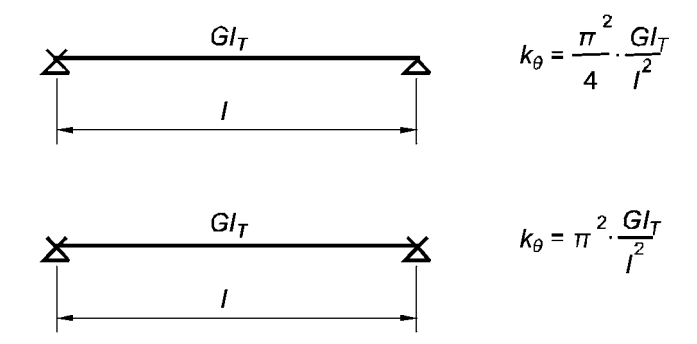


Bild NA.E.1 — Beispiele für die Rotationssteifigkeit  $k_{\theta}$  bei ein- und zweiseitig gabelgelagerten Einfeldträgern mit St. Venantscher Torsion

- (2) In Bild NA.E.2 werden Werte für  $dc_M/d\theta$  von Rechteckquerschnitten angegeben. Das Torsionsmoment ist dabei auf den Flächenschwerpunkt des Querschnitts bezogen.
- (3) Es ist sicherzustellen, dass

$$v_{\text{div}} > 2 v_{\text{m}}(z_{\text{s}})$$
 (NA.E.2)

Dabei ist

 $v_{\rm m}(z_{\rm S})$  die mittlere Windgeschwindigkeit nach Tabelle NA.B.2 oder Tabelle NA.B.4 in der Höhe  $z_{\rm S}$  nach DIN EN 1991-1-4:2010-12, Bild 6.1.

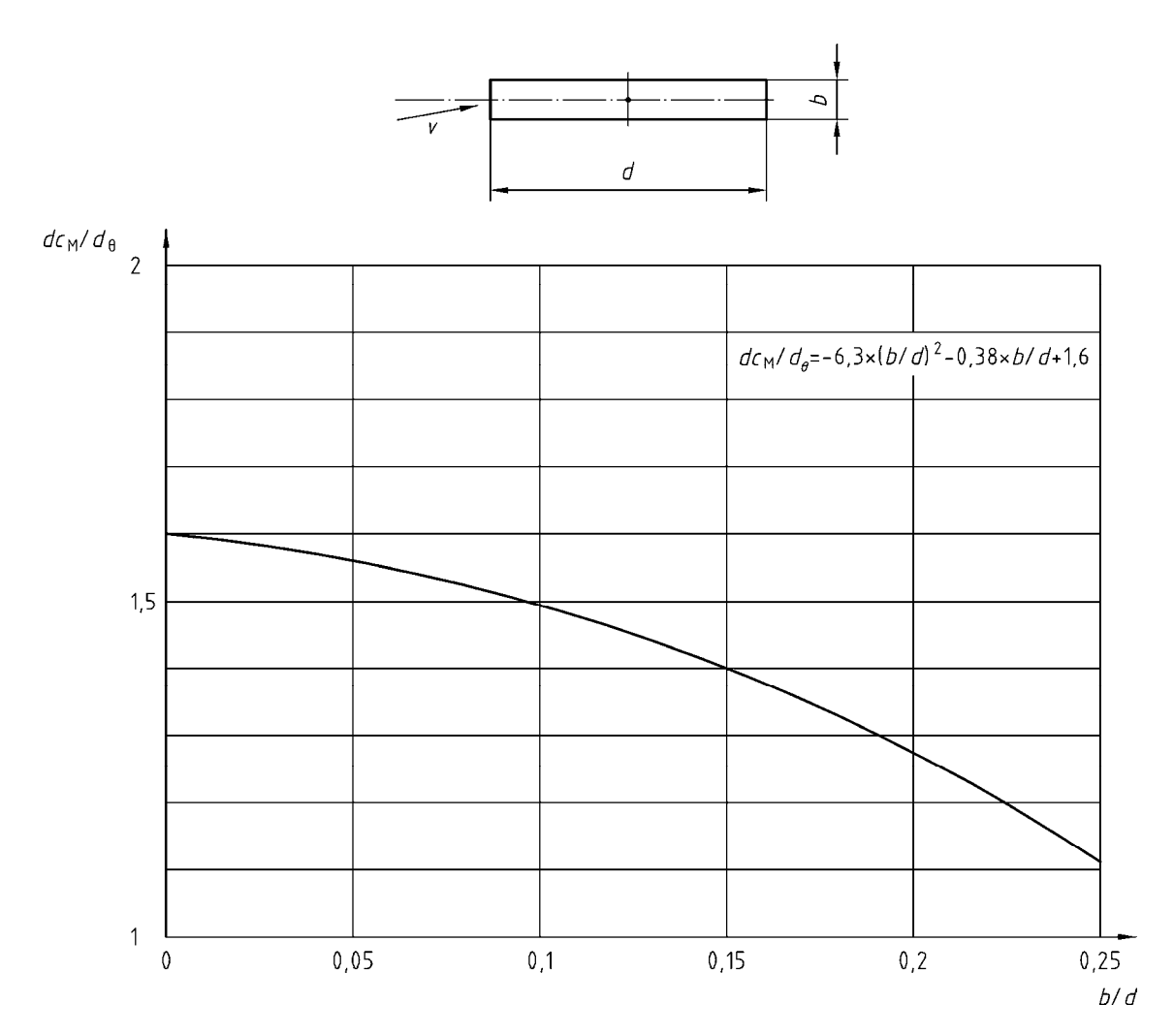


Bild NA.E.2 — Ableitung  ${\rm d}c_{\rm M}/{\rm d}\theta$  des (auf den Flächenschwerpunkt GC bezogenen) aerodynamischen Momentenbeiwertes  $c_{\rm M}$  nach der Torsionsverdrehung  $\theta$ ; für Rechteckquerschnitte

**NDP** 

Anhang NA.F (normativ)

# **Dynamische Grundlagen**

Nach DIN EN 1991-1-4:2010-12, Anhang F

# NCI

# Anhang NA.N (informativ)

# Windeinwirkungen auf Brücken

# NA.N.1 Allgemeines

- (1) Die nachfolgend angegebenen Einwirkungen aus Wind auf Brücken (Tabelle NA.N.5 bis Tabelle NA.N.8) beruhen auf DIN EN 1991-1-4:2010-12, insbesondere Abschnitt 8. Die Angaben dienen einer vereinfachten Anwendung der Norm bei nicht schwingungsanfälligen Deckbrücken und Bauteilen.
- (2) Die unter Tabelle NA.N.5 bis Tabelle NA.N.8 aufgeführten Werte gelten für Höhen bis 100 m. Für Höhen über 100 m sollte eine verfeinerte Untersuchung durchgeführt werden.
- (3) Als entscheidende Einflüsse können bedeutsam sein:
- der Einfluss der Höhenlage des Bauwerkes;
- der Einfluss von Aufbauten auf den Brückenquerschnitten auf den  $c_f$ -Wert und die kürzer anzunehmende Wiederkehrperiode des rechnerischen Staudruckes bei Bauzuständen.
- (4) Bei der Ermittlung der Werte der Tabellen NA.N.5 bis Tabelle NA.N.8 wurden folgende Annahmen mit Bezug auf DIN EN 1991-1-4:2010-12 zugrunde gelegt.

#### Windzonen

In der Windzonenkarte für Deutschland nach Anhang NA.A werden jeweils zwei Windzonen zusammengefasst. Dabei wird für

- Windzone 1 und 2  $v_{\text{ref}}$  = 25 m/s bzw.  $q_{\text{ref}}$  = 0,39 kN/m<sup>2</sup> und für
- Windzone 3 und 4  $v_{ref} = 30$  m/s bzw.  $q_{ref} = 0.56$  kN/m<sup>2</sup> angenommen.

### Bezogene Windeinwirkung

Nach Gleichung (8.2) in DIN EN 1991-1-4:2010-12 ist die Windkraft in x-Richtung:

$$F_{\mathbf{W}} = q_{\mathbf{p}}(z_{\mathbf{e}}) \times c_{1,\mathbf{x}} A_{\mathsf{ref},\mathbf{x}} \tag{NA.N.1}$$

Daraus ergibt sich die bezogene Windkraft zu

$$w = \frac{F_{\text{W}}}{A_{\text{ref,x}}} = q(z) \times c_{\text{fx}} = q(z) \times c_{\text{fx,0}} \times \psi_{\text{3D}}$$
(NA.N.2)

Dabei ist

 $A_{\text{ref.x}} = d \times \ell$  die Bezugsfläche für das Brückendeck;

 $A_{\text{ref x}} = b \times \ell$  die Bezugsfläche für Stützen und Pfeiler;

 $c_{\mathrm{fx},0}$  aerodynamischer Grundkraftbeiwert für unendlich große Schlankheit;

 $\psi_{\mathrm{3D}}$  Abminderungsfaktor zur Erfassung dreidimensionaler Strömungseffekte.

# Geschwindigkeitsdruck im Binnenland

Es gilt das Mischprofil der Geländekategorien II und III nach Anhang NA.B. Das zugehörige Profil des Böengeschwindigkeitsdruckes ist nach Anhang NA.B:

für 7 m < 
$$z \le 50$$
 m:  $q(z) = 1.7 \times q_{\text{ref}} \times \left(\frac{z}{10}\right)^{0.37}$  (NA.N.3)

für 50 m < 
$$z \le 300$$
 m:  $q(z) = 2,1 \times q_{\text{ref}} \times \left(\frac{z}{10}\right)^{0,24}$  (NA.N.4)

Daraus ergibt sich q(z) nach folgender Tabelle NA.N.1:

Tabelle NA.N.1 — Geschwindigkeitsdruck Binnenland

z in m	<i>q(z)</i> WZ 1 + 2	q(z) WZ 3 + 4
20	0,86	1,23
50	1,20	1,73
100	1,42	2,23

# Geschwindigkeitsdruck in küstennahen Gebieten sowie auf den Inseln der Ostsee

Es gilt das Mischprofil der Geländekategorien I und II nach Anhang NA.B. Das zugehörige Profil des Böengeschwindigkeitsdruckes ist nach Anhang NA.B:

für 4 m < 
$$z \le 50$$
 m:  $q(z) = 2.3 \times q_{\text{ref}} \times \left(\frac{z}{10}\right)^{0.27}$  (NA.N.5)

für 50 m < 
$$z \le 300$$
 m:  $q(z) = 2.6 \times q_{\text{ref}} \times \left(\frac{z}{10}\right)^{0.19}$  (NA.N.6)

Daraus ergibt sich q(z) nach folgender Tabelle NA.N.2:

Tabelle NA.N.2 — Geschwindigkeitsdruck Küste

z in m	q(z) WZ 1 + 2	q(z) WZ 3 + 4
20	1,08	1,55
50	1,39	1,99
100	1,57	2,26

## Aerodynamische Beiwerte $c_{f0}$

Tabelle NA.N.3 enthält die Grundkraftbeiwerte  $c_{\rm f,0}$  für Brücken bei unendlich großer Schlankheit nach DIN EN 1991-1-4:2010-12, Bild 8.3, in Abhängigkeit der Brückenabmessungen b/d

- für Brücken im Bauzustand oder mit offenem Geländer,
- für Brücken mit Brüstung oder Lärmschutzwand (Lsw) oder Verkehr.

Dabei ist *b* die Breite, *d* die Höhe des Überbaus nach NA.N.2 (1).

Tabelle NA.N.3 — Aerodynamische Grundkraftbeiwerte für Brücken

	$c_{f,}$	0
b/d	ohne Verkehr und ohne Lsw	mit Verkehr oder mit Lsw
≤ 0,5	2,4	2,4
4	1,3	1,3
≥ 5	1,3	1,0

Tabelle NA.N.4 enthält die Grundkraftbeiwerte  $c_{\rm f,0}$  für unendlich schlanke, scharfkantige Rechteckquerschnitte (Pfeiler) nach DIN EN 1991-1-4:2010-12, Bild 7.23. Dabei ist b die Breite des Pfeilerquerschnitts orthogonal zur Windrichtung, d seine Abmessung parallel zur Windrichtung nach NA.N.2 (1).

Tabelle NA.N.4 — Aerodynamische Grundkraftbeiwerte für Brückenpfeiler

d/b	<i>c</i> <sub>f,0</sub>
≤ 0,5	2,3
≥ 5	1,0

# Aerodynamische Beiwerte $c_{\mathsf{fx}}$

Die Berücksichtigung dreidimensionaler Umströmungseffekte an Stützen und Auflagern erfolgt in Abhängigkeit vom effektiven Schlankheitsgrad  $\lambda$ :

ANMERKUNG Die Abnahme der effektiven Windeinwirkung auf Brücken durch dreidimensionale Strömungseffekte an Auflagern und Stützen wird näherungsweise wie bei Bauwerken mit dreidimensionaler Umströmung freier Enden nach 7.13 berücksichtigt.

— Annahme für Überbauten ohne Verkehr und ohne Lärmschutzwand:

$$\frac{\ell}{d} \le 70 \Rightarrow \text{gewählt } \lambda = 40 \Rightarrow \psi_{3D} = 0.85 \Rightarrow c_{\text{fx}} = \psi_{3D} \times c_{\text{fx},0} = 0.85 \times c_{\text{fx},0} \tag{NA.N.7}$$

— Annahme für Überbauten mit Verkehr oder mit Lärmschutzwand:

$$\frac{\ell}{d} \le 70 \Rightarrow \text{gewählt } \lambda = 10 \Rightarrow \psi_{3D} = 0.70 \Rightarrow c_{\text{fx}} = \psi_{3D} \times c_{\text{fx},0} = 0.70 \times c_{\text{fx},0} \tag{NA.N.8}$$

— Annahme für Stützen und Pfeiler:

$$\frac{\ell}{d} \le 70 \Rightarrow \text{gewählt } \lambda = 40 \Rightarrow \psi_{3D} = 0.85 \Rightarrow c_{\text{fx}} = \psi_{3D} \times c_{\text{fx},0} = 0.85 \times c_{\text{fx},0} \tag{NA.N.9}$$

# NA.N.2 Anzusetzende Windeinwirkungen

- (1) Die bezogenen Windeinwirkungen ergeben sich nach folgenden Gleichungen und Tabellen:
- Überbau ohne Verkehr und ohne Lärmschutzwand

$$w = q(z_e) \times c_{fx,0} \times \psi_{3D} = q(z_e) \times c_{fx,0} \times 0.85$$
 (NA.N.10)

Überbau mit Verkehr oder mit Lärmschutzwand

$$w = q(z_e) \times c_{fx,0} \times \psi_{3D} = q(z_e) \times c_{fx,0} \times 0,70$$
(NA.N.11)

Stützen und Pfeiler

$$w = q(z_e) \times c_{fx,0} \times \psi_{3D} = q(z_e) \times c_{fx,0} \times 0.85$$
(NA.N.12)

# Tabelle NA.N.5 — Windeinwirkungen w in kN/m² auf Brücken für Windzone 1 und 2 (Binnenland)

1	2	3	4	5	6	7		
	Ohne Verkehr und ohne Lärmschutzwand			Mit Verkehr <sup>a</sup> oder mit Lärmschutzwand				
			auf Übe	rbauten				
b/d <sup>b</sup>	z <sub>e</sub> ≤ 20 m	20 m < z <sub>e</sub> ≤ 50 m	50 m < z <sub>e</sub> ≤ 100 m	$z_{\rm e} \le 20~{\rm m}$	20 m < $z_{\rm e} \le$ 50 m	$50 \text{ m} < z_{e} \le 100 \text{ m}$		
≤ 0,5	1,75	2,45	2,90	1,45	2,05	2,40		
= 4	0,95	1,35	1,60	0,80	1,10	1,30		
≥ 5	0,95	1,35	1,60	0,60	0,85	1,00		
	auf Stützen und Pfeilern <sup>c</sup>							
d/b <sup>b</sup>	z <sub>e</sub> ≤ 20 m		20 m < z <sub>e</sub> ≤ 50 m		50 m < z <sub>e</sub> ≤ 100 m			
≤ 0,5	1,70		2,35		2,80			
≥ 5	0,75		1,05		1,25			

Es gilt der Kombinationsbeiwert  $\psi_0$  = 0,4 (Windzone 3+4) und  $\psi_0$  = 0,55 (Windzone 1+2). Für Eisenbahnbrücken gilt der Kombinationsbeiwert  $\psi_0$  = 0,6.

b Bei Zwischenwerten kann linear interpoliert werden.

<sup>&</sup>lt;sup>c</sup> Bei quadratischen Stützen- oder Pfeilerquerschnitten mit abgerundeten Ecken, bei denen das Verhältnis  $r/d \ge 0,20$  beträgt, können die Windeinwirkungen auf Pfeiler und Stützen um 50 % reduziert werden. Für 0 < r/d < 0,2 darf linear interpoliert werden. Hierbei ist r = Radius der Ausrundung.

Tabelle NA.N.6 — Windeinwirkungen w in kN/m² auf Brücken für Windzone 3 und 4 (Binnenland)

1	2	3	4	5	6	7		
	Ohne Verkehr und ohne Lärmschutzwand			Mit Verkehr <sup>a</sup> oder mit Lärmschutzwand				
		auf Überbauten						
b/d <sup>b</sup>	$z_{\rm e} \le 20 \ {\rm m}$ 20 m < $z_{\rm e} \le 50 \ {\rm m}$		50 m < z <sub>e</sub> ≤ 100 m	$z_{\rm e} \le$ 20 m	20 m < $z_{\rm e} \le 50$ m	50 m < z <sub>e</sub> ≤ 100 m		
≤ 0,5	2,55	3,55	4,20	2,10	2,95	3,45		
= 4	1,40	1,95	2,25	1,15	1,60	1,90		
≥ 5	1,40	1,95	2,25	0,90	1,25	1,45		
	auf Stützen und Pfeilern <sup>c</sup>							
$d/b^{b}$	z <sub>e</sub> ≤ 20 m		20 m < z <sub>e</sub> ≤ 50 m		50 m < $z_{\rm e} \le 100$ m			
≤ 0,5	2,40		3,40		4,00			
≥ 5	1,05		1,50		1,75			

a Es gilt der Kombinationsbeiwert  $\psi_0$  = 0,4 (Windzone 3+4) und  $\psi_0$  = 0,55 (Windzone 1+2). Für Eisenbahnbrücken gilt der Kombinationsbeiwert  $\psi_0$  = 0,6.

# Tabelle NA.N.7 — Windeinwirkungen w in kN/m<sup>2</sup> auf Brücken für Windzone 1 und 2 (Küstennähe)

1	2	3	4	5	6	7		
	Ohne Verkehr und ohne Lärmschutzwand			Mit Verkehr <sup>a</sup> oder mit Lärmschutzwand				
	auf Überbauten							
b/d <sup>b</sup>	$z_{\rm e} \le 20 \text{ m}$ 20 m < $z_{\rm e} \le 50 \text{ m}$		50 m < z <sub>e</sub> ≤ 100 m	$z_{\rm e}$ $\leq$ 20 m	20 m < $z_{\rm e} \le 50$ m	$50 \text{ m} < z_{\text{e}} \le 100 \text{ m}$		
≤ 0,5	2,20	2,85	3,20	1,85	2,35	2,65		
= 4	1,20	1,55	1,75	1,00	1,30	1,45		
≥ 5	1,20	1,55	1,75	0,80	1,00	1,10		
	auf Stützen und Pfeilern <sup>c</sup>							
b/d <sup>b</sup>	$z_{ m e}$ $\leq$ 20 m		20 m < z <sub>e</sub> ≤ 50 m		50 m < $z_{\rm e} \le 100$ m			
≤ 0,5	2,15		2,75		3,10			
≥ 5	0,95		1,20		1,35			

a Es gilt der Kombinationsbeiwert  $\psi_0$  = 0,4 (Windzone 3+4) und  $\psi_0$  = 0,55 (Windzone 1+2). Für Eisenbahnbrücken gilt der Kombinationsbeiwert  $\psi_0$  = 0,6.

b Bei Zwischenwerten kann linear interpoliert werden.

<sup>&</sup>lt;sup>c</sup> Bei quadratischen Stützen- oder Pfeilerquerschnitten mit abgerundeten Ecken, bei denen das Verhältnis r/d ≥ 0,20 beträgt, können die Windeinwirkungen auf Pfeiler und Stützen um 50 % reduziert werden. Für 0 < r/d < 0,2 darf linear interpoliert werden. Hierbei ist r = Radius der Ausrundung.</p>

b Bei Zwischenwerten kann linear interpoliert werden.

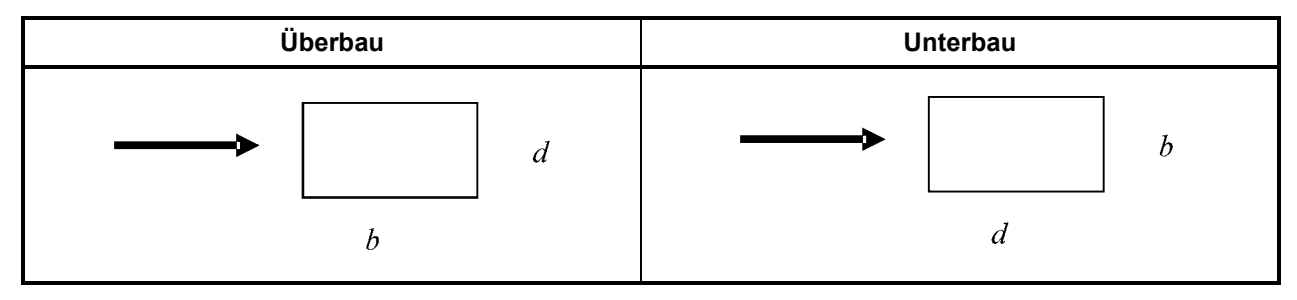
<sup>&</sup>lt;sup>c</sup> Bei quadratischen Stützen- oder Pfeilerquerschnitten mit abgerundeten Ecken, bei denen das Verhältnis  $r/d \ge 0.20$  beträgt, können die Windeinwirkungen auf Pfeiler und Stützen um 50 % reduziert werden. Für 0 < r/d < 0.2 darf linear interpoliert werden. Hierbei ist r = Radius der Ausrundung.

Tabelle NA.N.8 — Windeinwirkungen w in kN/m<sup>2</sup> auf Brücken für Windzone 3 und 4 (Küstennähe)

1	2	3	4	5	6	7		
	Ohne Verkehr und ohne Lärmschutzwand			Mit Verkehr <sup>a</sup> oder mit Lärmschutzwand				
			auf Übe	rbauten				
b∕d <sup>b</sup>	z <sub>e</sub> ≤ 20 m	20 m < z <sub>e</sub> ≤ 50 m	50 m < z <sub>e</sub> ≤ 100 m	$z_{\rm e} \leq$ 20 m	20 m < $z_{\rm e} \le 50$ m	50 m < z <sub>e</sub> ≤ 100 m		
≤ 0,5	3,20	4,10	4,65	2,60	3,35	3,80		
= 4	1,75	2,20	2,50	1,45	1,85	2,10		
≥ 5	1,75	2,20	2,50	1,10	1,40	1,60		
	auf Stützen und Pfeilern <sup>c</sup>							
b∕d <sup>b</sup>	z <sub>e</sub> ≤ 20 m		20 m < z <sub>e</sub> ≤ 50 m		50 m < z <sub>e</sub> ≤ 100 m			
≤ 0,5	3,05		3,90		4,45			
≥ 5	1,35		1,70		1,95			

a Es gilt der Kombinationsbeiwert  $\psi_0$  = 0,4 (Windzone 3+4) und  $\psi_0$  = 0,55 (Windzone 1+2). Für Eisenbahnbrücken gilt der Kombinationsbeiwert  $\psi_0$  = 0,6.

#### Erläuterungen zu den Tabellen.NA.N.5 bis NA.N.8:



#### Dabei ist

b Überbau: Gesamtbreite der Deckbrücke,

Unterbau: Stützen- bzw. Pfeilerabmessungen orthogonal zur Windrichtung.

#### d Überbau:

- Bei Brücken ohne Verkehr und ohne Lärmschutzwand:
  - Höhe von Oberkante Kappe einschließlich ggf. vorhandener Brüstung oder Gleitwand bis Unterkante Tragkonstruktion. Bei Eisenbahnbrücken, wenn ungünstiger, von Schienenoberkante bis Unterkante Tragkonstruktion.
- Bei Brücken mit Verkehrsband oder mit Lärmschutzwand:
  - Höhe von Oberkante Verkehrsband bzw. Lärmschutzwand bis Unterkante Tragkonstruktion.

#### Unterbau:

- Stützen- bzw. Pfeilerabmessung parallel zur Windrichtung.
- $z_{\rm e}$  größte Höhe der Windlastresultierenden über der Geländeoberfläche oder über dem mittleren Wasserstand. Für Höhen  $z < z_{\rm min}$  ist  $z_{\rm e} = z_{\rm min}$  anzunehmen.

b Bei Zwischenwerten kann linear interpoliert werden.

<sup>&</sup>lt;sup>c</sup> Bei quadratischen Stützen- oder Pfeilerquerschnitten mit abgerundeten Ecken, bei denen das Verhältnis  $r/d \ge 0,20$  beträgt, können die Windeinwirkungen auf Pfeiler und Stützen um 50 % reduziert werden. Für 0 < r/d < 0,2 darf linear interpoliert werden. Hierbei ist r = Radius der Ausrundung.

(2) Die Angaben gelten nur für nicht schwingungsanfällige Deckbrücken sowie nicht schwingungsanfällige Bauteile. NA.C.2 enthält Kriterien zur Beurteilung der Schwingungsanfälligkeit. Die Tabellen NA.N.5 bis NA.N.8 gelten nicht für Sonderbrückenkonstruktionen, wie z.B. bewegliche Brücken und überdachte Brücken.

Für Fachwerk- und Stabbogenbrücken gelten die Angaben sinngemäß; die außerhalb der Fahrbahn-konstruktion liegenden Bauteile (Fachwerkstäbe bzw. Bögen und Hänger) sind gesondert zu erfassen.

- (3) Für zeitlich begrenzte Bauzustände gilt:
  - 1) bei Bauzuständen, die nicht länger als 1 Tag dauern, dürfen die charakteristischen Werte der Tabellen NA.N.5 und NA.N.7 mit dem Faktor 0,55 und die charakteristischen Werte der Tabellen NA.N.6 und NA.N.8 mit dem Faktor 0,4 multipliziert werden.
  - 2) bei Bauzuständen, die nicht länger als 1 Woche dauern, dürfen die charakteristischen Werte der Tabellen NA.N.5 und NA.N.7 mit dem Faktor 0,80 und die charakteristischen Werte der Tabellen NA.N.6 und NA.N.8 mit dem Faktor 0,55 multipliziert werden.

Voraussetzung ist, dass sichergestellt wird, dass die Windgeschwindigkeiten folgende Werte nicht überschreiten:

- Im Fall (1): v < 18 m/s,
- im Fall (2): v < 22 m/s.

Hierzu ist es notwendig, die Wetterlage festzustellen, den Wetterverlauf zu beobachten und rechtzeitig durchführbare Sicherungsmaßnahmen für den Fall vorzusehen, dass die Windgeschwindigkeit den o. g. Wert übersteigt.

# NCI

# Anhang NA.V (normativ)

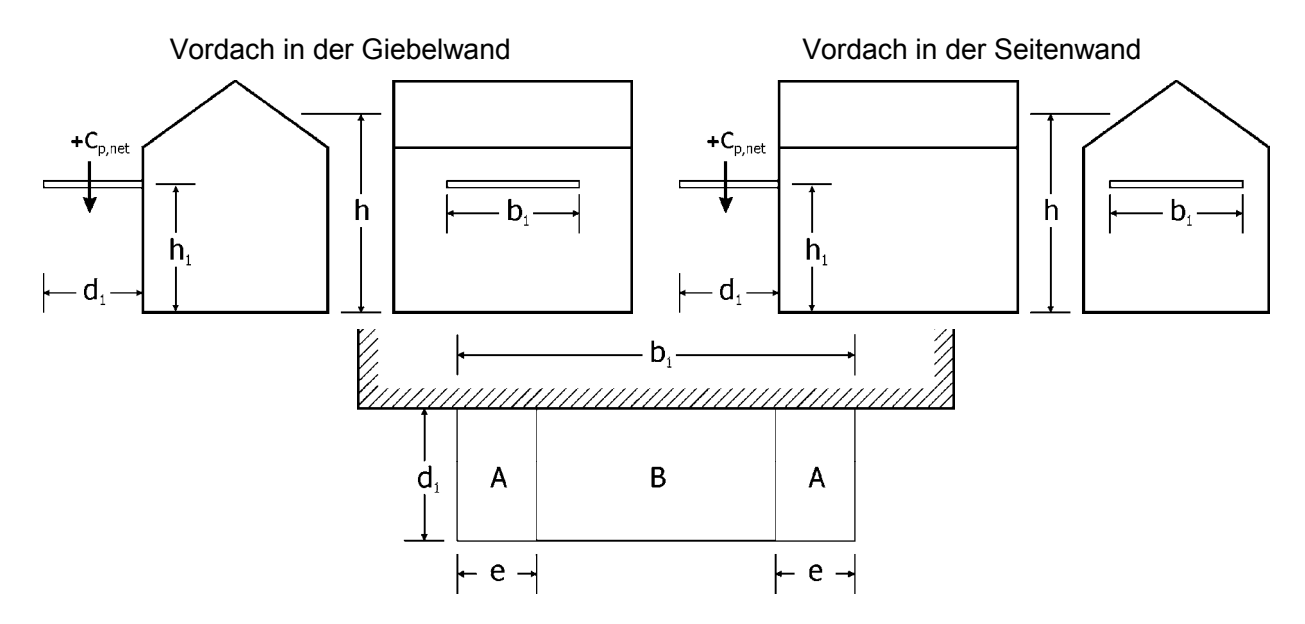
# Druckbeiwerte für Vordächer

- (1) Die Druckbeiwerte der Tabelle NA.V.1 gelten für ebene Vordächer, die mit einer maximalen Auskragung von 10m und einer Dachneigung von bis zu ±10° aus der Horizontalen an eine Gebäudewand angeschlossen sind.
- (2) Vordächer sind für zwei Lastfälle, eine abwärts gerichtete (positive) und eine aufwärts gerichtete (negative) Kraftwirkung zu untersuchen.
- (3) In Tabelle NA.V.1 sind Druckbeiwerte  $c_{\rm p,net}$  für die Resultierende der Drücke an Ober- und Unterseite angegeben. Die Bezeichnungen und Abmessungen hierzu sind dem Bild NA.V.1 zu entnehmen.
- (4) Die Werte gelten unabhängig vom horizontalen Abstand des Vordaches von der Gebäudeecke.
- (5) Bezugshöhe  $z_{\rm e}$  ist der Mittelwert aus der Trauf- und Firsthöhe des Gebäudes.

Tabelle NA.V.1 – Aerodynamische Beiwerte  $c_{\mathsf{p},\mathsf{net}}$  für den resultierenden Druck an Vordächern

Höhenver-	Bereich						
hältnis h <sub>1</sub> /h	A			В			
	Alexandra and	Aufwärtslast		A1 " ( 1 (	Aufwärtslast		
	Abwärtslast	$h_1/d_1 \le 1,0$	$h_1/d_1 \ge 3,5$	Abwärtslast	$h_1/d_1 \le 1,0$	$h_1/d_1 \ge 3,5$	
≤ 0,1	1,1	-0,9	-1,4	0,9	-0,2	-0,5	
0,2	0,8	-0,9	-1,4	0,5	-0,2	-0,5	
0,3	0,7	-0,9	-1,4	0,4	-0,2	-0,5	
0,4	0,7	-1,0	-1,5	0,3	-0,2	-0,5	
0,5	0,7	-1,0	-1,5	0,3	-0,2	-0,5	
0,6	0,7	-1,1	-1,6	0,3	-0,4	-0,7	
0,7	0,7	-1,2	-1,7	0,3	-0,7	-1,0	
0,8	0,7	-1,4	-1,9	0,3	-1,0	-1,3	
0,9	0,7	-1,7	-2,2	0,3	-1,3	-1,6	
1,0	0,7	-2,0	-2,5	0,3	-1,6	-1,9	

Für Zwischenwerte 1,0  $<< h_1/d_1 < 3,5$  ist linear zu interpolieren, Zwischenwerte  $h_1/h$  dürfen linear interpoliert werden.



e =  $d_1/4$  oder  $b_1/2$ , der kleinere Wert ist maßgebend

Bild NA.V.1 — Abmessungen und Einteilung der Flächen für Vordächer

# **NCI** Literaturhinweis

[NA.5] WTG-Merkblatt über Windkanalversuche in der Gebäudeaerodynamik, Windtechnologische Gesellschaft WTG e.V. Deutschland – Österreich – Schweiz, Aachen 1994